

# UNIVERSIDADE FEDERAL DA PARAÍBA CENTRO DE CIÊNCIAS EXATAS E DA NATUREZA DEPARTAMENTO DE QUÍMICA PROGRAMA DE PÓS-GRADUAÇÃO EM QUÍMICA



### **TESE DE DOUTORADO**

Estanatos de cálcio (CaSnO<sub>3</sub>) dopados com Fe<sup>3+</sup>, Co<sup>2+</sup> ou Cu<sup>2+</sup> aplicados na fotodegradação de Remazol Amarelo Ouro e na redução de NO com CO ou NH<sub>3</sub>

**GUILHERME LEOCÁRDIO LUCENA DOS SANTOS** 

JOÃO PESSOA – PB – BRASIL MAIO / 2017 © 2017 - Santos, GLL



# UNIVERSIDADE FEDERAL DA PARAÍBA CENTRO DE CIÊNCIAS EXATAS E DA NATUREZA DEPARTAMENTO DE QUÍMICA PROGRAMA DE PÓS-GRADUAÇÃO EM QUÍMICA



### **TESE DE DOUTORADO**

Estanatos de cálcio (CaSnO<sub>3</sub>) dopados com Fe<sup>3+</sup>, Co<sup>2+</sup> ou Cu<sup>2+</sup> aplicados na fotodegradação de Remazol Amarelo Ouro e na redução de NO com CO ou NH<sub>3</sub>

Guilherme Leocárdio Lucena dos Santos

Tese apresentada ao Programa de Pós-Graduação em Química da Universidade Federal da Paraíba, em cumprimento as exigências para obtenção do Título de Doutor em Química.

Área de Concentração: Química Inorgânica.

Orientadora: Prof<sup>a</sup>. Dr<sup>a</sup>. Iêda Maria Garcia dos Santos - DQ/CCEN/UFPB

2º Orientador: Prof. Dr. Ary da Silva Maia - DQ/CCEN/UFPB

JOÃO PESSOA – PB – BRASIL MAIO / 2017 © 2017 - Santos, GLL

S237e Santos, Guilherme Leocárdio Lucena dos.

Estanatos de cálcio (CaSnO<sub>3</sub>) dopados com Fe<sup>3+</sup>, Co<sup>2+</sup> ou Cu<sup>2+</sup> aplicados na fotodegradação de Remazol Amarelo Ouro e na redução de NO com CO ou NH<sub>3</sub> / Guilherme Leocárdio Lucena dos Santos. - João Pessoa, 2017.

156 f. : il. -

Orientadora: Iêda Maria Garcia dos Santos. 2º Orientador: Ary da Silva Maia. Tese (Doutorado) - UFPB/ CCEN

Química. 2. Perovskita. 3. Suportes catalíticos.
 Catalisadores. 5. Fotodegradação. 6. Monóxido de nitrogênio. 7. Corantes têxteis. I. Título.

UFPB/BC CDU:54(043)

Estanatos de cálcio (CaSnO<sub>3</sub>) dopados com Fe<sup>3+</sup>, Co<sup>2+</sup> ou Cu<sup>2+</sup> aplicados na fotodegradação de remazol amarelo ouro e na reação de NO com CO ou NH<sub>3</sub>.

Tese de Doutorado apresentada pelo aluno Guilherme Leocárdio Lucena dos Santos e aprovada pela banca examinadora em 28 de abril de 2017.

	Profa, Dra. Iêda Maria Garcia dos Santos	
	Orientadora/Presidente	
5	365	
	Prof. Dr. Ary da Silva Mala 2°. Orientador	
	Simo	
	Prof. Dr. Sandro Marden Torres Examinador	
	**	
	y Instine Rouse Alors.	
7	Profa. Dra. Mary Cristina Ferreira Alves Examinadora	
	Mar DS do Po	
	Dra. Márcia Rejane Santos da Silva Examinadora	

Prof. Dr. Júlio Santos Rebouças Examinador

A Deus,
princípio de toda ciência,
à Nossa Senhora, por sua intercessão,
aos meus pais e à minha esposa,
por toda confiança e auxílio durante este trabalho,
Dedico.

"Se algum de vocês tem falta de sabedoria, peça-a a Deus, que a todos dá livremente, de boa vontade; e lhe será concedida". (Tiago 1,5)

"Os grandes homens não são aqueles que resolveram os problemas, mas aqueles que os descobriram". (Albert Schweitzer)

"Talvez não tenha conseguido fazer o melhor,
mas lutei para que o melhor fosse feito.

Não sou o que deveria ser,
mas Graças a Deus, não sou o que era antes".

(Marthin Luther King)

"Com tudo isso aprendi que é possível, basta querer!

Aprendi que é permitido, basta lutar!

Aprendi que não é fácil, porém eu consegui".

(Guilherme Lucena)

### **Agradecimentos**

Chegar ao final de um trabalho dessa natureza requer um sentimento de gratidão a todos que, de forma direta ou indireta, contribuíram para a realização deste propósito. Várias pessoas e instituições estiveram comigo em algum ou em todos os momentos destes quatro anos, fazendo com que os meus anseios pessoais e profissionais pudessem ser alcançados.

Inicialmente quero render graças ao Deus Uno e Trino, que é Criador, fonte de toda sabedoria e ciência, pois Ele me proporcionou força e ânimo durante toda esta jornada. Sem sua misericórdia, eu não teria conseguido!

Quero agradecer a minha querida Mãe (Maria Nilza), que sempre acreditou e me incentivou a conquistar as virtudes que plenificam o homem, seja pela educação escolar, familiar, religiosa e humana. Sempre pude contar com suas orações e palavras de encorajamento.

Agradeço a minha esposa (Mery Lucena), pois soube dedicar carinho e amor, sendo paciente e compreensiva com meus momentos de isolamento e ausência durante os dias e noites dedicados ao laboratório e a escrita da tese. Muitas vezes, com intuito de arrancar um sorriso nos dias difíceis me perguntava: "[...] você queimou quantas 'peroquisquitas' hoje?" (Referindo-se a síntese dos catalisadores). A ela e a minha mãe, faço questão de dedicar este trabalho.

Um agradecimento especial, quero dedicar à minha orientadora, Profa. leda Garcia. Não só pelo exemplo de profissional, mas por sua dedicação e zelo com seus alunos. Sua orientação se estende muito mais do que a sala de aula. De tudo que aprendi com ela, seja nas disciplinas da pós-graduação, seja na discussão dos resultados ou na escrita dos artigos, seja no cafezinho ou nos corredores do LACOM, a maior lição foi esta: "Guilherme, você precisa acreditar mais em você". Estas palavras me impulsionaram a acreditar que eu seria capaz.

Agradeço também ao meu co-orientador, Prof. Ary Maia, por sua valorosa colaboração e ensinamentos, principalmente no aprendizado da catálise heterogênea. Agradeço pelas inúmeras orientações, muitas vezes à distância (por *e-mail* ou *facebook*), durante o tempo em que estava em seu pós-doc em *Rennes* (França). Sempre pude contar com sua ajuda.

Gostaria de agradecer aos professores Afranio Gabriel (DQ/UFPB) e Vandeci Dias (DQ/UEPB) que me impulsionaram (ainda como aluno de graduação) à pesquisa e ao desenvolvimento da ciência. Todos as oportunidades, os conselhos e instruções que deles recebi me ajudaram a avançar nos meus propósitos profissionais.

Um agradecimento especial ao Prof. Ernesto Urquieta (UFSCar), a Dra. Cristiane Sierra (UFSCar) e a Profa. Heloysa Martins (UFBA) pela generosidade e colaboração nos testes catalíticos de NO; ao Prof. Maximo (IFSC/USP) pela rapidez e agilidade com os testes de fotoluminescência; e à Profa. Valerié Bouquet (Rennes/ França) pelas análises de microscopia eletrônica.

Quero agradecer a todos os companheiros do LACOM, principalmente os colegas da linha de pesquisa em Química de Materiais, pela acolhida e amizade. E de modo especial, aos amigos Alex, André, Laís e Luzia pelo auxílio durante a pesquisa. Agradeço também aos servidores técnicos, Lúcia e Marcos Pequeno, pela colaboração.

Quero agradecer aos companheiros de república: Antônio (Marajá), Thiago (Baiano), Thiago (Marisco), e Nagib (Índio), com os quais tive a oportunidade de conviver nos dois primeiros anos do doutorado, antes da minha mudança para Bananeiras - PB. Além do mais, mesmo não "dividindo" o apartamento nos últimos dois anos, sempre me acolheram em casa quando precisei.

Também ao CCHSA da UFPB, Campus III, em Bananeiras - PB, da qual sou funcionário. Agradeço imensamente a compreensão e o apoio da Profa. Terezinha Domiciano, diretora do centro, e ao Prof. Max Quirino, meu chefe, pela colaboração e paciência no conciliar do trabalho e do curso.

Agradeço ainda aos companheiros de trabalho do CCHSA, em especial aos amigos Pedro Oliveira e Diego Dias, pessoas pelas quais tenho o prazer e a alegria de conviver todos os dias.

Por fim, agradeço as instituições e aos órgãos de fomento que colaboraram e financiaram a pesquisa:





























### **RESUMO**

Estanato de cálcio, CaSnO<sub>3</sub>, é uma perovskita do tipo ortorrômbica que apresenta aplicações tecnológicas como catalisadores e fotocatalisadores. Neste trabalho, CaSnO<sub>3</sub> não dopado e dopado com Fe<sup>3+</sup>, Co<sup>2+</sup> ou Cu<sup>2+</sup> foram obtidos pelo método Pechini-modificado e aplicados na fotodegradação do corante têxtil remazol amarelo ouro (RNL), e como catalisadores na reação de redução de monóxido de nitrogênio (NO). Além disso, esses materiais foram depositados sobre o suporte catalítico ZrO<sub>2</sub> ou impregnados ou dopados com paládio e avaliados na redução de NO com CO e NO com NH<sub>3</sub>. Os catalisadores foram caracterizados por análise termogravimétrica (TG/DTA), difração de raios-X (DRX), espectroscopia de absorção na região do ultravioleta e do visível (UV-Vis), espectroscopia vibracional na região do infravermelho (IV), espectroscopia Raman, análise da área superficial (SBET), microscopia eletrônica de varredura com emissão de campo (MEV-EC) e microscopia eletrônica de transmissão (MET). Os resultados de DRX mostraram uma pequena mudança na ordem a longo alcance das amostras dopadas devido à substituição parcial dos cátions. Os espectros Raman indicaram que a incorporação dos metais Fe<sup>3+</sup>, Co<sup>2+</sup> e Cu<sup>2+</sup> na rede do CaSnO<sub>3</sub> promoveu quebra de simetria, o que foi confirmado pela mudança nos valores do band gap das amostras. Os ensaios fotocatalíticos do corante RNL foram realizados em reator utilizando uma lâmpada UVC (λ= 254 nm). Por sua vez, os testes catalíticos foram realizados em um reator contendo uma mistura gasosa, com quantidades esteguiométricas de monóxido de nitrogênio (NO) e monóxido de carbono (CO), em hélio, na faixa de temperatura de 300°C a 700°C ou em um reator contendo mistura de NO e amônia (NH<sub>3</sub>), em hélio, na faixa de temperatura de 250°C a 500°C. Os resultados da avaliação fotocatalítica mostraram que a dopagem do CaSnO3 com os metais de transição aumentou a eficiência fotocatalítica do material, sendo mais expressiva para o material dopado com Cu<sup>2+</sup> (76% de descoloração), o que foi relacionado à diminuição na intensidade dos espectros de fotoluminescência em função da dopagem. Os testes catalíticos de NO com CO mostraram que as perovskitas mássicas dopadas com Co<sup>2+</sup> e Cu<sup>2+</sup> apresentaram 100% de conversão, em temperaturas superiores a 500°C. A impregnação com paládio favoreceu a conversão de NO com CO em toda a faixa de temperatura avaliada, no entanto, desfavoreceu a reação de NO com NH<sub>3</sub>, provavelmente devido à oxidação de NH<sub>3</sub> pelo Pd. As perovskitas depositadas sobre o suporte ZrO2 mostraram os melhores valores de conversão catalítica. Os resultados de MEV-EC e MET confirmaram a deposição da fase ativa sobre o suporte ZrO<sub>2</sub> e indicaram a formação de sistemas core@shell.

**Palavras-chaves:** Perovskita, catalisadores, fotodegradação, suportes catalíticos, Monóxido de nitrogênio, corantes têxteis.

### <u>ABSTRACT</u>

Calcium stannate, CaSnO<sub>3</sub>, is orthorhombic perovskite-type that presents technological applications as catalysts and photocatalysts. In this work, undoped CaSnO<sub>3</sub> and doped with Fe<sup>3+</sup>, Co<sup>2+</sup> or Cu<sup>2+</sup> were obtained by the modified Pechini method and applied in photodegradation of the textile dye Remazol Golden Yellow and as catalysts in the reduction reaction of nitrogen monoxide (NO). Furthermore, these materials were deposited on the ZrO<sub>2</sub> support or Pd<sup>2+</sup>-doped or Pd impregnated and evaluated in the reduction of NO with CO and NO with NH<sub>3</sub>. The catalysts were characterized by thermogravimetric analysis (TG/DTA), X-ray diffraction (XRD), ultraviolet-visible spectroscopy (UV-Vis), infrared spectroscopy (IR), Raman spectroscopy, analysis of the surface area by the BET method, scanning electron microscopy with field emission (FE-SEM) and transmission electron microscopy (TEM). XRD patterns showed a small change in the long rangeorder for the doped samples due to partial substitution of cations. The Raman spectra indicated that the incorporation of Fe<sup>3+</sup>, Co<sup>2+</sup> and Cu<sup>2+</sup> in the CaSnO<sub>3</sub> lattice promoted a symmetry breaking, which was confirmed by the change of the band gap values of the samples. The photocatalytic tests of RNL dye were performed in the reactor using a UVC lamp ( $\lambda = 254$  nm). The catalytic tests were carried out in a reactor containing a gaseous mixture with stoichiometric amounts of nitrogen monoxide (NO) and carbon monoxide (CO) in helium in the temperature range of 300 °C to 700 °C or in a reactor containing a mixture of NO and ammonia (NH<sub>3</sub>) in helium in the temperature range of 250 °C to 500 °C. The results of the photocatalytic evaluation showed that CaSnO3 doping with transition metals increased the photocatalytic efficiency of the material, especially for the Cu<sup>2+</sup> (76% of discoloration), which was related to the while the decrease in the intensity of the photoluminescence spectrum as a function of doping. The catalytic tests of NO with CO showed that Co<sup>2+</sup> and Cu<sup>2+</sup>-doped perovskites showed 100% of conversion, at temperatures above 500°C. The palladium impregnation promoted the conversion of NO with CO throughout the evaluated temperature range, but it did not favor the reaction of NO with NH<sub>3</sub>, probably due to the oxidation of NH<sub>3</sub> by Pd. The perovskite deposited on the ZrO<sub>2</sub> support showed the best catalytic conversion values. The results of FEG and TEM confirmed the deposition of the active phase on the ZrO2 support and indicated the formation of core@shell systems.

**Key-words:** Perovskite, catalysts, photodegradation, catalyst supports, nitrogen monoxide, textile dyes.

### **LISTA DE SIGLAS E SÍMBOLOS**

BC: Banda de condução

BV: Banda de valência

**DRX:** Difração de raios-X

FCC: Do inglês: Fluid Catalytic Cracking

FL: Fotoluminescência

FWHM: Do inglês Full Width at Half Maximum

h+: Buraco

IV: Infravermelho

**JCPDS:** Do inglês *Joint Committee on Powder Diffraction Standards* 

**LMCT:** Do inglês *Ligand-to-Metal Charge-Transfer* 

Mn+: íon metálico de carga n+

**MEV-EC:** Microscopia eletrônica de varredura com emissão de campo

**MET:** Microscopia eletrônica de transmissão

NO<sub>x</sub>: Óxidos de nitrogênio

PCZ: Potencial de carga zero

POAs: Processos Oxidativos Avançados

SBET: Área superficial específica pelo método de BET

**SCR:** Do inglês: Selective Catalytic Reduction

TC: Tamanho de cristalitos

**UV-vis:** Ultravioleta e visível

**Δ**<sub>r</sub>**G**°: Variação da entropia da reação

ΔH: Variação da entalpia

**Δm:** Variação da massa

**ΔpH:** Variação do potencial hidrogeniônico

ΔT: Variação da temperatura

Γ: Representação irredutível

Tc: Tamanho de cristalitos obtido por DRX

T<sub>M</sub>: Taxa molar de conversão

T<sub>P</sub>: Tamanho de cristalitos obtido por BET

### **LISTA DE FIGURAS**

Figura 1.1: (a) Célula unitária da estrutura perovskita ABO3 cúbica (Pm3m), (b) cátion B
sendo o átomo central, (c) cátion A sendo átomo central20
Figura 1.2: Estrutura perovskita ABO <sub>3</sub> mostrando (a) a vista poliédrica das unidades dos
octaedros (BO6) compartilhados pelos vértices para uma forma cúbica de mais alta simetria
e (b) a vista poliédrica de uma perovskita distorcida, do tipo ortorrômbica21
Figura 1.3: Projeção das fases perovskitas de BaSnO <sub>3</sub> , SrSnO <sub>3</sub> e CaSnO <sub>3</sub> ao longo do eixo
x, baseado nos resultados indicados por Zhang et al., (2007, apund LOKEN 2011)22
Figura 1.4: (a) Estrutura do CaSnO <sub>3</sub> com grupo espacial <i>Pbnm</i> ; (b) CaO <sub>12</sub> cuboctaédrico
distorcido; e (c) SnO <sub>6</sub> distorcido23
Figura 1.5: Estrutura molecular do corante remazol amarelo ouro (RNL)26
Figura 1.6: Ilustração do mecanismo de fotoexcitação eletrônica em um material
semicondutor29
Figura 1.7: Representação geométrica do complexo Metal-NO
Figura 1.8: Representação esquemática da dissociação do NO
Figura 1.9: Estruturas ressonantes do monóxido de carbono (CO)
Figura 1.10: Representação esquemática das ligações do complexo Metal-CO36
Figura 2.1: Reações orgânicas envolvidas no processo dos precursores poliméricos 44
Figura 2.2: Fluxograma para obtenção do CaSnO <sub>3</sub> e Ca <sub>0,9</sub> Sn <sub>0,9</sub> M <sub>0,1</sub> O <sub>3-<math>\delta</math></sub> (M = Fe <sup>3+</sup> , Co <sup>2+</sup> , Cu <sup>2+</sup> )
49
Figura 2.3: Ângulos de rotação em octaedros de perovskitas (ortorrômbico)51
Figura 2.4: Curvas de TG e DTA, obtidas em ar atmosférico, dos pós precursores de
$CaSnO_3,\ Ca_{0,9}Sn_{0,9}Fe_{0,1}O_{3-\delta},\ Ca_{0,9}Sn_{0,9}Co_{0,1}O_{3-\delta},\ e\ Ca_{0,9}Sn_{0,9}Cu_{0,1}O_{3-\delta}\ calcinados\ a\ 300\ °C/6000000000000000000000000000000000000$
10h55
Figura 2.5: Difratogramas de raios-X do CaSnO <sub>3</sub> calcinado em diferentes temperaturas 57
<b>Figura 2.6:</b> Difratogramas de raios-X do CaSnO <sub>3</sub> , $Ca_{0,9}Sn_{0,9}Fe_{0,1}O_{3-\delta}$ , $Ca_{0,9}Sn_{0,9}Co_{0,1}O_{3-\delta}$ , e
Ca <sub>0,9</sub> Sn <sub>0,9</sub> Cu <sub>0,1</sub> O <sub>3-5</sub> calcinados a 800 °C / 4 h
Figura 2.7: Valores de largura a meia altura (FWHM) e tamanho de cristalitos (TC) das
amostras de CaSnO3 (700 °C), CaSnO3, Ca $_{0,9}$ Sn $_{0,9}$ Fe $_{0,1}$ O $_{3-\delta}$ , Ca $_{0,9}$ Sn $_{0,9}$ Co $_{0,1}$ O $_{3-\delta}$ , e
Ca <sub>0,9</sub> Sn <sub>0,9</sub> Cu <sub>0,1</sub> O <sub>3-5</sub> calcinados a 800 °C60
Figura 2.8: Espectros vibracionais na região do infravermelho de CaSnO <sub>3</sub> e
$Ca_{0,9}Sn_{0,9}M_{0,1}O_{3-\delta}$ (M = $Fe^{3+}$ , $Co^{2+}$ , $Cu^{2+}$ ) calcinados a 800 °C obtidos em KBr (a) e nujol
(b)61
Figura 2.9: Espectro Raman do CaSnO <sub>3</sub> sintetizado pelo método de <i>Pechini</i> à 800 °C / 4 h.

Figura 2.10: Espectro Raman do Ca <sub>0,9</sub> Sn <sub>0,9</sub> Fe <sub>0,1</sub> O <sub>3-δ</sub> , Ca <sub>0,9</sub> Sn <sub>0,9</sub> Co <sub>0,1</sub> O <sub>3-δ</sub> e Ca <sub>0,9</sub> Sn <sub>0,9</sub> Cu <sub>0,1</sub> C	) <sub>3-δ</sub>
sintetizado pelo método de <i>Pechini</i> calcinado a 800 °C / 4 h	66
Figura 2.11: (a) Espectros Raman e (b) difratogramas de raios-X das amostras de CaSn	Оз
antes e após a calcinação em 200 °C sob atmosfera de $H_2/N_2$ ( $\emph{insert}$ (c) corresponde a per	da
de massa da amostra calcinada em 200 °C)	67
Figura 2.12: Espectros de absorbância obtidos na região do Ultravioleta-visível de CaSn	O <sub>3</sub>
e $Ca_{0,9}Sn_{0,9}M_{0,1}O_{3-\delta}$ (M = $Fe^{3+}$ , $Co^{2+}$ , $Cu^{2+}$ ) calcinados a 800 °C	68
<b>Figura 2.13:</b> Determinação do <i>band gap</i> das amostras de (a) CaSnO <sub>3</sub> , (b) Ca <sub>0,9</sub> Sn <sub>0,9</sub> Fe <sub>0,1</sub> C	Э3.
<sub>δ</sub> , (c) Ca <sub>0,9</sub> Sn <sub>0,9</sub> Co <sub>0,1</sub> O <sub>3-δ</sub> e (d) Ca <sub>0,9</sub> Sn <sub>0,9</sub> Cu <sub>0,1</sub> O <sub>3-δ</sub> , a partir da função Kubelka-Munk	70
Figura 3.1: Processo de excitação e emissão para um material arbitrário	75
Figura 3.2: Esquema do reator fotocatalítico utilizado nos testes de descoloração do corar	
Figura 3.3: Esquema operacional utilizado nos testes fotocatalíticos	81
Figura 3.4: Espectro de emissão ( $\lambda_{\text{exc}}$ = 350,7 nm) das amostras de CaSnO <sub>3</sub>	е
Ca <sub>0,9</sub> Sn <sub>0,9</sub> M <sub>0,1</sub> O <sub>3-δ</sub> (M = Fe <sup>3+</sup> , Co <sup>2+</sup> , Cu <sup>2+</sup> ) calcinadas em 800 °C / 4 h	82
Figura 3.5: ΔpH <i>v</i> s pH inicial da suspensão do CaSnO₃ e Ca <sub>0,9</sub> Sn <sub>0,9</sub> M <sub>0,1</sub> O <sub>3-δ</sub> (M = Fe <sup>3+</sup> , Co	) <sup>2+</sup> ,
Cu <sup>2+</sup> )	86
Figura 3.6: (a) Espectros de UV-vis e (b) percentual de descoloração do corante RNL ap	ós
a adsorção (ausência de luz) por CaSnO <sub>3</sub> e Ca <sub>0,9</sub> Sn <sub>0,9</sub> M <sub>0,1</sub> O <sub>3-δ</sub> (M = Fe <sup>3+</sup> , Co <sup>2+</sup> , Cu <sup>2+</sup> ), em <sub>l</sub>	рΗ
3, após 5h	87
Figura 3.7: (a) Espectros de UV-vis e (b) percentual de descoloração do corante RNL ap	ós
a adsorção (ausência de luz) por CaSnO $_3$ e Ca $_{0,9}$ Sn $_{0,9}$ M $_{0,1}$ O $_{3-\delta}~$ (M = Fe $^{3+},$ Co $^{2+},$ Cu $^{2+}$ ), em proposition ( $^{2+}$ ), $^{2+}$ 0, $^{2+}$ 1, $^{2+}$ 2, $^{2+}$ 3, $^{2+}$ 3, $^{2+}$ 4, $^{2+}$ 5, $^{2+}$ 5, $^{2+}$ 5, $^{2+}$ 6, $^{2+}$ 7, $^{2+}$ 8, $^{2+}$ 9, $^{2+$	рΗ
6, após 5h	87
Figura 3.8: Esquema de desprotonação da molécula de RNL acidificada em pka1 = 3, pk = 3,5 e pka3 = 6	
Figura 3.9: (a) Espectros de UV-vis e (b) percentual de descoloração do corante RNL ap	
à fotocatálise por TiO <sub>2</sub> (P25) durante 1h; CaSnO <sub>3</sub> e Ca <sub>0,9</sub> Sn <sub>0,9</sub> M <sub>0,1</sub> O <sub>3-<math>\delta</math></sub> (M = Fe <sup>3+</sup> , Co <sup>2+</sup> , Cu <sup>2</sup>	<sup>2+</sup> ),
em pH 3, após 5h	
Figura 3.10: (a) Espectros de UV-vis e (b) percentual de descoloração do corante RNL ap	ós
à fotocatálise por TiO <sub>2</sub> (P25) durante 1h; CaSnO <sub>3</sub> e Ca <sub>0,9</sub> Sn <sub>0,9</sub> M <sub>0,1</sub> O <sub>3-<math>\delta</math></sub> (M = Fe <sup>3+</sup> , Co <sup>2+</sup> , Cu <sup>2</sup>	<sup>2+</sup> ),
em pH 6, após 5h	90
Figura 4.1: Fluxograma para obtenção dos catalisadores suportados1	
Figura 4.2: Fluxograma para obtenção dos catalisadores impregnados com Pd1	05
Figura 4.3: Esquema da unidade utilizada para realização dos testes catalíticos de NO co	om
CO1	07

Figura 4.4: Conversão catalítica de (a) NO a N2 (a) e (b) CO a CO2 pelas perovskitas
mássicas de CaSnO <sub>3</sub> e Ca <sub>0,9</sub> Sn <sub>0,9</sub> M <sub>0,1</sub> O <sub>3-<math>\delta</math></sub> (M = Fe <sup>3+</sup> , Co <sup>2+</sup> , Cu <sup>2+</sup> )108
Figura 4.5: Conversão catalítica de NO com NH <sub>3</sub> pelas perovskitas mássicas de CaSnO <sub>3</sub> e
$Ca_{0,9}Sn_{0,9}M_{0,1}O_{3-\delta}$ (M = Fe <sup>3+</sup> , Co <sup>2+</sup> , Cu <sup>2+</sup> )
Figura 4.6: Difratogramas de raios-X das amostras de PdO/CaSnO <sub>3</sub> , PdO/Ca <sub>0,9</sub> Sn <sub>0,9</sub> Co <sub>0,1</sub> O <sub>3-8</sub>
e PdO/Ca <sub>0,9</sub> Sn <sub>0,9</sub> Co <sub>0,1</sub> O <sub>3-δ</sub>
Figura 4.7: Espectros de infravermelho (a) e Raman (b) das amostras de PdO/CaSnO <sub>3</sub> ,
$Ca_{0,99}Sn_{0,99}Pd_{0,01}O_{3-\delta}, \qquad PdO/Ca_{0,9}Sn_{0,9}Co_{0,1}O_{3-\delta} \qquad e \qquad PdO/Ca_{0,9}Sn_{0,9}Cu_{0,1}O_{3-\delta}$
δ113
<b>Figura 4.8:</b> Conversão catalítica de NO à N <sub>2</sub> (a) e CO à CO <sub>2</sub> (b) pelo Ca <sub>0,99</sub> Sn <sub>0,99</sub> Pd <sub>0,01</sub> O <sub>3-δ</sub> e PdO/CaSnO <sub>3</sub>
Figura 4.9: Conversão catalítica de NO à N <sub>2</sub> (a) e CO à CO <sub>2</sub> (b) pelo PdO/CaSnO <sub>3</sub> ,
PdO/Ca <sub>0,9</sub> Sn <sub>0,9</sub> Co <sub>0,1</sub> O <sub>3-δ</sub> e PdO/Ca <sub>0,9</sub> Sn <sub>0,9</sub> Cu <sub>0,1</sub> O <sub>3-δ</sub>
Figura 4.10: Conversão catalítica de NO à N <sub>2</sub> (a) e CO à CO <sub>2</sub> (b) pelo
PdO/Ca <sub>0,9</sub> Sn <sub>0,9</sub> Co <sub>0,1</sub> O <sub>3-δ</sub> e PdO/Ca <sub>0,9</sub> Sn <sub>0,9</sub> Cu <sub>0,1</sub> O <sub>3-δ</sub> na faixa de temperatura de 150-300 °C 118
Figura 4.11: Difratogramas de raios-X do $ZrO_2$ , $CaSnO_3$ e $Ca_{0,9}Sn_{0,9}M_{0,1}O_{3-\delta}$ (M = $Co^{2+}$ , $Cu^{2+}$ )
suportados em ZrO <sub>2</sub> . Em destaque, é apresentado o pico principal da perovskita120
Figura 4.12: Espectros de infravermelho das amostras do ZrO <sub>2</sub> e do CaSnO <sub>3</sub> dopado com
Co <sup>2+</sup> e Cu <sup>2+</sup> suportados em ZrO <sub>2</sub> 121
Figura 4.13: Espectros de Raman do ZrO <sub>2</sub> e do CaSnO <sub>3</sub> dopado com Co <sup>2+</sup> e Cu <sup>2+</sup>
suportados em ZrO <sub>2</sub> 122
Figura 4.14: Micrografias de MEV-EC da amostra de CaSnO <sub>3</sub> com diferentes ampliações.
Figura 4.15: Micrografias de MEV-EC da amostra de Ca <sub>0,9</sub> Sn <sub>0,9</sub> Cu <sub>0,1</sub> O <sub>3-δ</sub> depositadas em
ZrO <sub>2</sub> com diferentes ampliações124
Figura 4.16: (a), (b) Micrografias de MET e (c) mapeamento por EDS da amostra de
CaSnO <sub>3</sub> /ZrO <sub>2</sub> 125
Figura 4.17: (a), (b), (c), (d) Micrografias de MET e (e) mapeamento por EDS da amostra de
Ca <sub>0,9</sub> Sn <sub>0,9</sub> Cu <sub>0,1</sub> O <sub>3-δ</sub> depositada em ZrO <sub>2</sub> 126
Figura 4.18: Mapeamento por EDS da amostra de Ca <sub>0,9</sub> Sn <sub>0,9</sub> Cu <sub>0,1</sub> O <sub>3-δ</sub> depositada em ZrO <sub>2</sub> ,
avaliação da região demarcada pela linha amarela127
Figura 4.19: Conversão catalítica de (a) NO à N <sub>2</sub> e (b) CO à CO <sub>2</sub> pelo ZrO <sub>2</sub> ,
Ca <sub>0,9</sub> Sn <sub>0,9</sub> Co <sub>0,1</sub> O <sub>3-5</sub> /ZrO <sub>2</sub> e Ca <sub>0,9</sub> Sn <sub>0,9</sub> Cu <sub>0,1</sub> O <sub>3-5</sub> /ZrO <sub>2</sub>
Figura 4.20: Conversão catalítica de NO com NH <sub>3</sub> pelas perovskitas CaSnO <sub>3</sub> /ZrO <sub>2</sub> e
Ca <sub>0,9</sub> Sn <sub>0,9</sub> Cu <sub>0,1</sub> O <sub>3-5</sub> /ZrO <sub>2</sub> e Ca <sub>0,9</sub> Sn <sub>0,9</sub> Cu <sub>0,1</sub> O <sub>3-5</sub> /ZrO <sub>2</sub> 129

### **LISTA DE TABELAS**

Tabela 1.1: Principais sistemas de POAs27
<b>Tabela 1.2:</b> Energia livre de Gibbs ( $\Delta_r G^\circ$ ) para a redução de NO na presença de alguns
agentes redutores32
Tabela 2.1: Estanatos de metais alcalinos terrosos sintetizados por diversos métodos de
síntese43
Tabela 2.2: Reagentes utilizados no processo de síntese dos catalisadores
Tabela 2.3: Quantidade de reagentes utilizados na síntese de 1 g das perovskitas47
Tabela 2.4: Perda de massa das amostras dos precursores calcinados a 300 °C / 10h 56
Tabela 2.5: Parâmetros de rede, volume da célula unitária e ângulos de inclinação entre os
octaedros das amostras de CaSnO3, $Ca_{0,9}Sn_{0,9}Fe_{0,1}O_{3-\delta}$ , $Ca_{0,9}Sn_{0,9}Co_{0,1}O_{3-\delta}$ , e
Ca <sub>0,9</sub> Sn <sub>0,9</sub> Cu <sub>0,1</sub> O <sub>3-δ</sub> 59
Tabela 2.6: Modos vibracionais υ3 de diferentes estruturas perovskitas
Tabela 2.7: Bandas e atribuições dos espectros de infravermelho do CaSnO <sub>3</sub> e
$Ca_{0,9}Sn_{0,9}M_{0,1}O_{3-\delta}$ (M = $Fe^{3+}$ , $Co^{2+}$ , $Cu^{2+}$ ) calcinados a 800 °C obtidos em KBr e nujol 63
Tabela 2.8: Área superficial específica (S <sub>BET</sub> ), tamanho de partículas (T <sub>P</sub> ) e tamanho de
cristalitos das amostras de CaSnO <sub>3</sub> , Ca <sub>0,9</sub> Sn <sub>0,9</sub> Fe <sub>0,1</sub> O <sub>3-δ</sub> , Ca <sub>0,9</sub> Sn <sub>0,9</sub> Co <sub>0,1</sub> O <sub>3-δ</sub> e
Ca <sub>0,9</sub> Sn <sub>0,9</sub> Cu <sub>0,1</sub> O <sub>3-δ</sub> calcinados à 800 °C / 4h71
Tabela 3.1: Informações sobre o corante remazol amarelo ouro80
Tabela 3.2: Bandas deconvoluídas do espectro de emissão das amostras de CaSnO₃ e
Ca <sub>0,9</sub> Sn <sub>0,9</sub> M <sub>0,1</sub> O <sub>3-<math>\delta</math></sub> (M = Fe <sup>3+</sup> , Co <sup>2+</sup> , Cu <sup>2+</sup> ) calcinados a 800 °C / 4h84
Tabela 4.1: Descrição das amostras utilizadas nos testes catalíticos
Tabela 4.2: Área superficial específica (S <sub>BET</sub> ) das amostras de PdO/CaSnO <sub>3</sub> ,
$PdO/Ca_{0,9}Sn_{0,9}Co_{0,1}O_{3-\delta}\ e\ PdO/Ca_{0,9}Sn_{0,9}Cu_{0,1}O_{3-\delta}$
Tabela 4.3: Área superficial específica (S <sub>BET</sub> ) das amostras de ZrO <sub>2</sub> , Ca <sub>0,9</sub> Sn <sub>0,9</sub> Co <sub>0,1</sub> O <sub>3-δ</sub> /ZrO <sub>2</sub>
e $Ca_{0,9}Sn_{0,9}Cu_{0,1}O_{3-\delta}/ZrO_2$
Tabela 4.4: Taxa molar de conversão de NO em N2 por grama de fase ativa, para a reação
de NO com CO, para as amostras de $Ca_{0,9}Sn_{0,9}Cu_{0,1}O_{3-\delta}$ e $Ca_{0,9}Sn_{0,9}Cu_{0,1}O_{3-\delta}/ZrO_2$ , na
temperatura de 700 °C128
Tabela 4.5: Taxa molar de conversão de NO em N₂ por grama de fase ativa, para a reação
de NO com NH <sub>3</sub> , para as amostras de Ca <sub>0,9</sub> Sn <sub>0,9</sub> Cu <sub>0,1</sub> O <sub>3-δ</sub> e Ca <sub>0,9</sub> Sn <sub>0,9</sub> Cu <sub>0,1</sub> O <sub>3-δ</sub> /ZrO <sub>2</sub> , na
temperatura de 350 °C

### <u>SUMÁRIO</u>

RESUMO
ABSTRACT
LISTA DE SIGLAS E SÍMBOLOS
LISTA DE FIGURAS
LISTA DE TABELAS

	,		
$\sim$			4
( · A D	'I I I I		7
CAP	110	$-\mathbf{c}$	

1. ASF	ECTOS GERAIS	18
1.1 PI	EROVSKITAS	19
1.1.1	Estrutura ABO₃	19
1.1.2	Distorções e defeitos estruturais	21
1.1.3	Estanatos com estrutura perovskita	22
1.2 F	OTODEGRADAÇÃO DE CORANTES TÊXTEIS	24
1.2.1	Azo-corantes	25
1.2.2	Processos Oxidativos Avançados (POAs)	26
1.3 R	EDUÇÃO CATALÍTICA DE NO COM CO OU NH₃	31
1.3.1	Conversão catalítica seletiva (SCR) de NO	32
1.4 O	BJETIVO GERAL	39
1.5 O	RGANIZAÇÃO DA TESE	40
CADÍT	III O 2	
	TESE E CARACTERIZAÇÃO DE ESTANATOS DE CÁLCIO DO	
2. SÍN (Ca	TESE E CARACTERIZAÇÃO DE ESTANATOS DE CÁLCIO DO ,9Sn0,9M0,1O3-δ, M = Fe <sup>3+</sup> , Co <sup>2+</sup> ou Cu <sup>2+</sup> )	42
2. SÍN (Cao	TESE E CARACTERIZAÇÃO DE ESTANATOS DE CÁLCIO DO ,9Sn0,9M0,1O3-δ, M = Fe <sup>3+</sup> , Co <sup>2+</sup> ou Cu <sup>2+</sup> ) TRODUÇÃO	42 42
2. SÍN (Cao 2.1 IN 2.1.1	rese e caracterização de estanatos de cálcio do ,9Sno,9Mo,1O3-δ, M = Fe <sup>3+</sup> , Co <sup>2+</sup> ou Cu <sup>2+</sup> ) TRODUÇÃO Métodos de síntese	42 42
2. SÍN (Cad	TESE E CARACTERIZAÇÃO DE ESTANATOS DE CÁLCIO DO  ,9Sn0,9M0,1O3-δ, M = Fe <sup>3+</sup> , Co <sup>2+</sup> ou Cu <sup>2+</sup> )  TRODUÇÃO  Métodos de síntese	42 43 46
2. SÍN (Cad 2.1 IN 2.1.1 2.2 O 2.3 E	TESE E CARACTERIZAÇÃO DE ESTANATOS DE CÁLCIO DO  ,9Sn0,9M0,1O3-δ, M = Fe <sup>3+</sup> , Co <sup>2+</sup> ou Cu <sup>2+</sup> )  TRODUÇÃO  Métodos de síntese  SJETIVO  KPERIMENTAL	42 43 46
2. SÍN (Cac 2.1 IN 2.1.1 2.2 O 2.3 E	TESE E CARACTERIZAÇÃO DE ESTANATOS DE CÁLCIO DO 1,9Sn0,9M0,1O3-δ, M = Fe <sup>3+</sup> , Co <sup>2+</sup> ou Cu <sup>2+</sup> )	42 43 46 46
2. SÍN (Cac 2.1 IN 2.1.1 2.2 O 2.3 E 2.3.1 2.3.2	TESE E CARACTERIZAÇÃO DE ESTANATOS DE CÁLCIO DO 1,9Sn0,9M0,1O3-δ, M = Fe <sup>3+</sup> , Co <sup>2+</sup> ou Cu <sup>2+</sup> )	42 43 46 46
2. SÍN (Cac 2.1 IN 2.1.1 2.2 O 2.3 E 2.3.1 2.3.2	TESE E CARACTERIZAÇÃO DE ESTANATOS DE CÁLCIO DO 1,9Sn0,9M0,1O3-δ, M = Fe <sup>3+</sup> , Co <sup>2+</sup> ou Cu <sup>2+</sup> )	42 43 46 46 50
2. SÍN (Cac 2.1 IN 2.1.1 2.2 O 2.3 E 2.3.1 2.3.2	TESE E CARACTERIZAÇÃO DE ESTANATOS DE CÁLCIO DO 1,9Sn0,9M0,1O3-δ, M = Fe³+, Co²+ ou Cu²+)	42 43 46 46 50 55
2. SÍN (Cac 2.1 IN 2.1.1 2.2 O 2.3 E 2.3.1 2.3.2 2.4 R	TESE E CARACTERIZAÇÃO DE ESTANATOS DE CÁLCIO DO 1,9Sn0,9M0,1O3-δ, M = Fe <sup>3+</sup> , Co <sup>2+</sup> ou Cu <sup>2+</sup> )	42 43 46 46 50 55

2.4	1.4	Espectros de Absorção na Região do Ultravioleta e Visível	64
2.4	1.5	Espectroscopia Raman	68
2.4	1.6	Área Superficial Específica	72
2.5	CC	DNCLUSÃO	72
СДЕ	ΡÍΤΙ	JLO 3	
		PRIEDADES FOTOCATALÍTICAS E FOTOLUMINESCENTES	DΩ
		Sn <sub>0,9</sub> M <sub>0,1</sub> O <sub>3-δ</sub> (M = Fe <sup>3+</sup> , Co <sup>2+</sup> ou Cu <sup>2+</sup> )	
		FRODUÇÃO	
3.1		Fotoluminescência	
3.1	.2	Estanatos de metais alcalinos terroso aplicados como fotocatalisado	
		antes orgânicos	
3.2		3JETIVO	
3.3	EX	PERIMENTAL	79
3.3	3.1	Fotoluminescência dos Materiais	79
3.3	3.2	Testes Fotocatalíticos e de Adsorção	79
3.3	3.3	Determinação do Potencial de Carga Zero (PCZ)	81
3.4	RE	SULTADOS E DISCUSSÃO	82
3.4	1.1	Propriedades Fotoluminescentes	82
3.4	1.2	Avaliação do Ponto de Carga Zero (PCZ)	85
3.4	1.3	Avaliação Fotocatalítica	87
3.5	CC	NCLUSÃO	.93
<u>CAF</u>	PÍTL	JLO 4	
4. P	ER	OVSKITAS DE Ca <sub>0,9</sub> Sn <sub>0,9</sub> M <sub>0,1</sub> O <sub>3-<math>\delta</math></sub> (M = Fe <sup>3+</sup> , Co <sup>2+</sup> ou Cu <sup>2+</sup> ) APLICAD	AS
N	IA R	EDUÇÃO CATALÍTICA DE NO COM CO E COM NH3	96
4.1	IN	FRODUÇÃO	96
4.1	.1	Estanatos de metais alcalinos terrosos aplicados na conversão de	NO
		com CO	98
4.1	.2	Suportes Catalíticos	99
		SJETIVO	
4.3	EX	PERIMENTAL	
4.3		Síntese e caracterização dos catalisadores	
4.3	3.2	Testes catalíticos	106

4.4	RE	SULTADOS E DISCUSSÃO	108
4.	4.1	Avaliação catalítica das perovskitas mássicas	108
4.	4.2	Perovskitas suportadas em ZrO <sub>2</sub>	119
4.5	CC	NCLUSÃO	130
<u>CA</u>	. <u>PÍTL</u>	<u>JLO 5</u>	
5.	CON	SIDERAÇÕES FINAIS	133
REI	ERÉ	ÊNCIAS	135
ANI	EXO	S	152
A	nexo	1: Difratogramas de raios-X das amostras de CaSnO <sub>3</sub> e	Ca <sub>0.9</sub> Sn <sub>0.9</sub> M <sub>0.1</sub> O <sub>3-δ</sub>
(N	1 = F	e <sup>3+</sup> , Co <sup>2+</sup> e Cu <sup>2+</sup> ) calcinadas em 800 °C/ 4 h	153
A	nexo	2: Deconvoluções dos espectros fotoluminescentes	154
A	nexo	3: Produção científica no período de 2013 - 2017	155
A	nexo	4: Direito autoral e pessoal e institucional	156

# CAPITULO 1

## Aspectos Gerais

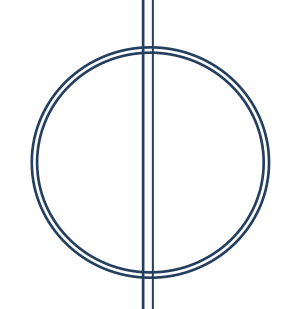
"A imaginação é mais importante que o

conhecimento. O conhecimento é limitado, a

imaginação circunda o mundo"

Albert Einstein (1879-1955)

(The Saturday Evening Post, 1926).



### 1. ASPECTOS GERAIS

A busca por novos materiais que apresentem propriedades e aplicações específicas tem favorecido o desenvolvimento tecnológico nos últimos anos. Nesta perspectiva, óxidos mistos com estrutura perovskita, que possuem elevada cristalinidade e estabilidade térmica (PEÑA e FIERRO, 2001), são objeto de pesquisa de vários trabalhos científicos. Estes óxidos apresentam, de forma geral, uma grande versatilidade de aplicações, possibilitando mudanças na composição química, mantendo, na maioria dos casos, a estrutura perovskita inalterada.

A literatura reporta que algumas perovskitas apresentam atividade catalítica, sendo utilizados como catalisadores mássicos ou depositados em suportes comerciais – tanto em catálise heterogênea (ZHU *et al.*, 2014) quanto em fotocatálise heterogênea (GRABOWSKA, 2016).

Como catalisador heterogêneo, a aplicação de óxidos com estrutura perovskita teve seu primeiro registro em 1952 e 1953, quando Parravano relatou o desempenho catalítico do NaNbO<sub>3</sub>, KNbO<sub>3</sub> e LaFeO<sub>3</sub> nas reações de oxidação de CO (PARRAVANO, 1952; 1953). Desde então, uma grande quantidade de pesquisas, usando estas perovskitas como catalisadores, emergiu. No tocante à decomposição catalítica de óxidos de nitrogênio (NO<sub>x</sub>), as perovskitas são consideradas excelentes candidatas a catalisadores por possuírem estruturas capazes de acomodar uma grande concentração de defeitos e por exibirem propriedades que são possíveis de controle e modificação, mediante substituições na estrutura cristalina (ZHU *et al.*, 2014).

No campo da fotocatálise, os óxidos com estrutura perovskita distorcida são considerados como materiais promissores, pois, a distorção da rede cristalina influencia fortemente no transporte de cargas fotogeradas, incluindo excitação, transferência e reações redox (SHI e GUO, 2012). Diversos grupos de perovskitas, tais como titanatos (KATO et al., 2013), tantalatos (LIU et al., 2015), niobatos (SHI et al., 2009) e ferritas (THIRUMALAIRAJAN et al., 2013) apresentaram atividade fotocatalítica.

### 1.1 PEROVSKITAS

Perovskitas formam uma grande família de cerâmicas cristalinas com diversas aplicações nas mais diferentes áreas do conhecimento. O termo perovskita foi atribuído ao titanato de cálcio (CaTiO<sub>3</sub>), em 1839, pelo mineralogista alemão Gustav Rose<sup>1</sup> (que descobriu este mineral nas montanhas Ural), em homenagem ao ministro russo Lev Aleksevich von Perovski<sup>2</sup>. Desde então, essa nomenclatura foi empregada para todos os compostos sintéticos ou naturais que apresentavam estequiometria e ligações semelhantes ao CaTiO<sub>3</sub>.

As primeiras perovskitas sintéticas foram produzidas por Goldschmidt<sup>3</sup>, em 1926, na Universidade de Oslo (TEJUCA, FIERRO e TASCÓN 1989; LUFASO, 2002; JOHNSSON e LEMMENS, 2008).

As perovskitas apresentam diversas propriedades físicas, tais como piezoeletricidade e ferroeletricidade (HUAN et al., 2014); ferromagnetismo (TRIPATHI et al., 2014), supercondutividade (TÜTÜNCÜ e SRIVASTAVA, 2012) e condutividade térmica (TACHIBANA, KOLODIAZHNYI e TAKAYAMA-MUROMACHI, 2008). Também apresentam propriedades de transporte de interesse para potência termoelétrica de alta temperatura (FELTZ, 2000). Outra propriedade é que algumas perovskitas apresentam magnetoresistência colossal, que faz destes materiais candidatos potenciais para aplicações tecnológicas como cabeças de leitura magnética (PEÑA e FIERRO, 2001).

### 1.1.1 Estrutura ABO<sub>3</sub>

Óxidos com estrutura perovskita do tipo CaTiO<sub>3</sub> apresentam fórmula geral ABO<sub>3</sub> (sendo A, geralmente, um metal alcalino, alcalino terroso ou terra rara, e B um metal de transição ou Sn). Do ponto de vista cristalográfico, a estrutura perovskita ABO<sub>3</sub> ideal é cúbica com grupo pontual  $O_h^1$  o que corresponde a  $Pm\bar{3}m$  na notação

<sup>1</sup> Gustav Rose nasceu em 18 de março de 1798 na cidade de Berlim. Foi um mineralogista pioneiro na descrição de minerais contendo elementos do grupo dos lantanídeos.

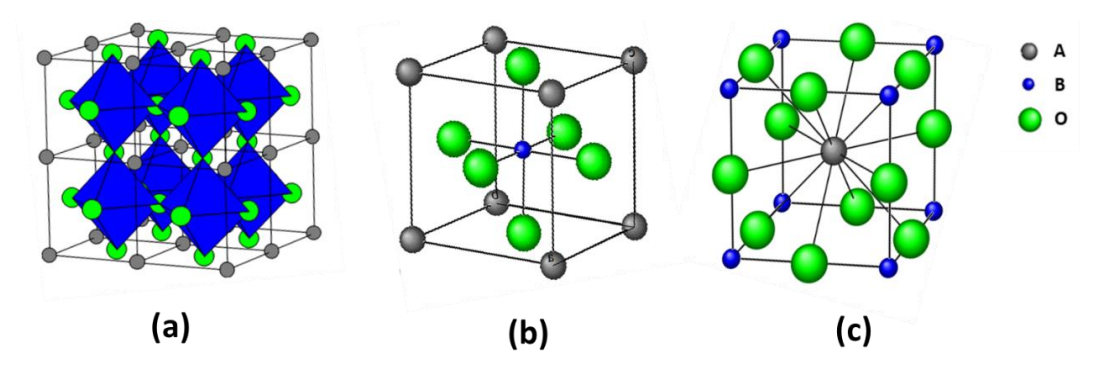
19

<sup>&</sup>lt;sup>2</sup> Lev Aleksevich von Perovski nasceu na Rússia em 9 de setembro, 1792. Foi um nobre mineralogista que também atuou como ministro da administração interna sob Nicolau I da Rússia. Em 1845, ele propôs a criação da Sociedade Geográfica Russa.

<sup>&</sup>lt;sup>3</sup> Victor Moritz Goldschmidt nasceu em 27 de janeiro de 1888 em Zurique (Suíça) e foi um químico, professor assistente na Universidade de Oslo. Durante muitos anos foi presidente da comissão norueguesa de materiais.

de Herman-Mauguin<sup>4</sup>. Os cátions A e B ocupam sítios com elevada simetria cúbica (grupo pontual  $O_h$ ) ao passo que os ânions oxigênios ocupam sítios  $D_{4h}$  (ISLAM, RONDINELLI e SPANIER, 2013). O cátion B está hexacoordenado e o cátion A está dodecacoordenado com os ânions oxigênios (Figura 1.1).

**Figura 1.1:** (a) Célula unitária da estrutura perovskita ABO<sub>3</sub> cúbica ( $Pm\overline{3}m$ ), (b) cátion B sendo o átomo central, (c) cátion A sendo átomo central.



Fonte: Adaptado (JUÁREZ, GONZÁLEZ e CASTREJÓN, 2011).

A estabilidade da estrutura perovskita é derivada principalmente da energia eletrostática atingida se os cátions ocupam as posições de octaedros unidos pelos vértices. Desta forma, o primeiro pré-requisito para obter um perovskita ABO<sub>3</sub> estável é a existência de blocos estruturais estáveis em sítios octaedrais. Sendo assim, o sistema requer que o cátion B tenha preferência por uma coordenação octaédrica. O segundo pré-requisito é que o cátion A tenha o tamanho adequado, uma vez que este ocupará o interstício relativamente grande criado pelos octaedros de vértice compartilhados (WOODWARD, 1997; ZHAO, YANG e WU, 1996; HODJATI et al., 2000).

Outro fator importante é a eletroneutralidade, isto é, a soma das cargas de A e B deve ser igual à soma das cargas dos ânions oxigênios. Isto é alcançado mediante a distribuição adequada das cargas na estequiometria A<sup>2+</sup>B<sup>4+</sup>O<sub>3</sub>, A<sup>1+</sup>B<sup>5+</sup>O<sub>3</sub> ou A<sup>3+</sup>B<sup>3+</sup>O<sub>3</sub> (PEÑA e FIERRO, 2001). Inúmeras combinações dos cátions A e B são possíveis para promover o balanço de carga nos óxidos ABO<sub>3</sub> estequiométricos

<sup>4</sup> O termo Herman-Mauguin deve-se aos mineralogistas Carl Herman (nascido em 17 de junho de 1898 na Alemanha) e Charles-Victor Mauguin (nascido em 19 de julho de 1878 na França). A notação Hermann-Mauguin, em comparação com a notação Schoenflies é preferida em cristalografia, porque pode ser facilmente utilizada para incluir elementos de simetria de translação, e especifica as direções dos eixos de simetria.

20

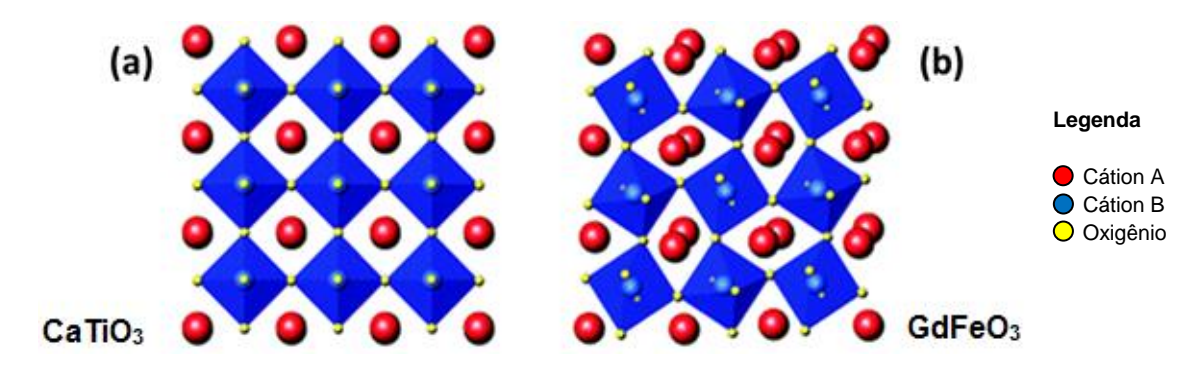
(TEJUCA, FIERRO e TASCÓN 1989). Essa característica promove um largo espaço para as diferentes propriedades destes materiais.

### 1.1.2 Distorções e Defeitos estruturais

Teoricamente, a estrutura ABO<sub>3</sub> ideal é cúbica. Entretanto, a maioria das perovskitas dessa classe apresentam desvios na estrutura. Uma explicação para esse comportamento pode ser atribuída, principalmente, à quebra de simetria que ocorre nestas estruturas devido a distorções ocasionadas por rotações sofridas pelos octaedros BO<sub>6</sub> sobre um ou mais eixos de alta simetria do cubo. Além disso, a distorção entre unidades de BO<sub>6</sub> e o deslocamento dos íons B dentro do octaedro também são responsáveis pela mudança. As causas desse efeito são atribuídas à substituição do cátion A e ao efeito Janh-Teller<sup>5</sup> (GREEN *et al.*, 2000; ISLAM, RONDINELLI e SPANIER, 2013).

As distorções promovem a formação de estruturas com simetria tetragonal, ortorrômbica, romboédrica, monoclínica e triclínica (JUÁREZ, GONZÁLEZ e CASTREJÓN, 2011), sendo que a simetria ortorrômbica (grupo espacial *Pbnm*) tem sido mais comumente observada. No grupo espacial ortorrômbico, a distorção octaédrica origina-se de rotações ou inclinações dos octaedros BO<sub>6</sub>. A Figura 1.2 apresenta uma possível inclinação dos octaedros BO<sub>6</sub>.

**Figura 1.2:** Estrutura perovskita ABO<sub>3</sub> mostrando: (a) a vista poliédrica das unidades dos octaedros (BO<sub>6</sub>) compartilhados pelos vértices para uma forma cúbica de mais alta simetria; (b) a vista poliédrica de uma perovskita distorcida, do tipo ortorrômbica.



Fonte: MODESHIA e WALTON, 2010.

<sup>5</sup> O efeito Jahn-Teller é caracterizado pela deformação espontânea da geometria quando estados orbitais degenerados de moléculas não lineares se subdividem de forma a reduzir a energia do sistema. O efeito foi atribuído por Hermann Jahn e Edward Teller.

21

As estruturas perovskitas são extremamente tolerantes às variações na composição e distorções devido à sua capacidade de adaptar-se a uma incompatibilidade entre o equilíbrio do comprimento das ligações A-O e B-O, permitindo um grande número e variedade estequiométrica de compostos.

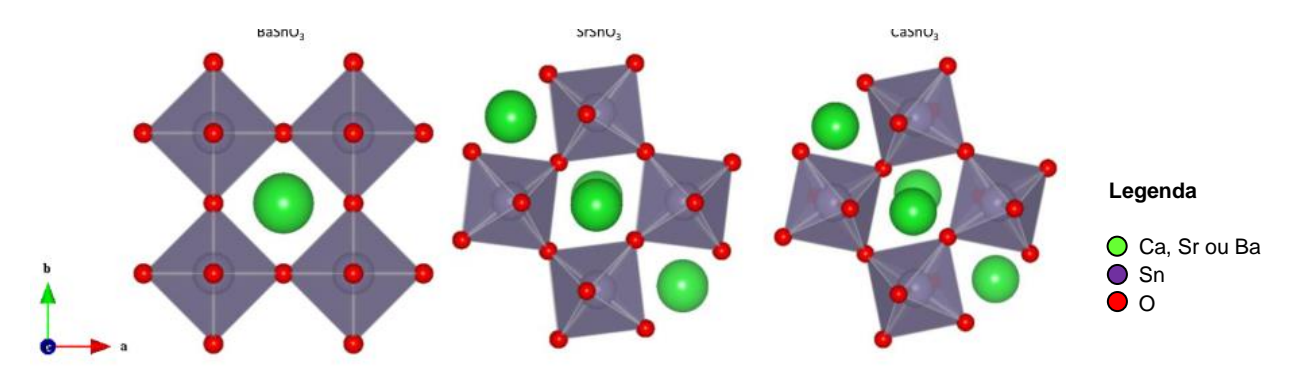
Defeitos estruturais nas perovskitas são provenientes da substituição parcial dos íons A e B, o que resulta na deficiência catiônica e/ou vacâncias de ânions oxigênio. Segundo Peña e Fierro (2001), as vacâncias de oxigênios são mais comuns que as vacâncias de cátions. A não estequiometria de perovskitas tem sido amplamente investigada em vários trabalhos (HAILE, STANEFF e RYU, 2001; MORI *et al.*, 2011; NEAGU *et al.*, 2013).

### 1.1.3 Estanatos com estrutura perovskita

Estanatos de metais alcalinos terrosos compreendem a família de perovskitas que apresentam o Sn ocupando o sítio B e os metais alcalinos terrosos ocupando o sítio A da estrutura ABO<sub>3</sub> (STANULIS *et al.*, 2012; WANG *et al.*, 2014). Com isso, esses compostos compreendem os estanatos de bário (BaSnO<sub>3</sub>), estrôncio (SrSnO<sub>3</sub>) e cálcio (CaSnO<sub>3</sub>). O primeiro composto possui o grupo espacial cúbico  $(Pm\overline{3}m)$ , e os outros dois possuem grupo espacial ortorrômbico (Pbnm).

De acordo com Loken (2011), estas diferenças devem-se à influência do cátion do sítio A. Segundo ele, à medida que o tamanho do cátion A aumenta, a magnitudes das inclinações entre Sn-O-Sn diminui promovendo um maior grau de simetria, como mostrado na Figura 1.3.

**Figura 1.3**: Projeção das fases perovskitas de BaSnO<sub>3</sub>, SrSnO<sub>3</sub> e CaSnO<sub>3</sub>, baseado nos resultados indicados por Zhang *et al.* (2007, *apud* LOKEN 2011).



Fonte: Própria (Estruturas obtidas pelo software VESTA®).

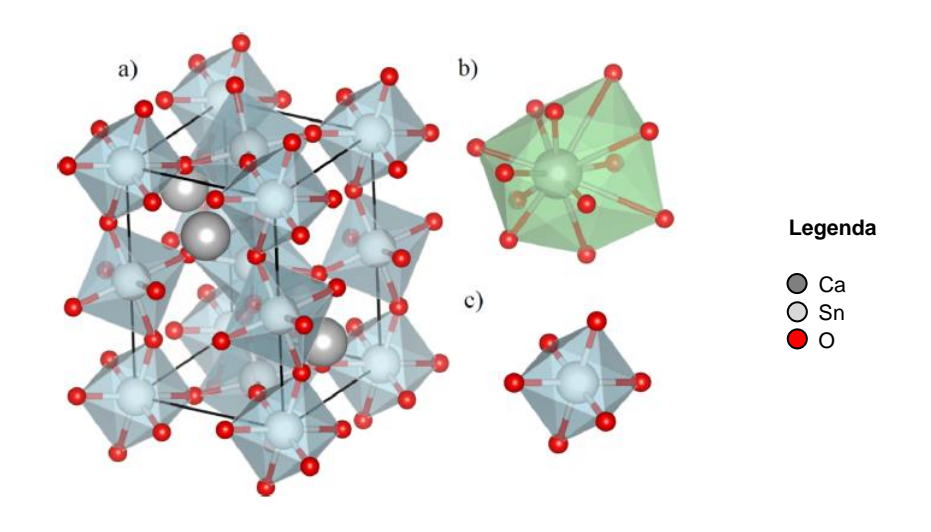
Estes estanatos apresentam grande interesse devido às suas diversas aplicações, tais como: materiais sensores de gás (CHENG e LU, 2008), eletrodos para baterias de íons de metais alcalinos (MOUYANE *et al.*, 2011), corpos cerâmicos dielétricos (SINGH *et al.*, 2010), e como fotocatalisadores (LEE *et al.*, 2012).

### 1.1.3.1 Estanato de cálcio (CaSnO<sub>3</sub>)

O estanato de cálcio (CaSnO<sub>3</sub>), em condições ambientais, é uma perovskita do tipo GdFeO<sub>3</sub> (ortorrômbica), que apresenta grupo espacial *Pbnm*, tendo como parâmetros de rede a = 5,5142(2) Å, b = 5,6634(2) Å e c = 7,88162(17) Å. Pode ser racionalizada em termos de uma repetição de octaedros SnO<sub>6</sub> compartilhados pelos vértices, conforme ilustrada na Figura 1.4 (MOUNTSTEVENS, ATTFIELD e REDFERN, 2003, MAUL *et al.*, 2015).

Do ponto de vista geofísico, o CaSnO<sub>3</sub> tem atraído bastante a atenção da comunidade científica por ser um análogo isoestrutural da perovskita (Mg,Fe)SiO<sub>3</sub>, o silicato mais abundante na crosta terrestre (HELFFRICH e WOOD, 2001).

**Figura 1.4:** (a) Estrutura do CaSnO<sub>3</sub> com grupo espacial *Pbnm*; (b) CaO<sub>12</sub> cuboctaédrico distorcido; e (c) SnO<sub>6</sub> distorcido.



Fonte: (MAUL et al., 2015)

Na fase perovskita, o CaSnO<sub>3</sub> apresenta simetria ortorrômbica devido à distorção sofrida da estrutura cúbica resultante das inclinações entre os octaedros

SnO<sub>6</sub> (GLAZER, 1972). Entretanto, além da fase ortorrômbica, o CaSnO<sub>3</sub> pode apresentar a cristalinidade de uma ilmenita, com fases hexagonal e romboédrica cujos parâmetros de rede são a = 5,487(1) Å, c = 15,287(6) Å, Z = 6 e a = 6,000(2) Å,  $\alpha = 54,42(3)^\circ$ , Z = 2, respectivamente (DURAND e LOISELEUR, 1978; ZHAO, ROSS e ANGEL, 2004).

No que se refere às propriedades eletrônicas, Zhong *et al.* (2016) ao investigarem a série das perovskitas de MSnO<sub>3</sub> (M = Ba, Sr e Ca), verificaram que todos estes estanatos apresentavam um elevado *band gap* e que os valores aumentavam, de modo que Ba < Sr < Ca. Desta forma, o CaSnO<sub>3</sub> apresenta a mais baixa concentração de defeitos eletrônicos. Os valores de *band gap* estimados a partir dos espectros de reflectância foram de 3,04; 4,83 e 4,03 eV para o BaSnO<sub>3</sub>, SrSnO<sub>3</sub> e CaSnO<sub>3</sub>, respectivamente.

O efeito da dopagem de alguns estanatos de metais de alcalinos terrosos com metais de transição tem sido estudado na avaliação de propriedades estruturais, semicondutoras e magnéticas destas perovskitas. A maioria deles reportam que a incorporação de íons com diferentes valores de número de oxidação levam à formação de defeitos estruturais e, consequentemente, de vacâncias de oxigênio (THANGADURAI et al., 2003; PRATHIBA et al, 2010; MISRA et al., 2010, VIEIRA et al., 2014).

### 1.2 FOTODEGRADAÇÃO DE CORANTES TÊXTEIS

Atualmente, uma grande quantidade de efluentes industriais contendo corantes têxteis vem sendo lançada no ambiente. Alguns desses corantes possuem o grupo azo (-N=N-) ligado a grupos aromáticos, o que pode ocasionar vários riscos ambientais comprometendo a saúde de plantas e animais (SINGH e ARORA, 2011; CASTANHO, MALPASS e MOTHEO, 2006). Sendo assim, o tratamento de efluentes para a remoção destes resíduos tornou-se uma preocupação por parte dos órgãos públicos e da comunidade científica.

Dentre os corantes têxteis utilizados, a classe dos azo-corantes apresenta uma alta estabilidade ao tratamento de descoloração, principalmente quando tratados pelos métodos tradicionais, tais como os processos físico-químicos de

precipitação-coagulação, floculação e decantação; adsorção em carvão ativado e os processos biológicos (KUNZ et al., 2002). Nesta perspectiva, os processos oxidativos avançados (POAs) têm se mostrado eficientes no tratamento destes efluentes, uma vez que, ao produzirem radicais livres, provocam reações em cadeia, tornando, portanto, eficaz o processo de descontaminação. Dentre as POAs, a fotocatálise heterogênea tem mostrado ser efetiva na degradação de uma grande variedade de corantes têxteis (JIA et al., 2010a; GHAFFARI et al., 2012).

Diversos óxidos semicondutores têm sido investigados na decomposição fotocatalítica destes corantes. Muitos deles são óxidos metálicos, incluindo os óxidos com estrutrura perovskita, dos quais o SrTiO<sub>3</sub> é o mais citado. Entretanto, poucos trabalhos utilizando perovskitas à base de estanho têm sido publicados (WANG *et al.*, 2009; WANG *et al.*, 2013; SALES *et al.*, 2014).

### 1.2.1 Azo-corantes

Azo-corantes são compostos caracterizados pela presença de um ou mais grupos diazenodiila ou azo (-N=N-) ligados aos grupos fenil e naftil, os quais são geralmente substituídos por algumas combinações de grupos funcionais, incluindo: amina (-NH<sub>2</sub>); cloro (-Cl); hidroxilas (-OH); metil (-CH<sub>3</sub>); nitro (-NO<sub>2</sub>); ácido sulfônico e sais de sódio (-SO<sub>3</sub>Na) (BELL *et al.*, 2000).

Existem mais de 300 tipos de corantes azo incluindo o Remazol Amarelo Ouro (RNL), cuja estrutura é mostrada na Figura 1.5 Estes corantes são bastante utilizados nas indústrias de papel, alimentos e cosméticos, sendo que, cerca de 80% de todos os corantes azo são empregados na indústria têxtil. Por sua vez, cerca de 10% da carga total de corantes usada no tingimento das fibras não se ligam a estas, sendo descartados no ambiente. Outros estudos indicam que o efluente final, após o processo de tingimento nas indústrias têxteis, pode apresentar concentrações destes corantes que variam de 5 a 1500 ppm, em diferentes formas químicas. Estima-se que 15% de toda produção mundial de azo-corantes seja perdida para o meio ambiente (ASAD *et al.* 2007; SUDHA *et al.*, 2014; GOTTLIEB *et al.*, 2003; SANTOS *et al.*, 2011).

NaOSO<sub>3</sub>CH<sub>2</sub>CH<sub>2</sub>SO<sub>2</sub>

N=N

NH<sub>2</sub>

HN

C—CH<sub>3</sub>

Figura 1.5: Estrutura molecular do corante remazol amarelo ouro (RNL)

Fonte: (Adaptado de ALVARENGA et al., 2015 - construído no software Chemdraw®)

Os métodos clássicos de tratamento de efluentes contendo azo-corantes baseiam-se nas combinações de diferentes processos físico-químicos e biológicos. Métodos físico-químicos de coagulação/floculação, separação por ultrafiltração e osmose reversa ou adsorção utilizando carvão ativado apenas modificam a fase do poluente, requerendo tratamento complementar para o correto descarte e acarretando em um custo operacional adicional (SANTOS et al., 2011). Além disso, devido à estabilidade e complexidade de alguns corantes, processos biológicos não conseguem degradar estes poluentes (PUNZI et al., 2015).

### 1.2.2 Processos Oxidativos Avançados (POAs)

O conceito de Processos Oxidativos Avançados (POAs) foi primeiro estabelecido por Glaze, Kang e Chapin (1987). De acordo com os autores, os POAs são processos em que radicais livres, principalmente hidroxilas (OH•), por apresentarem alto poder oxidante, promovem a degradação de vários contaminantes orgânicos.

Os radicais hidroxilas podem ser gerados a partir de reações envolvendo oxidantes fortes, tais como o ozônio (O<sub>3</sub>) e peróxido de hidrogênio (H<sub>2</sub>O<sub>2</sub>) ou mediante semicondutores metálicos (TiO<sub>2</sub>, ZnO), na presença de irradiação ultravioleta (UV). Estes radicais OH• reagem com diversos compostos orgânicos de diferentes formas e o resultado desta interação é a formação de radicais orgânicos que, ao reagirem com oxigênio, podem promover a mineralização total dos

compostos orgânicos levando à geração de H<sub>2</sub>O, CO<sub>2</sub>, Cl<sup>-</sup>, SO<sub>4</sub><sup>2-</sup> e NO<sub>3</sub><sup>-</sup> (SINGH e ARORA, 2011; OLIVEIRA, 2013).

Os POAs são divididos em homogêneos e heterogêneos, podendo ocorrer com ou sem presença de radiação eletromagnética, sendo fotoquímicos e não fotoquímicos, respectivamente. Os processos que utilizam catalisadores com fase diferente do sistema que está sendo tratado (fluido) são chamados de heterogêneos, os que apresentam a mesma fase, homogêneos (FIGUEIREDO e RIBEIRO, 2007). Na Tabela 1.1 são apresentados os principais sistemas de POAs.

Tabela 1.1: Principais sistemas de POAs

Sistema	Com irradiação	Sem irradiação
	O <sub>3</sub> /UV	O <sub>3</sub> /HO <sup>-</sup>
Hamagânaa	$H_2O_2/UV$	$O_3/H_2O_2$
Homogêneo	$O_3/H_2O_2/UV$	Reativo de Fenton
	Foto-Fenton	-
Heterogêneo	MO <sub>2</sub> /O <sub>2</sub> /UV	O <sub>3</sub> /Catalisador

Fonte: (Adaptado de SOUZA, 2010).

As principais vantagens dos POAs são: a) taxas de reações elevadas; b) potencialidade na redução da toxicidade e mineralização dos compostos orgânicos tratados; c) não concentrar resíduos para posterior tratamento; d) elevada capacidade de oxidação de compostos não biodegradáveis; e) possibilidade de uso combinado com outros processos de tratamento de efluentes, etc (SHARMA *et al.*, 2013).

Dentre os sistemas que envolvem POAs, a fotocatálise heterogênea tem sido usada na descoloração de diversos corantes, inclusive aqueles contendo o grupo azo (GHORESISHIAN *et al.*, 2014; KOCAKUSAKOGLU *et al.*, 2015; SALES *et al.*, 2014).

### 1.2.2.1 Fotocatálise heterogênea

A fotocatálise heterogênea pode ser descrita como a aceleração de uma fotorreação na presença de um catalisador sólido (IBHADON e FITZPATRICK, 2013). Em outras palavras, a fotocatálise ocorre quando uma reação catalítica é iniciada pela ação da luz, que muitas vezes utiliza a radiação ultravioleta (radiação situada na região de 100-380 nm do espectro eletromagnético, a qual pode ser dividida nas bandas UV-A, UV-B, UV-C) de modo a promover a excitação do fotocatalisador.

Os avanços em fotocatálise heterogênea iniciaram quando, em 1972, os pesquisadores japoneses Fujishima e Honda publicaram um trabalho mostrando que, quando o TiO<sub>2</sub> cristalino era irradiado por uma fonte de luz com energia maior que o *band gap* do catalisador, era possível promover a decomposição da água em hidrogênio e oxigênio (Fujishima e Honda, 1972).

A fotodegradação de compostos orgânicos poluentes pode ocorrer por meio de dois mecanismos distintos: direta e indireta.

O mecanismo direto envolve a oxidação ou redução das moléculas dos poluentes na superfície do fotocatalisador devido aos pares h<sup>+</sup>/e<sup>-</sup> fotogerados (MARTINS, HEWER e FREIRE, 2007). O mecanismo fotocatalítico ocorre quando um material semicondutor (MSC) absorve energia por uma radiação igual ou superior ao seu *band gap* (Eg). Esta por sua vez, promove a excitação dos elétrons (da banda de valência, BV, para a banda de condução, BC, gerando pares de cargas positivas (h<sup>+</sup>) e negativas (e<sup>-</sup>), conforme mostrado na Equação 1.1. Como consequência, os pares de elétrons-buracos conferem ao material semicondutor propriedades redox.

$$MSC + h\upsilon \rightarrow MSC (e_{BC}^- + h_{BV}^+)$$
 Eq. 1.1

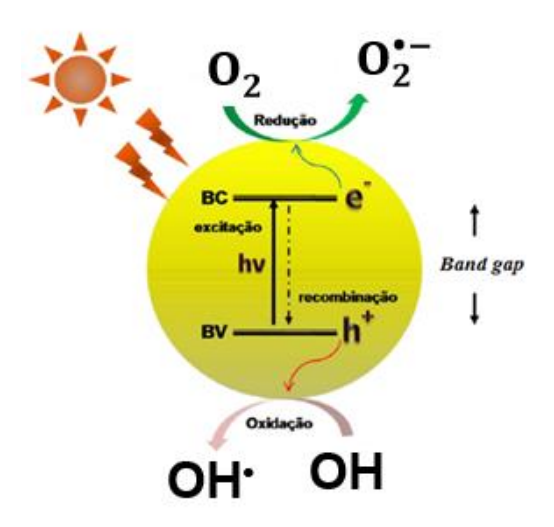
Os pares elétrons-buracos (h<sup>+</sup>/e<sup>-</sup>) podem se recombinar rapidamente, através de defeitos na superfície e mediante processos radiativos ou não, e promoverem a recombinação de cargas. No entanto, se as cargas fotogeradas encontrarem um receptor (R) ou doador (D) de elétrons adsorvidos na superfície, ocorre a

transferência de cargas (FOX e DULAY, 1993; HOFFMANN *et al*, 1995), conforme mostrado nas Equações 1.2 e 1.3.

$$R_{ads} + e_{BC}^- o R_{ads}^-$$
 Eq. 1.2 Eq. 1.3

Por outro lado, no mecanismo indireto a oxidação dos compostos orgânicos poluentes ocorre através da geração de radicais OH•, o que costuma ser a rota mais eficiente na degradação dos compostos orgânicos, uma vez que esses radicais apresentam elevado potencial de redução (E° = 2,7 V, em 25 °C e tendo como referência o eletrodo padrão de hidrogênio), alta reatividade e baixa seletividade. Estes radicais podem reagir com os compostos orgânicos poluentes (P) e promover a formação de gás carbônico e água, levando portanto, ao processo de mineralização (AJMAL *et al.*, 2014). A Figura 1.6 ilustra o mecanismo.

Figura 1.6: Ilustração do mecanismo de fotoexcitação (indireto) eletrônica em um material semicondutor



Fonte: SALES, 2014.

Além dos radicais hidroxila (OH $^{\bullet}$ ), outros dois intermediários altamente reativos são formados durante o processo fotocatalítico, o radical aniônico superóxido ( $O_2^{\bullet-}$ ) e o hidroperóxido ( $HO_2^{\bullet}$ ), conforme mostrado nas Equações 1.4 e

1.5 (Holmes, 2003). Estes, por sua vez, podem reagir entre si para gerar o peróxido de hidrogênio (Eq. 1.6 a 1.8) e em seguida, radicais hidroxilas (Eq. 1.9 e 1.10).

$$\begin{pmatrix}
O_2 + e_{BC}^- \to O_2^{\bullet -} \\
O_2^{\bullet -} + H^+ \to HO_2^{\bullet}
\end{pmatrix}$$
 Eq. 1.4

$$HO_{2}^{\bullet} + HO_{2}^{\bullet} \to H_{2}O_{2} + O_{2}$$

$$O_{2}^{\bullet-} + HO_{2}^{\bullet} \to OOH^{-} + O_{2}$$

$$HO_{2}^{\bullet} + O_{2} \to H_{2}O_{2}$$
Eq. 1.6

Eq. 1.6

A maneira mais evidente da formação de  $OH^{\bullet}$  é a oxidação por  $h^{+}$  dos doadores  $H_{2}O$  ou íon hidróxido adsorvidas na superfície do catalisador, conforme as Eq. 1.11 e 1.12 (OLIVEIRA, 2013).

$$H_2O + h^+ \to H^+ + OH^-$$
 Eq. 1.11 Eq. 1.12

A fotoatividade do catalisador depende da sua área superficial, morfologia, capacidade de adsorção, fatores que são influenciados pelo método de síntese, estrutura cristalina, porosidade, etc.

A literatura tem apresentado que, de todos os semicondutores aplicados nestes processos de fotocatálise heterogênea, o dióxido de titânio (TiO<sub>2</sub>) têm sido o mais utilizado e o mais ativo. Além de seu grande potencial fotocatalítico, o TiO<sub>2</sub> reúne as características de: não toxicidade, insolubilidade em água, fotoestabilidade, etc (ZIOLLI e JARDIM, 1998).

### 1.3 REDUÇÃO CATALÍTICA DE NO COM CO OU NH3

Os problemas de poluição atmosférica estão relacionados com o aumento nas concentrações de compostos considerados prejudiciais, como por exemplo, monóxido de carbono (CO), óxidos de nitrogênio (NO<sub>x</sub>), óxidos de enxofre (SO<sub>x</sub>), dióxido de carbono (CO<sub>2</sub>), compostos orgânicos voláteis (VOC), compostos halogenados e material particulado.

Dentre as classes de gases danosos, os óxidos de nitrogênio (NO<sub>x</sub>) são considerados poluentes atmosféricos altamente prejudiciais, pois além de serem tóxicos e irritantes ao sistema respiratório humano, também contribuem para a formação da chuva ácida, a destruição da camada de ozônio, o aumento do efeito estufa e da neblina fotoquímica (CÓNSUL *et al.* 2004; IRFAN, GOO e KIM, 2008).

De todas as formas de óxidos de nitrogênio, o óxido nítrico (NO) é responsável por 95% de todo NO<sub>x</sub> emitido na atmosfera. Sendo assim, a redução catalítica do NO tem recebido maior atenção por parte da comunidade científica. O NO puro é praticamente inofensivo, no entanto, ao reagir com oxigênio, ozônio e peróxidos presentes na atmosfera, pode ser facilmente oxidado a NO<sub>2</sub> (CÓNSUL *et al.*, 2004). Este, por sua vez, é altamente solúvel em água, sufocante e um forte agente oxidante que reage no ar para formar ácido nítrico corrosivo, *smog* fotoquímico, bem como nitratos orgânicos tóxicos (PAUL *et al.* 2008).

Os NOx são emitidos principalmente pela combustão do carvão, em motores automotivos e plantas industriais, entre elas, os regeneradores de unidades de craqueamento por fluxo catalítico (FCC) (LI *et al.*, 2012a).

Li *et al.* (2014) reportaram que a concentração de óxidos de nitrogênio emitida por regeneradores de FCC pode variar entre 50 e 500 ppm dependendo da composição do combustível e condições operacionais. De modo geral, estima-se que em uma refinaria de petróleo são produzidas aproximadamente 2000 toneladas de NO<sub>x</sub> por ano.

Comumente, os catalisadores utilizados na redução de NO em regeneradores de FCC são baseados em zeólitas e metais nobres, porém estes catalisadores diminuem suas atividades na presença excessiva de O<sub>2</sub>. Por sua vez, óxidos mistos com estrutura do tipo perovskita (ABO<sub>3</sub>) são considerados alternativas promissoras

na substituição destes materiais, pois apresentam alta estabilidade química, térmica e estrutural (LI *et al.*, 2012b), tendo menor custo, grande versatilidade e, de modo geral, excelente propriedade redox (ZHANG *et al.*, 2006a; LI *et al.*, 2012b).

### 1.3.1 Conversão catalítica seletiva (SCR) de NO

A reação de conversão de NO em N<sub>2</sub> e O<sub>2</sub> é extremamente lenta devido à elevada energia de dissociação das moléculas de NO (~153,3 kcal mol<sup>-1</sup>) e praticamente não se processa em condições ambiente (SMITH, NESS e ABBOTT, 2007).

A utilização de catalisadores favorece o processo de conversão. Porém, devido à forte adsorção das moléculas de NO na superfície do catalisador, ocorre a formação de intermediários indesejados de N<sub>2</sub>O e NO<sub>2</sub> e a desativação catalítica (PÂRVULESCU, GRANGE e DELMON, 1998; TANABE, 2006).

De modo a favorecer o processo de decomposição de NO e com intuito de evitar a formação de intermediários indesejados, o processo de redução catalítica seletiva (do inglês, selective catalytic reduction – SCR) para a decomposição catalítica de NO é bastante comum. Neste processo, a conversão de NO é termodinamicamente favorecida pela presença de agentes redutores, tais como NH<sub>3</sub>, H<sub>2</sub>, CH<sub>4</sub>, CO, etc (PÂRVULESCU, GRANGE e DELMON, 1998). Na Tabela 1.2 são mostrados os valores de energia livre de Gibbs da decomposição de NO por estes agentes em diversas temperaturas.

**Tabela 1.2:** Energia livre de Gibbs ( $\Delta_r G^{\circ}$ ) para a redução de NO na presença de alguns agentes redutores em diversas temperaturas.

	∆ <sub>r</sub> G° (kcal mol⁻¹)					
Reação	298 K	400 K	600 K	800 K	1000 K	
$2NO_{(g)} \rightarrow N_{2(g)} + O_{2(g)}$	-20,72	-20,41	-19,81	-19,21	-18,60	
$6NO_{(g)} + 4NH_{3(g)} \rightarrow 5N_{2(g)} + 6H_2O_{(g)}$	-87,36	-87,62	-88,24	-88,86	-89,45	
$NO_{(g)} + 2H_{2(g)} \to N_{2(g)} + 2H_2O_{(g)}$	-150,92	-147,86	-141,34	-135,72	-129,28	
$4{\sf NO}_{(g)}+{\sf CH}_{4(g)} \to 2{\sf N}_{2(g)}+{\sf CO}_{2(g)}+2{\sf H}_2{\sf O}_{(g)}$	-134,26	-132,19	-128,06	-123,93	-119,85	
$2NO_{(g)} + 2CO_{(g)} \rightarrow N_{2(g)} + 2CO_{2(g)}$	-164,34	-159,46	-149,80	-140,14	-130,52	

Fonte: (Adaptado de TANABE, 2006).

Conforme mostrado na Tabela 1.2, a decomposição de NO com os agentes redutores leva a uma maior redução da energia livre de Gibbs (Δ<sub>r</sub>G° mais negativo) que a decomposição direta de NO em N<sub>2</sub> e O<sub>2</sub>.

A *SCR* de NO com NH<sub>3</sub> é a tecnologia comercial mais utilizada (GÓRA-MAREK *et al.*, 2015). Esta reação na presença ou ausência de O<sub>2</sub> é considerada uma reação seletiva, por formar, majoritariamente, N<sub>2</sub> e H<sub>2</sub>O (Equações 1.13 e 1.14).

$$\begin{pmatrix}
6NO + 4NH_3 \rightarrow 5N_2 + 6H_2O \\
4NO + 4NH_3 + O_2 \rightarrow 4N_2 + 6H_2O
\end{pmatrix}$$
Eq. 1.13
Eq. 1.14

No entanto, a *SCR* de NO com NH<sub>3</sub> apresenta algumas desvantagens devido ao elevado risco ambiental da utilização de grandes quantidades de NH<sub>3</sub> líquida e da possibilidade da ocorrência de reações secundárias indesejáveis do ponto de vista ambiental (Equações 1.15 e 1.16) (GOMEZ-GARCIA, PITCHON e KIENNEMANN, 2005).

$$\begin{array}{c}
8NO + 2NH_3 \rightarrow 5N_2O + 3H_2O \\
4NO + 4NH_3 + 3O_2 \rightarrow 4N_2O + 6H_2O
\end{array}$$
Eq. 1.15

Na *SCR* de NO com H<sub>2</sub> não há registros da toxicidade do gás hidrogênio, porém, devido à presença de O<sub>2</sub> e CO<sub>2</sub>, a mistura destes gases pode promover explosões violentas (ARMOR, 1997). Além disso, a redução de NO com H<sub>2</sub> é considerada não seletiva pois promove a formação de quantidades significativas de NH<sub>3</sub>. Desta forma, a presença de NH<sub>3</sub> é avaliada como um obstáculo para a aplicação de H<sub>2</sub> no tratamento de exaustões gasosas industriais (KONSOLAKIS *et al.* 2006; SIERRO-PEREIRA, 2012).

A utilização de hidrocarbonetos como agentes redutores, tais como o CH<sub>4</sub>, apesar de apresentar baixo custo e baixa toxicidade (quando comparado a NH<sub>3</sub>), não é favorável devido ao grande excesso de hidrocarboneto necessário para

garantir a conversão de NO, o que acarreta na produção de uma grande quantidade de CO<sub>2</sub> (ARMOR,1997). Além disso, as condições operacionais de temperatura, principalmente dos regeneradores de FCC (480-570 °C), promovem a combustão de hidrocarbonetos devido à presença excessiva de O<sub>2</sub>. Esse efeito leva à desativação e afeta a estabilidade dos catalisadores de SCR (LI *et al.* 2014).

Uma alternativa promissora na SCR é a utilização do monóxido de carbono (CO). Além de apresentar, como agente redutor de NO, os menores valores de  $\Delta_r G^o$  (conforme mostrado na Tabela 1.2) em uma larga faixa de temperatura, a vantagem da redução de NO com CO é que ambos são poluentes (CASTILLO, PINEDA e GÓMEZ, 2001), e por sua vez, o abatimento destes dois gases pode ser realizado simultaneamente. A reação pode ser descrita pela Equação 1.17.

$$2NO + 2CO \rightarrow N_2 + 2CO_2$$
 Eq. 1.17

Embora seja formado o CO<sub>2</sub> no processo, acredita-se que a contribuição deste gás para a poluição atmosférica durante o processo de SCR do NO seja pequena quando comparada com as demais fontes de poluição (GRADON e LASEK, 2010).

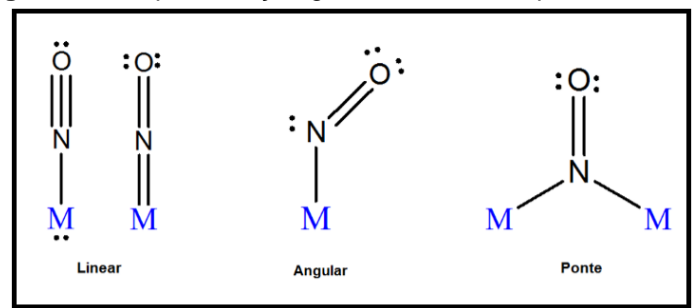
### 1.3.1.1 Mecanismo de redução de NO com CO

A adsorção das moléculas de NO nas superfícies metálicas pode ocorrer de forma molecular ou dissociativa dependendo do metal. A literatura reporta que, a adsorção de NO sobre o ferro, por exemplo, ocorre de maneira dissociativa, enquanto que sobre o cobre ocorre de forma molecular. Para o metal cobalto, é observada a adsorção molecular em baixas temperaturas e a dissociativa em temperaturas elevadas. Além disso, a cobertura da superfície, o plano cristalino e os defeitos de superfície influenciam na dissociação da molécula de NO (BROWN e KING, 2000; ROY, HEGDE e MADRAS, 2009).

NO pode ser adsorvido em superfícies metálicas em três geometrias distintas: linear, angular e na forma de ponte (Fig. 1.7), sendo que a dissociação de NO é

favorecida pela forma angular, uma vez que a frequência de estiramentos da ligação N-O é menor que na forma linear (ROY, HEGDE e MADRAS, 2009)

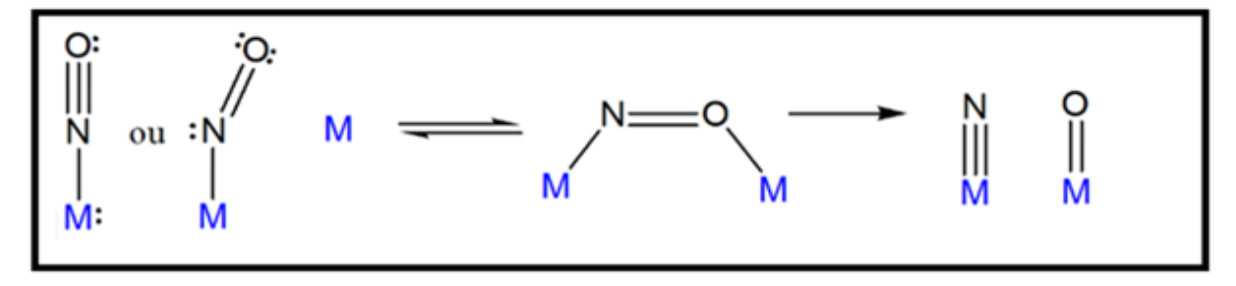
Figura 1.7: Representação geométrica do complexo Metal-NO



Fonte: (ROY, HEGDE e MADRAS, 2009)

Na ligação entre o óxido nítrico e o metal, o NO forma uma ligação  $\sigma$ -d com o metal e a retrodoação ocorre a partir do orbital d do metal para o orbital antiligante  $(\sigma^*)^1$  do NO. Como consequência disto, a ligação Metal—N torna-se mais forte que a ligação N—O. Desta forma, o NO (adsorvido na forma linear ou angular) ao receber 1 elétron em seu orbital  $(\sigma^*)^1$  gera o ânion nitroxil  $(NO^-)$ , passando a assumir uma geometria lateral (lado a lado) e em seguida se dissociando (BROW e KING, 2000), conforme esquema mostrado na Figura 1.8.

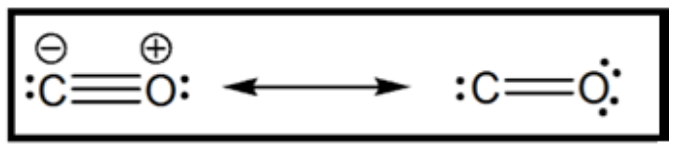
Figura 1.8: Representação esquemática da dissociação do NO.



Fonte: (BROW e KING, 2000)

Outro aspecto importante refere-se à molécula de CO, que pode apresentar 3 estruturas ressonantes distintas (Fig. 1.9). Esta característica pode ser responsável pelas diferentes propriedades de adsorção e reatividade desta molécula sobre superfícies metálicas. Desta forma, CO pode atuar como receptor ou doador de elétrons (ROYER e DUPREZ, 2011).

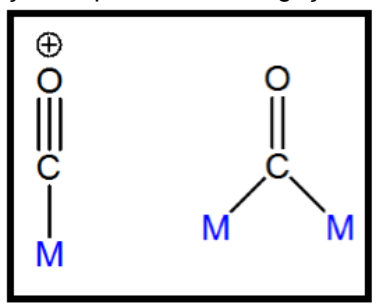
Figura 1.9: Estruturas ressonantes do monóxido de carbono (CO)



Fonte: (ATKINS et al., 2011)

O CO nas superfícies metálicas pode ser coordenado por um único átomo (gerando espécies lineares) ou por dois ou mais átomos (gerando espécies em ponte), conforme mostrado na Figura 1.10.

Figura 1.10: Representação esquemática das ligações do complexo Metal-CO



Fonte: (ATKINS et al., 2011)

De modo geral, no processo de redução catalítica de NO com CO, o cátion metálico atua no mecanismo da reação sofrendo oxidação por parte do NO, sendo reduzido pelo CO, devido à transferência de oxigênio para este último. Sendo assim, o comportamento do catalisador metálico está diretamente associado com: o estado de oxidação do metal; a afinidade do metal em adsorver NO; a tendência do metal em ser oxidado pelo NO e reduzido pelo CO (ZHANG *et al.*, 2006b).

O mecanismo da reação de NO com CO é bastante complexo. Entretanto, a literatura tem sugerido que, na primeira etapa da reação, ocorre a adsorção das moléculas de NO na superfície do catalisador e logo em seguida a dissociação em oxigênio e nitrogênio atômicos, seguida da formação de N<sub>2</sub>. Na segunda etapa, moléculas de CO adsorvem na superfície do catalisador e reagem com o oxigênio atômico e/ou da rede cristalina gerando CO<sub>2</sub>, conforme apresentado nas Equações de 1.18 a 1.23 (LEONTIOU, LADAVOS e POMONIS, 2003).

$$\begin{array}{c} \text{NO} \rightarrow \text{NO}_{ads} \\ \text{NO}_{ads} \rightarrow \text{N}_{ads} + \text{O}_{ads} \\ \text{N}_{ads} \rightarrow \frac{1}{2} \text{N}_2 \\ \text{CO} \rightarrow \text{CO}_{ads} \\ \hline \text{CO}_{ads} + \text{O}_{ads} \rightarrow \text{CO}_2 \\ \hline \text{NO} + \text{CO} \rightarrow \frac{1}{2} \text{N}_2 + \text{CO}_2 \\ \end{array} \qquad \begin{array}{c} \text{Eq. 1.18} \\ \text{Eq. 1.19} \\ \text{Eq. 1.20} \\ \text{Eq. 1.21} \\ \text{Eq. 1.22} \\ \text{Eq. 1.23} \\ \end{array}$$

Conforme mencionado anteriormente, no processo catalítico de redução de NO com CO a principal espécie formada é o nitroxil (NO<sup>-</sup>), que por sua vez é mais reativa que o NO. Além disso, a ligação N–O da espécie nitroxil é mais fraca, o que favorece a dessorção dos óxidos de nitrogênio (ZHANG *et al.*, 2006b).

Em vários trabalhos, a formação de N<sub>2</sub>O como intermediário indesejado na redução de NO com CO é observada (GAO *et al.*, 2011; LV *et al.*, 2013). O surgimento deste interferente é favorecido em baixas temperaturas, devido ao fato de que, nestas condições a adsorção tanto de NO quanto de CO ocorrem de maneira muito lenta, e a maior parte do NO adsorvido tende a formar N<sub>2</sub>O conforme as equações 1.24 e 1.25, em que *M* representa o sítio metálico.

$$NO_{ads} + N_{ads} \rightarrow N_2O + M$$
 Eq. 1.24  $N_2O_{ads} \rightarrow N_2O + M$  Eq. 1.25

Shelef e Otto (1968, *apud* SIERRA-PEREIRA, 2012) afirmam que a redução de N<sub>2</sub>O a N<sub>2</sub> com CO em baixas temperaturas apresenta uma elevada energia de ativação e é considerada como fase limitante da redução de NO a N<sub>2</sub>. Além disto, London e Bell (1973, *apud* SIERRA-PEREIRA, 2012) reportam que a formação de N<sub>2</sub>O é favorecida quando o tempo de contato da mistura de reagentes com o leito catalítico é diminuído, ou quando a concentração de CO está acima ou abaixo da proporção requerida, uma vez que tanto o NO quanto o CO competem pelos mesmos sítios ativos. Entretanto, mesmo sendo mais estável que o NO (em baixas

temperaturas), o N₂O se decompõe em temperaturas superiores a 300 °C (XIAOYUAN et al. 2004).

### 1.3.1.2 Mecanismo de redução de NO com NH<sub>3</sub>

A literatura tem reportado dois tipos de mecanismo possíveis para explicar a redução catalítica seletiva de NO com NH<sub>3</sub> por óxidos metálicos. O primeiro segue o modelo reacional de Langmuir-Hinshelwood (L-H), que se baseia na adsorção das espécies de NO e NH<sub>3</sub> na superfície do catalisador. Este mecanismo é descrito pelas equações de 1.26 a 1.30.

$$NH_{3(g)} \rightleftharpoons NH_{3(ads)}$$

$$NO_{(g)} \rightleftharpoons NO_{ads}$$

$$\equiv M^{n+} - 0 + NO_{ads} \rightarrow \equiv M^{(n-1)+} + NO_{2}^{-}$$

$$NO_{2}^{-} + NH_{3ads} \rightarrow N_{2} + H_{2}O + OH^{-}$$

$$\equiv M^{(n-1)+} + O_{2} \rightarrow \equiv M^{n+} - O + O^{-}$$
Eq. 1.29
$$Eq. 1.30$$

O mecanismo L-H leva em consideração que, mediante a interação com sítios ácidos do catalisador (de Lewis e/ou Br⊘nsted) a amônia pode adsorver de forma coordenada (NH<sub>3</sub>) ou na forma iônica (NH<sub>4</sub>+) (Eq. 1.26). Também o NO adsorve na superfície do catalisador (Eq. 1.27), e este, ao ser oxidado pelos cátions metálicos (M<sup>n+</sup>) do catalisador, se converte em NO<sub>2</sub><sup>−</sup> (Eq. 1.28). Por último, os íons nitritos são reduzidos pela amônia adsorvida levando à formação das espécies N<sub>2</sub> e H<sub>2</sub>O (Eq. 1.29). Os cátions metálicos são então reoxidados (Eq. 1.30) restabelecendo o balanço de carga (BUSCA *et al.*, 1998; KIJLSTRA *et al.*, 1997).

SHU *et al.* (2014), ao investigarem o mecanismo da SCR de NO com NH<sub>3</sub> pelo Fe/TiO<sub>2</sub> dopado com W<sup>0</sup>, reportaram que a adsorção simultânea de NO e O<sub>2</sub> pode ocorrer promovendo a formação de dióxido de nitrogênio (NO<sub>2</sub>) adsorvido na superfície do catalisador. Este por sua vez, juntamente com a amônia adsorvida

(NH₃ ou NH₄+), reage com NO gasoso levando à redução para N₂ e H₂O, conforme descrito nas Equações 1.31 a 1.33.

O segundo mecanismo proposto na literatura segue o modelo reacional de Eley-Rideal (E-R), que se baseia na adsorção do NH<sub>3</sub> sobre a superfície do catalisador promovendo a ativação catalítica. Este mecanismo está descrito nas Equações de 1.34 a 1.37.

$$NH_{3(g)} \rightleftharpoons NH_{3(ads)}$$
 Eq. 1.34  

$$NH_{3(ads)} + \equiv M^{n+} \rightarrow -NH_2 + \equiv M^{(n-1)+} + H^+$$
 Eq. 1.35  

$$-NH_2 + NO_{(g)} \rightarrow NH_2NO \rightarrow N_2 + H_2O$$
 Eq. 1.36  

$$\equiv M^{(n-1)+} + O_2 \rightarrow \equiv M^{n+} - O + O^-$$
 Eq. 1.37

O mecanismo E-R propõe que o NH<sub>3</sub> é adsorvido pelo catalisador (Eq. 1.34) e é reduzido pelos metais formando espécies aminas (-NH<sub>2</sub>) (Eq. 1.35), promovendo assim uma ativação do catalisador. Esta espécie ativada reage com o NO gasoso formando o composto nitrosamida (NH<sub>2</sub>NO), que é facilmente reduzido a N<sub>2</sub> e H<sub>2</sub>O (Eq. 1.36). Os cátions metálicos são reoxidados de forma semelhante ao descrito no processo L-H (KIJLSTRA *et al.*, 1997; YANG *et al.*, 2011).

### 1.4 OBJETIVO GERAL

Este estudo visou a síntese da perovskita de estanato de cálcio (CaSnO<sub>3</sub>) dopado com os metais de transição, Fe<sup>3+</sup>, Co<sup>2+</sup> ou Cu<sup>2+</sup>, pelo método *Pechini*-modificado, para aplicação na fotodegradação do corante azo Amarelo Ouro

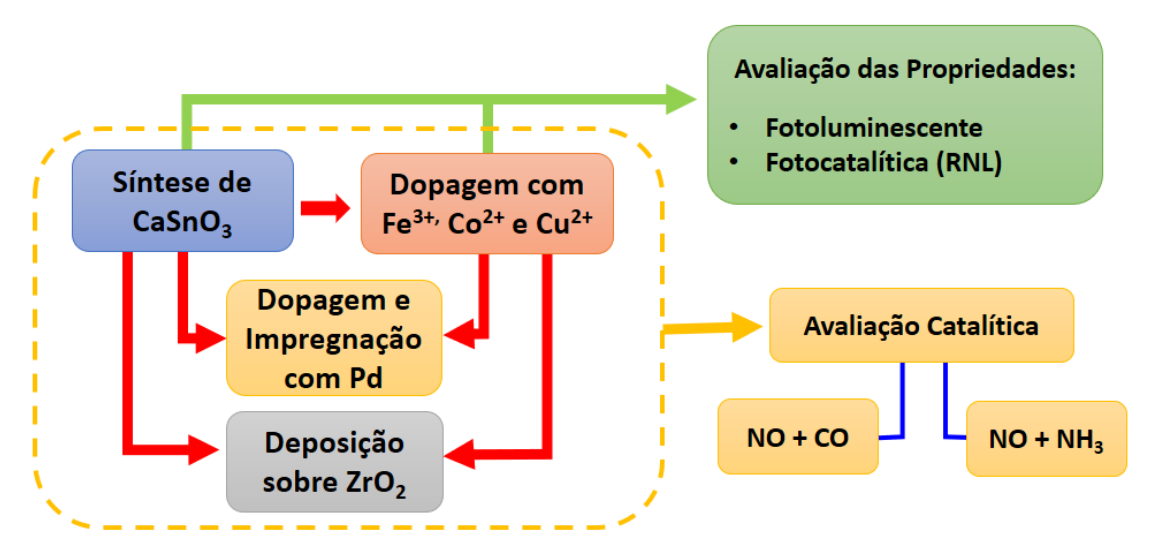
Remazol (RNL) e como catalisador, mássico, dopado ou impregnado com Pd ou suportado em ZrO<sub>2</sub>, na redução catalítica de NO com CO e NO com NH<sub>3</sub>.

# 1.5 ORGANIZAÇÃO DA TESE

De modo a favorecer uma melhor sistematização e compreensão dos resultados, este trabalho foi dividido em três partes. Na primeira parte, Capítulo 2, foi descrita a síntese e caracterização do CaSnO<sub>3</sub> e Ca<sub>0,9</sub>Sn<sub>0,9</sub>M<sub>0,1</sub>O<sub>3-δ</sub> (M = Fe<sup>3+</sup>, Co<sup>2+</sup>, Cu<sup>2+</sup>). Os materiais foram obtidos pelo método *Pechini*-modificado e caracterizados de modo a verificar a ordem, a longo e a curto alcance, devido ao método de síntese e aos dopantes.

Na segunda parte, Capítulo 3, foram avaliados os testes fotocatalíticos dos pós de CaSnO<sub>3</sub> e Ca<sub>0,9</sub>Sn<sub>0,9</sub>M<sub>0,1</sub>O<sub>3-δ</sub> (M = Fe<sup>3+</sup>, Co<sup>2+</sup>, Cu<sup>2+</sup>) na fotodegradação do corante azo Amarelo Ouro Remazol. O estudo foi realizado baseado na comparação dos espectros de absorção na região do UV-Vis do corante antes e após os ensaios fotocatalíticos. Buscou-se associar os resultados fotocatalíticos e de adsorção com os espectros de emissão fotoluminescente e com o potencial hidrogeniônico do ponto de carga zero (pH<sub>PCZ</sub>) das perovskitas.

A última etapa, Capítulo 4, apresenta os resultados da avaliação catalítica das perovskitas de CaSnO<sub>3</sub> e Ca<sub>0,9</sub>Sn<sub>0,9</sub>M<sub>0,1</sub>O<sub>3- $\delta$ </sub> (M = Fe<sup>3+</sup>, Co<sup>2+</sup>, Cu<sup>2+</sup>), mássicas, depositadas em ZrO<sub>2</sub>; Ca<sub>0,99</sub>Sn<sub>0,99</sub>Pd<sub>0,01</sub>O<sub>3- $\delta$ </sub>, Pd/CaSnO<sub>3</sub> e Pd/Ca<sub>0,9</sub>Sn<sub>0,9</sub>M<sub>0,1</sub>O<sub>3- $\delta$ </sub> (M = Co<sup>2+</sup>, Cu<sup>2+</sup>), na redução catalítica de NO com CO e NO com NH<sub>3</sub>.



# CAPITULO 2

Síntese e Caracterização de Estanatos de Cálcio Dopados

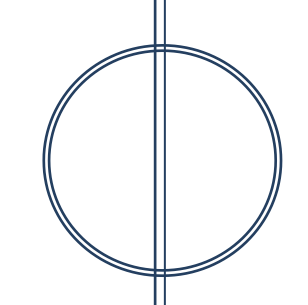
 $(Ca_{0,9}Sn_{0,9}M_{0,1}O_{3-\delta}, M = Fe^{3+}, Co^{2+} ou Cu^{2+})$ 

"O conhecimento da natureza é o caminho para

a admiração do Criador"

Justus von Liebig (1803-1873)

(Tradução de Jörg Gutzwiller, in: Das Herz, etwas zu wagen, 2000).



# 2. SÍNTESE E CARACTERIZAÇÃO DE ESTANATOS DE CÁLCIO DOPADOS ( $Ca_{0,9}Sn_{0,9}M_{0,1}O_{3-\delta}$ , $M = Fe^{3+}$ , $Co^{2+}$ ou $Cu^{2+}$ )

# 2.1 INTRODUÇÃO

O CaSnO<sub>3</sub>, com estrutura perovskita, tem conquistado grande espaço no estudo de suas propriedades, pois trata-se de um excelente semicondutor com características dielétricas, que oferece um campo vasto de aplicações tecnológicas, tais como fabricação de sensores e capacitores termicamente estáveis. Além disto, já é possível encontrar na literatura a aplicação do CaSnO<sub>3</sub> na produção de eletrodos de baterias de íon lítio (KIM *et al.*, 2014).

Do ponto de vista catalítico, a boa performance das perovskitas está associada com os defeitos estruturais provenientes das vacâncias catiônicas e aniônicas, por haver excesso ou ausência de oxigênio. Outro fator deve-se às propriedades redox originadas pela coexistência de, no mínimo, dois estados de oxidação dos íons dos metais de transição (DAI *et al.*, 2004).

A substituição parcial dos cátions Ca<sup>2+</sup> ou Sn<sup>4+</sup> por íons de metais de transição ou terras raras, por exemplo, conduzem à formação de defeitos estruturais, tais como defeitos catiônicos e vacâncias de oxigênio. A coexistência de defeitos estruturais e inserção do metal de transição, com diferentes estados de oxidação, são responsáveis por boas eficiências catalíticas em estanatos dopados, o que têm sido atribuídos à redutibilidade destes óxidos (KATIO *et al.*, 2004; DAI *et al.*, 2004).

Diversos trabalhos têm investigado a dopagem do CaSnO<sub>3</sub> com íons de metais terras raras, tais como: Eu<sup>3+</sup>, Er<sup>3+</sup>, Tb<sup>3+</sup>, Pr<sup>3+</sup>, Nd<sup>3+</sup>, Sm<sup>3+</sup>, Dy<sup>3+</sup>, Tm<sup>3+</sup>, Yb<sup>3+</sup> e La<sup>3+</sup> (XIE *et al.*, 2016; STANULIS *et al.*, 2016; GORDO *et al.*, 2015; KARABULUT *et al.*, 2014; PANG *et al.*, 2011). A maioria destes trabalhos avaliaram a influência destes dopantes nas propriedades luminescentes destes novos materiais.

Até onde nosso conhecimento alcança, nenhum trabalho foi reportado quanto à dopagem do CaSnO<sub>3</sub> com metais da série de transição. Desta forma, em consonância com as conhecidas propriedades catalíticas e fotocatalíticas do Fe<sub>2</sub>O<sub>3</sub> (MACHALA, ZBORIL e GEDANKEN, 2007; MISHRA e CHUN, 2015), CoO (DENG e TUYSUZ, 2014) e CuO (UMADEVI e CHRISTY, 2013), decidimos investigar a

dopagem do CaSnO<sub>3</sub> com os íons Fe<sup>3+</sup>, Co<sup>2+</sup> e Cu<sup>2+</sup>, visando promover a descoberta de novos materiais com potencial para a aplicação na fotodegradação de corantes têxteis e na catálise para o abatimento de óxidos de nitrogênio.

### 2.1.1 Métodos de síntese

Estanatos de metais alcalinos terrosos com estrutura perovskita têm sido sintetizados por vários métodos. A Tabela 2.1 apresenta alguns exemplos destas perovskitas sintetizadas por diversos métodos de síntese, evidenciando os precursores utilizados, o tempo de síntese e a temperatura de calcinação.

Tabela 2.1: Estanatos de metais alcalinos terrosos sintetizados por diversos métodos de síntese

Estanato	Método	Precursores	T (°C)	t (h)	Ref.
BaSnO <sub>3</sub>	Estado Sólido	SnO <sub>2</sub> e Ba(NO <sub>3</sub> ) <sub>2</sub>	1000	36	[a]
BaSnO <sub>3</sub>	Precipitação	SnCl <sub>4</sub> e Ba(NO <sub>3</sub> ) <sub>2</sub>	600	48	[b]
SrSnO₃	Precursores Peróxidos	Sr(NO <sub>3</sub> ) <sub>2</sub> e SnCl <sub>4</sub>	700	78	[c]
SrSnO₃	Microemulsão	SnCl <sub>4</sub> e Sr(NO <sub>3</sub> ) <sub>2</sub>	650	60	[d]
SrSnO₃	Pechini	Sn (metálico) e Sr(NO <sub>3</sub> ) <sub>2</sub>	800	6h	[e]
CaSnO₃	Sol-gel	SnCl <sub>2</sub> e CaCO <sub>3</sub>	800	25	[f]
CaSnO <sub>3</sub> :Eu <sup>3+</sup>	Coprecipitação	CaCl <sub>2</sub> , Na <sub>2</sub> SnO <sub>3</sub>	800	11	[g]
CaSnO₃	Hidrotermal	CaCl <sub>2</sub> e SnCl <sub>4</sub>	800	30	[h]
$MSnO_3$ (M = Ca, Sr e Ba)	SHS	Sn <sub>(metálico)</sub> , Sr(NO <sub>3</sub> ) <sub>2</sub> , Ba(NO <sub>3</sub> ) <sub>2</sub> , Ca(NO <sub>3</sub> ) <sub>2</sub>	1100	44	[i]
MSnO₃ (M = Ca, Sr e Ba)	Hidrotermal de micro-ondas	NaSnO <sub>3</sub> , Ca(NO <sub>3</sub> ) <sub>2</sub> , Sr(NO <sub>3</sub> ) <sub>2</sub> e Ba(NO <sub>3</sub> ) <sub>2</sub>	800	18	[j]

T = Temperatura de calcinação; t = tempo total de síntese.

[a] AZAD e HON, 1998; [b] TAO et al., 2000; [c] LEE et al., 2012; [d] AHMED et al., 2012; [e] LUCENA et al., 2013a; [f] SHARMA et al., 2002; [g] CHEN et al., 2010; [h] WANG el al., 2009; [i] AZAD et al., 2000; [j] WANG el al., 2014

### 2.1.1.1 Método Pechini-modificado

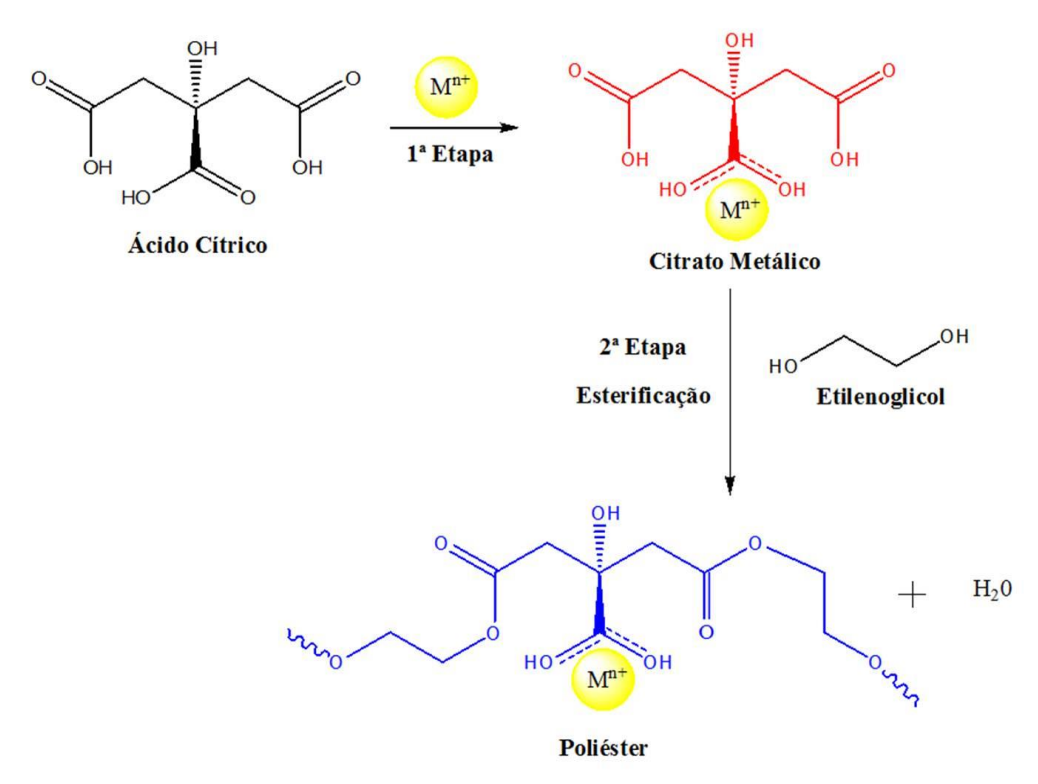
O Método *Pechini*<sup>6</sup> é derivado do processo sol-gel e foi patenteado em 1967. A técnica baseia-se na formação de quelatos entre os íons metálicos com um ácido hidroxicarboxílico (PECHINI, 1967).

<sup>6</sup> Maggio Pechini nasceu em 01 de maio de 1922 nos Estados Unidos. Foi o inventor do método Pechini, patenteando a síntese de titanatos e niobatos de metais alcalinos.

43

Neste processo, o ácido cítrico é bastante utilizado por formar quelatos estáveis com um grande número de íons metálicos (JANA et al., 2010). Após a obtenção do citrato metálico, um poliálcool é introduzido para promover a polimerização pelas reações de poliesterificação entre o citrato do íon metálico e o poliálcool, comumente, o etilenoglicol, que por sua vez, apresenta grupos hidroxiálcool em sua estrutura. Submetendo a solução resultante ao aquecimento em temperaturas moderadas sob atmosfera de ar, promove-se a reação de condensação, com formação das moléculas de água e éster. Desta forma, ocorre a poliesterificação e grandes quantidades de água são removidas favorecendo a formação de uma resina polimérica. Nesta etapa ocorre o processo de distribuição de cátions em nível molecular na estrutura polimérica. Com intuito de obter pós finos, esta resina é submetida a tratamentos térmicos com a finalidade de remover o excesso de material orgânico e favorecer a formação da estrutura cristalina desejada. Os precursores metálicos são combinados quimicamente para formar os compostos na estequiometria desejada. Na Figura 2.1 são mostradas as reações orgânicas envolvidas no processo de síntese pelo método *Pechini*.

Figura 2.1: Reações orgânicas envolvidas no processo dos precursores poliméricos



Fonte: Adaptado (JANA et al., 2010)

As relações ácido cítrico/metal (AC:M<sup>n+</sup>) e ácido cítrico/etilenoglicol (AC:EG) são fatores importantes na síntese de óxidos metálicos pelo método *Pechini*. A primeira relação AC:M<sup>n+</sup> está associada diretamente à estequiometria dos óxidos, buscando garantir que todos os cátions estejam quelados (CHUN e DUNN, 1987). Por outro lado, Zanetti *et al.* (2001) reportam que a relação AC:EG não promove mudanças estequiométricas no produto final, mas, proporciona variações na temperatura de eliminação do material orgânico.

Alguns trabalhos na literatura têm reportado a síntese de estanatos de metais alcalinos terrosos com estrutura perovskita pelo método *Pechini* (KAKIHANA e YOSHIMURA 1999; ZHANG, LEE e LIU, 2002; ALVES *et al.*, 2007; FU *et al.*, 2007; MOSQUERA *et al.*, 2007; NASCIMENTO *et al.*, 2008; BELTRAN *et al.*, 2010; MUÑOZ, PONCE e PÁEZ, 2015). Os trabalhos supracitados utilizaram SnCl<sub>2</sub> como sal precursor na preparação de citrato de estanho. Contundo, a utilização do precursor não favoreceu a otimização da síntese devido à difícil eliminação de cloretos residuais gerados na produção do citrato de estanho, requerendo excessivas lavagens, o que acarreta em um grande consumo de água destilada, além de promover mais etapas operacionais e extenso tempo de síntese.

No tocante à síntese de CaSnO<sub>3</sub> pelo método *Pechini*, nosso grupo de pesquisa avaliou a síntese desta perovskita utilizando SnCl<sub>2</sub> e diferentes precursores de cálcio (CaCl<sub>2</sub>, Ca(CH<sub>3</sub>COO)<sub>2</sub>.H<sub>2</sub>O, CaCO<sub>3</sub> e Ca(NO<sub>3</sub>)<sub>2</sub>) (ALVES *et al.*, 2007). No entanto, os difratogramas de raios-X dos materiais não mostraram elevada cristalinidade, sendo observadas diversas fases secundárias, tais como: Ca<sub>2</sub>SnO<sub>4</sub>, SnO, CaCO<sub>3</sub> e CaO.

Nesta perspectiva, reportamos uma nova rota de síntese do SrSnO<sub>3</sub> partindo do Sn(NO<sub>3</sub>)<sub>4</sub>, tendo Sn metálico como precursor (LUCENA *et al.*, 2013a). Os resultados mostraram que SrSnO<sub>3</sub> obtido por esta rota proporcionou a formação de um material com maior organização a curto alcance, levando a um valor de *band gap* mais elevado do que os relatados na literatura, além de uma redução significativa na formação de fase secundária (SrCO<sub>3</sub>), quando comparado com o obtido a partir do cloreto de estanho. Além disso, a modificação na síntese eliminou a etapa de lavagem do citrato de estanho e reduziu significativamente o tempo de síntese, de 30 dias para menos de 8 h.

### 2.2 OBJETIVO

Nesta etapa foram sintetizadas perovskitas de CaSnO<sub>3</sub> e Ca<sub>0,9</sub>Sn<sub>0,9</sub>M<sub>0,1</sub>O<sub>3-δ</sub> (M = Fe<sup>3+</sup>, Co<sup>2+</sup>, Cu<sup>2+</sup>), pelo método *Pechini*-modificado, com a finalidade de investigar:

- ☼ A decomposição térmica dos pós precursores de CaSnO₃ com e sem os metais dopantes;
- A organização estrutural a longo alcance dos catalisadores pela técnica de difração de raios-X, investigando os parâmetros de rede, volume da célula unitária e distorções estruturais;
- A organização estrutural a curto alcance dos materiais pelas técnicas de espectroscopia de absorção na região do UV-Vis, espectroscopia vibracional na região do infravermelho e espectroscopia Raman;
- A área superficial específica pela técnica de adsorção/dessorção de nitrogênio usando o método de BET;

### 2.3 EXPERIMENTAL

Nesta seção serão apresentados os reagentes, procedimentos, equipamentos e técnicas utilizadas para a síntese e caracterização das perovskitas de CaSnO<sub>3</sub> e  $Ca_{0.9}Sn_{0.9}M_{0.1}O_{3-\delta}$  (M = Fe<sup>3+</sup>, Co<sup>2+</sup>, Cu<sup>2+</sup>).

# 2.3.1 Síntese do CaSnO<sub>3</sub> e Ca<sub>0,9</sub>Sn<sub>0,9</sub>M<sub>0,1</sub>O<sub>3- $\delta$ </sub> (M = Fe<sup>3+</sup>, Co<sup>2+</sup>, Cu<sup>2+</sup>)

As perovskitas de CaSnO<sub>3</sub> e Ca<sub>0,9</sub>Sn<sub>0,9</sub>M<sub>0,1</sub>O<sub>3-δ</sub> (M = Fe<sup>3+</sup>, Co<sup>2+</sup>, Cu<sup>2+</sup>) foram obtidas em uma única etapa de síntese. Neste trabalho, os materiais foram sintetizados pelo método *Pechini*-modificado. Na Tabela 2.2, são apresentados os reagentes utilizados no desenvolvimento deste trabalho.

Tabela 2.2: Reagentes utilizados no processo de síntese dos catalisadores

Reagente	Formula Química	Pureza (%)	Fabricante
Ácido Cítrico	$C_6H_8O_7.H_2O$	99,5	Cargill
Ácido Nítrico	HNO <sub>3</sub>	65,0	Vetec
Etilenoglicol	$C_2H_6O_2$	99,5	Vetec
Estanho Metálico	Sn	99,0	Vetec
Hidróxido de Amônio	NH <sub>4</sub> OH	28-30	Vetec
Nitrato de Cálcio	Ca(NO <sub>3</sub> ) <sub>2</sub> .4H <sub>2</sub> O	99,0	Vetec
Nitrato de Cobalto	Co(NO <sub>3</sub> ) <sub>2</sub> .6H <sub>2</sub> O	98,0	Vetec
Nitrato de Cobre	$Cu(NO_3)_2.3H_2O$	99,0	Vetec
Nitrato de Ferro	Fe(NO <sub>3</sub> ) <sub>3</sub> .9H <sub>2</sub> O	99,5	Vetec

O método de síntese partiu da reação entre estanho metálico e ácido nítrico, conforme a metodologia descrita na literatura (LUCENA *et al.*, 2013a). As quantidades dos reagentes utilizados, tendo como objetivo a obtenção de 1,0 g das perovskitas, estão dispostas na Tabela 2.3.

Tabela 2.3: Quantidade de reagentes utilizados na síntese de 1 g das perovskitas

	Perovskitas				
Reagentes	CaSnO <sub>3</sub>	$Ca_{0,9}Sn_{0,9}Fe_{0,1}O_{3-\delta}$	Ca <sub>0,9</sub> Sn <sub>0,9</sub> Co <sub>0,1</sub> O <sub>3-δ</sub>	$Ca_{0,9}Sn_{0,9}Cu_{0,1}O_{3-\delta}$	
Sn (metálico)	0,5741 g	0,5437 g	0,5429 g	0,5416 g	
Ca(NO <sub>3</sub> ) <sub>2</sub> .4H <sub>2</sub> O	1,1420 g	0,8069 g	1,0800 g	1,0774 g	
Ácido cítrico	5,5746 g	5,5733 g	5,5645 g	5,5516 g	
Etilenoglicol	3,7164 g	3,7155 g	3,7097 g	3,7010 g	
Fe(NO <sub>3</sub> ) <sub>3</sub> .9H <sub>2</sub> O	-	0,2056 g	-	-	
Co(NO <sub>3</sub> ) <sub>2</sub> .6H <sub>2</sub> O	-	-	0,1479 g	-	
Cu(NO <sub>3</sub> ) <sub>2</sub> .3H <sub>2</sub> O	-	-	-	0,1225 g	

Para a síntese do CaSnO<sub>3</sub>, Sn<sub>(s)</sub> foi adicionado a 100 mL de uma solução de HNO<sub>3</sub> (0,1 mol L<sup>-1</sup>) sob resfriamento em banho de gelo e agitação magnética, por aproximadamente 3 h, até a total dissolução do estanho. A esse sistema, foram adicionados Ca(NO<sub>3</sub>)<sub>2</sub>.4H<sub>2</sub>O (proporção molar de 1:1 cálcio-estanho) e, em seguida, ácido cítrico, com proporção molar de 3:1 (ácido cítrico-metal), sendo a temperatura elevada para 70 °C, permanecendo sob agitação por 20 min. O pH da solução foi ajustado entre 3 e 4 pela adição de NH<sub>4</sub>OH. Posteriormente, foi adicionado

etilenoglicol (proporção molar 60:40, ácido cítrico/etilenoglicol). A temperatura do sistema foi ajustada para o valor entre 90-110 °C, de modo a favorecer o processo de polimerização. Após a redução a 1/3 do volume inicial, a resina polimérica foi calcinada a 300 °C/ 90 min sob taxa de aquecimento de 10 °C/ min para obtenção de um pó precursor. O material foi desaglomerado, moído em moinho do tipo Spex (modelo 800 M) por 15 min e peneirado em 100 mesh. O precursor polimérico foi calcinado à temperatura de 300 °C/ 600 min sob taxa de aquecimento de 1 °C/ min em atmosfera oxidante (O<sub>2</sub>) para eliminação parcial do carbono. Cerca de 10 mg deste pó foi submetida à análise térmica TG/DTA para avaliação da evolução térmica do material. Por fim, o pó foi submetido à calcinação a 800 °C/ 240 min em atmosfera de ar sob taxa de aquecimento 10 °C/ min para formação da fase perovskita desejada.

Para obtenção do Ca<sub>0,9</sub>Sn<sub>0,9</sub>M<sub>0,1</sub>O<sub>3-δ</sub> (M = Fe<sup>3+</sup>, Co<sup>2+</sup>, Cu<sup>2+</sup>), o procedimento utilizado foi semelhante ao descrito para a obtenção do CaSnO<sub>3</sub>, sendo que antes da adição do nitrato de cálcio, foram adicionados os nitratos dos respectivos dopantes e o ácido cítrico, que permaneceram sob agitação por 10 min. Só após este tempo foi adicionado o nitrato de cálcio. Baseado em estudos anteriores, optou-se por trabalhar com a dopagem obedecendo à proporção de 10% com relação à quantidade de Sn<sup>4+</sup> e Ca<sup>2+</sup>, gerando materiais com estequiometria Ca<sub>0,9</sub>Sn<sub>0,9</sub>M<sub>0,1</sub>O<sub>3-δ</sub>. Por este método de síntese, o rendimento isolado médio foi de 85%. A Figura 2.2 ilustra o procedimento experimental utilizado.

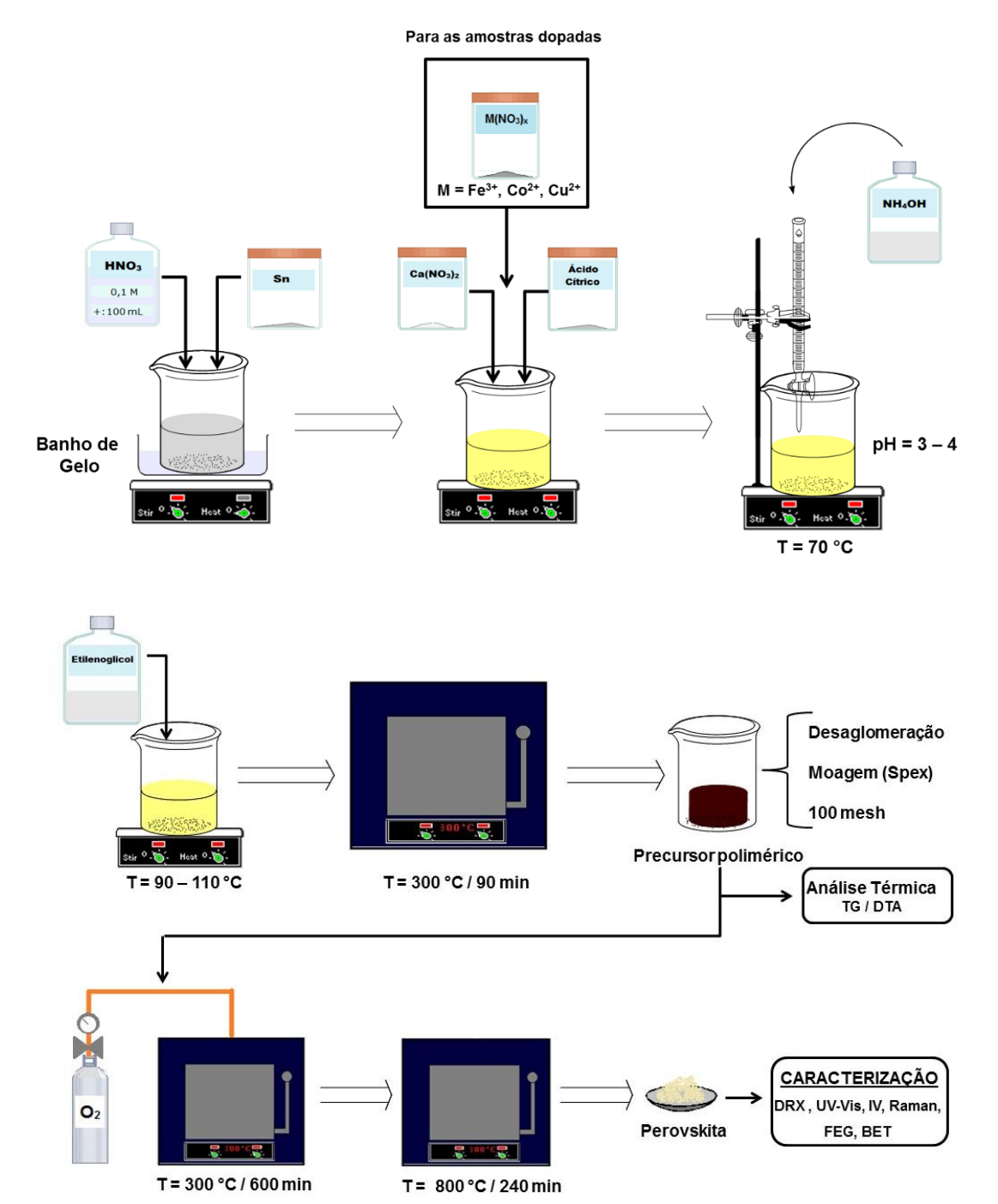


Figura 2.2: Fluxograma para obtenção do CaSnO<sub>3</sub> e Ca<sub>0,9</sub>Sn<sub>0,9</sub>M<sub>0,1</sub>O<sub>3- $\delta$ </sub> (M = Fe<sup>3+</sup>, Co<sup>2+</sup>, Cu<sup>2+</sup>)

Fonte: Própria.

Os materiais foram caracterizados por difração de raios-X (DRX), espectroscopia de absorção na região do ultravioleta e visível (UV-Vis), espectroscopia vibracional na região do infravermelho (IV), espectroscopia Raman e análise de área superficial específica (S<sub>BET</sub>).

### 2.3.2 Equipamentos e Técnicas

### 2.3.2.1 Análise Térmica (TG/DTA)

As medidas termogravimétricas (TG) e análise térmica diferencial (DTA) dos pós precursores de CaSnO<sub>3</sub> e Ca<sub>0,9</sub>Sn<sub>0,9</sub>M<sub>0,1</sub>O<sub>3-δ</sub> (M= Fe<sup>3+</sup>, Co<sup>2+</sup>, Cu<sup>2+</sup>) précalcinados a 300 °C por 10 h em O<sub>2</sub> foram realizadas em um analisador térmico modelo DTG-60H da Shimadzu de modo a avaliar a evolução térmica dos pós obtidos. Para obtenção das curvas TG/DTA foram utilizados, aproximadamente, 10 mg dos pós precursores em cadinhos de alumina sob fluxo de 50 mL min<sup>-1</sup> de ar sintético no intervalo de temperatura entre 28 – 1200 °C, com taxa de aquecimento de 10 °C min<sup>-1</sup>.

### 2.3.2.2 Difração de raios-X (DRX)

Os difratogramas de raios-X permitiram avaliar a cristalização e a organização dos matériais a longo alcance. Estes foram obtidos utilizando um Difratômetro Shimadzu, modelo XRD-6000, nas seguintes condições: 40 kV e 40 mA com radiação de K $\alpha$ Cu ( $\lambda$  = 1,5406), a temperatura ambiente. Os dados foram obtidos na faixa de 2 $\theta$  = 15 – 80°, com um passo de 0,02° e tempo de passo de 2 segundos.

### 2.3.2.2.1 Largura a meia altura (FWHM)

Os valores de FWHM (do inglês, *Full Width at Half Maximum*) foram obtidos utilizando o software de análise de picos *Peak Fit* (*Systat Software*) utilizando gaussianas dos picos dos difratogramas de raios-X.

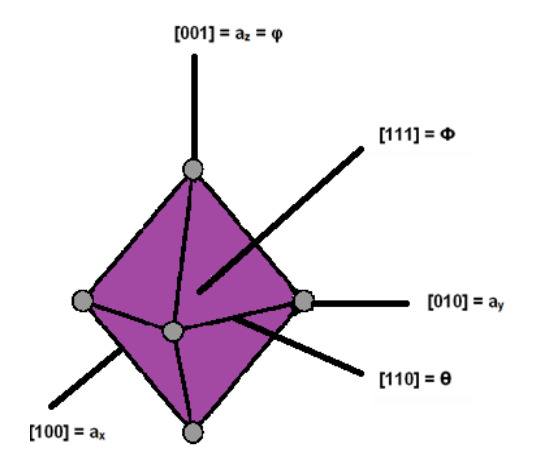
### 2.3.2.2.2 Parâmetros de rede e cálculo dos ângulos de inclinação

O cálculo dos parâmetros de rede da fase ortorrômbica da perovskita CaSnO<sub>3</sub> foi realizado pelo método dos mínimos quadrados utilizando o Programa Rede 93 – desenvolvido na UNESP (Araraquara-SP). Os planos de difração foram indexados de acordo com a ficha cristalográfica JCPDS 77-1797 para CaSnO<sub>3</sub> ortorrômbico.

Para o cálculo dos ângulos de inclinação entre os octaedros ( $\Phi$ ,  $\varphi$ ,  $\theta$ ) foram utilizadas as equações 2.1, 2.2 e 2.3, referentes às direções [111], [001] e [110], respectivamente (Figura 2.3).

$$cos\Phi = \frac{\sqrt{2}a^2}{bc} \qquad (2.1) \qquad cos\Phi = \frac{\sqrt{2}a}{c} \qquad (2.2)$$

Figura 2.3: Ângulos de rotação em octaedros de perovskitas (ortorrômbico)



Fonte: (MITCHELL, 2002)

### 2.3.2.2.3 Volume da célulua unitária (V) e tamanho de cristalitos

O volume da célula unitária foi calculado a partir da equação 2.4 e dos valores dos parâmetros de rede obtidos pelo programa Rede 93.

$$V = a. b. c \tag{2.4}$$

Onde:  $V = volume da célula em (Å^3); a, b, c são os parâmetros de rede em (Å).$ 

O cálculo do tamanho de cristalito foi realizado utilizando a equação de Scherrer (Eq. 2.5).

$$TC = \frac{0.9 \,\lambda}{\beta \cos \theta} \tag{2.5}$$

Onde: TC = tamanho de cristalitos;  $\lambda$  = comprimento de onda da radiação eletromagnética aplicada (1,54060 Å);  $\theta$  = ângulo de difração de Bragg;  $\beta$  = valor da FWHM do pico mais intenso, a qual é corrigida pela Eq. 2.6:

$$\left(\beta^2 = B^2 - b^2\right) \tag{2.6}$$

Onde: B = FWHM da amostra; b = FWHM do quartzo (padrão)

# 2.3.2.3 Espectroscopia de absorção na região do Ultravioleta e visível (UV-vis)

As análises de espectroscopia de absorção na região do UV-vis permitiram avaliar transições eletrônicas que ocorrem nos sistemas e o cálculo da energia do band gap. Estas foram realizadas em um espectrofotômetro modelo UV-2550 da Shimadzu, modo reflectância, na região de 190-900 nm.

O cálculo do *band gap* foi realizado a partir das curvas de reflectância difusa de acordo com o método proposto por Tauc (1972), Davis e Mott (1970). Para isto utilizou-se a função de Kubelka-Munk descrita matematicamente pela Equação 2.7:

$$(h\nu\alpha)^{1/n} = A(h\nu - Eg)$$
 (2.7)

Onde: h é a constante de Planck; v é a frequência de vibração;  $\alpha$  é coeficiente de absorção; A é a constante de proporcionalidade e Eg é a energia do band gap. Os valores do expoente n denotam a natureza da transição das amostras. Neste trabalho, o valor de n utilizado foi 1/2, o que corresponde as transições diretas permitidas.

### 2.3.2.4 Espectroscopia de absorção na região do infravermelho (IV)

Com a finalidade de avaliar bandas vibracionais referentes aos modos das ligações M-O, espectros de infravermelho foram obtidos em um espectrofotômetro

modelo IRPrestige-21 da Shimadzu, na região de 400 a 2000 cm-1 em pastilhas de KBr e de 240 a 650 cm-1 em óleo mineral (nujol). Para as análises em KBr, cerca de 1,0 mg de amostra foi misturado a 100 mg do brometo de potássio previamente seco em estufa e homogeneizado em almofariz de ágata. A mistura foi prensada em prensa hidráulica para formar uma pastilha de aproximadamente 0,20 mm de espessura, que em seguida, foi analisada. Os espectros obtidos na região de 280 a 650 cm-1 foram obtidos em pasta de nujol (óleo mineral) com auxílio de janelas de Csl. Cerca de 1 mg de amostra foi misturado a 1 mL de nujol.

### 2.3.2.5 Espectroscopia Raman

As análises de espectroscopia Raman foram realizadas com objetivo de identificar modos vibracionais e avaliar a organização dos materiais a curto alcance. Os espectros foram obtidos em um espectrofotômetro Micro-Raman InVia da Renishaw usando laser de Ar com potência de 20 mW e comprimento de onda de 514 nm, utlizando lente objetiva de 50x. Os espectros foram obtidos na região de 100 a 1000 cm<sup>-1</sup>.

As análises térmicas, as caracterizações por difração de raios-X, espectroscopia de infravermelho, ultravioleta visível e Raman foram realizadas no Núcleo de Pesquisa em Combustíveis e Materiais (NPE-LACOM) do departamento de Química do CCEN na UFPB.

# 2.3.2.6 Área superficial específica (S<sub>BET</sub>)

Com o objetivo de avaliar a área superficial específica dos materiais, foram realizadas determinações em um analisador modelo ASAP 2420 da Micromeritics, partindo das isotermas de adsorção/dessorção de N<sub>2</sub> a 77 K. Foi realizado um prétratamento nas amostras a 150 °C / 2 h com fluxo de N<sub>2</sub> ultra-seco. O cálculo da área superficial (S<sub>BET</sub>) foi realizado pelo método de Stephen Brunauer<sup>7</sup>, Paul Hugh

<sup>7</sup> Stephen Brunauer nasceu na Hungria em 12 de fevereiro de 1903 e emigrou para EUA em 1921. Tornou-se presidente do departamento de química da Universidade Clarkson, em 1965, e o primeiro diretor do Instituto Clarkson de coloide e química de superfície.

53

Emmett<sup>8</sup> e Edward Teller<sup>9</sup> (BET) (BRUNAUER, EMMETT e TELLER, 1938) considerando os dados de fissisorção de nitrogênio, utilizando a regressão linear a partir do gráfico de 1/v[(p/p<sub>0</sub>)-1] vs (p/p<sub>0</sub>) e a expressão matemática descrita por BET. (CLAUSEN e FABRICIUS, 2000).

$$\left(\frac{1}{V[(P_0-P)-1]} = \frac{1}{V_mC} + \frac{(C-1)}{V_mC} \frac{P}{P_0}\right)$$
 (2.8)

Sendo:

 $P/P_0$  = pressão de vapor relativa do adsorbato; V = volume de gás adsorvido;  $V_m$  = volume de gás adsorvido em uma monocamada; C = constante relacionada à energia de adsorção.

O Tamanho de partículas (T<sub>P</sub>) foi calculado mediante a Equação 2.9.

$$T_P = \frac{6}{\rho. S_{BET}}$$
 (2.9)

Sendo:

 $\rho$  = densidade teórica do CaSnO<sub>3</sub> (5,527 g cm<sup>-1</sup>);  $S_{BET}$  = área superficial em g.m<sup>2</sup>.

As análises foram realizadas no Laboratório Multiusuário de Nanotecnologia do Centro de Tecnologias Estratégicas do Nordeste (CETENE).

8 Paul Hugh Emmett nasceu no dia 12 de setembro de 1900 em Portland. Emmett se tornou

presidente do Departamento de Engenharia Química da Universidade Johns Hopkins.

54

<sup>&</sup>lt;sup>9</sup> Edward Teller foi um físico nuclear húngaro que nasceu 15 de janeiro de 1908. Recebeu o Prémio Albert Einstein, o Prémio Enrico Fermi e a Medalha Nacional de Ciência. Foi membro da Academia de Artes e Ciências dos Estados Unidos, da Associação Americana para o Avanço da Ciência, e da American Nuclear Society.

### 2.4 RESULTADOS E DISCUSSÃO

Nesta seção serão apresentados e discutidos os resultados provenientes da síntese e caracterização das perovskitas de CaSnO<sub>3</sub> e Ca<sub>0,9</sub>Sn<sub>0,9</sub>M<sub>0,1</sub>O<sub>3- $\delta$ </sub>, (M = Fe<sup>3+</sup>, Co<sup>2+</sup>, Cu<sup>2+</sup>).

### 2.4.1 Avaliação Térmica

Análises termogravimétrica (TG) e térmica diferencial (DTA) foram realizadas com o objetivo de avaliar a decomposição térmica e a estabilidade dos pós precursores. De modo a promover uma melhor compreensão do processo, as curvas TG foram analisadas em paralelo com as curvas DTA.

As curvas dos pós precursores dos materiais, calcinados a 300 °C/ 90 min, são mostrados na Figura 2.4 e os percentuais de perda de massa em cada evento térmico são apresentados na Tabela 2.4.

**Figura 2.4:** Curvas TG e DTA, obtidas em ar sintético, dos pós precursores de CaSnO<sub>3</sub>,  $Ca_{0,9}Sn_{0,9}Fe_{0,1}O_{3-\delta}$ ,  $Ca_{0,9}Sn_{0,9}Co_{0,1}O_{3-\delta}$ , e  $Ca_{0,9}Sn_{0,9}Cu_{0,1}O_{3-\delta}$  calcinados a 300 °C / 90 min.

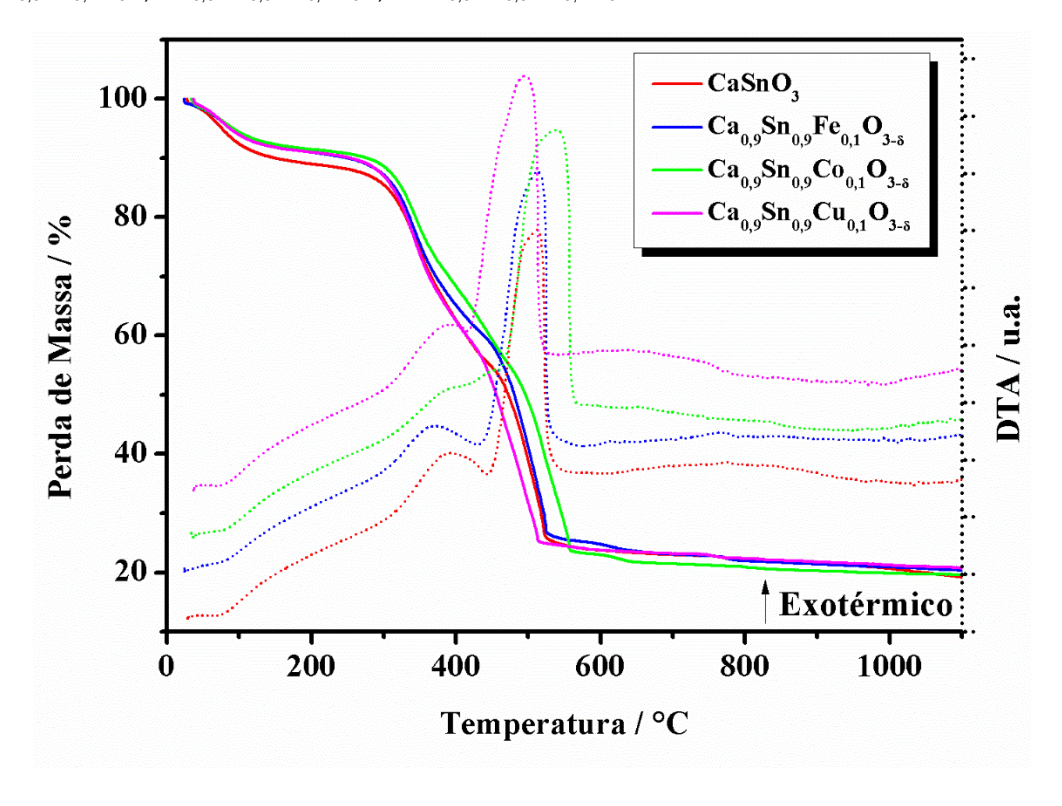


Tabela 2.4: Perda de massa das amostras dos precursores calcinados a 300 °C / 10 h

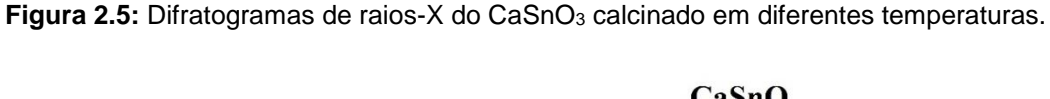
Sistema	Evento	Temperatura (°C)	Perda de massa (%)	Temperatura de pico no DTA (ºC)
	1°	27-210	11	78 (endo)
CaSnO₃	2°	210-660	62	390 (exo)
	3°	660-1200	2	512 (exo)
	1°	27-210	9	79 (endo)
$Ca_{0,9}Sn_{0,9}Fe_{0,1}O_{3-\delta}$	2°	210-577	67	365 (exo)
	3°	577-1200	1	513 (exo)
	1°	27-210	9	81 (endo)
$Ca_{0,9}Sn_{0,9}Co_{0,1}O_{3-\delta}$	2°	210-587	68	381 (exo)
, , ,	3°	587-1200	2	539 (exo)
Ca <sub>0,9</sub> Sn <sub>0,9</sub> Cu <sub>0,1</sub> O <sub>3-δ</sub>	1°	27-210	9	81 (endo)
	2°	210-530	66	382 (exo)
	3°	530-1200	1	494 (exo)

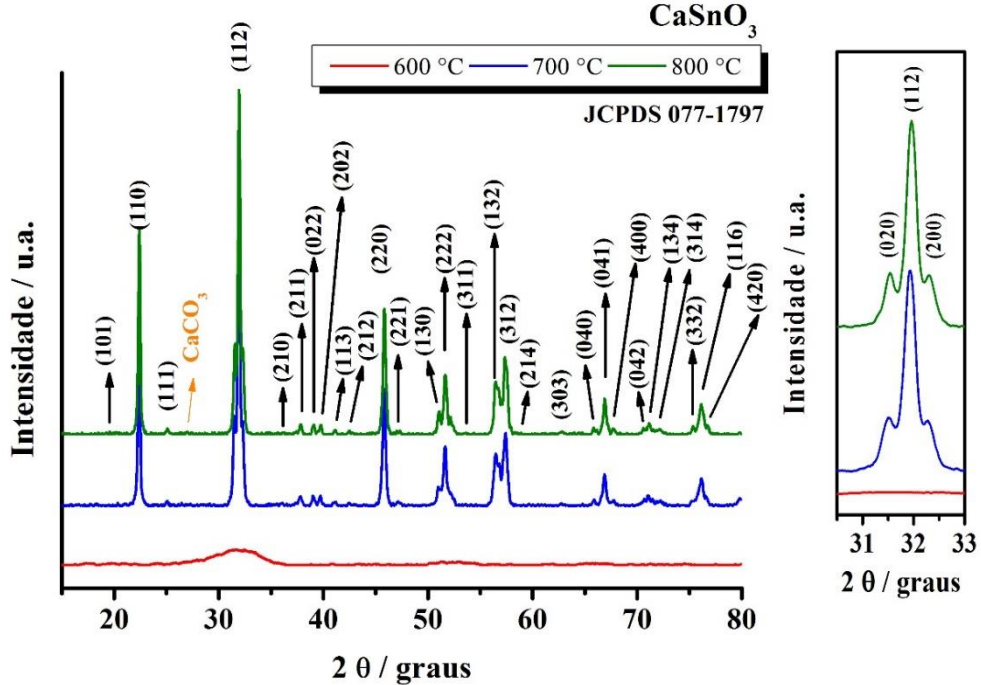
As curvas (TG/ DTA) apresentaram três etapas. A primeira (endotérmica) corresponde à desidratação e dessorção de gases adsorvidos na superfície do material. A segunda etapa (exotérmica) está associado à combustão da matéria orgânica presente, levando à formação de CO, CO2 e H2O, característico deste método de síntese, conforme reportado na literatura (OLIVEIRA et al., 2013; MAUL et al. 2011; VIEIRA et al., 2011). A terceira etapa (exotérmica) é devido à eliminação lenta e contínua de material residual, podendo estar sobreposto à eliminação de carbonatos. Em comparação com CaSnO<sub>3</sub> não dopado, as temperaturas de pico na DTA, referente a 2° e 3° etapas (300 – 600 °C), das amostras Ca<sub>0,9</sub>Sn<sub>0,9</sub>Fe<sub>,1</sub>O<sub>3-δ</sub>,  $Ca_{0,9}Sn_{0,9}Co_{0,1}O_{3-\delta}$ е Ca<sub>0,9</sub>Sn<sub>0,9</sub>Cu<sub>0,1</sub>O<sub>3-δ</sub>, sofreram deslocamentos. comportamento pode ser atribuído à formação de diferentes complexos de citratos metálicos, resultando em diferentes energias de decomposição.

Oliveira *et al.* (2013) ao estudarem a evolução térmica dos pós precursores de  $SrSn_{1-x}Ti_xO_3$  ( $0 \le x \le 1$ ), sintetizados pelo método *Pechini*, verificaram que a introdução do metal dopante ( $Ti^{4+}$ ) promoveu um aumento no percentual de perda de massa referente ao segundo evento térmico. Os autores reportaram que as amostras ricas em  $Sn^{4+}$  dificultam a eliminação de matéria orgânica, podendo induzir à formação de compostos intermediários, conforme tem sido observado na literatura (CHO, JOHNSON e CONDRATE SR, 1990; FANG e TSAY, 2001).

### 2.4.2 Difração de Raios-X

A avaliação dos picos de difração permite avaliar a cristalinidade e a ordem a longo alcance dos materiais sintetizados. Na Figura 2.5 são apresentados os difratogramas do CaSnO<sub>3</sub> calcinados em diferentes temperaturas. Os picos de difração foram indexados de acordo com ficha cristalográfica JCPDS n° 77-1797 do estanato de cálcio ortorrômbico *Pbnm* (62).





O difratograma do CaSnO<sub>3</sub> calcinado a 600 °C não apresentou picos de difração, indicando que nessa temperatura o sistema está desordenado a longo alcance. Para as amostras tratadas em 700 °C e 800 °C, os difratogramas mostraram picos característicos da perovskita, com elevada organização, sendo que a amostra calcinada a 800 °C apresentou uma melhor definição. Um pequeno pico (baixa intensidade) próximo de 27° refere-se à fase secundária CaCO<sub>3</sub> (JCPDS 76-0606).

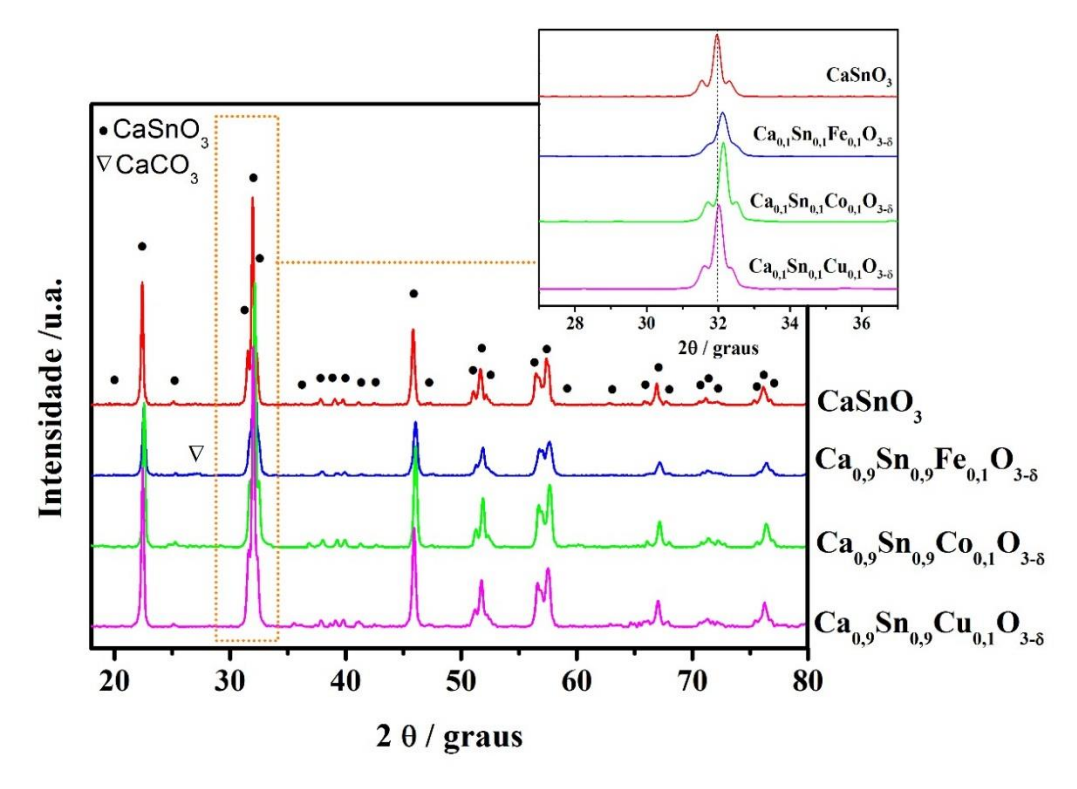
Estes resultados corroboram o trabalho de Alves et al. (2007), que ao estudarem a evolução da cristalização do CaSnO<sub>3</sub>, em função da temperatura de

calcinação, pelo método *Pechini* (usando SnCl<sub>2</sub> como precursor), verificaram que em temperaturas inferiores a 700 °C o sistema apresentou-se amorfo.

No presente trabalho, o CaSnO<sub>3</sub> sintetizado pelo método *Pechini*-modificado mostrou elevada cristalinidade em temperaturas relativamente baixas (700-800°C). De modo geral, em comparação com o material sintetizado por Alves *et al.* (2007), a nova rota de síntese favoreceu a obtenção de materiais com maior ordem a longo alcance e ausência das fases secundárias Ca<sub>2</sub>SnO<sub>4</sub>, CaO e SnO. Estes resultados indicam que o método *Pechini*-modificado foi favorável à obtenção desta perovskita.

Na Figura 2.6, são apresentados os difratogramas dos sistemas  $Ca_{0,9}Sn_{0,9}M_{0,1}O_{3-\delta}$  (M = Fe, Co, Cu), calcinados a 800 °C.

**Figura 2.6:** Difratogramas de raios-X do CaSnO<sub>3</sub>, Ca<sub>0,9</sub>Sn<sub>0,9</sub>Fe<sub>0,1</sub>O<sub>3- $\delta$ </sub>, Ca<sub>0,9</sub>Sn<sub>0,9</sub>Co<sub>0,1</sub>O<sub>3- $\delta$ </sub>, e Ca<sub>0,9</sub>Sn<sub>0,9</sub>Cu<sub>0,1</sub>O<sub>3- $\delta$ </sub> calcinados a 800 °C / 4 h.



Para os sistemas dopados com os metais de transição, os difratogramas mostraram picos característicos da fase ortorrômbica do CaSnO<sub>3</sub>. Picos referentes a óxidos de metais de transição não foram observados. Ao ampliar a região entre 31°-33° (*insert* na Fig. 2.6) verificou-se um deslocamento dos ângulos de Bragg à direita do plano (112) do CaSnO<sub>3</sub>, sendo mais acentuado para as amostras de

 $Ca_{0,9}Sn_{0,9}Co_{0,1}O_{3-\delta}$  e  $Ca_{0,9}Sn_{0,9}Fe_{0,1}O_{3-\delta}$ . Este comportamento indica a substituição de  $Ca^{2+}$  e/ou  $Sn^{4+}$  pelos metais de transição.

A literatura mostra que alguns autores observaram esse mesmo fenômeno. Kotan *et al.* (2013) sintetizaram SrSnO<sub>3</sub> dopado com Tb<sup>3+</sup> e verificaram o deslocamento nos picos de difração. Eles atribuíram este desvio à substituição do Sr<sup>2+</sup> por Tb<sup>3+</sup>. Oliveira *et al.* (2013) reportaram a síntese de pós de SrSn<sub>1-x</sub>Ti<sub>x</sub>O<sub>3</sub> e observaram um deslocamento nos ângulos de Bragg para valores de  $\theta$  mais elevados. Eles atribuíram esta modificação à introdução do Ti<sup>4+</sup> na rede.

Na Tabela 2.5, são apresentados os valores dos parâmetros de rede, volume da célula unitária e ângulos de inclinação entre os octaedros das amostras sintetizadas.

**Tabela 2.5:** Parâmetros de rede, volume da célula unitária e ângulos de inclinação entre os octaedros das amostras de CaSnO<sub>3</sub>, Ca<sub>0,9</sub>Sn<sub>0,9</sub>Fe<sub>0,1</sub>O<sub>3-δ</sub>, Ca<sub>0,9</sub>Sn<sub>0,9</sub>Co<sub>0,1</sub>O<sub>3-δ</sub>, e Ca<sub>0,9</sub>Sn<sub>0,9</sub>Cu<sub>0,1</sub>O<sub>3-δ</sub>.

Sistema	T (°C)	Parâmetros de Rede (Å)			Ângulos de Inclinação (°)		ação (°)	
Olotollia	1 ( 0)	а	b	С	V (ų)	Φ	φ	θ
CaSnO₃ Padrão*	-	5,53	5,68	7,91	248	80,0	65,1	13,1
CaSnO₃	700	5,53	5,69	7,89	248	80,0	65,0	13,6
CaSnO <sub>3</sub>	800	5,53	5,68	7,91	248	80,0	65,1	13,2
Ca <sub>0,9</sub> Sn <sub>0,9</sub> Fe <sub>0,1</sub> O <sub>3-δ</sub>	800	5,51	5,66	7,88	246	79,9	65,0	13,2
$Ca_{0,9}Sn_{0,9}Co_{0,1}O_{3-\delta}$	800	5,51	5,66	7,87	245	79,9	65,1	13,2
$Ca_{0,9}Sn_{0,9}Cu_{0,1}O_{3-\delta}$	800	5,52	5,67	7,89	247	80,0	65,2	13,2

<sup>\*</sup> JCPDS 77-1797 (T = temperatura; V = volume da célula unitária)

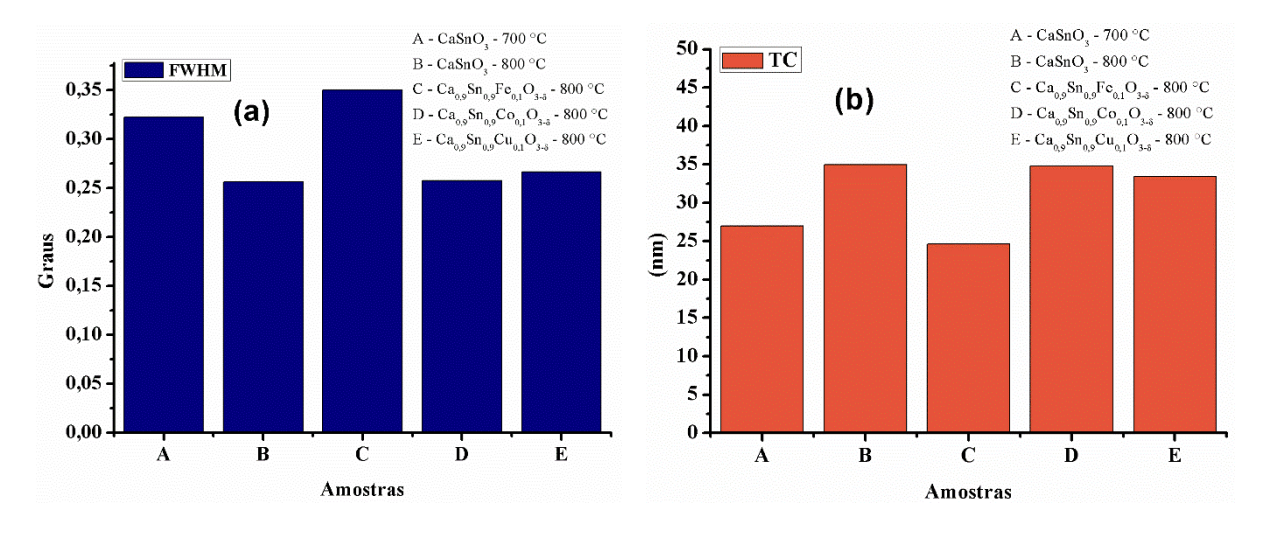
Fonte: Própria

Baseado nos dados apresentados na Tabela 2.5, os parâmetros de rede (*a*, *b*, *c*) das amostras dopadas com Fe<sup>3+</sup>, Co<sup>2+</sup> e Cu<sup>2+</sup> apresentaram uma pequena diminuição em comparação com os parâmetros do CaSnO<sub>3</sub>, reduzindo, portanto, o volume da célula unitária. De acordo com Tarrida, Larguem e Madon (2009), a diminuição dos parâmetros de rede, a redução do volume da célula unitária e o aumento da distorção da estrutura da perovskita ABO<sub>3</sub> estão associadas com a

substituição do cátion do sítio A por outros cátions de menor raio iônico. Por outro lado, percebeu-se que os ângulos de inclinação entre os octaedros  $(\Phi, \varphi, \theta)$  não sofreram modificações significativas.

Na Figura 2.7, são apresentados os valores da largura a meia altura (FWHM) – obtidos pela deconvolução do pico referente ao plano (112) – e tamanho de cristalitos (TC) das perovskitas de CaSnO<sub>3</sub>, Ca<sub>0,9</sub>Sn<sub>0,9</sub>Fe<sub>0,1</sub>O<sub>3-δ</sub>, Ca<sub>0,9</sub>Sn<sub>0,9</sub>Co<sub>0,1</sub>O<sub>3-δ</sub> e Ca<sub>0,9</sub>Sn<sub>0,9</sub>Cu<sub>0,1</sub>O<sub>3-δ</sub>.

**Figura 2.7:** (a) Valores de largura a meia altura (FWHM) e (b) tamanho de cristalitos (TC) das amostras de CaSnO<sub>3</sub> (700 °C), CaSnO<sub>3</sub>, Ca<sub>0,9</sub>Sn<sub>0,9</sub>Fe<sub>0,1</sub>O<sub>3- $\delta$ </sub>, Ca<sub>0,9</sub>Sn<sub>0,9</sub>Co<sub>0,1</sub>O<sub>3- $\delta$ </sub>, e Ca<sub>0,9</sub>Sn<sub>0,9</sub>Cu<sub>0,1</sub>O<sub>3- $\delta$ </sub> calcinadas a 800 °C.



De acordo com a Figura 2.7, a amostra de CaSnO<sub>3</sub> calcinada em 700 °C apresentou valor de FWHM (0,3224°) maior que a amostra de CaSnO<sub>3</sub> calcinada em 800 °C (0,2562°), uma diferença de 20,5%. Como era de se esperar, a temperatura de calcinação gerou uma maior organização a longo alcance na amostra de CaSnO<sub>3</sub>, já que o aumento na temperatura favorece uma maior mobilidade aos átomos dentro da rede cristalina, proporcionando o aumento e a organização dos cristais.

Avaliando a influência do dopante na ordem a longo alcance dos materiais sintetizados na temperatura de 800°C, percebeu-se que as amostras de Ca<sub>0,9</sub>Sn<sub>0,9</sub>Co<sub>0,1</sub>O<sub>3-δ</sub> e Ca<sub>0,9</sub>Sn<sub>0,9</sub>Cu<sub>0,1</sub>O<sub>3-δ</sub> apresentaram um pequeno aumento nos valores de FWHM em comparação com CaSnO<sub>3</sub> (800°C), sendo que para a amostra

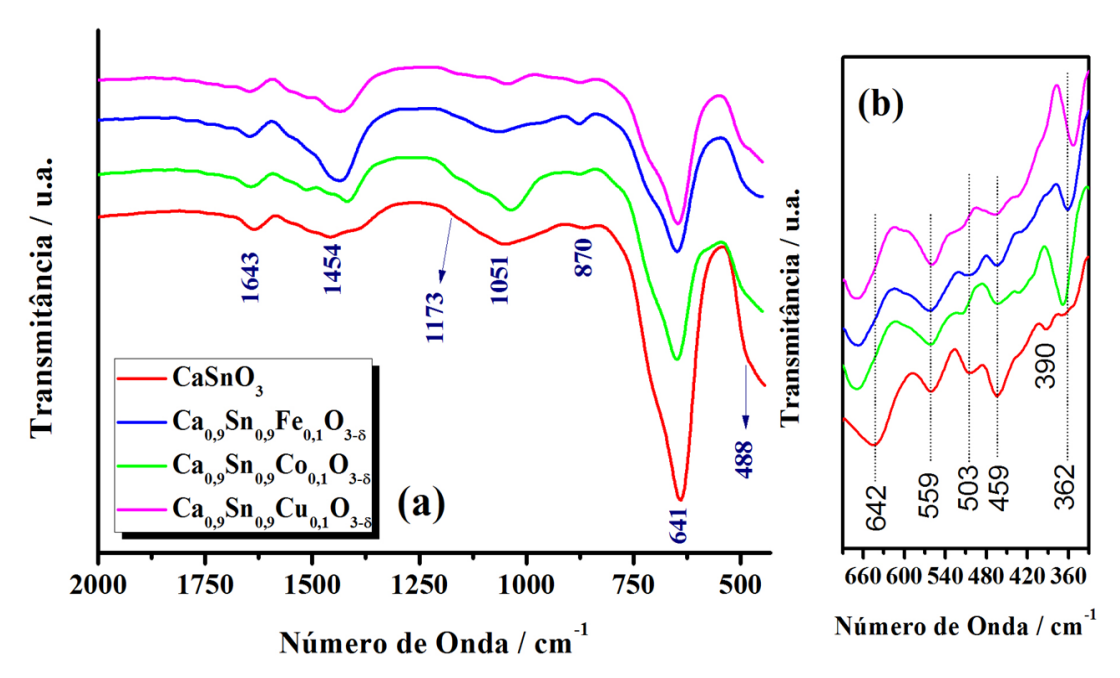
dopada com Fe<sup>3+</sup> (Ca<sub>0,9</sub>Sn<sub>0,9</sub>Fe<sub>0,1</sub>O<sub>3-δ</sub>) a discrepância é bastante expressiva, tendo uma diferença de 36,6%. De acordo com estes resultados, a introdução do íon Fe<sup>3+</sup> promoveu uma desordem a longo alcance no CaSnO<sub>3</sub>.

Semelhante ao que foi observado para o FWHM, os tamanhos de cristalitos (TC) das amostras dopadas apresentaram valores ligeiramente inferiores ao do CaSnO<sub>3</sub> calcinado em 800 °C, exceto para a amostra dopada com ferro.

### 2.4.3 Espectroscopia de Infravermelho

Mediante a avaliação do espectro de absorção na região do infravermelho é possível identificar algumas vibrações características das perovskitas, além de indicações quanto a simetria do material. Na Figura 2.8 são apresentados os espectros de CaSnO<sub>3</sub> e Ca<sub>0,9</sub>Sn<sub>0,9</sub>M<sub>0,1</sub>O<sub>3- $\delta$ </sub> (M = Fe<sup>3+</sup>, Co<sup>2+</sup>, Cu<sup>2+</sup>) a 800°C obtidos em KBr (a) e nujol (b).

**Figura 2.8:** Espectros vibracionais na região do infravermelho de CaSnO<sub>3</sub> e Ca<sub>0,9</sub>Sn<sub>0,9</sub>M<sub>0,1</sub>O<sub>3- $\delta$ </sub> (M = Fe<sup>3+</sup>, Co<sup>2+</sup>, Cu<sup>2+</sup>) calcinados a 800 °C obtidos em KBr (a) e nujol (b).



A perovskita ABO<sub>3</sub> perfeitamente cúbica (Pm3m) apresenta quatro modos vibracionais no infravermelho cuja representação irredutível é dada por  $\Gamma_{IV} = 3T_{1u} + T_{2u}$ . Dentre estes, os três modos vibracionais  $T_{1u}$  são opticamente ativos e o modo  $T_{2u}$  opticamente inativo no infravermelho. Karlsson *et al.* (2008) reportam que os três modos vibracionais ativos são triplamente degenerados dos quais  $\upsilon_1$  é atribuído ao modo de rede A-BO<sub>3</sub> (80-140 cm<sup>-1</sup>);  $\upsilon_2$  é atribuído ao modo de deformação O-B-O (170-280 cm<sup>-1</sup>) e  $\upsilon_3$  é atribuído ao modo de estiramento B-O (490-680 cm<sup>-1</sup>). Para perovskitas com distorções estruturais, o modo  $T_{2u}$  pode tornar-se ativo gerando um espectro com bandas mais alargadas ou ombros. Desta maneira, espectros de infravermelho podem informar a respeito da ordem a curto alcance da rede cristalina (LIU *et al.*, 2006).

Enquanto compostos com estrutura perovskita cúbica apresentam o modo  $\upsilon_3$  em torno de 500 cm<sup>-1</sup> (banda bem definida), nas perovskitas tetragonais, ocorre um deslocamento desta banda para regiões de maiores frequências, além do surgimento de ombros. Na estrutura ortorrômbica  $\upsilon_3$  surge em torno de 660 cm<sup>-1</sup> associada a um ombro em frequências mais baixas (LAST, 1957), conforme mostrado na Tabela 2.6.

Tabela 2.6: Modos vibracionais υ3 de diferentes estruturas perovskitas

Perovskita	Estrutura	ს₃ (cm <sup>-1</sup> )
BaTiO₃	Cúbica	495
BaTiO₃	Tetragonal	517 e 495
BaTiO₃	Ortorrômbica	520 e 495 <sub>(ombro)</sub>
KNbO₃	Ortorrômbica	660 e 550 <sub>(ombro)</sub>
CaNbO₃	Ortorrômbica	675 e 510 <sub>(ombro)</sub>

Fonte: Adaptado (RIBEIRO, 2011)

Ainda de acordo com a literatura, CaSnO<sub>3</sub> (com estrutura ortorrômbica) possui 25 modos ativos no infravermelho com  $\Gamma_{IV} = 9B_{1u} + 9B_{2u} + 7B_{3u}$  (MAUL *et al.*, 2015). De modo geral, as vibrações dos estanatos (SnO<sub>3</sub><sup>2-</sup>) produzem bandas com alta intensidade no infravermelho na região de 600-700 cm<sup>-1</sup> (ALVES *et al.*, 2009; CHAO *et al.*, 2011; OUNI *et al.*, 2012).

Zheng *et al.* (2012), ao sintetizar CaSnO<sub>3</sub> pelo método *eletrospinning* atribuíram os modos em 559 cm<sup>-1</sup>, 643 cm<sup>-1</sup> e 876 cm<sup>-1</sup> às vibrações de estiramentos simétricos das ligações Sn-O, e os modos em 432 cm<sup>-1</sup> e 501 cm<sup>-1</sup> às vibrações simétricas do octedro SnO<sub>6</sub>. Segundo Karlsson *et al.* (2008), as bandas observadas nas regiões entre 300-440 cm<sup>-1</sup> e entre 490-680 cm<sup>-1</sup> estão associadas com o movimento torsional das ligações Sn-O<sub>3</sub> e com os estiramentos Sn-O, respectivamente.

Nakamoto (1996) reporta que os modos próximos de 1200 cm<sup>-1</sup> estão associados com as vibrações do complexo metal-hidroxila (M-OH) e que as bandas de absorção referentes à deformação angular (H-O-H) da água ocorrem próximas de 1600 cm<sup>-1</sup>. Segundo o autor, vibrações referentes aos grupos carbonatos (CO<sub>3</sub><sup>2-</sup>) são esperadas em 850 cm<sup>-1</sup>, 1050 cm<sup>-1</sup> e 1470 cm<sup>-1</sup>. Ouni *et al.* (2012), ao sintetizar a perovskita de Sr<sub>1-x</sub>Er<sub>x</sub>SnO<sub>3-δ</sub> pelo método sol-gel, atribuíram os modos em 827 cm<sup>-1</sup>, 1382 cm<sup>-1</sup> e 1448 cm<sup>-1</sup> às vibrações de grupos carbonatos.

No presente trabalho, os modos e as atribuições das perovskitas de CaSnO $_3$  e Ca $_{0.9}$ Sn $_{0.9}$ M $_{0.1}$ O $_{3-\delta}$  (M = Fe $^{3+}$ , Co $^{2+}$ , Cu $^{2+}$ ) a 800 °C, obtidas em KBr e nujol, são apresentados na Tabela 2.7.

**Tabela 2.7:** Bandas e atribuições dos espectros de infravermelho do CaSnO<sub>3</sub> e Ca<sub>0,9</sub>Sn<sub>0,9</sub>M<sub>0,1</sub>O<sub>3- $\delta$ </sub> (M = Fe<sup>3+</sup>, Co<sup>2+</sup>, Cu<sup>2+</sup>) calcinados a 800 °C obtidos em KBr e nujol.

	Banda (cm <sup>-1</sup> )	Atribuição	Ref.
CaSnO₃	362 <sup>(+)</sup> , 390 <sup>(+)</sup>	Deformação O-Sn-O	[a]
	459 <sup>(+)</sup> , 503 <sup>(+)</sup> , 488 <sup>(#)</sup>	Estiramento do Octaedro SnO <sub>6</sub>	[b,c]
	559 <sup>(+)</sup> , 642 <sup>(+)</sup> , 641 <sup>(#)</sup>	Estiramento simétrico Sn-O	[b,d]
	1173 <sup>(#)</sup>	Vibração M-OH	[e]
	870 <sup>(#)</sup> , 1051 <sup>(#)</sup> , 1454 <sup>(#)</sup>	Vibração de grupos CO <sub>3</sub> <sup>2-</sup>	[e,f]
	1643 <sup>(#)</sup>	Deformação angular da H <sub>2</sub> O	[e,g]
Ca <sub>0,9</sub> Sn <sub>0,9</sub> Fe <sub>0,1</sub> O <sub>3-δ</sub>	362(+)	Deformação O-Sn-O	[a]
	464 <sup>(+)</sup> ,500 <sup>(+)</sup> , 497 <sup>(#)</sup>	Estiramento do Octaedro SnO6	[b,c]
	563 <sup>(+)</sup> , 661 <sup>(+)</sup> , 647 <sup>(#)</sup>	Estiramento simétrico Sn-O	[b,d]
	1174 <sup>(#)</sup>	Vibração Me-OH	[e]
	877 <sup>(#)</sup> , 1070 <sup>(#)</sup> , 1440 <sup>(#)</sup>	Vibração de grupos CO <sub>3</sub> <sup>2-</sup>	[e,f]
	1648 <sup>(#)</sup>	Deformação angular da H <sub>2</sub> O	[e,g]
Ca <sub>0,9</sub> Sn <sub>0,9</sub> Co <sub>0,1</sub> O <sub>3-δ</sub>	369(+)	Deformação O-Sn-O	[a]
	460 <sup>(+)</sup> ,516 <sup>(+)</sup> , 497 <sup>(#)</sup>	Estiramento do Octaedro SnO6	[b,c]
	560 <sup>(+)</sup> , 668 <sup>(+)</sup> , 648 <sup>(#)</sup>	Estiramento simétrico Sn-O	[b,d]
	1169 <sup>(#)</sup>	Vibração Me-OH	[e]
	871 <sup>(#)</sup> , 11034 <sup>(#)</sup> , 1416 <sup>(#)</sup>	Vibração de grupos CO <sub>3</sub> <sup>2-</sup>	[e,f]
	1643(#)	Deformação angular da H₂O	[e,g]

Ca <sub>0,9</sub> Sn <sub>0,9</sub> Cu <sub>0,1</sub> O <sub>3-δ</sub>	353 <sup>(+)</sup>	Deformação O-Sn-O	[a]
	468 <sup>(+)</sup> ,508 <sup>(+)</sup> , 497 <sup>(#)</sup>	Estiramento do Octaedro SnO <sub>6</sub>	[b,c]
	558 <sup>(+)</sup> , 664 <sup>(+)</sup> , 647 <sup>(#)</sup>	Estiramento simétrico Sn-O	[b,d]
	1167 <sup>(#)</sup>	Vibração Me-OH	[e]
	874 <sup>(#)</sup> , 1042 <sup>(#)</sup> , 1434 <sup>(#)</sup>	Vibração de grupos CO <sub>3</sub> <sup>2-</sup>	[e,f]
	1645(#)	Deformação angular da H <sub>2</sub> O	[e,g]

<sup>+</sup> Banda obtida em Nujol; # Banda obtida em KBr

De acordo com a Figura 2.8 e as atribuições mostradas na Tabela 2.7, verificou-se que os dados obtidos experimentalmente corroboram os dados da literatura. Para as amostras de CaSnO<sub>3</sub> dopadas com os metais de transição (Fe<sup>3+</sup>, Co<sup>2+</sup> e Cu<sup>2+</sup>) verificou-se que o modo referente ao estiramento Sn-O (~640 cm<sup>-1</sup> em KBr) sofreu uma diminuição significativa na intensidade, além de um deslocamento sistemático para regiões de maiores comprimentos de onda. Esta mudança pode estar associada à presença de dois tipos de simetria em torno do Sn, indicando que a dopagem promove uma desorganização a curto alcance. Além disso, a banda referente à deformação O-Sn-O (~362 cm<sup>-1</sup> em nujol) sofreu deslocamento produzindo bandas com melhores definições. Também o modo em ~1450 cm<sup>-1</sup> (vibração de carbonatos) foi mais intensa para as amostras dopadas.

### 2.4.4 Espectroscopia Raman

A célula unitária da perovskita ortorrômbica (Pnma) de fórmula geral ABO<sub>3</sub> apresenta 60 modos vibracionais no espectro Raman. Estes modos podem ser representados por  $\Gamma_{(Raman)} = 8A_u + 10B_{1u} + 8B_{2u} + 10B_{3u} + 7A_g + 5B_{1g} + 7B_{2g} + 5B_{3g}$ . Sendo que apenas 24 modos são ativos:  $7A_g + 5B_{1g} + 7B_{2g} + 5B_{3g}$ . (ZHENG *et al.* 2012; MAUL *et al.*, 2015).

Na Figura 2.9 é mostrado o espectro Raman do CaSnO<sub>3</sub> sintetizado pelo método *Pechini-*modificado e calcinado em 800 °C / 4 h.

<sup>[</sup>a] GAO et al., 2005; [b] ZHENG et al., 2012; [c] SINGH et al., 2008; [d] SANGEENTHA et al., 2011;

<sup>[</sup>e] NAKAMOTO, 1996; [f] ANDOULSI et al., 2012; [g] VIEIRA, 2011.

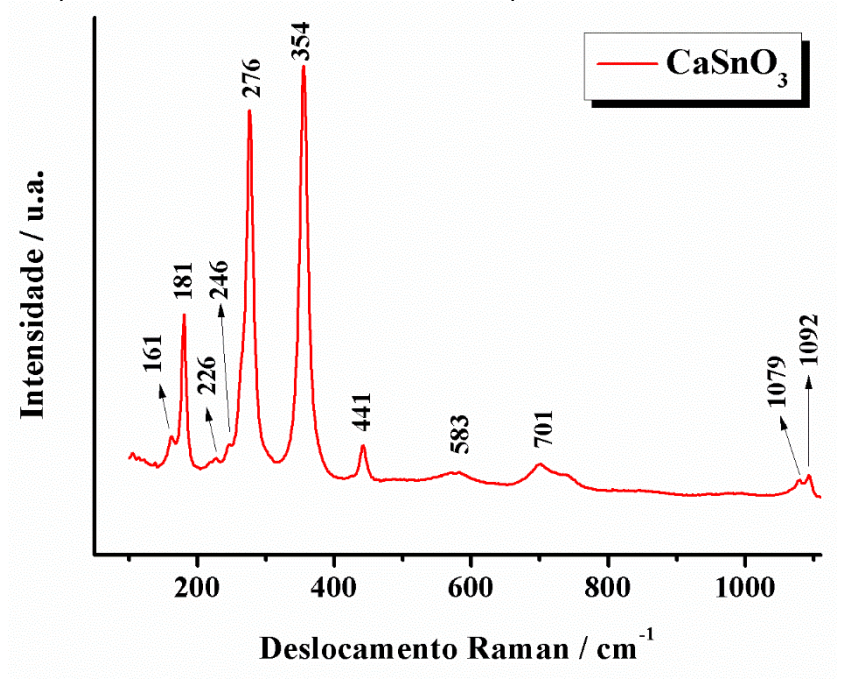


Figura 2.9: Espectro Raman do CaSnO<sub>3</sub> sintetizado pelo método de Pechini à 800 °C / 4h.

A literatura tem reportado que, para as perovskitas ortorrômbicas ABO<sub>3</sub>, os modos observados em baixas frequências (<180 cm<sup>-1</sup>) são atribuídos às ligações A-BO<sub>3</sub>; a região entre 180-300 cm<sup>-1</sup> está associada com o movimento vibracional das ligações O-B-O; os modos entre 300-450 cm<sup>-1</sup> correspondem ao movimento torsional das ligações B-O<sub>3</sub>; os modos na região entre 450-600 cm<sup>-1</sup> estão associados ao estiramento das ligações B-O; e por fim, os modos de alta frequência (>600 cm<sup>-1</sup>) correspondem ao espalhamento de segunda ordem (McMILLAN e ROSS, 1988; ORERA *et al.*, 1998; ZHENG *et al.*, 2004; TARRIDA, LARGUEM e MADON, 2009).

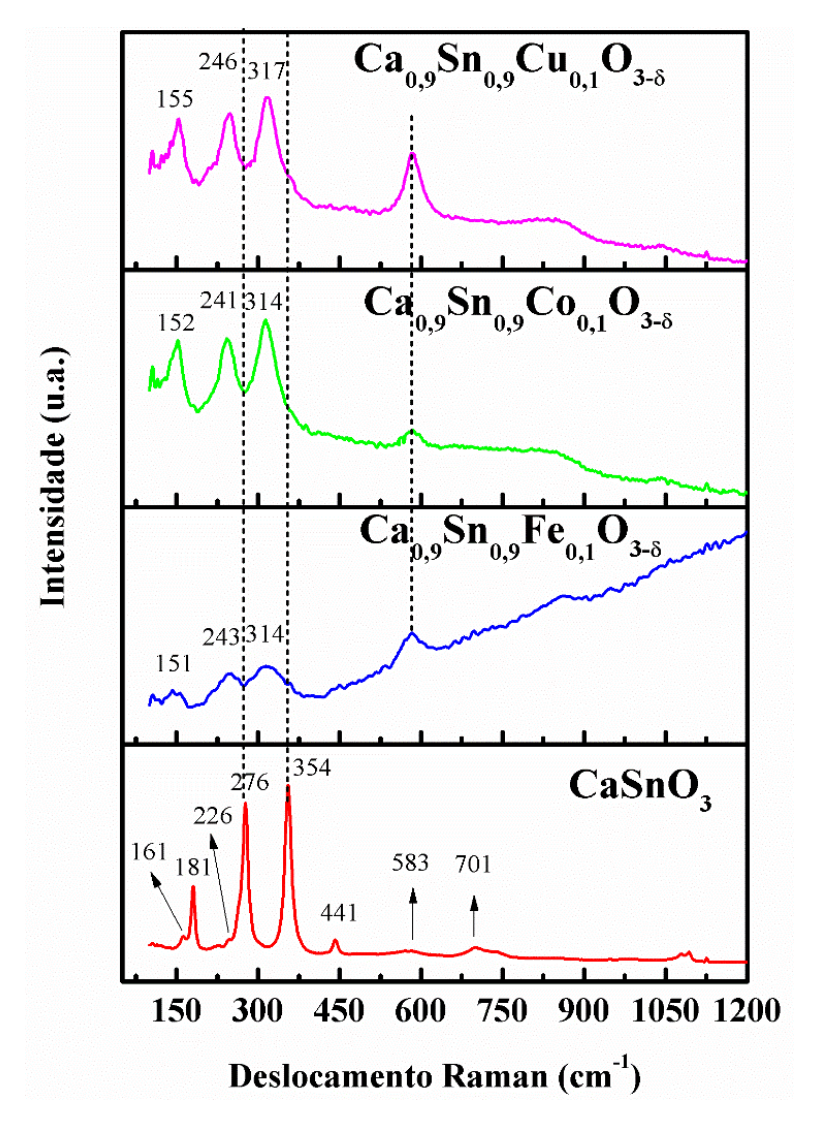
Maul *et al.* (2016) realizaram uma análise harmônica do CaSnO<sub>3</sub> e apresentaram a densidade de estados fonônica de modo a relacionar a contribuição do movimento dos átomos de Ca, Sn e O (apical e equatorial) com a frequência de deslocamento (v). Segundo os autores, entre 100-300 cm<sup>-1</sup> ocorre uma maior contribuição dos átomos de Ca e Sn com pouca contribuição de O apical. Em frequências superiores a 300 cm<sup>-1</sup>, a maior contribuição é devido ao movimento do oxigênio.

No espectro do CaSnO<sub>3</sub>, as bandas localizadas em 161, 181, 226, 276 e 354 cm<sup>-1</sup> são resultantes das vibrações de Ca-SnO<sub>3</sub> e O-Sn-O (MAUL *et al.*, 2015). Os modos em 441 e 583 cm<sup>-1</sup> referem-se com os movimentos torcionais SnO<sub>3</sub> e o modo em 701 cm<sup>-1</sup> está associado com as vibrações de estiramento Sn-O (ZHENG *et al.* 

2012; MAUL *et al.*, 2015; TARRIDA, LARGUEM e MADON, 2009). Um alargamento na região de 700 cm<sup>-1</sup> bem como os modos em 1079 e 1092 cm<sup>-1</sup> são atribuídas às vibrações de carbonatos de cálcio (KONTOYANNIS e VAGENAS 2000).

Na Figura 2.10 são mostrados os espectros Raman das amostras de  $Ca_{0.9}Sn_{0.9}Fe_{0.1}O_{3-\delta}$ ,  $Ca_{0.9}Sn_{0.9}Co_{0.1}O_{3-\delta}$  e  $Ca_{0.9}Sn_{0.9}Cu_{0.1}O_{3-\delta}$  calcinadas a 800 °C.

**Figura 2.10:** Espectro Raman do  $Ca_{0,9}Sn_{0,9}Fe_{0,1}O_{3-\delta}$ ,  $Ca_{0,9}Sn_{0,9}Co_{0,1}O_{3-\delta}$  e  $Ca_{0,9}Sn_{0,9}Cu_{0,1}O_{3-\delta}$  sintetizado pelo método de *Pechini* calcinado a 800 °C / 4h.

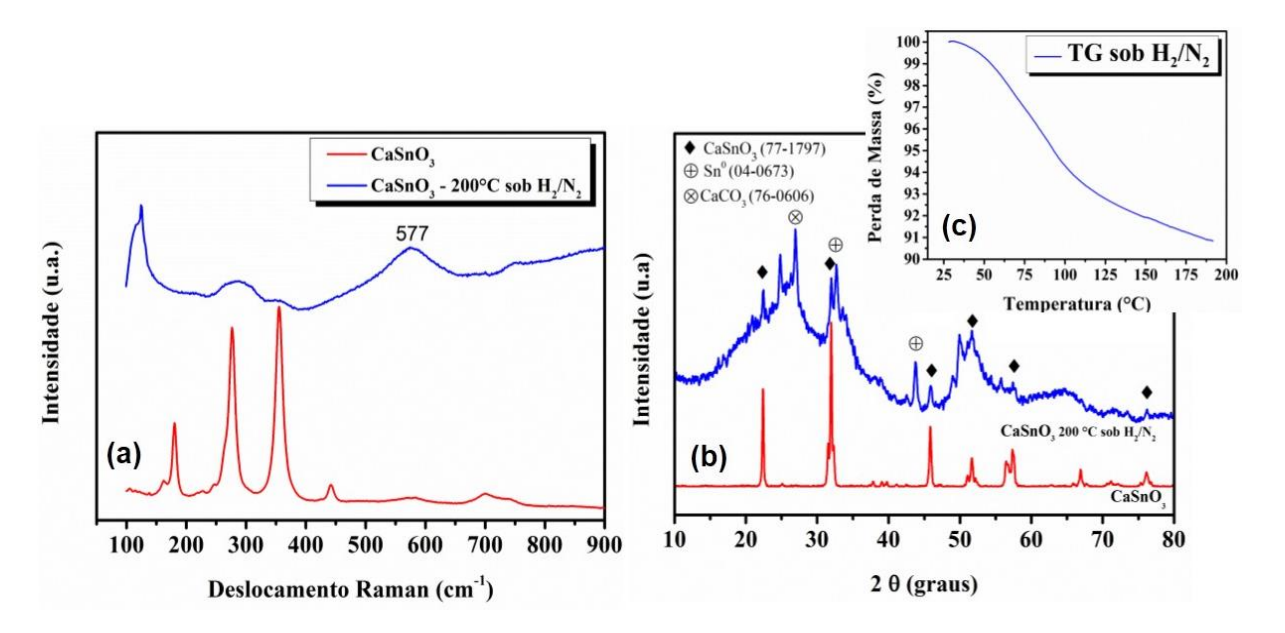


A dopagem com os metais de transição (Fe<sup>3+</sup>, Co<sup>2+</sup> e Cu<sup>2+</sup>) promoveu uma modificação no perfil dos espectros Raman. De acordo com a Figura 2.10, os três modos de maior intensidade do CaSnO<sub>3</sub> (181, 276 e 354 cm<sup>-1</sup>) foram deslocados para regiões de baixas frequências nas amostras dopadas. Além disso, observou-se

um aumento de intensidade no modo em 583 cm<sup>-1</sup> o qual pode ser atribuído a uma maior contribuição dos movimentos do oxigênio resultantes da geração de vacâncias e/ou defeitos gerados no material. Também, verificou-se que a dopagem com ferro promoveu uma maior influência na simetria do material, uma vez que o espectro desta amostra apresentou baixa definição das bandas. Esta observação corrobora os resultados de espectroscopia de UV-vis, que indicaram uma maior desorganização a curto alcance (menor *band gap*) para o Ca<sub>0,9</sub>Sn<sub>0,9</sub>Fe<sub>0,1</sub>O<sub>3-δ</sub>.

De modo a confirmar a formação de vacâncias de oxigênio devido à introdução dos dopantes, a amostra de CaSnO₃ foi submetida ao aquecimento de 27 °C à 200 °C, em um analisador térmico sob atmosfera redutora (H₂/ N₂), com intuito de promover a redução do Sn⁴+ → Sn⁰ e, consequentemente, gerar vacâncias de oxigênio no material. Após o aquecimento foi realizada uma avaliação do TG, DRX e Raman da amostra. A Figura 2.11 apresenta os difratogramas de raios-X e os espectros Raman da amostra de CaSnO₃ antes e após o tratamento térmico sob H₂/ N₂.

**Figura 2.11:** (a) Espectros Raman e (b) difratogramas de raios-X das amostras de CaSnO<sub>3</sub> antes e após a calcinação em 200 °C sob atmosfera de H<sub>2</sub>/N<sub>2</sub> (*insert* (c) corresponde a perda de massa da amostra calcinada em 200 °C).



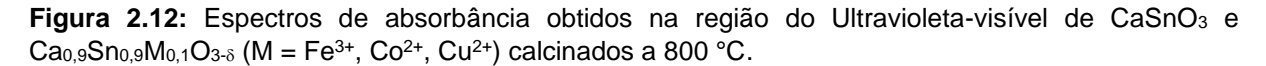
Conforme mostrado na Fig. 2.11, os padrões de DRX confirmaram a redução do Sn<sup>4+</sup> em Sn<sup>0</sup> e uma amorfização parcial da perovskita. O aumento aparente na quantidade de carbonato de cálcio observado deve-se à diminuição da intensidade

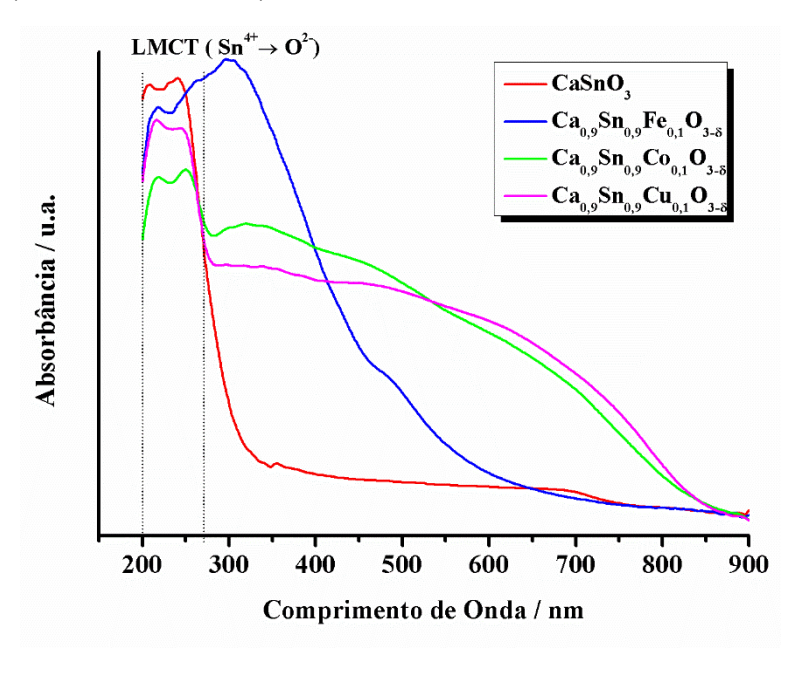
dos picos da perovskita. As mudanças observadas no espectro Raman após a redução foram similares às amostras dopadas, com diminuição da intensidade das bandas inferiores a 400 cm<sup>-1</sup> e um aumento na banda em 580 cm<sup>-1</sup>, indicando que vacâncias de oxigênio foram formadas. Cabe ressaltar que o Sn<sup>0</sup> apresenta picos bem definidos em 140 cm<sup>-1</sup> e 170 cm<sup>-1</sup>, bastante diferente do que foi observado no espectro Raman da amostra após o tratamento térmico, o que indica que o perfil observado é atribuído à estrutura perovskita (CAI *et al.*, 2015).

### 2.4.5 Espectros de Absorção na Região do Ultravioleta e Visível

O espectro de absorção na região do ultravioleta-vísivel (UV-vis) permite obter informações quanto a organização dos materiais a curto alcance, através da observação da presença ou ausência de uma cauda de absorção nos espectros de UV-vis, denominada de cauda de Urbach. Esta cauda é atribuída à existência de estados eletrônicos deslocalizados próximos às bandas de valência ou de condução. Além disso, é possível determinar o valor da energia do *band gap*.

A Figura 2.12 apresenta os espectros de absorção na região do UV-vis das amostras de CaSnO $_3$  e Ca $_{0,9}$ Sn $_{0,9}$ M $_{0,1}$ O $_{3-\delta}$  (M = Fe $^{3+}$ , Co $^{2+}$ , Cu $^{2+}$ ) calcinados na temperatura de 800 °C.





A literatura reporta que a transição de transferência de carga metal-ligante (LMCT)  $Sn^{4+} \rightarrow O^{2-}$ , com íons em ambiente octaédrico, ocorre em torno de 200 e 290 nm (LIU *et al.*, 2006). Estes sinais foram observados em todos os materiais.

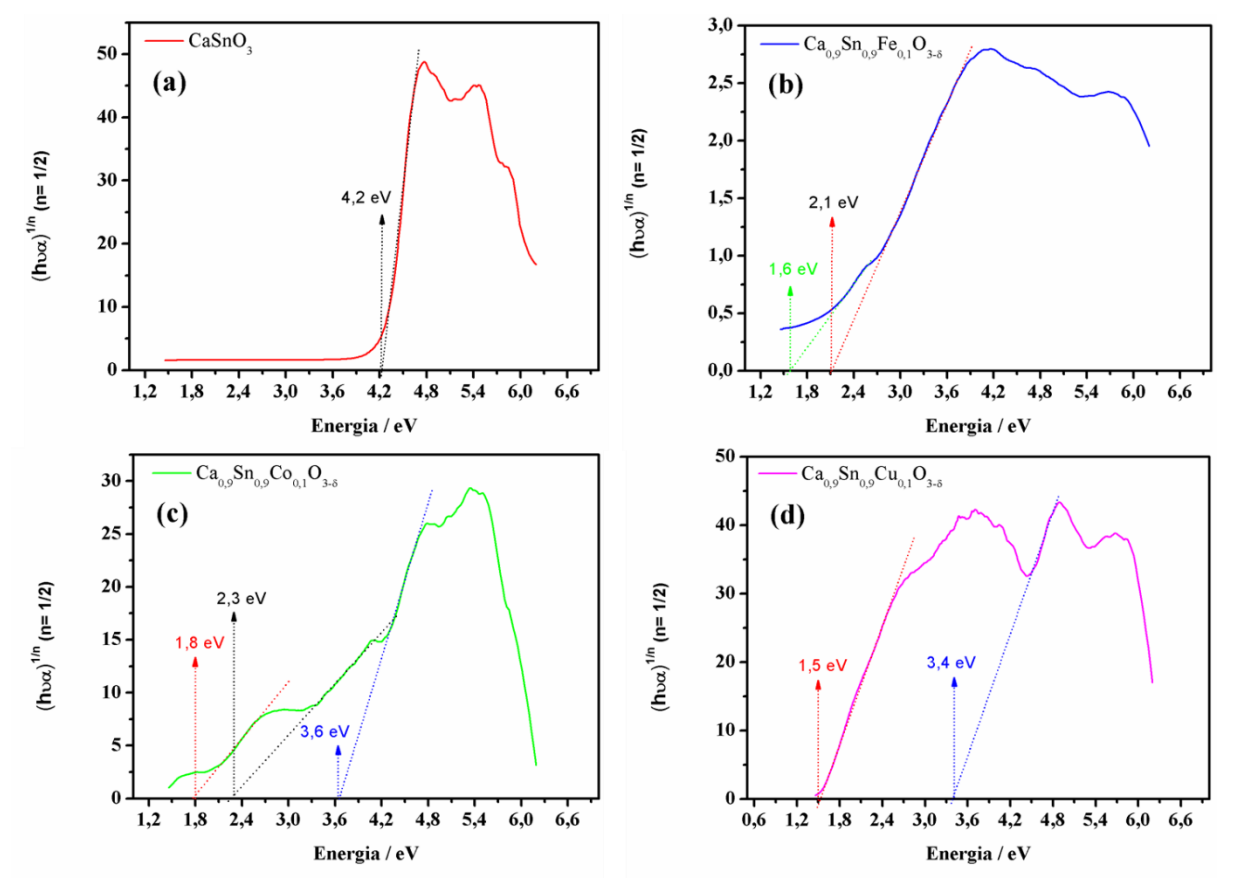
Para o sistema CaSnO<sub>3</sub>, a região de maior absorção é compreendida entre 200-350 nm. Acima dessa região, a absorção é constante e tende a zero. Este perfil é comum para materiais de coloração clara (RIBEIRO, 2011). Também reflete uma alta ordem a curto alcance, já que a presença de cauda de Urbach nos espectros não foi observada. De acordo com Tauc (1972), a presença de cauda de Urbach é comum em espectros de semicondutores amorfos. Por sua vez, em sólidos cristalinos a absorção desta cauda tende a zero.

Diferentemente do que fora observado na amostra CaSnO<sub>3</sub>, os espectros das amostras dopadas com Fe<sup>3+</sup>, Co<sup>2+</sup> e Cu<sup>2+</sup> mostraram absorção na região entre 300 – 900 nm. Este comportamento deve-se, provavelmente, as transições eletrônicas dos íons dopantes, os quais podem estar associados com diferentes estados de oxidação, pois, conforme reportado na literatura, estes íons metálicos em ambiente octaédrico apresentam transições eletrônicas nesta faixa de comprimento de onda (SRINIVASULU *et al.* 2013; REDDY *et al.*, 2012; LLUSAR *et al.*, 2001; RAJYASREE e RAO, 2011).

A coexistência de íons de metais de transição com diferentes estados de oxidação sugere que uma maior quantidade de defeitos pode ser gerada devido à acomodação destas espécies na rede da perovskita. Neste sentido, a avaliação dos espectros de UV-Vis não é suficiente para confirmar a presença destes íons, sendo necessário, portanto, uma avaliação mais robusta, tal como, por espectroscopia de fotoelétrons excitados por raios-X (XPS).

Na Figura 2.13 são mostradas as curvas dos espectros de UV-Vis das amostras de CaSnO<sub>3</sub> e Ca<sub>0,9</sub>Sn<sub>0,9</sub>M<sub>0,1</sub>O<sub>3- $\delta$ </sub> (M = Fe<sup>3+</sup>, Co<sup>2+</sup>, Cu<sup>2+</sup>) com a extrapolação para determinação dos valores da energia do *band gap* com base no método descrito por Tauc (1972), Davis e Mott (1970).

**Figura 2.13:** Determinação do *band gap* das amostras de (a) CaSnO<sub>3</sub>, (b) Ca<sub>0,9</sub>Sn<sub>0,9</sub>Fe<sub>0,1</sub>O<sub>3- $\delta$ </sub>, (c) Ca<sub>0,9</sub>Sn<sub>0,9</sub>Co<sub>0,1</sub>O<sub>3- $\delta$ </sub> e (d) Ca<sub>0,9</sub>Sn<sub>0,9</sub>Cu<sub>0,1</sub>O<sub>3- $\delta$ </sub>, a partir da função Kubelka-Munk



De acordo com a literatura, o valor do *band gap* teórico do CaSnO<sub>3</sub> octaédrico é da ordem de 2,9 eV (CHERRAD *et al.*, 2013; MOREIRA *et al.*, 2011). Wang *et al.* (2009) ao sintetizarem CaSnO<sub>3</sub> pelo método hidrotermal obtiveram o valor de 4,3 eV. Alves (2007), utilizando o método *Pechini* e SnCl<sub>2</sub> como precursor, obteve 3,2 eV.

No presente trabalho, o valor de *band gap* do CaSnO₃ foi da ordem de 4,2 eV. Em comparação com os valores descritos na literatura o método de síntese proporcionou a formação da perovskita com elevada ordem a curto alcance, uma vez que o valor do *band gap* foi maior que o esperado e comparável com o material sintetizado pelo método hidrotermal descrito por Wang *et al.* (2007).

Para os sistemas  $Ca_{0,9}Sn_{0,9}M_{0,1}O_{3-\delta}$  ( $M=Fe^{3+}$ ,  $Co^{2+}$ ,  $Cu^{2+}$ ) houve uma diminuição nos valores do *gap* principal comparado ao material  $CaSnO_3$ . Os valores obtidos foram de 2,1 eV para o sistema  $Ca_{0,9}Sn_{0,9}Fe_{0,1}O_{3-\delta}$ ; 3,6 eV para o sistema  $Ca_{0,9}Sn_{0,9}Co_{0,1}O_{3-\delta}$  e 3,4 eV para o sistema  $Ca_{0,9}Sn_{0,9}Cu_{0,1}O_{3-\delta}$ . Esse comportamento confirma os resultados observados no infravermelho indicando que a introdução dos

dopantes promoveu desorganização a curto alcance. Além disso, foi verificado que as amostras dopadas apresentaram *band gap* secundários (conforme mostrado na Fig. 2.13). Essa observação indica a coexistência de níveis intermediários no interior do *gap*, conforme tem sido reportado na literatura (LONGO *et al.*, 2009).

A diminuição do *band gap* está associada com a quebra de simetria, a qual pode ser atribuída às vacâncias de oxigênio, defeitos na rede, impurezas ou distorções nas ligações químicas, que promovem a formação de níveis localizados de energia no interior do *gap* dos materiais. Além disso, deve-se levar em consideração as transições *d-d* (dos metais de transição).

Nesta perspectiva, Vieira *et al.* (2014) sintetizaram Sr<sub>1-x</sub>SnFe<sub>x</sub>O<sub>3</sub> e reportaram que quando o ferro foi adicionado na rede do SrSnO<sub>3</sub> o *band gap* diminuiu. Os autores atribuíram esse efeito à presença de três cátions diferentes em ambiente octaédrico, Sn<sup>4+</sup>, Fe<sup>3+</sup> e Fe<sup>4+</sup>, além de vacâncias de oxigênios geradas, principalmente devido à introdução de Fe<sup>3+</sup> na rede.

### 2.4.6 Área Superficial Específica

Na Tabela 2.8 são apresentados os resultados da área superficial específica obtidos através da técnica de adsorção/dessorção de nitrogênio utilizando o método de BET.

**Tabela 2.8:** Área superficial específica (S<sub>BET</sub>), tamanho de partículas (T<sub>P</sub>) e tamanho de cristalitos (T<sub>c</sub>) das amostras de CaSnO<sub>3</sub>, Ca<sub>0,9</sub>Sn<sub>0,9</sub>Fe<sub>0,1</sub>O<sub>3-δ</sub>, Ca<sub>0,9</sub>Sn<sub>0,9</sub>Co<sub>0,1</sub>O<sub>3-δ</sub> e Ca<sub>0,9</sub>Sn<sub>0,9</sub>Cu<sub>0,1</sub>O<sub>3-δ-δ</sub> calcinadas à 800 °C / 4h.

Sistema	S <sub>BET</sub> (m <sup>2</sup> g <sup>-1</sup> )	T <sub>P</sub> * (nm)	T <sub>C</sub> ** (nm)	T <sub>P</sub> (T <sub>C</sub> ) <sup>-1</sup>		
CaSnO₃	9,4	115,5	35,0	3,3		
$Ca_{0,9}Sn_{0,9}Fe_{0,1}O_{3-\delta}$	3,7	293,4	24,6	11,9		
$Ca_{0,9}Sn_{0,9}Co_{0,1}O_{3-\delta}$	2,7	402,1	34,8	11,6		
$Ca_{0,9}Sn_{0,9}Cu_{0,1}O_{3-\delta}$	7,2	150,8	33,4	4,5		

<sup>\*</sup>T<sub>P</sub> = tamanho de partículas obtido por BET

<sup>\*\*</sup>T<sub>C</sub> = tamanho de cristalitos obtido por DRX

De acordo com os valores apresentados na Tabela 2.8, a área superficial obtida para CaSnO<sub>3</sub> calcinado a 800 °C foi de 9,4 m<sup>2</sup> g<sup>-1</sup>. Este resultado mostra que o material sintetizado pelo método *Pechini*-modificado apresentou uma área superficial superior aos valores obtidos pelo método hidrotermal, na mesma temperatura, reportados por Wang *et al.* (2009) e Zhao, Bai e Zhang (2010), os quais obtiveram valores de 6,75 m<sup>2</sup> g<sup>-1</sup> e 5,0 m<sup>2</sup> g<sup>-1</sup>, respectivamente.

Para as amostras dopadas, verificou-se que a introdução dos íons Fe<sup>3+</sup>, Co<sup>2+</sup> e Cu<sup>2+</sup> promoveu uma diminuição na área superficial do CaSnO<sub>3</sub>, sendo que para a amostra contendo cobre a diminuição foi menos acentuada. Estes resultados indicam que a adição dos dopantes pode ter promovido, principalmente para as amostras Ca<sub>0,9</sub>Sn<sub>0,9</sub>Fe<sub>0,1</sub>O<sub>3-δ</sub> e Ca<sub>0,9</sub>Sn<sub>0,9</sub>Co<sub>0,1</sub>O<sub>3-δ</sub>, uma maior sinterização das partículas, uma vez que, a razão entre o tamanho de partículas (T<sub>P</sub>) e o tamanho de cristalitos (T<sub>C</sub>) foi bastante elevada.

### 2.5 CONCLUSÃO

A síntese dos pós de CaSnO<sub>3</sub>, Ca<sub>0,9</sub>Sn<sub>0,9</sub>Fe<sub>0,1</sub>O<sub>3- $\delta$ </sub>, Ca<sub>0,9</sub>Sn<sub>0,9</sub>Co<sub>0,1</sub>O<sub>3- $\delta$ </sub> e Ca<sub>0,9</sub>Sn<sub>0,9</sub>Cu<sub>0,1</sub>O<sub>3-8</sub> foi realizada com sucesso pelo método *Pechini-*modificado. Este método originou materiais com elevada cristalinidade em temperaturas relativamente baixas (700 °C - 800 °C). Ao introduzir os metais dopantes na rede cristalina do CaSnO<sub>3</sub>, verificou-se um pequeno deslocamento no ângulo de Bragg (plano [112] do difratograma de raios-X), fator que favoreceu a redução nos valores dos parâmetros de rede e compressão da célula unitária. Também, uma diminuição da largura a meia altura deste plano foi observada, o que confirma que os dopantes promoveram uma desordem a longo alcance, sendo mais expressiva para o sistema Ca<sub>0.9</sub>Sn<sub>0.9</sub>Fe<sub>0.1</sub>O<sub>3-δ</sub>. Mediante os espectros de UV-Vis, foi constatado que os valores da energia do band gap dos materiais dopados foram menores que o CaSnO<sub>3</sub> não dopado, e apresentaram valores de gap secundários, o que remete a existência de níveis intermediários de energia no interior do band gap. Corroborando estes resultados, os modos vibracionais nos espectros de IV e Raman das amostras dopadas confirmaram a existência de dois tipos de simetria em torno do formador de rede (Sn<sup>4+</sup>), promovendo desta forma, desorganização a curto alcance.

# CAPÍTULO 3

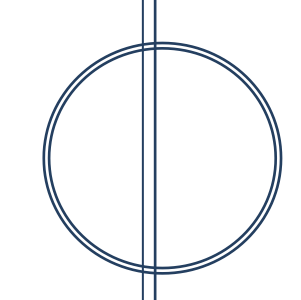
Propriedades Fotocatalíticas e Fotoluminescentes do

 $Ca_{0,9}Sn_{0,9}M_{0,1}O_{3-\delta}$ , (M = Fe<sup>3+</sup>, Co<sup>2+</sup> ou Cu<sup>2+</sup>)

"À medida que conquistamos pico após pico vemos diante de nós regiões cheias de interesse e beleza"

Joseph John Thomson (1856-1940)

(Nature, v. 81, p. 257, 1909).



## 3. PROPRIEDADES FOTOCATALÍTICAS E FOTOLUMINESCENTES DO $Ca_{0,9}Sn_{0,9}M_{0,1}O_{3-\delta}$ (M = $Fe^{3+}$ , $Co^{2+}$ , $Cu^{2+}$ )

### 3.1 INTRODUÇÃO

Alguns trabalhos têm reportado a relação entre fotoluminescência (FL) e fotocatálise (FC) em materiais semicondutores. Em geral, a inerência entre o espectro FL e a atividade fotocatalítica é determinada pelos atributos do sinal FL, tais como: a emissão FL banda-banda e a emissão FL excitônica. O processo FL banda-banda está diretamente relacionada com a separação elétron-buraco, sendo que, quanto maior a taxa de recombinação (e<sup>-</sup>/ h<sup>+</sup>), mais forte o sinal FL banda-banda. Enquanto que a FL excitônica é atribuída aos elétrons fotoinduzidos que podem se ligar as vacâncias de oxigênio ou defeitos do material semicondutor (LIQIANG et al., 2006).

Em relação ao espectro FL banda-banda, os trabalhos de Li *et al.* (2001) e Yu *et al.* (2003) mostraram que, quanto menor for a intensidade FL, menor será a taxa de recombinação de pares elétrons-buracos fotoinduzidos e, portanto, maior será a atividade fotocatalítica. Por outro lado, a relação entre o espectro FL excitônico e atividade fotocatalítica de materiais semicondutores é bastante complicada, pois dependem, na maioria das vezes, das espécies dopantes (LIQIANG *et al.*, 2006).

Dentre as perovskitas utilizadas como fotocatalisador de corantes orgânicos, o SrTiO<sub>3</sub> é o mais estudado, sendo avaliado tanto na forma pura, quanto dopado com metais de transição (La<sup>3+</sup>, Fe<sup>3+</sup>, Ni<sup>2+</sup>, etc) e/ou suportado (CeO<sub>2</sub>, TiO<sub>2</sub>) (JIA *et al.*, 2010b; GHAFFARI *et al.*, 2012; YUE *et al.*, 2014; XU *et al.*, 2015).

No que se refere aos estanatos de metais alcalinos terrosos, ASnO<sub>3</sub> (A= Ca<sup>2+</sup>, Ba<sup>2+</sup>, Sr<sup>2+</sup>), pouco se tem reportado sobre estes materiais quanto a sua utilização na descoloração de corantes orgânicos.

### 3.1.1 Fotoluminescência

Luminescência é o fenômeno que consiste, fundamentalmente, da emissão de radiação eletromagnética (de comprimentos de onda que vão desde o ultravioleta

ao infravermelho no espectro eletromagnético) a partir da excitação eletrônica de uma substância exposta a alguma fonte excitadora (MERRITT, 1915).

Nas substâncias luminescentes, após a absorção de energia, os elétrons são excitados para um orbital mais energético e após um determinado período retornam ao seu estado fundamental promovendo a emissão de energia. Quando os níveis adjacentes entre os estados fundamental e excitado são curtos, a emissão ocorre na forma de fônons (sem emissão de luz, liberando energia na forma de calor) e é definida como decaimento não radioativo. Por outro lado, se a distância entre os estados adjacentes for grande, a tendência é que ocorra a emissão radiativa, ou seja, na forma de luz (BLASSE, 1994; LUCENA *et al.*, 2004; SALES, 2014). A Figura 3.1 ilustra o processo luminescente para um material arbitrário.

E<sub>6</sub> Processo de decaimento E<sub>5</sub> não-radiativo Ε<sub>4</sub>  $E_3$  $E_2$ hν hν Processo de Excitação decaimento radiativo Εı E<sub>0</sub>

Figura 3.1: Processo de excitação e emissão para um material arbitrário.

Fonte: (SALES, 2014)

### 3.1.1.1 Perovskitas ABO<sub>3</sub> com propriedades fotoluminescentes

O crescente interesse pelas perovskitas deve-se ao fato de que uma grande quantidade de compostos com essas estruturas apresenta FL na temperatura ambiente. Normalmente, as emissões das perovskitas estão intimamente relacionadas com suas estruturas distorcidas, que resulta em níveis eletrônicos intermediários no *band gap* do material (YAMADA e KANEMITSU, 2013; ZHAN *et al.* 2016).

Vários trabalhos com titanatos de metais alcalinos terrosos (MTiO<sub>3</sub>, M = Sr<sup>2+</sup>, Ba<sup>2+</sup>, Ca<sup>2+</sup>) são reportados na literatura no que se refere às propriedades fotoluminescentes. Na maioria dos casos, os autores atribuem esta atividade às deficiências estruturais, principalmente vacâncias de oxigênio e à quebra de simetria proporcionada pelas distorções (ORHAN *et al.*, 2004; KAN *et al.*, 2005; LONGO *et al.*, 2008; OLIVEIRA *et al.*, 2015; ZHAN *et al.*, 2016)

Em relação aos estanatos de metais alcalinos terrosos, Zhang, Tang e Ye (2006) investigaram a propriedade FL do SrSnO<sub>3</sub> obtido pela reação do estado sólido. Os autores observaram que a emissão ocorreu devido às transferências de carga entre os orbitais O<sub>2p</sub> e Sn<sub>5p</sub> promovido por estimulações externas. No entanto, esta emissão não ocorreu na temperatura ambiente (somente em 77 K). Estes autores também atribuíram este efeito às distorções nos octaedros (SnO<sub>6</sub>) da rede cristalina.

Corroborando estas observações, Bohnemann *et al.* (2009), sintetizaram SrSnO<sub>3</sub> por via química, partindo do SrSn(OH)<sub>6</sub>, e realizaram tratamento térmico por micro-ondas e por forno convencional. Segundo os autores, a amostra calcinada via micro-ondas apresentou elevada FL. Este comportamento foi justificado pela presença de desordem a médio alcance e ao aparecimento de centros de recombinação (níveis intermediários) em consequência de uma redistribuição da densidade de estados sobre os *clusters* SnO<sub>6</sub> e SrO<sub>12</sub>. Recentemente, Vieira *et al.* (2014) obtiveram Sr<sub>1-x</sub>SnFe<sub>x</sub>O<sub>3</sub> (x = 0; 0,05; 0,1 e 0,2) pelo método *Pechini*. Neste trabalho, os autores observaram o surgimento de FL em diferentes regiões do espectro e associaram estes resultados com o aumento na desordem a curto alcance, devido a introdução do dopante.

A maioria dos trabalhos publicados na literatura tem reportado a síntese de estanatos de metais alcalinos terrosos dopados com íons terras raras, tais como, Eu<sup>3+</sup>, Pr<sup>3+</sup>, Tb<sup>3+</sup> e Sm<sup>3+</sup> (LIU e LIU, 2005; LU *et al.* 2005; GOTO, NAKASHI e UEDA, 2008; PATEL *et al.*, 2012; NAKAMURA *et al.*, 2012; STANULIS *et al.*, 2016). De acordo com estes trabalhos, a incorporação de íons lantanídeos opticamente ativos nas matrizes dos estanatos resultaram em materiais possuidores de propriedades fotoluminescentes e fosforescentes de longa duração.

Quanto ao CaSnO<sub>3</sub>, poucos trabalhos são encontrados na literatura. Lu *et al.* (2005), reportaram a síntese, pelo método hidrotermal, de CaSnO<sub>3</sub> dopado com Eu<sup>3+</sup>. Os autores observaram que a introdução do európio no CaSnO<sub>3</sub> promoveu uma forte emissão  $^5D_0 \rightarrow ^7F_2$  na região de 614 nm do espectro (vermelho), e esta emissão foi mais forte quando comparada com as do SrSnO<sub>3</sub>:Eu<sup>3+</sup> e BaSnO<sub>3</sub>:Eu<sup>3+</sup>. Para eles, o fato da incompatibilidade do raio iônico do Eu<sup>3+</sup> (0,95 Å) e do Ca<sup>2+</sup> (0,99 Å) ser menos pronunciada que o Sr<sup>2+</sup> (1,12 Å) e Ba (1,34 Å), favorece a dopagem do CaSnO<sub>3</sub> com Eu, promovendo uma maior concentração de defeitos.

Goto, Nakachi e Ueda (2008), avaliaram a atividade fotoluminescente do CaSnO<sub>3</sub> dopado com Pr<sup>3+</sup> e codopado com Tb<sup>3+</sup>-Mg<sup>3+</sup>, pelo método do estado sólido. Os autores observaram emissões intensas (região do branco e do verde) tanto para as amostras de Ca<sub>0,998</sub>Pr<sub>0,002</sub>SnO<sub>3</sub>, quanto para (Ca<sub>0,97</sub>Mg<sub>0,03</sub>)<sub>0,995</sub>Tb<sub>0,005</sub>SnO<sub>3</sub>. Além disso, eles reportaram que, independentemente da dopagem, o CaSnO<sub>3</sub> apresentou a maior intensidade FL da série dos metais alcalinos terrosos (Ca<sup>2+</sup>, Sr<sup>2+</sup> e Ba<sup>2+</sup>), atribuindo esse efeito ao Ca<sup>2+</sup>, que favorece o aumento da probabilidade de transições radiativas dos íons terras raras, por aumentar a distorção no sítio A da perovskitas ABO<sub>3</sub>.

## 3.1.2 Estanatos de metais alcalinos terrosos aplicados como fotocatalisadores de corantes orgânicos

Dentre os poucos trabalhos publicados, os quais têm reportado a utilização de estanatos de metais alcalinos terrosos aplicados na fotodescoloração de corantes orgânicos, a grande maioria tem estudado a fotodescoloração de corantes catiônicos, sendo o estudo de azo corantes uma lacuna.

Junploy, Thongtem e Thongtem (2013) sintetizaram SrSnO<sub>3</sub> pelo método de solução química associada ao aquecimento por radiação de micro-ondas e avaliaram este material na fotodegradação de azul de metileno. Neste trabalho, os autores obtiveram 85% de descoloração.

Moshtaghi, Zinatloo-Ajabshir e Salavati-Niasari (2016), sintetizaram BaSnO<sub>3</sub> pelo método de coprecipitação e avaliaram este material na fotodegradação do corante eritrosina. Os autores obtiveram 82% de descoloração após 120 min do

início da reação. Eles atribuíram estes resultados a uma favorável distribuição de poros e elevada taxa de separação de portadores de cargas da estrutura nanométrica do BaSnO<sub>3</sub>.

Sales *et al.* (2014) sintetizaram Sr<sub>1-x</sub>Ba<sub>x</sub>SnO<sub>3</sub> (x = 0; 0,25; 0,50; 0,75; 1) pelo método de reação do estado sólido e aplicaram na descoloração de remazol amarelo ouro. Os resultados de descoloração mostraram um percentual de 38% para SrSnO<sub>3</sub> e 74% para BaSnO<sub>3</sub>. Além disso, os dados mostraram que à medida que a quantidade de Ba<sup>2+</sup> aumentou (x = 0,25; 0,50; 0,75), o percentual de degradação aumentou em média 6%. Segundo os autores, a elevada eletronegatividade do Sr<sup>2+</sup> e a curta distância da ligação Sr-O, resultou na distorção nos ângulos de inclinação do octaedro do SrSnO<sub>3</sub>, e tornou o BaSnO<sub>3</sub> mais favorável no transporte de carga.

Wang *et al.* (2009) sintetizaram CaSnO<sub>3</sub> pelo método hidrotermal, e avaliaram-no na fotodegradação de rodamina B, alaranjado de metila e 4-hidroxiazobenzeno tendo observado um elevado poder fotocatalítico. Segundo os autores, a presença de uma rede de octaedros compartilhados pelo vértice é um ponto crucial no aumento da mobilidade dos portadores de cargas. Recentemente, utilizando este mesmo material e método de síntese, Wang *et al.* (2013) obtiveram 89% de degradação de alaranjado de metila para uma concentração de 60 mg L<sup>-1</sup> em 100 min.

De modo geral, a atividade fotocatalítica destas perovskitas está associada com a estrutura cristalina e com os defeitos estruturais e eletrônicos, que promovem modificações principalmente nos valores de energia do *band gap*, favorecendo desta forma a excitação eletrônica e a formação de pares elétrons buracos.

### 3.2 OBJETIVO

Este capítulo teve como objetivo a avaliação das propriedades fotoluminescentes e da atividade fotocatalítica das perovskitas de  $CaSnO_3$  e  $Ca_{0,9}Sn_{0,9}M_{0,1}O_{3-\delta}$  (M =  $Fe^{3+}$ ,  $Co^{2+}$ ,  $Cu^{2+}$ ) na descoloração do azo-corante remazol amarelo ouro (RNL), tendo como finalidade:

- Investigar a descoloração do azo-corante pela ação do CaSnO<sub>3</sub> e Ca<sub>0,9</sub>Sn<sub>0,9</sub>- $M_{0,1}O_{3-\delta}$  (M = Fe<sup>3+</sup>, Co<sup>2+</sup>, Cu<sup>2+</sup>) na presença e ausência da radiação UV;
- Avaliar a influência dos dopantes na atividade fotocatalítica do CaSnO<sub>3</sub>;
- Avaliar a fotoluminescência dos materiais sintetizados, associando à eficiência fotocatalítica.

### 3.3 EXPERIMENTAL

Nesta seção serão apresentados os procedimentos, técnicas e equipamentos utilizados na avaliação da fotoluminescência e na fotocatálise das perovskitas mássicas de CaSnO<sub>3</sub> e Ca<sub>0,9</sub>Sn<sub>0,9</sub>M<sub>0,1</sub>O<sub>3-δ</sub> (M = Fe<sup>3+</sup>, Co<sup>2+</sup>, Cu<sup>2+</sup>) sintetizadas pelo método *Pechini*-modificado.

### 3.3.1 Fotoluminescência dos Materiais

A avaliação da fotoluminescência das perovskitas CaSnO<sub>3</sub> e Ca<sub>0,9</sub>Sn<sub>0,9</sub>M<sub>0,1</sub>O<sub>3-δ</sub> (M = Fe<sup>3+</sup>, Co<sup>2+</sup>, Cu<sup>2+</sup>) foi realizada em um monocromador Thermal Jarrel-Ash Monospec 27 e uma fotomultiplicadora Hamatsu R446 acoplada a um sistema de aquisição constituído de um *loch-in* SR-530, controlado por meio de um computador. Nesta análise utilizou-se um laser de Kr (*Coherent Innova*) com potência de saída de 200 mW e o comprimento de onda de excitação foi de 3,53 eV.

As análises foram realizadas no Instituto de Física da USP, em São Carlos.

### 3.3.2 Testes Fotocatalíticos e de Adsorção

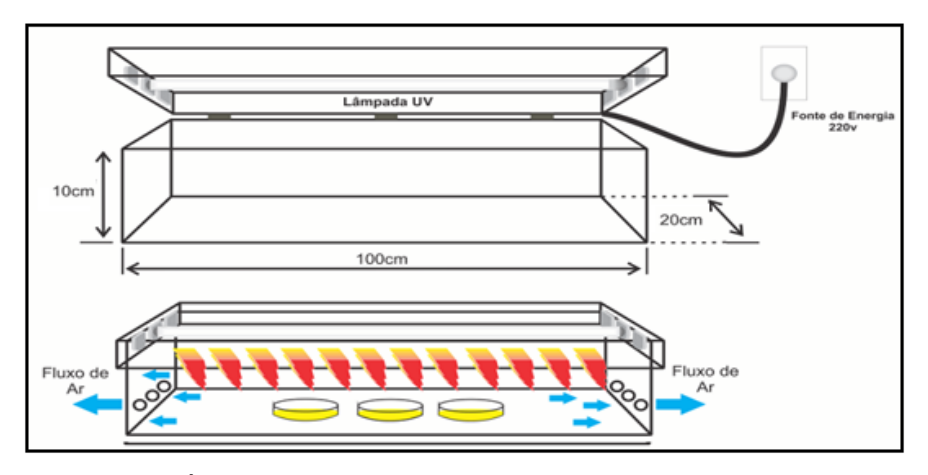
A atividade fotocatalítica dos pós de CaSnO<sub>3</sub> e Ca<sub>0,9</sub>Sn<sub>0,9</sub>M<sub>0,1</sub>O<sub>3- $\delta$ </sub> (M = Fe<sup>3+</sup>, Co<sup>2+</sup>, Cu<sup>2+</sup>) foi avaliada a partir da foto-oxidação do corante têxtil remazol amarelo ouro (RNL), cuja informações estão contidas na Tabela 3.1. A fotocatálise do corante foi realizada em um reator confeccionado em madeira com dimensões 10 x 20 x 100 cm utilizando uma lâmpada UVC ( $\lambda$ = 254 nm), marca SuperNiko, modelo ZG-30T8,

localizada na parte superior do reator. A Figura 3.2 apresenta o esquema do reator fotocatalítico utilizado.

Tabela 3.1: Informações sobre o corante remazol amarelo ouro

Caraterísticas do corante RNL					
Fórmula Molecular	$C_{16}H_{16}N_4O_{10}S_3Na_2$				
Massa Molecular (g. mol-1)	566,49				
Nomenclatura	Bis-sódio ((4-((2-acetamido-4-amino-5-				
	sulfonatofenil)diaznil)fenil)sufonil)estilsufato				
Nº de Registro CAS	90597-79-8/12220-08-5				
Fabricante	DyStar				

Figura 3.2: Esquema do reator fotocatalítico utilizado nos testes de descoloração do corante RNL



Fonte: (HONÓRIO, 2014)

A reação foi realizada através de triplicatas em placas de petri usando 10 mg do fotocatalisador e 15 mL da solução do corante com concentração de 10 mg L-1, previamente preparada e armazenada na ausência de luz. O sistema permaneceu no reator por 5 h, em seguida foi centrifugado, filtrado e quantificado. Os testes foram realizados em pH 6 (pH da solução do corante) e pH 3, a qual foi tamponada com o tampão CH<sub>3</sub>COOH/CH<sub>3</sub>COONa 2 mol L-1. Testes com as mesmas condições acima citadas foram realizados na ausência de luz de modo a avaliar a adsorção dos fotocatalisadores. Os resultados dos testes realizados em pH 6 foram comparados com os resultados do fotocatalisador TiO<sub>2</sub> (P25) da Evonik, considerado padrão internacional. O esquema operacional para a realização dos testes fotocatalíticos é mostrado na Figura 3.3.

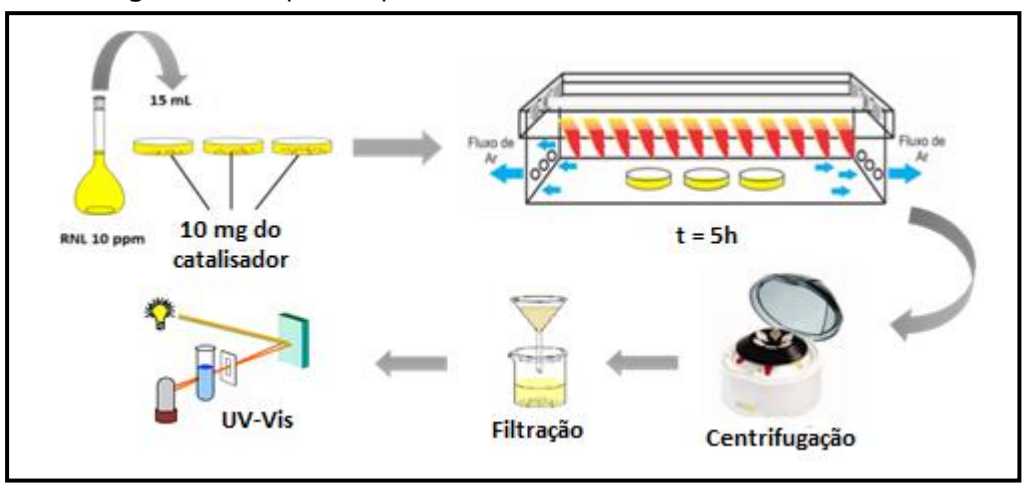


Figura 3.3: Esquema operacional utilizado nos testes fotocatalíticos

Fonte: Própria

Os percentuais de descoloração foram quantificados por espectrofotometria na região do UV-vis, avaliando a banda de absorção na região de 411 nm, relacionada com a ligação N=N (ligação azo). Nesta avaliação foi utilizado um espectrofotômetro UV-2550 da Shimadzu operando na faixa de comprimento de onda de 200-900 nm.

Os valores foram calculados mediante a curva de calibração partindo de soluções com concentração conhecida de RNL. Para fins de cálculos, utilizou-se a Equação 3.1.

$$\left(\% \, Descolora \, \tilde{\varsigma} \, \tilde{a}o = \frac{C_0 - C_f}{C_0} x \, 100\right)$$
 Eq. 3.1

Onde:  $C_0$  é a concentração inicial e  $C_f$  a concentração após o processo fotocatalítico.

### 3.3.3 Determinação do Potencial de Carga Zero (PCZ)

O potencial de carga zero (PCZ) foi determinado de acordo com a metodologia empregada por Regalbuto e Robles (2004). A técnica permitiu avaliar a densidade de carga das perovskitas, de modo a compreender a interação destas com o corante azo RNL.

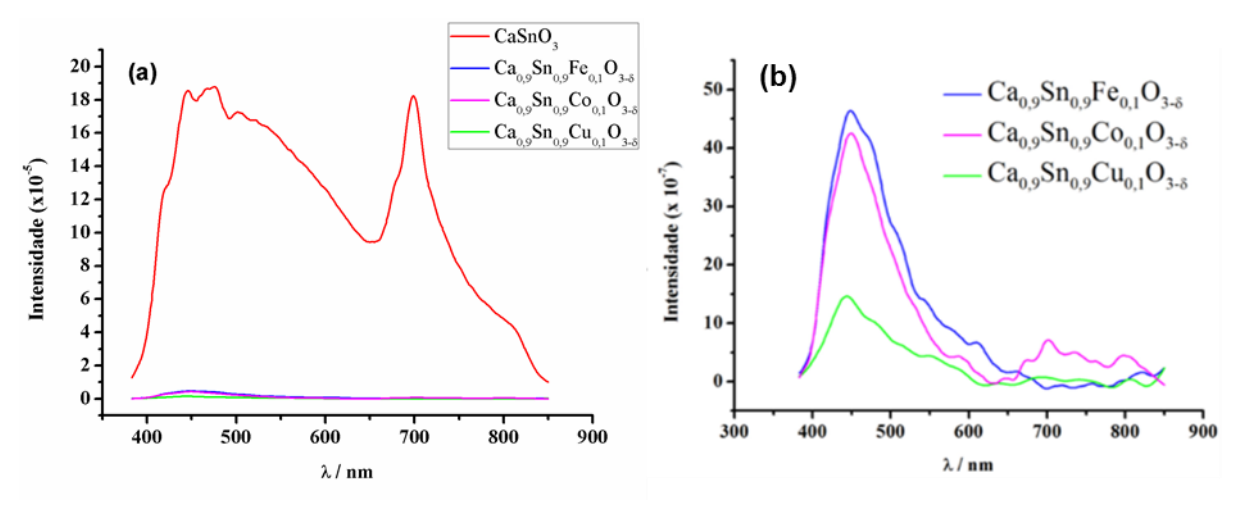
O procedimento experimental foi realizado em duplicatas, de modo que, 50 mg de amostra foram adicionadas em 50 mL de solução de cloreto de sódio (NaCl) 0,1 mol L<sup>-1</sup>, sob diferentes faixas de pH (2-12), ajustados com soluções de hidróxido de sódio (NaOH) 0,1 mol L<sup>-1</sup> e ácido clorídrico (HCl) 0,1 mol L<sup>-1</sup>. A suspensão permaneceu sob agitação por 24 h em temperatura ambiente sob 100 rpm em uma mesa agitadora modelo Dubnoff, da Marconi. Os valores do pH dos sistemas foram medidos no início e no final do processo utilizando um pHmetro de bancada, modelo MP227 da Toledo.

### 3.4 RESULTADOS E DISCUSSÃO

### 3.4.1 Propriedades Fotoluminescentes

Na Figura 3.4 são mostrados os espectros de fotoluminescência (FL) das amostras de CaSnO<sub>3</sub>, Ca<sub>0,9</sub>Sn<sub>0,9</sub>Fe<sub>0,1</sub>O<sub>3- $\delta$ </sub>, Ca<sub>0,9</sub>Sn<sub>0,9</sub>Co<sub>0,1</sub>O<sub>3- $\delta$ </sub> e Ca<sub>0,9</sub>Sn<sub>0,9</sub>Cu<sub>0,1</sub>O<sub>3- $\delta$ </sub> medidos em temperatura ambiente. Devido a limitação do equipamento, os espectros foram obtidos com  $\lambda_{exc}$  = 350,7 nm.

**Figura 3.4** Espectro de emissão ( $\lambda_{exc}$  = 350,7 nm) das amostras de (a) CaSnO<sub>3</sub> e (b) Ca<sub>0,9</sub>Sn<sub>0,9</sub>M<sub>0,1</sub>O<sub>3- $\delta$ </sub> (M = Fe<sup>3+</sup>, Co<sup>2+</sup> e Cu<sup>2+</sup>) calcinadas em 800 °C/ 4 h.



De acordo com a Figura 3.4, a FL do CaSnO<sub>3</sub> ocorreu, praticamente em toda na região do visível. O espectro apresentou uma banda larga entre 300 – 600 nm, característica de emissão do tipo *multifônon*, o que é comum para materiais semicondutores que contêm defeitos do tipo vacâncias de oxigênio (LONGO *et al.*,

2008). Para as amostras dopadas com Fe<sup>3+</sup>, Co<sup>2+</sup> ou Cu<sup>2+</sup>, verificou-se que os dopantes promoveu uma supressão da emissão luminescente.

Comumente, nos processos FL, vacâncias de oxigênio e defeitos presentes no material semicondutor podem facilmente ligar-se aos elétrons fotoinduzidos de modo a formar éxcitons, favorecendo a ocorrência da FL. Desta forma, estima-se que, quanto maior a concentração de vacâncias de oxigênio e defeitos no material, maior será o sinal FL (LIQIANG *et al.*, 2006). Por outro lado, esse comportamento em materiais dopados com metais de transição pode ser alterado.

Liqiang *et al.* (2003) avaliaram a intensidade do sinal FL do TiO<sub>2</sub> dopado com diferentes quantidades de Cu<sup>2+</sup>. Semelhantemente, Xin *et al.* (2004) investigaram a FL do TiO<sub>2</sub> dopado com diferentes proporções de Ce<sup>4+</sup>. Em ambos os trabalhos, os autores verificaram que a intensidade FL do semicondutor sofreu diminuição significativa em função da dopagem. Segundo os pesquisadores, tanto o Cu<sup>2+</sup> quanto o Ce<sup>4+</sup> podem capturar elétrons fotoinduzidos, de modo que estes metais sofrem redução, para Cu<sup>+</sup> e Ce<sup>3+</sup>, respectivamente. Por sua vez, os elétrons capturados pelo Cu<sup>2+</sup> e Ce<sup>4+</sup> não se ligam às vacâncias de oxigênio ou a defeitos gerados no material, para produzir mais éxcitons, promovendo, portanto, diminuição na intensidade FL.

Uma diminuição na intensidade FL foi observada, no presente trabalho, após a dopagem do CaSnO<sub>3</sub> com os metais de transição. Este comportamento indica que o aprisionamento (trapeamento) de elétrons fotoinduzidos ocorreu, o que pode ser devido às vacâncias de oxigênio e/ou devido à redução dos metais dopantes.

Para uma melhor compreensão da emissão das amostras sintetizadas neste trabalho, a Tabela 3.2 apresenta as bandas após a deconvolução dos espectros FL.

**Tabela 3.2:** Bandas deconvoluídas do espectro de emissão das amostras de CaSnO<sub>3</sub> e  $Ca_{0.9}Sn_{0.9}M_{0.1}O_{3-\delta}$  (M = Fe<sup>3+</sup>, Co<sup>2+</sup> e Cu<sup>2+</sup>), calcinada em 800°C / 4 h.

													-	_	-	
CaSnO <sub>3</sub>																
Centro (nm)	416	441	472	500	540	665	672	700	728	746	770	812				
Área (%)	2	8	4	3	55	7	1	9	2	1	7	1				
Total			72%						28%							
Ca <sub>0,9</sub> Sn <sub>0,9</sub>	Fe <sub>0,1</sub> O	3-ō														
Centro (nm)	412	422	438	452	477	492	512	515	534	581	606					
Área (%)	5	6	3	38	3	6	16	10	1	2	10					
Total					88%					12	2%					
Ca <sub>0,9</sub> Sn <sub>0,9</sub>	Co <sub>0,1</sub> C	) <sub>3-δ</sub>														
Centro (nm)	408	420	447	484	498	512	529	544	585	629	646	672	699	737	765	801
Área (%)	3	4	46	9	9	2	2	6	4	1	1	2	3	3	1	4
Total				81	%							19	)%			
Ca <sub>0,9</sub> Sn <sub>0,9</sub>	Cu <sub>0,1</sub> C	<b>)</b> <sub>3-ō</sub>														
Centro (nm)	416	429	452	463	474	496	495	507	520	535	549	559	570		597	611
Área (%)	7	13	27	1	8	9	4	5	8	3	4	2	3	2	2	2
Total						91%								9	%	

De acordo com a Tabela 3.2, os dados mostraram que o espectro do CaSnO<sub>3</sub> apresentou uma maior contribuição da emissão verde. Por sua vez, a introdução dos dopantes na rede do CaSnO<sub>3</sub> promoveu um deslocamento para regiões de menor comprimento de onda, favorecendo a emissão na região violeta-azul.

Longo *et al.* (2009) reportaram que as emissões em diversas faixas do espectro eletromagnético visível estão associadas com diversos tipos de defeitos nos materiais, o que favorece a criação de níveis intermediários no interior do *band gap*. De acordo com os autores, emissões na região do violeta-azul-verde (380 nm <  $\lambda$  < 565 nm) são provenientes de defeitos do tipo *rasos* no *band gap*; emissões na região do amarelo-vermelho (565 nm <  $\lambda$  < 740 nm) são provenientes de defeitos do tipo *rosos* no *band gap*; emissões na região do amarelo-vermelho (565 nm <  $\lambda$  < 740 nm) são provenientes de defeitos do tipo *rosos* no *band gap*; emissões na região do amarelo-vermelho (565 nm <  $\lambda$  < 740 nm) são provenientes de defeitos do tipo *rosos* no *band gap*; emissões na região do amarelo-vermelho (565 nm <  $\lambda$  < 740 nm) são provenientes de defeitos do tipo *rosos* no *band gap*; emissões na região do amarelo-vermelho (565 nm <  $\lambda$  < 740 nm) são provenientes de defeitos do tipo *rosos* no *band gap*; emissões na região do amarelo-vermelho (565 nm <  $\lambda$  < 740 nm) são provenientes de defeitos do tipo *rosos* no *band gap*; emissões na região do amarelo-vermelho (565 nm <  $\lambda$  < 740 nm) são provenientes de defeitos do tipo *rosos* no *band gap*; emissões na região do amarelo-vermelho (565 nm <  $\lambda$  < 740 nm) são provenientes de defeitos do tipo *rosos* no *band gap*; emissões na região do amarelo-vermelho (565 nm <  $\lambda$  < 740 nm) são provenientes de defeitos do tipo *rosos* no *band gap*; emissões na região do amarelo-vermelho (565 nm <  $\lambda$  < 740 nm) são provenientes de defeitos do tipo *rosos* no *band gap*; emissões na região do tipo *rosos* no *band gap*; emissões na região do tipo *rosos* no *band gap*; emissões na região do tipo *rosos* no *band gap*; emissões na região do tipo *rosos* no *band gap*; emissões na região do tipo *rosos* no *band gap*; emissões na região do tipo *rosos* no *band gap*; emissões na região do tipo *rosos* no *band gap*; emissões na região do tipo *rosos* no *band gap*; emissões na região d

Oliveira (2013) ao estudar o espectro FL do SrSnO<sub>3</sub> reportou que a fotoluminescência desta perovskita está associada com a presença de níveis intermediários (centros de recombinação) como consequência de uma redistribuição

na densidade de estados relativos aos *clusters* SnO<sub>6</sub> e SrO<sub>12</sub>. Segundo o autor, defeitos *profundos* estão associados com uma maior distorção a curto alcance, enquanto que pequenas distorções promovem defeitos *rasos*.

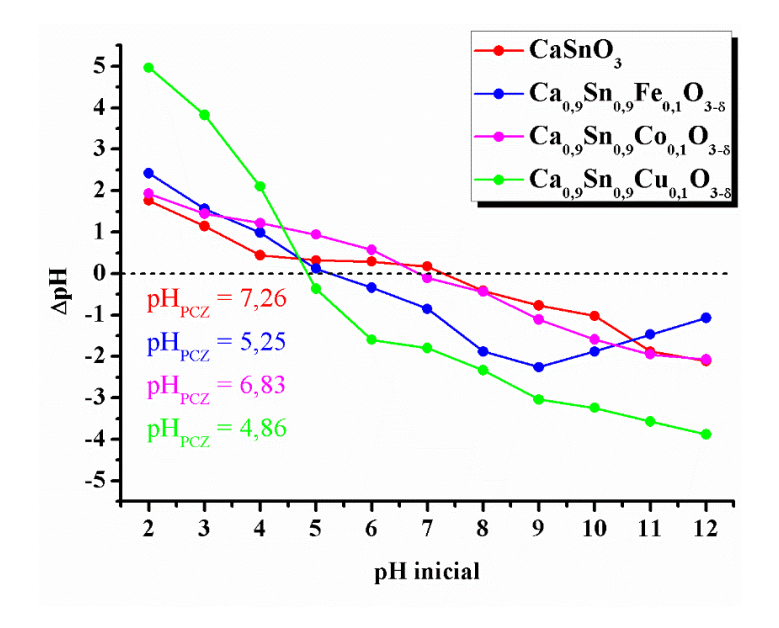
Partindo dos valores apresentados na Tabela 3.2, as perovskitas sintetizadas neste trabalho apresentaram uma maior emissão devido aos defeitos do tipo *rasos*. É possível perceber que, ao dopar o CaSnO<sub>3</sub> com os metais de transição Fe<sup>3+</sup>, Co<sup>2+</sup> e Cu<sup>2+</sup>, além da redução significativa da intensidade dos espectros, a porcentagem de emissão devido aos defeitos rasos aumentou. Por outro lado, a diminuição do *band gap* nas amostras dopadas indicou o aumento de defeitos do tipo *profundos*. Desta forma, acredita-se que este comportamento se deve ao aprisionamento de elétrons fotoinduzidos pelos níveis intermediários localizados no interior do *band gap*. Com o trapeamento dos elétrons, em especial pelos defeitos profundos, ocorre um aumento proporcional na emissão devido à transição eletrônica a partir dos defeitos rasos, levando ao deslocamento do espectro para menores comprimentos de onda.

### 3.4.2 Avaliação do Ponto de Carga Zero (PCZ)

Diversos trabalhos têm mostrado que a interpretação dos efeitos do pH na eficiência do processo de degradação fotocatalítica é bastante complicada, porque além da carga superficial do semicondutor, a produção de OH• e a natureza do substrato podem interferir diretamente no desempenho fotocatalítico (QAMAR, SAQUIB e MUNEER, 2005; NISHIO *et al.*, 2006; AKPAN e HAMMEED, 2009; ZHU *et al.* 2012).

A influência do pH nas propriedades superficiais foi avaliada pelo cálculo do ponto de carga zero (PCZ) das perovskitas, conforme apresentado na Figura 3.5.

Figura 3.5:  $\triangle pH \ vs \ pH$  inicial da suspensão do CaSnO<sub>3</sub> e Ca<sub>0,9</sub>Sn<sub>0,9</sub>M<sub>0,1</sub>O<sub>3- $\delta$ </sub> (M = Fe<sup>3+</sup>, Co<sup>2+</sup>, Cu<sup>2+</sup>).



Em meio aquoso, a superfície dos óxidos são hidroxiladas. Como a maioria dos óxidos metálicos são anfóteros, as reações da superfície ocorrem conforme as equações representadas pelas Eq. 3.2 e 3.3 (KONSTANTINOU e ALBANIS, 2004; MAHMOOD *et al.*, 2011; AKPAN e HAMEED, 2009).

$$MOH_{(s)} + H^{+}_{(aq)} \leftrightarrows MOH_{2}^{+}_{(s)}$$

$$MOH_{(s)} + OH^{-}_{(aq)} \leftrightarrows MO^{-}_{(s)} + H_{2}O_{(l)}$$
Eq. 3.2

Como consequência, quando pH < pH<sub>PCZ</sub> a superfície do material torna-se carregada positivamente, favorecendo a adsorção de ânions. Quando o pH > pH<sub>PCZ</sub>, a superfície torna-se carregada negativamente, favorecendo, portanto, a adsorção de cátions (ZHU *et al.*, 2012).

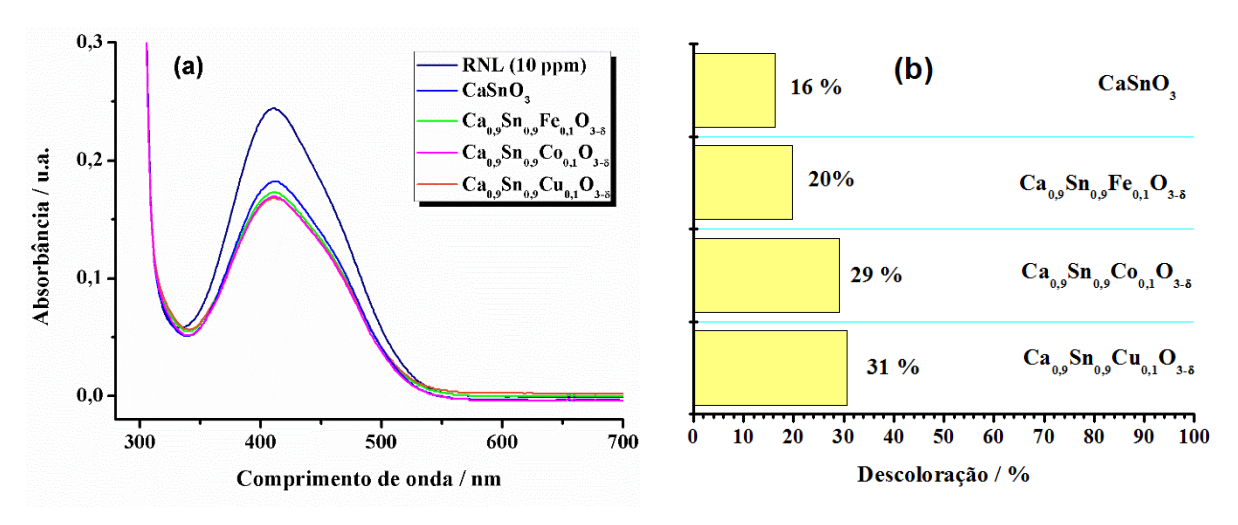
Os resultados apresentados na Figura 3.5 mostraram que para o CaSnO<sub>3</sub> pH<sub>PCZ</sub> = 7,26, enquanto que a dopagem levou a uma diminuição nos valores, especialmente para Ca<sub>0,9</sub>Sn<sub>0,9</sub>Cu<sub>0,1</sub>O<sub>3- $\delta$ </sub> (pH<sub>PCZ</sub> = 4,86) e Ca<sub>0,9</sub>Sn<sub>0,9</sub>Fe<sub>0,1</sub>O<sub>3- $\delta$ </sub> (pH<sub>PCZ</sub> = 5,25). Além disso, após a dopagem com Cu<sup>2+</sup>, uma elevada variação do  $\Delta$ pH ocorre em todas as faixas de pH. Para a amostra dopada com Co<sup>2+</sup>, é observada uma pequena variação  $\Delta$ pH, enquanto uma maior variação é observada para a amostra dopada com Fe<sup>3+</sup>, quando 5 < pH<sub>inicial</sub> < 10. Estes resultados são de suma

importância para compreender a interação que ocorre entre o corante e os fotocatalisadores, em função da mudança de pH da solução.

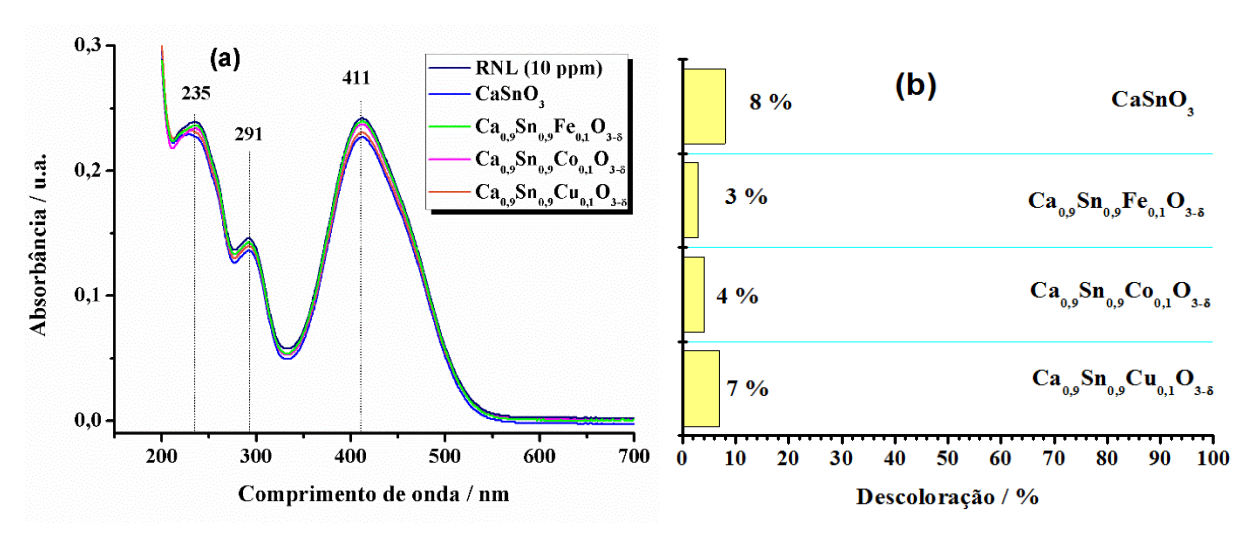
### 3.4.3 Avaliação Fotocatalítica

As Figuras 3.6 e 3.7 apresentam os espectros de UV-vis e os percentuais de descoloração do corante azo RNL após a adsorção sobre as perovskitas, na ausência de radiação ultravioleta, em pH 3 e 6.

**Figura 3.6:** (a) Espectros de UV-vis e (b) percentual de descoloração do corante RNL após a adsorção (ausência de luz) por  $CaSnO_3$  e  $Ca_{0,9}Sn_{0,9}M_{0,1}O_{3-\delta}$  (M =  $Fe^{3+}$ ,  $Co^{2+}$ ,  $Cu^{2+}$ ), em pH 3, após 5h.



**Figura 3.7:** (a) Espectros de UV-vis e (b) percentual de descoloração do corante RNL após a adsorção (ausência de luz) por CaSnO<sub>3</sub> e Ca<sub>0,9</sub>Sn<sub>0,9</sub>M<sub>0,1</sub>O<sub>3- $\delta$ </sub> (M = Fe<sup>3+</sup>, Co<sup>2+</sup>, Cu<sup>2+</sup>), em pH 6, após 5h.



Comumente, a quantificação da degradação do corante RNL é realizada a partir do monitoramento da absorbância em 235 nm, 291 nm e 411 nm do espectro de UV-Vis, sendo que, esta última está associada com a ligação azo (-N=N-). Desta forma, a diminuição na intensidade da banda em 411 nm implica na quebra da ligação azo ou na redução da concentração de corante em solução por adsorção (STYLIDI, KONDARIDES e VERYKIOS, 2004). No presente trabalho, a avaliação foi realizada apenas em relação à banda 411 nm, tendo em vista que, para os testes realizados em pH 3, devido à adição do tampão, houve uma saturação do detector na faixa de 190– 300 nm, sendo impossível visualizar qualquer modificação nesta região.

Para soluções em pH 6, uma pequena adsorção ocorreu, enquanto que em pH 3 uma maior adsorção foi observada, especialmente para as amostras dopadas. Este comportamento pode ser compreendido considerando as forças de atração e repulsão Coulombiana entre as moléculas do corante azo e a superfície das perovskitas.

De acordo com a avaliação do pH<sub>PZC</sub> (Fig. 3.5), uma densidade de carga positiva na superfície é obtida em pH 3, sendo ainda maior após dopagem. Em pH 6, uma densidade de carga menor é atingida, sendo ligeiramente positiva para CaSnO<sub>3</sub> e Ca<sub>0,9</sub>Sn<sub>0,9</sub>Co<sub>0,1</sub>O<sub>3-δ</sub> e negativa para Ca<sub>0,9</sub>Sn<sub>0,9</sub>Fe<sub>0,1</sub>O<sub>3-δ</sub>, com maior intensidade para Ca<sub>0,9</sub>Sn<sub>0,9</sub>Cu<sub>0,1</sub>O<sub>3-δ</sub>. Por outro lado, o corante azo RNL possui 3 valores de pKa: 3, 3,5 e 6 (sendo que, o primeiro refere-se a desprotonação do grupo sulfônico, o segundo refere-se ao grupo sulfato e o terceiro refere-se ao grupo amida, conforme mostrado na Fig. 3.8) indicando que um grupo é desprotonado em pH 3, enquanto a desprotonação completa parece ocorrer a um pH de 6, levando a uma maior tendência de cargas negativas (TEIXEIRA, 2011; TEIXEIRA *et al.*, 2012).

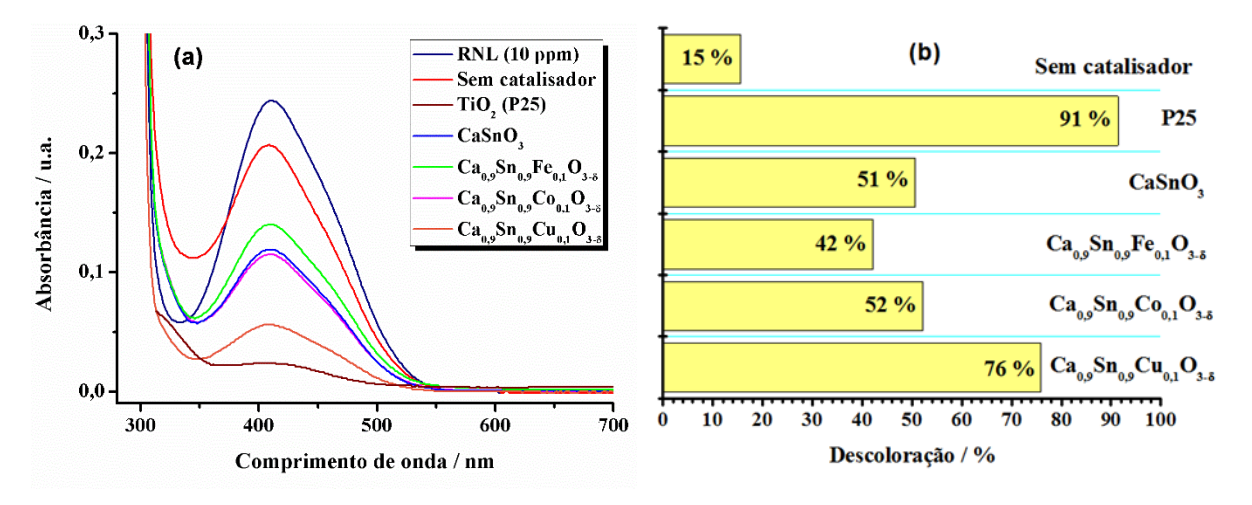
Como consequência, uma força atrativa entre as cargas superficiais da perovskita e os grupos negativos do corante azo ocorre em pH 3, principalmente para Ca<sub>0,9</sub>Sn<sub>0,9</sub>Cu<sub>0,1</sub>O<sub>3-δ</sub>, levando a uma maior descoloração. Em pH 6, uma superfície ligeiramente carregada positivamente é observada para CaSnO<sub>3</sub> e Ca<sub>0,9</sub>Sn<sub>0,9</sub>Co<sub>0,1</sub>O<sub>3-δ</sub>, com pequena variação do pH. Consequentemente, algumas moléculas adsorvem na superfície do material, levando a uma pequena descoloração da solução. Para CaSnO<sub>3</sub> dopado com Fe<sup>3+</sup> e Cu<sup>2+</sup>, as forças

repulsivas prevalecem entre as cargas negativas da superfície das perovskitas com as cargas negativas dos grupos do corante azo, levando a uma baixa adsorção. Estes resultados estão em consonância com dados da literatura (KONSTANTINOU e ALBANIS, 2004; AKPAN e HAMEED, 2009).

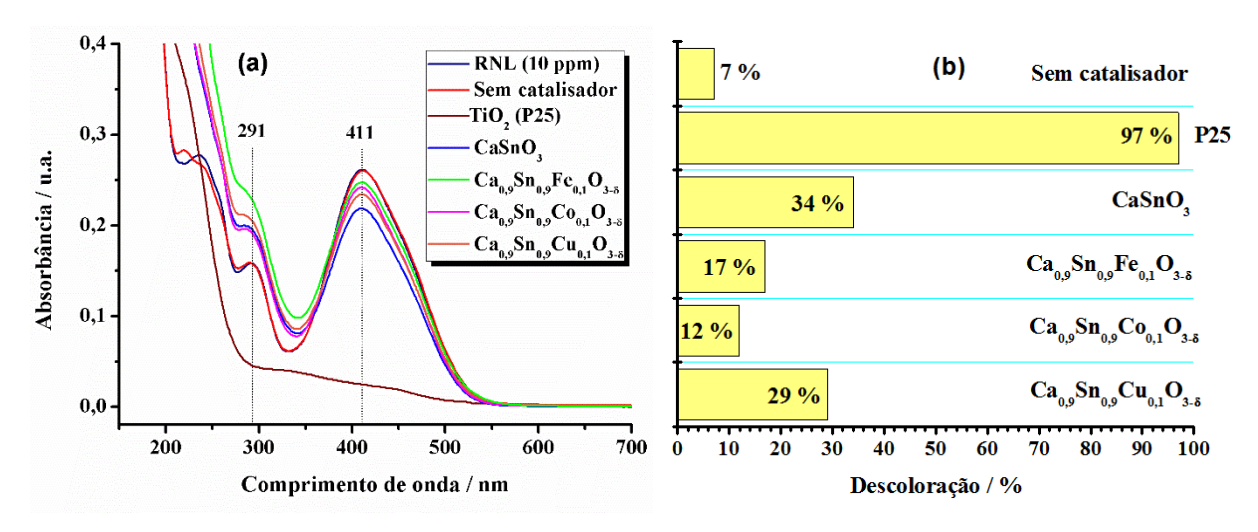
**Figura 3.8:** Esquema de desprotonação da molécula de RNL acidificada em pka1 = 3, pka2 = 3,5 e pka3 = 6

Os espectros de UV-Vis do corante RNL (em pH 3 e 6) obtidos após os testes fotocatalíticos com o TiO<sub>2</sub> (P25) e as perovskitas de CaSnO<sub>3</sub> e Ca<sub>0,9</sub>Sn<sub>0,9</sub>- $M_{0,1}O_{3-\delta}$  (M = Fe<sup>3+</sup>, Co<sup>2+</sup>, Cu<sup>2+</sup>), e os percentuais de descoloração são apresentados nas Figura 3.9 e 3.10.

**Figura 3.9:** (a) Espectros de UV-vis e (b) percentual de descoloração do corante RNL após à fotocatálise por TiO<sub>2</sub> (P25) durante 1 h; CaSnO<sub>3</sub> e Ca<sub>0,9</sub>Sn<sub>0,9</sub>M<sub>0,1</sub>O<sub>3- $\delta$ </sub> (M = Fe<sup>3+</sup>, Co<sup>2+</sup>, Cu<sup>2+</sup>), em pH 3, durante 5 h.



**Figura 3.10:** (a) Espectros de UV-vis e (b) percentual de descoloração do corante RNL após à fotocatálise por TiO<sub>2</sub> (P25) durante 1 h; CaSnO<sub>3</sub> e Ca<sub>0,9</sub>Sn<sub>0,9</sub>M<sub>0,1</sub>O<sub>3- $\delta$ </sub> (M = Fe<sup>3+</sup>, Co<sup>2+</sup>, Cu<sup>2+</sup>), em pH 6, durante 5 h.



De acordo com dados da literatura, dois mecanismos fotocatalíticos diferentes podem estar presentes em soluções ácidas e básicas. Em pH baixo, algumas substâncias orgânicas adsorvem na superfície do material, sendo oxidadas pelos buracos. Para estas soluções ácidas, a formação de OH• devido à oxidação de H<sub>2</sub>O ou OH- pelos buracos podem ser termodinamicamente desfavoráveis. Para soluções neutras ou alcalinas, OH• são mais fáceis de serem formados devido à presença de OH- na superfície do material, sendo facilmente oxidado pelos buracos (KONSTANTINOU e ALBANIS, 2004; MURUGANANDHAM e SWAMINATHAN, 2006; TANG e HUANG, 1995).

Para a solução em pH 6 (Fig. 3.10), a fotodegradação do corante azo RNL não foi favorecida e diminuiu ainda mais após a dopagem. Apesar disso, a comparação com os testes de adsorção indicou que uma melhoria significativa na eficiência ocorreu após a irradiação UV. De todas as perovskitas avaliadas, um maior aumento na eficiência foi observado para as amostras Cao,9Sno,9Cuo,1O3-δ e Cao,9Sno,9Feo,1O3-δ (4,1 e 5,7 vezes de aumento na descoloração, respectivamente), enquanto que a amostra CaSnO3 teve um aumento de 4,2 vezes. Para a amostra Cao,9Sno,9Coo,1O3-δ foi observado um aumento de 3,0 vezes. Como a adsorção do corante sobre estas perovskitas não é favorecida em pH 6, devido à repulsão eletrostática entre a superfície das perovskitas e as moléculas do corante azo carregadas negativamente, acreditamos que um mecanismo indireto de fotocatálise prevaleça, com formação de radicais hidroxilas devido à reação dos elétrons com O2 e/ou dos buracos com OH<sup>-</sup> e/ou H<sub>2</sub>O.

Para a solução em pH 3 (Fig 3.9), a comparação com os resultados dos testes de adsorção também mostrou que a irradiação UV aumentou a descoloração para todos os materiais, mas, por uma quantidade menor que em pH 6. Em pH 3, um aumento de 3,2 vezes na descoloração foi observada para o CaSnO<sub>3</sub>, seguido pelos materiais dopados com Cu<sup>2+</sup> e Fe<sup>3+</sup> (2,5 e 2,1 vezes, respectivamente). Por sua vez, observou-se um menor aumento para o CaSnO<sub>3</sub> dopado com Co<sup>2+</sup> (1,8 vezes). Em pH 3, um aumento significativo na adsorção do corante sobre a superfície das perovskitas é observada em comparação com o pH 6, especialmente para CaSnO<sub>3</sub> dopado com Fe<sup>3+</sup> e Co<sup>2+</sup>, apresentando um aumento de cerca de 7 vezes. Este resultado indica que o mecanismo direto de fotocatálise tem um efeito importante na fotodegradação. O aumento da descoloração devido à irradiação UV ocorre devido à oxidação das moléculas do corante azo pelos buracos na banda de valência ou pela clivagem da ligação azo pelos elétrons na banda de condução (KONSTANTINOU e ALBANIS, 2004; TANG e HUANG, 1995). Um efeito similar foi observado por Konstantinou and Albanis (2004), que avaliaram a fotodegradação de um corante azo pela titânia e concluíram que a adsorção do corante em TiO2 em pH baixo favorece a reação fotocatalítica.

Em relação à dopagem, foram observados comportamentos diferentes durante os testes fotocatalíticos, dependendo do agente dopante e do pH da solução. Para a solução em pH 6 (para o qual um mecanismo indireto prevalece), a

eficiência fotocatalítica diminuiu após a dopagem, com um menor grau para o material dopado com Cu<sup>2+</sup>. Para a solução em pH 3, a dopagem do CaSnO<sub>3</sub> com Fe<sup>3+</sup> diminui a eficiência do material (descoloração 1,2 vezes menor), enquanto resultados semelhantes foram obtidos para as amostras CaSnO<sub>3</sub> e CaSnO<sub>3</sub> dopada com Co<sup>2+</sup> (51 e 52% de descoloração, respectivamente). Para o material dopado com Cu<sup>2+</sup>, foi observado um aumento de 1,5 vezes na descoloração.

Outro fator que pode estar associado com a baixa eficiência fotocatalítica, em pH 3, das amostras dopadas com Fe<sup>3+</sup> e Co<sup>2+</sup> é a baixa área superficial apresentada por estes materiais (Tabela 2.8). Conforme fora discutido na seção 2.4.6, a razão entre o tamanho de partícula e o tamanho de cristalito (T<sub>p</sub>/T<sub>c</sub>) destas amostras mostrou que a introdução destes dopantes favoreceu a sinterização de partículas, devido à coalescência entre elas, enquanto que um comportamento diferente foi observado para a amostra dopada com Cu<sup>2+</sup>, que por sua vez, apresentou resultados de S<sub>BET</sub> ligeiramente menor que o CaSnO<sub>3</sub> não dopado.

Os dados das Figuras 3.9 e 3.10 mostram que para os testes realizados com TiO<sub>2</sub> (P25), a eficiência foi de 91% (em pH 3) e 97 % (em pH 6), após 1 h de reação. Comparando estes valores com os resultados da fotodegradação do corante RNL pelas perovskitas, verificou-se que, em pH 3, o percentual de descoloração pela amostra Ca<sub>0,9</sub>Sn<sub>0,9</sub>Cu<sub>0,1</sub>O<sub>3-5</sub> correspondeu a 85 % da descoloração do P25, enquanto que, em pH 6, a mesma amostra correspondeu a apenas 30 % do padrão. Cabe ressaltar que, estes percentuais com as perovskitas foram atingidos após 5 h de reação.

Associando os resultados de fotocatálise com os de FL, nota-se que, os espectros FL (Fig. 3.4) mostraram que a dopagem do CaSnO<sub>3</sub> com os metais de transição promoveu uma diminuição significativa na intensidade da emissão, em relação ao CaSnO<sub>3</sub> não dopado, o que remete a concluir que a dopagem favoreceu o aprisionamento (trapeamento) dos elétrons fotoinduzidos, devido aos defeitos estruturais e/ou devido a redução dos metais dopantes. De acordo com Liqiang *et al.* (2006), este comportamento deve levar a uma maior eficiência fotocatalítica após a dopagem.

No presente trabalho, para a amostra Ca<sub>0,9</sub>Sn<sub>0,9</sub>Fe<sub>0,1</sub>O<sub>3-δ</sub>, a baixa eficiência pode ser atribuída a uma maior taxa de recombinação de pares e<sup>-</sup>/ h<sup>+</sup>, devido à

quebra de simetria, conforme observado no espectro Raman (Fig. 2.10). Além disso, no espectro de emissão do  $Ca_{0,9}Sn_{0,9}Fe_{0,1}O_{3-\delta}$  (Fig. 3.4b), a mais alta emissão está localizada entre 400 e 500 nm (3,1 eV e 2,5 eV), o que corresponde a uma energia maior que a energia do *band gap* (2,1 eV  $\cong$  590 nm), indicando que a emissão banda-banda acontece, favorecendo assim a recombinação elétron-buraco, coerente com o que reportam Li *et al.* (2001) e Yu *et al.* (2003).

Para as amostras dopadas com Co<sup>2+</sup> e Cu<sup>2+</sup>, a comparação entre os valores de energia do *band gap* (3,6 eV e 3,4 eV, respectivamente) e os espectros de FL indicaram que tem lugar o processo excitônico, com emissão em valores de energia menor que o *band gap*, o que não favorece a recombinação de pares e<sup>-</sup>/ h<sup>+</sup> (LIQIANG *et al.*, 2006).

Apesar disso, resultados fotocatalíticos muito diferentes foram observados para estes dois dopantes. Durante a fotocatálise, a capacidade redox está também relacionada com a posição absoluta da entre a banda de valência (BV) e a banda de condução (BC) em relação às reações redox. Desta forma, a banda de condução deve ser suficientemente energética para facilitar a redução, enquanto que, a banda de valência deve estar corretamente posicionada de modo a facilitar a oxidação, tal como descrito por Eng *et al.* (2003).

### 3.5 CONCLUSÃO

Os espectros de FL das perovskitas de CaSnO<sub>3</sub> e Ca<sub>0,9</sub>Sn<sub>0,9</sub>M<sub>0,1</sub>O<sub>3-δ</sub> (M = Fe<sup>3+</sup>, Co<sup>2+</sup>, Cu<sup>2+</sup>) apresentaram emissão na região do visível, sendo que, a dopagem do CaSnO<sub>3</sub> com os metais de transição promoveu significativa redução na intensidade dos sinais. Além disso, verificou-se uma maior concentração de defeitos do tipo *rasos*, à medida em que os dopantes foram adicionados.

Os resultados dos testes fotocatalíticos, em pH 3, mostraram que as perovkitas sintetizadas neste trabalho apresentaram eficiência na degradação do corante azo (RNL), com percentuais de descoloração superiores a 50%, exceto para o Ca<sub>0,9</sub>Sn<sub>0,9</sub>Fe<sub>0,1</sub>O<sub>3-δ</sub> (42%). Os dados indicaram que a eficiência fotocatalítica dos materiais foi influenciada pela dopagem com os metais de transição, sendo mais elevada para o catalisador Ca<sub>0,9</sub>Sn<sub>0,9</sub>Cu<sub>0,1</sub>O<sub>3-δ</sub>, que apresentou 76% de descoloração

da solução de corante RNL sob radiação UV. Em comparação com o material não dopado (CaSnO<sub>3</sub>), a dopagem com Cu<sup>2+</sup> promoveu um aumento de 50% na eficiência fotocatalítica da perovskita em estudo. Além disso, verificou-se que Ca<sub>0,9</sub>Sn<sub>0,9</sub>Cu<sub>0,1</sub>O<sub>3-δ</sub> mostrou uma eficiência correspondente a 85% da eficiência do padrão universal P25 (TiO<sub>2</sub>). Associando com os resultados de FL, o espectro do Ca<sub>0,9</sub>Sn<sub>0,9</sub>Cu<sub>0,1</sub>O<sub>3-δ</sub> foi o que apresentou a menor intensidade. Desta forma, acredita-se que uma maior quantidade de elétrons fotoinduzidos tenha sido capturada pelo Cu<sup>2+</sup>, de modo a favorecer a redução para Cu<sup>+</sup>, reduzindo, portanto, a emissão e favorecendo a fotocatálise.

Ao variar o pH inicial da solução do corante azo RNL, constatou-se que em pH 6 a fotodegradação não foi favorecida devido a uma maior repulsão eletrostática entre a superfície dos fotocatalisadores e as espécies negativas do corante. Por sua vez, em pH 3 a fotocatálise foi favorecida devido a uma maior adsorção dos corantes sobre a superfície das perovskitas. Corroborando os dados de adsorção e fotocatálise, os resultados obtidos indicaram que em pH 6 o mecanismo indireto é predominante, enquanto que, em pH 3 o mecanismo direto de fotocatálise prevalece.

# CAPITULO 4

Perovskitas de  $Ca_{0,9}Sn_{0,9}M_{0,1}O_{3-\delta}$ , (M =  $Fe^{3+}$ ,  $Co^{2+}$  ou  $Cu^{2+}$ )

Aplicadas na Redução Catalítica de NO com  $CO e NH_3$ 

"Eu confio em certezas. Eu sei que meu Redentor
vive, e porque Ele vive eu também viverei"
Michael Faraday
(1791-1867)

(In: Father of Electronics, 1978, Herald Press, Scottsdale, PA)

### 4. PEROVSKITAS DE Ca<sub>0,9</sub>Sn<sub>0,9</sub>M<sub>0,1</sub>O<sub>3-δ</sub> (M = Fe<sup>3+</sup>, Co<sup>2+</sup>, Cu<sup>2+</sup>) APLICADAS NA REDUÇÃO CATALÍTICA DE NO COM CO E NH<sub>3</sub>

### 4.1 INTRODUÇÃO

A utilização de óxidos mistos com estrutura perovskita na conversão catalítica de NO tem sido amplamente investigada e vem apresentando resultados satisfatórios (LEONTIOU, LADAVOS e POMONIS, 2003; ZHANG et al. 2006a; TANABE e ASSAF, 2009). O interesse nestes óxidos deve-se à elevada estabilidade térmica; possibilidade de redução parcial de seus cátions; possibilidade de boa distribuição metálica em sua estrutura; e possibilidade de incorporação de diferentes íons metálicos na rede cristalina (o que favorece o estudo de uma variedade de espécies destes óxidos).

A maioria das perovskitas utilizadas na SCR de NO são à base de lantânio LaMO<sub>3</sub> (M = metal de transição) puro ou substituído (ROYER *et al.* 2005; ZHANG *et al.* 2006a; ZHANG, ALAMDARI e KALIAGUINE, 2006; YANG *et al.* 2012), o que torna oneroso o processo.

De acordo com Moradi, Khosravian e Rahmanzadeh (2012), a possibilidade de substituição total ou parcial dos cátions das perovksitas por outros com diferentes estados de oxidação promove uma maior mobilidade dos oxigênios da rede proporcionando modificações nas propriedades redox, resultando em melhorias na eficiência catalítica e na estabilidade destes materiais. A substituição dos cátions A, com número de oxidação variável, pode alterar a capacidade de liberar ou receber elétrons dependendo do ambiente reacional. Além disso, foi também sugerido que a substituição de cátions no sítio A, por vezes, pode alterar a fase cristalina de uma estrutura ordenada para uma desordenada, e, portanto, afetar o desempenho catalítico.

Zhu e Thomas (2009) reportaram que a substituição de La por Ce em La<sub>1-x-</sub> Ce<sub>x</sub>SrNiO<sub>4</sub> poderia aumentar ainda mais a eficiência catalítica na decomposição de NO em comparação ao La<sub>2-x</sub>Sr<sub>x</sub>NiO<sub>4</sub>, e uma alta eficiência poderia ser alcançada mesmo na presença de O<sub>2</sub> (1% O<sub>2</sub> em 850 °C). No entanto, a modificação no estado de oxidação do cátion que ocupa o sítio A (La) ou uma maior quantidade de oxigênio não estequiométrico não é efeito exclusivo da substituição do Ce. Estes dois

parâmetros podem ser alcançados apenas pela substituição do Sr. Desta forma, estes resultados sugerem que o Ce também participa do esquema reacional. Uma explicação proposta para este comportamento indica que Ce<sup>3+</sup> envolvido acelera a mobilidade dos oxigênios favorecendo o processo de decomposição de NO. Isso deve-se ao fato de Ce<sup>3+</sup> ter a possibilidade de fornecer um elétron para o Ni formando então o Ce<sup>4+</sup>, resultando na remoção mais fácil de oxigênio.

Segundo Howard e Stokes (2004), os cátions do sítio B são cataliticamente mais ativos que do sítio A e esta atividade é influenciada pelo estado eletrônico dos orbitais d destes cátions e pela energia de ligação B-O. De acordo com os pesquisadores, os orbitais d do cátion B ocupam uma zona intermediária de alta energia situada entre os orbitais 2p do oxigênio e s e p mais externo do próprio cátion B, criando um gap de energia e tornando esses orbitais d os responsáveis pelas propriedades de transporte eletrônico na estrutura. Como as distâncias entre os dois átomos B são grandes, a sobreposição entre seus orbitais é muito pequena e a interação se produz através de oxigênio intermediário.

O efeito da substituição dos cátions do sítio B é mais complexo que os cátions do sítio A não apenas pelo fato de o cátion B apresentar número de oxidação variável, mais por este ser um componente do sítio ativo. Em alguns sistemas, a substituição do cátion B por outro cátion com número de oxidação variável favorece o aumento na atividade catalítica; em outros sistemas, a substituição por um cátion com um único estado de oxidação é mais eficiente.

Iwakuni *et al.* (2007), ao estudarem o efeito da substituição parcial do mangânes no sistema BaMnO<sub>3</sub> na decomposição de NO, concluíram que ao substituir Mn<sup>4+</sup> por Mg<sup>2+</sup> (metal com um único estado de oxidação) o sistema apresentou um aumento na eficiência catalítica, por outro lado, ao substituir por cromo e cobre (metais com estado de oxidação variável) a eficiência catalítica foi diminuída. O efeito da substituição seguiu a série Mg > Zr > Fe > Ni > Sn > Ta > Co > Cr > Cu.

Por outro lado, a literatura reporta que ao substituir o cátion B' do sistema LaSrNi<sub>1-x</sub>B'<sub>x</sub>O<sub>4</sub> por Al<sup>3+</sup> o efeito catalítico não foi tão efetivo quanto o substituído por Mn<sup>2+</sup> (ZHU *et al.*, 2007; ZHU e THOMAS, 2009). Neste caso, a substituição do cátion do sítio B por outro cátion com estado de oxidação não variável desfavoreceu o

processo catalítico de decomposição de NO. Os autores reportam que cátions com estados de oxidação fixos são normalmente difíceis de serem incorporados em uma grande quantidade de estruturas perovskitas.

Além disso, tem sido reportado que a substituição do cátion B gera modificações no nível de Fermi. Nas reações de decomposição ou redução de NO, estas mudanças estão diretamente associadas com eficiência catalítica. Por exemplo, na decomposição de NO, valores elevados no nível de Fermi favorecem o processo catalítico, por outro lado, a diminuição no nível de Fermi favorece a reação de redução de NO (ZHU e THOMAS, 2009).

## 4.1.1 Estanatos de metais alcalinos terrosos aplicados na conversão de NO com CO

Partindo da síntese de perovskitas pelo método dos precursores poliméricos, Nascimento (2007) investigou a eficiência catalítica dos sistemas SrSn<sub>1-x</sub>Ni<sub>x</sub>O<sub>3</sub> (x = 1%, 5%, 10%, 15%, 20%) na SCR de NO com CO. O autor obteve 40% de conversão de NO a N<sub>2</sub> utilizando o sistema dopado com 10% de Ni e operando na temperatura de 500°C na presença de interferentes.

Nesta mesma linha de pesquisa, Vieira (2011) realizou o estudo da dopagem do SrSnO<sub>3</sub> com Fe<sup>3+</sup> em diferentes proporções do dopante (5, 10 e 20% em mol) com a finalidade de avaliar a eficiência catalítica destes materiais na reação de NO com CO, além de compreender o efeito do ferro na área superficial das perovskitas e analisar os tipos de defeitos gerados. Foi alcançada conversão catalítica de NO a N<sub>2</sub> de 85% ao dopar o SrSnO<sub>3</sub> com ferro. Pelo mesmo método de síntese, Ribeiro (2011) obteve conversão de 100% de NO a N<sub>2</sub> para o sistema SrSnO<sub>3</sub> dopado com cobre (Cu<sup>2+</sup>). Em todos os trabalhos citados, os autores verificaram que introdução dos dopantes (Fe<sup>3+</sup> ou Cu<sup>2+</sup>) na rede do SrSnO<sub>3</sub> pode ter promovido a formação de vacâncias de oxigênio favorecendo assim a eficiência catalítica para reação de redução do NO.

A literatura reporta que o uso das perovskitas na SCR de NO é limitado devido à sua baixa área superficial, geralmente menor que 10 m<sup>2</sup> g<sup>-1</sup> (LIMA *et al.* 2009), uma vez que são obtidos, na maior parte dos casos, por reação no estado

sólido. Desta forma, uma alternativa para aumentar a área superficial das perovskitas é a sua impregnação em um suporte catalítico.

No que se refere a *SCR* de NO com NH<sub>3</sub> por estanatos de metais alcalinos terrosos, até onde nosso conhecimento alcança, nenhum trabalho foi publicado. Tem-se apenas poucos trabalhos com perovskitas à base de bismuto, BiMnO<sub>3</sub> (ZHANG *et al.*, 2012) ou lantânio, LaMO<sub>3</sub> (M = Fe<sup>3+</sup>, Co<sup>2+</sup>, Cu<sup>2+</sup>, Mn<sup>2+</sup>) (ZHANG *et al.*, 2013; LI *et al.*, 2016).

### 4.1.2 Suportes Catalíticos

De acordo com a IUPAC (1976), um suporte catalítico é definido como sendo um material sólido com elevada área superficial, sobre o qual um catalisador (fase ativa) é fixado. O suporte corresponde à maior parte do catalisador. Geralmente, este material apresenta pequena ou nenhuma atividade para a reação considerada (CIOLA, 1981; FIGUEIREDO e RIBEIRO, 2007).

Os suportes podem atuar na reação catalítica de modo a alterar o tempo de meia-vida, a seletividade e a estabilidade da fase ativa. Em alguns casos, a interação do suporte com o catalisador pode apresentar efeitos catalíticos superiores ao próprio catalisador mássico (FIGUEIREDO e RIBEIRO, 2007).

Em contraponto à função mecânica (de servir de base para a fase ativa), o suporte favorece alguns efeitos desejáveis, tais como: a) promover maior área exposta para o agente ativo, o que promove melhorias na atividade de um determinado catalisador que apresenta baixa área superficial; b) evitar a sinterização do catalisador mantendo os cristais da fase ativa distantes, favorecendo uma maior estabilidade do catalisador; c) complexar quimicamente o suporte com a fase ativa, obtendo maior atividade por unidade de área; d) promover um maior acesso do substrato aos sítios ativos; e) proteger o catalisador do envenenamento; f) catalisar alguma etapa reacional de reações que se processam por mecanismos de ação dupla; g) dissipar o calor em reações exotérmicas, evitando a sinterização ou modificação na cinética reacional (NASCIMENTO, 2010).

No que se refere aos materiais mais utilizados como suportes catalíticos para reações de decomposição de NO, estão: zeólitas, Al<sub>2</sub>O<sub>3</sub>, TiO<sub>2</sub>, CeO<sub>2</sub>, ZrO<sub>2</sub> e SiO<sub>2</sub>

(PÂRVULESCU, GRANGE e DELMON, 1998; SANIGER, 1995; DIGNE *et al.*, 2004; BERGAMASCHI, 2005; JENSEN *et al.*, 2005; MITAL e MANOJ, 2011; QI e YANG, 2003; XU *et al.*, 2008; GUO e QIAO, 2008; BUMAJDAD, EASTOE e MATHEW, 2009; LENDZION-BIELUN, BETTAHAR e MONTEVERDI, 2010).

Um suporte bastante utilizado é a zircônia (ZrO<sub>2</sub>), que tem despertado interesse devido a sua alta estabilidade térmica, caráter anfótero da superfície e seus grupos OH, quando hidratada (TANABE e YAMAGUCHI, 1994; CHUAH, 1999). Semelhante ao CeO<sub>2</sub>, o ZrO<sub>2</sub> também possui a característica de armazenar e liberar oxigênio do meio conforme ocorrem oscilações de sua concentração (TYAGI *et al.*, 2006). Vários trabalhos na literatura reportam o uso de ZrO<sub>2</sub> como suporte catalítico para reações de hidrogenação de CO (HUANG e SACHTLER, 1997), desidrogenação (KORHONEN *et al.*, 2007), deslocamento gás-água (IDAKIEV *et al.*, 2006) e também na *SCR* de NO (SHEN *et al.*, 2013).

Okamoto *et al.* (2000), realizaram um estudo da redução de NO com CO utilizando catalisadores de ferro suportados em ZrO<sub>2</sub>, Al<sub>2</sub>O<sub>3</sub> e SiO<sub>2</sub>. Os resultados mostraram que o sistema Fe/ZrO<sub>2</sub> (Fe<sup>3+</sup>) foi o que apresentou a maior eficiência catalítica de todos os sistemas estudados. Segundo os autores, a interação fraca entre o óxido de ferro e o ZrO<sub>2</sub> facilita o processo redox na reação de NO com CO.

Bellido e Assaf (2009) impregnaram nitrato de cobre, Cu(NO<sub>3</sub>)<sub>2</sub>.3H<sub>2</sub>O, sobre os suportes zircônia e alumina, de modo a obter os sistemas Cu/ZrO<sub>2</sub>, Cu/Al<sub>2</sub>O<sub>3</sub> e Cu/ZrO<sub>2</sub>-Al<sub>2</sub>O<sub>3</sub>, variando o teor mássico de Cu<sup>2+</sup> entre 1,2% e 5% (m/m). Os materiais foram aplicados na *SCR* de NO com CO sob temperatura de 500 °C por 300 min. Os resultados mostraram que o melhor desempenho catalítico foi obtido para os sistemas suportados em ZrO<sub>2</sub>. A conversão catalítica sobre Cu/Al<sub>2</sub>O<sub>3</sub> foi baixa, no entanto, ao testar o sistema Cu/ZrO<sub>2</sub>-Al<sub>2</sub>O<sub>3</sub> foi verificado um aumento significativo na conversão de NO. De acordo com os autores, o ZrO<sub>2</sub> influenciou na eficiência catalítica das espécies de cobre e corroborou para um aumento das vacâncias de oxigênio.

### 4.1.2.1 Perovskitas suportadas aplicadas na SCR de NO

A literatura apresenta alguns trabalhos nos quais perovskitas impregnadas em suportes catalíticos foram utilizadas nas reações de combustão de CH<sub>4</sub> e oxidação de CO (CIMINO *et al.* 2002). No entanto, para a SCR de NO, pouco foi reportado.

Peter *et al.* (2000) investigaram as perovskitas de LaMO<sub>3</sub> (M=Cr, Mn, Fe, Co e Ni) como catalisadores para redução de NO com CO. Como os melhores resultados de conversão foram obtidos para a LaFeO<sub>3</sub> e LaCu<sub>2</sub>O<sub>3</sub>, os autores suportaram estas perovskitas em MgAl<sub>2</sub>O<sub>4</sub>. De acordo com os dados, a perovskita de La<sub>2</sub>CuO<sub>3</sub>/MgAl<sub>2</sub>O<sub>4</sub> mostrou ser mais eficiente na conversão de NO que La<sub>2</sub>CuO<sub>3</sub> mássico, tendo em vista que apenas 25% da fase ativa foi utilizada para obter os mesmos efeitos. Os autores justificam esse fenômeno devido à melhor dispersão do óxido misto sobre o suporte.

Recentemente, um trabalho utilizando perovskitas de LaMnO<sub>3</sub> suportados em TiO<sub>2</sub> e CeO<sub>2</sub> foi reportado na SCR de NO com NH<sub>3</sub> (ZHANG *et al.*, 2014). Neste trabalho, os autores verificaram que LaMnO<sub>3</sub> apresentou 75% de conversão de NO em 300°C (com um pouco mais de 30% de seletividade para N<sub>2</sub>), tendo decaimento da conversão acima dessa temperatura. Ao avaliarem o LaMnO<sub>3</sub>/CeO<sub>2</sub>, os autores verificaram que a conversão de NO atingiu 100% entre 200 e 250°C, porém acima desta faixa de temperatura a conversão é reduzida para 73%. Além disso, verificaram que a seletividade para formação de N<sub>2</sub> atingiu 60% para o LaMnO<sub>3</sub>/CeO<sub>2</sub>.

Em trabalhos anteriores, sintetizamos  $Sr_{0,9}Sn_{0,9}Fe_{0,1}O_{3-x}$ , pelo método dos precursores poliméricos modificado, e impregnamos, por via úmida, nos suportes  $\gamma$ -Al<sub>2</sub>O<sub>3</sub> e  $ZrO_2$ . A avaliação catalítica da redução de NO com CO mostrou que  $Sr_{0,9}Sn_{0,9}Fe_{0,1}O_{3-x}/\gamma$ -Al<sub>2</sub>O<sub>3</sub> e  $Sr_{0,9}Sn_{0,9}Fe_{0,1}O_{3-x}/ZrO_2$  apresentaram percentuais de conversão de NO de 21% e 42%, respectivamente, na temperatura de 700°C. Cabe ressaltar que nos catalisadores suportados, apenas 10% de toda massa utilizada correspondeu a fase ativa (perovskita). Comparando os valores de conversão de NO pelo catalisador  $Sr_{0,9}Sn_{0,9}Fe_{0,1}O_{3-x}$  mássico (64%), percebeu-se que a impregnação nos suportes promoveu um aumento na eficiência catalítica de cerca de 4 vezes

mais para o sistema impregnado em  $\gamma$ -Al<sub>2</sub>O<sub>3</sub> e 7 vezes mais para o sistema impregnado em ZrO<sub>2</sub> (LUCENA *et al.* 2013b).

### 4.2 OBJETIVO

O objetivo deste capítulo foi avaliar a eficiência catalítica das perovskitas de CaSnO<sub>3</sub> e Ca<sub>0,9</sub>Sn<sub>0,9</sub>M<sub>0,1</sub>O<sub>3-δ</sub> (M = Fe<sup>3+</sup>, Co<sup>2+</sup>, Cu<sup>2+</sup>) mássicas, suportadas em ZrO<sub>2</sub> ou impregnada com paládio na redução de NO com CO ou com NH<sub>3</sub>. Os objetivos específicos foram:

- Avaliar a eficiência catalítica do CaSnO<sub>3</sub> e CaSnO<sub>3</sub> dopado na *SCR* do NO e verificar a influência dos dopantes;
- ❤ Verificar a influência da dopagem e da impregnação do Pd na eficiência catalítica do CaSnO₃:
- Sintetizar e caracterizar os catalisadores mais eficientes sobre ZrO<sub>2</sub>;
- ✓ Verificar a eficiência catalítica das perovskitas depositadas no suporte catalítico ZrO₂;
- © Comparar os dados de conversão catalítica dos catalisadores nas reações de NO com CO e NO com NH<sub>3</sub>.

### 4.3 EXPERIMENTAL

Nesta seção serão apresentados os procedimentos de síntese do material suportado e a avaliação catalítica, na redução de NO com CO e com NH<sub>3</sub>, das perovskitas de CaSnO<sub>3</sub> e Ca<sub>0,9</sub>Sn<sub>0,9</sub>M<sub>0,1</sub>O<sub>3- $\delta$ </sub> (M = Fe<sup>3+</sup>, Co<sup>2+</sup>, Cu<sup>2+</sup>) mássicas; CaSnO<sub>3</sub> e Ca<sub>0,9</sub>Sn<sub>0,9</sub>M<sub>0,1</sub>O<sub>3- $\delta$ </sub> (M = Co<sup>2+</sup>, Cu<sup>2+</sup>) depositadas em ZrO<sub>2</sub>; Ca<sub>0,99</sub>Sn<sub>0,99</sub>-Pd<sub>0,01</sub>O<sub>3- $\delta$ </sub>; CaSnO<sub>3</sub> e Ca<sub>0,9</sub>Sn<sub>0,9</sub>M<sub>0,1</sub>O<sub>3- $\delta$ </sub> (M = Co<sup>2+</sup>, Cu<sup>2+</sup>) impregnadas com paládio.

### 4.3.1 Síntese e caracterização dos catalisadores

## 4.3.1.1 Síntese e caracterização do CaSnO<sub>3</sub> e Ca<sub>0,9</sub>Sn<sub>0,9</sub>M<sub>0,1</sub>O<sub>3- $\delta$ </sub> (M = Co<sup>2+</sup>, Cu<sup>2+</sup>) suportado em ZrO<sub>2</sub>

As sínteses das perovskitas depositadas no suporte catalítico ZrO<sub>2</sub> foram realizadas utilizado a técnica de impregnação por via úmida, utilizando a resina polimérica.

Em um balão de fundo redondo foram misturados 4,5 g do suporte ZrO<sub>2</sub> (99%, Aldrich) com a resina polimérica da perovskita (cuja síntese foi descrita na seção 2.3.1), de modo que a proporção mássica entre a perovkita e o suporte foi de 10% (0,5 g de perovskita (considerando o rendimento teórico) / 4,5 g de ZrO<sub>2</sub>). O sistema foi submetido à evaporação em um rotaevaporador para eliminação do solvente. A massa úmida resultante foi calcinada em presença de atmosfera oxidante (O<sub>2</sub>) na temperatura de 300 °C por 600 minutos sob taxa de aquecimento de 1°C min<sup>-1</sup>. Após esta etapa, as amostras foram desaglomeradas e peneiradas (100 mesh) e em seguida calcinadas a 800 °C por 240 minutos sob taxa de aquecimento de 10 °C min<sup>-1</sup>. A Figura 4.1 ilustra o procedimento experimental utilizado.

Resina Polimérica

Desaglomeração

100 Mesh

T = 300 °C / 600 min

T = 800 °C / 240 min

Fonte: Própria

As amostras foram caracterizadas por difração de raios-X (DRX), espectroscopia de absorção na região do ultravioleta e visível (UV-Vis), espectroscopia vibracional na região do infravermelho (IV), espectroscopia Raman e análise de área superficial específica (BET), conforme reportado nos itens de 2.4.2. à 2.4.6. Também foi realizada uma avaliação morfológica e química utilizando as técnicas de microscopia eletrônica de varredura com emissão de campo (MEV-EC) e microscopia eletrônica de transmissão (MET).

Para as análises de MEV-EC, os catalisadores suportados foram dispersos em acetona com ultrassom, sendo que, algumas gotas foram depositadas sob o substrato de Si, que, por sua vez, foi colado no porta amostra para deposição de ouro. As micrografias foram realizadas em um microscópio modelo 6310F da JEOL JSM, operando em 7 kV.

Para as análises de MET, as amostras foram suspensas em etanol e então depositadas sobre grades de cobre com malha de 400 mesh e cobertas com uma membrana ultrafina de carbono (2-3 nm de espessura). As imagens foram obtidas nos microscópios CM200 da Philips e JEOL 2010, operando sob voltagem de 200 keV. As caracterizações por espectroscopia de raios-X por energia dispersiva (EDXS) foram realizadas usando o JEOL JSM 6400, operando em 10 kV. Todas as análises microscópicas foram realizadas no *Institut des Sciences Chimiques de Rennes*, na cidade de Rennes, França.

4.3.1.2 Síntese do 
$$Ca_{0,99}Sn_{0,99}Pd_{0,01}O_{3-\delta}$$
,  $PdO/CaSnO_3$  e  $PdO/Ca_{0,9}Sn_{0,9}M_{0,1}O_{3-\delta}$  ( $M = Co^{2+}$ ,  $Cu^{2+}$ )

A síntese do Ca<sub>0,99</sub>Sn<sub>0,99</sub>Pd<sub>0,01</sub>O<sub>3-δ</sub> foi realizada utilizando o mesmo procedimento descrito na seção 2.3.1, sendo que, a quantidade do dopante (Pd<sup>2+</sup>) utilizada foi 1% (m/m) em relação aos metais Ca e Sn.

Para impregnação do PdO sobre as perovskitas, Pd/CaSnO<sub>3</sub> e Pd/Ca-0,9Sn<sub>0</sub>,9M<sub>0,1</sub>O<sub>3-δ</sub> (M = Co<sup>2+</sup> e Cu<sup>2+</sup>), o procedimento experimental tomou como base o método de impregnação por via úmida. Partindo dos pós das perovskitas calcinados a 800 °C, cerca de 0,5 g destes materiais foram adicionados a 50 mL de uma solução aquosa de Pd(NO<sub>3</sub>)<sub>2</sub> com concentração 0,25 g L<sup>-1</sup> (que fora preparada pela dissolução, em água destilada, de 0,0125g de (Pd(NO<sub>3</sub>)<sub>2</sub>.2H<sub>2</sub>O, Aldrich) e submetida a um rotaevaporador para eliminação do solvente. Em seguida o material foi seco

em estufa a 60 °C por 2 h, desaglomerado, peneirado (100 mesh) e calcinado em 300 °C por 1 h, com taxa de aquecimento de 10 °C min<sup>-1</sup>.

As amostras foram caracterizadas por DRX, IV, Raman, e análise de área superficial específica (BET). A Figura 4.2 ilustra o procedimento experimental utilizado.

Solução 0,25 g.L-1
de Pd(NO<sub>3</sub>)<sub>2</sub>

Desaglomeração
100 Mesh

CARACTERIZAÇÃO
DRX, IV, Raman,
BET

Avaliação Catalítica
T = 60 °C / 2h

T = 300 °C / 1h

Figura 4.2: Fluxograma para obtenção dos catalisadores impregnados com PdO.

Fonte: Própria

Semelhante ao que foi realizado com as perovskitas mássicas, realizou-se a impregnação das perovskitas dopadas e suportadas em ZrO<sub>2</sub> com o PdO com objetivo de avaliar a influência tanto do suporte quanto do paládio na atividade catalítica dos materiais. De modo a reduzir o número de amostras, optou-se em estudar apenas os sistemas CaSnO<sub>3</sub>, Ca<sub>0,9</sub>Sn<sub>0,9</sub>Co<sub>0,1</sub>O<sub>3-δ</sub> e Ca<sub>0,9</sub>Sn<sub>0,9</sub>Cu<sub>0,1</sub>O<sub>3-δ</sub> mássicos, suportadas em ZrO<sub>2</sub> e/ou impregnadas com PdO. A Tabela 4.1 apresenta a nomenclatura e a simbologia utilizada para cada amostra sintetizada e testada cataliticamente neste trabalho.

Tabela 4.1: Descrição das amostras utilizadas nos testes catalíticos

Fórmula	Sistema
CaSnO₃	Estanato de cálcio
$Ca_{0,9}Sn_{0,9}Fe_{0,1}O_{3\text{-}\delta}$	Estanato de cálcio dopado com Fe³+
$Ca_{0,9}Sn_{0,9}Co_{0,1}O_{3\text{-}\delta}$	Estanato de cálcio dopado com Co²+
$Ca_{0,9}Sn_{0,9}Cu_{0,1}O_{3\text{-}\delta}$	Estanato de cálcio dopado com Cu²+
CaSnO <sub>3</sub> /ZrO <sub>2</sub>	Estanato de cálcio suportado em ZrO <sub>2</sub>
$Ca_{0,9}Sn_{0,9}Co_{0,1}O_{3\text{-}\delta}/ZrO_{2}$	Estanato de cálcio dopado com Co²+ suportado em ZrO₂
$Ca_{0,9}Sn_{0,9}Cu_{0,1}O_{3\delta}/ZrO_{2}$	Estanato de cálcio dopado com Cu²+ suportado em ZrO2
$Ca_{0,99}Sn_{0,99}Pd_{0,01}O_{3\text{-}\delta}$	Estanato de cálcio dopado com Pd²+
PdO/CaSnO₃	Estanato de cálcio impregnado com PdO
$PdO/Ca_{0,9}Sn_{0,9}Co_{0,1}O_{3\text{-}\delta}$	Estanato de cálcio dopado com Co <sup>2+</sup> impregnado com PdO
PdO/Ca <sub>0,9</sub> Sn <sub>0,9</sub> Cu <sub>0,1</sub> O <sub>3-δ</sub>	Estanato de cálcio dopado com Cu <sup>2+</sup> impregnado com PdO

Fonte: Própria

### 4.3.2 Testes catalíticos

### 4.3.2.1 Redução de NO com CO

Os testes catalíticos foram realizados com cerca de 100 mg de catalisador (pré-tratado a 500 °C/1 h com He) diluído em 100 mg de SiC (60 mesh, Arasivos Industriais) em um reator (tubular) de leito fixo acoplado a um forno vertical com aquecimento controlado, mediante um termopar, sob pressão atmosférica. A reação ocorreu com uma variação de temperatura de 300 a 700°C com intervalos de 50°C, com velocidade espacial de 17.000 h<sup>-1</sup>. O reator foi alimentado com um fluxo gasoso contínuo (25 mL min<sup>-1</sup>), ajustado por controladores de fluxo, de uma mistura reacional de 0,5% de NO e 0,5% de CO com balanço de He, ambos como uma mistura padrão de 1% mol/mol (gás/He).

Os produtos reacionais foram identificados mediante a análise em um cromatógrafo a gás modelo GC-17A da Shimadzu, equipado com um detector de condutividade térmica. Os gases NO, N<sub>2</sub>, CO e CO<sub>2</sub> foram separados a 50 °C, usando duas colunas empacotadas conectadas em série – uma porapak N, e a outra, peneira molecular 13X (As colunas foram fabricadas pela Construmaq LTDA, São Carlos, SP).

A Figura 4.3 apresenta um esquema do reator catalítico utilizado nos testes. As análises foram realizadas no Laboratório de Catálise do Departamento de Engenharia Química na Universidade Federal de São Carlos (UFSCar).

Válvulas de controlador de vazão

Controlador de vazão

Controladores de temperatura e indicador de pressão

Controlador de pressão

Figura 4.3: Esquema da unidade utilizada para realização dos testes catalíticos de NO com CO

(Fonte: VIEIRA, 2011)

# 4.3.2.2 Redução de NO com NH<sub>3</sub>

Uma avaliação da redução de NO com NH<sub>3</sub> foi realizada no Instituto de Química da Universidade Federal da Bahia. Nestes testes, o reator de quartzo (em forma de U) foi alimentado com um fluxo gasoso contínuo (69 mL min<sup>-1</sup>), ajustado por controladores de fluxo, de uma mistura reacional de 3600 ppm de NO, 3600 ppm de NH<sub>3</sub> e 2,7% de O<sub>2</sub>, com balanço de He. A reação ocorreu com uma variação de temperatura de 250 a 500°C com intervalos de 50°C.

A análise dos efluentes reacionais foram realizadas através de um cromatógrafo a gás, modelo GC-17A da Shimadzu, operando com coluna capilar Carboxen 1010 Plot (30m x 0,53mm), a temperatura de 35°C (vazão do gás de

arraste = 3 mL min<sup>-1</sup>), e detector de condutividade térmica (corrente = 80 mA), utilizando He como gás de arraste e uma válvula de 6 vias para injeção de gases.

### 4.4 RESULTADOS E DISCUSSÃO

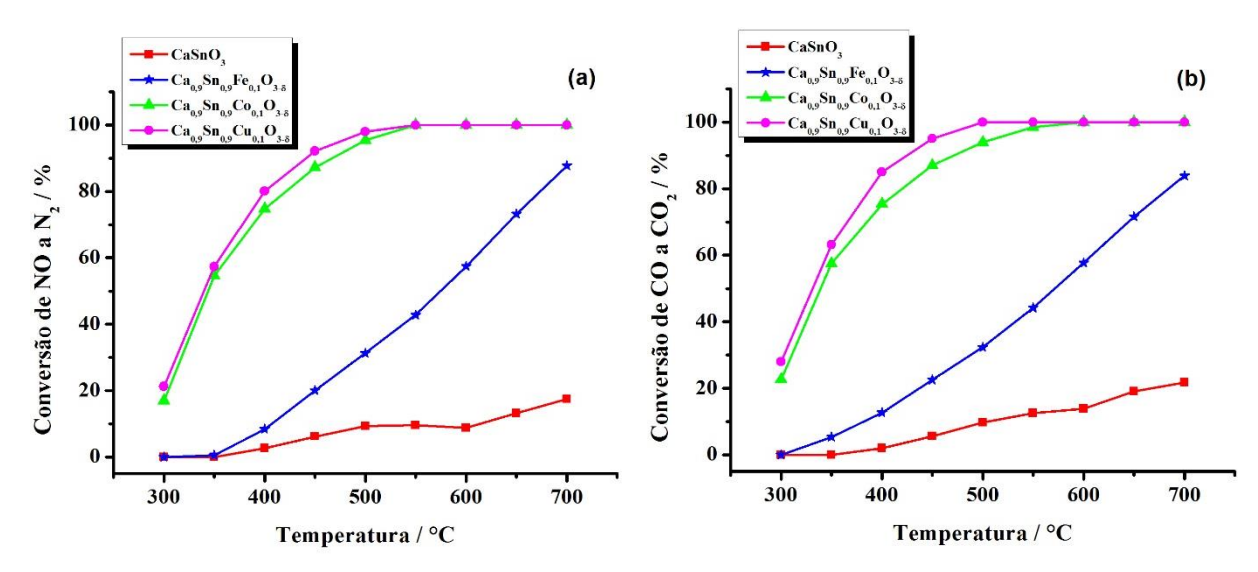
Nesta seção serão apresentados e discutidos os resultados provenientes da síntese, caracterização e avaliação catalítica das perovskitas  $Ca_{0,9}Sn_{0,9}M_{0,1}O_{3-\delta}$  (M = Fe<sup>3+</sup>, Co<sup>2+</sup>, Cu<sup>2+</sup>) mássicas, depositadas em ZrO<sub>2</sub>, dopada e impregnadas com Pd.

### 4.4.1 Avaliação catalítica das perovskitas mássicas

A avaliação da conversão catalítica de NO a N<sub>2</sub> e CO a CO<sub>2</sub> pelas perovskitas mássicas leva em consideração que toda a massa de catalisador corresponde à fase ativa. Além disso, esta primeira avaliação permite verificar a influência dos dopantes (Fe<sup>3+</sup>, Co<sup>2+</sup> e Cu<sup>2+</sup>) no desempenho dos catalisadores.

Na Figura 4.4 são mostrados os percentuais de conversão de NO a N<sub>2</sub> e CO a CO<sub>2</sub> pelo CaSnO<sub>3</sub> não dopado e dopado com os metais de transição.

**Figura 4.4:** Conversão catalítica de (a) NO a  $N_2$  e (b) CO a  $CO_2$  pelas perovskitas mássicas de  $CaSnO_3$  e  $Ca_{0,9}Sn_{0,9}M_{0,1}O_{3-\delta}$  (M =  $Fe^{3+}$ ,  $Co^{2+}$ ,  $Cu^{2+}$ ).



De acordo com os gráficos mostrados na Figura 4.4, a conversão de NO e CO foi favorecida pela adição dos dopantes na estrutura do CaSnO<sub>3</sub>. Em todos os sistemas dopados com os metais Fe<sup>3+</sup>, Co<sup>2+</sup> e Cu<sup>2+</sup>, os percentuais de conversão, tanto de NO quanto CO, foram superiores ao CaSnO<sub>3</sub> para todas as temperaturas. No entanto, os sistemas dopados com os metais Co<sup>2+</sup> e Cu<sup>2+</sup> foram os que apresentaram 100% de conversão, até 700 °C. Compete ressaltar que, entre todos os sistemas, o catalisador Ca<sub>0,9</sub>Sn<sub>0,9</sub>Cu<sub>0,1</sub>O<sub>3-δ</sub> foi o que apresentou os melhores resultados. Além disso, a conversão dos dois gases poluentes ocorreu de forma estequiométrica, ou seja, apresentando percentuais de conversão semelhantes para o NO e CO.

É sabido que as vacâncias de oxigênio desempenham uma função primordial na catálise de NO, por proporcionar sítios ativos de adsorção além de promover a dissociação das espécies de NO adsorvidas (PEÑA e FIERRO, 2001). Sendo assim, acredita-se que quando o NO adsorvido na superfície do catalisador se dissocia, o oxigênio reage com as vacâncias da rede cristalina e assim promovem a oxidação dos metais de transição ( $M^{n+} \rightarrow M^{(n+1)+}$ ). Estes, também podem sofrer redução ( $M^{(n+1)+} \rightarrow M^{n+}$ ) e desta forma favorecem a conversão de CO em CO<sub>2</sub>. As equações de 4.1 a 4.6 apresentam esse efeito para um metal  $M^{2+}$  qualquer, utilizando a notação de Kroger Vink.

$$\begin{array}{c} O_{ads} + V_{0}^{"} + 2e^{-} \rightarrow O_{0}^{x} \\ 2M_{Sn}^{"} \rightarrow 2M_{Sn}^{'} + 2e^{-} \\ \hline 2M_{Sn}^{"} + O_{ads} + V_{0}^{"} \rightarrow 2M_{Sn}^{'} + O_{0}^{x} \\ \end{array} \begin{array}{c} \text{Eq. 4.1} \\ \text{Eq. 4.2} \\ \hline 2M_{Sn}^{"} + O_{ads} + V_{0}^{"} \rightarrow 2M_{Sn}^{'} + O_{0}^{x} \\ \end{array} \begin{array}{c} \text{Eq. 4.3} \\ \end{array} \\ \begin{array}{c} O_{0}^{x} + CO \rightarrow CO_{2} + V_{0}^{"} + 2e^{-} \\ 2M_{Sn}^{'} + 2e^{-} \rightarrow 2M_{Sn}^{"} \\ \hline 2M_{Sn}^{'} + O_{0}^{x} + CO \rightarrow CO_{2} + 2M_{Sn}^{"} + V_{0}^{"} \\ \end{array} \begin{array}{c} \text{Eq. 4.5} \\ \text{Eq. 4.6} \\ \end{array}$$

**Legenda:**  $M_{Sn}$  = Metal de estado de oxidação +2 localizado no sítio regular do Sn na rede cristalina;  $V_0^{\circ}$  = Vacâncias de oxigênio ( $O^{2-}$ );  $O_0^{x}$  = Oxigênio localizado no seu sítio regular na rede cristalina; ' = carga negativa (-1).

Conforme discutido anteriormente, as moléculas de NO adsorvidas formam uma ligação σ-d com o metal (M) da superfície do catalisador, tornando esta ligação (M-N) mais forte que N-O. A extensão da ligação de NO com a superfície do

catalisador depende da disponibilidade de locais que sejam bons doadores de elétrons e possam facilitar a formação de ligação σ-d do NO com o metal. Esta propriedade é fortemente dependente da tendência do metal à ligação de oxigênio (M-O) da superfície do catalisador. Além disso, a temperatura de início da reação catalítica de NO e a redutibilidade dos óxidos metálicos dependem da força desta ligação (WATERHOUSE, BOWMAKER e METSON, 2001; WAGNER et al., 2007; AKSEL e EDER, 2010; PATEL et al. 2014).

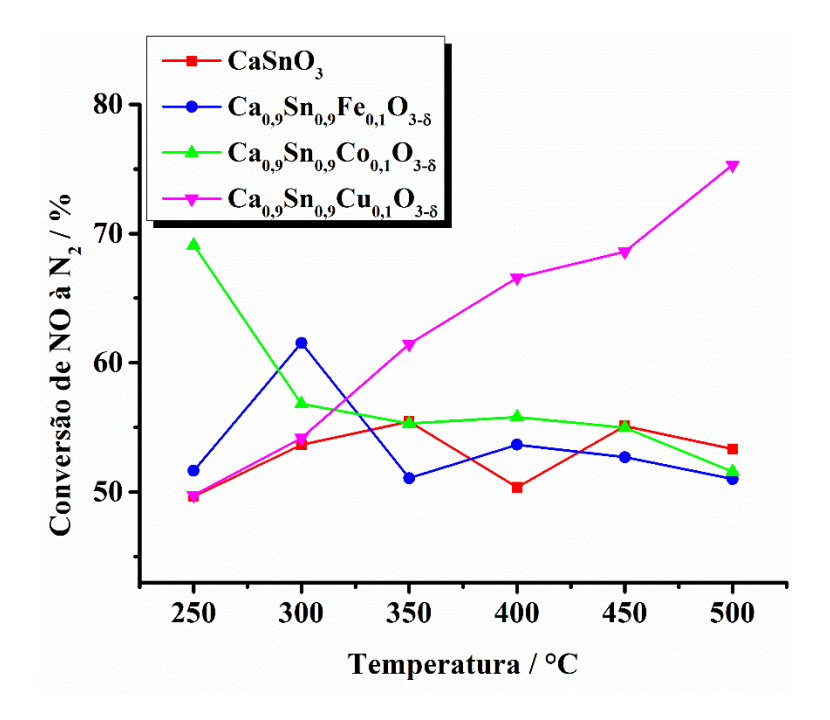
Neste sentindo, Patel et al. (2014) realizaram a deposição de RuO2, CoO, CuO, NiO, e Fe<sub>2</sub>O<sub>3</sub> sobre a zeólita MCM-41 e avaliaram a influência desta deposição na SCR de NO com CO entre 150-450 °C. Os autores verificaram que, dentre os metais de transição estudados, as amostras contendo RuO2/MCM-41 e CuO/MCM-41 foram as que apresentaram os melhores resultados de conversão de NO. Baseado em resultados de TPR-H<sub>2</sub>, os pesquisadores verificaram que estas amostras apresentaram as menores temperaturas de redução de todos os metais estudados. No que concerne a amostra CuO/MCM-41, eles verificaram a redução do Cu<sup>2+</sup> a Cu<sup>+</sup> e Cu<sup>0</sup>, em temperaturas relativamente baixas (220 °C e 450 °C, respectivamente). Os autores verificaram uma relação linear entre a força da ligação metal-oxigênio e a redutibilidade dos metais. Segundo eles, quanto menor a força da ligação M-O mais fácil a redutibilidade do metal, e, do ponto de vista da SCR de NO com CO, melhor a atividade catalítica. Desta forma, foi verificado que a força da ligação M-O diminuiu na sequência Fe<sub>2</sub>O<sub>3</sub> > NiO > CoO > CuO > RuO<sub>2</sub>, enquanto que a redutibilidade e a atividade catalítica aumentaram exatamente na sequência inversa.

Avaliando os resultados de conversão catalítica de NO e CO no presente trabalho (Fig. 4.4), a dopagem do CaSnO<sub>3</sub> com os metais de transição apresentou melhorias na atividade catalítica na ordem Fe<sup>3+</sup> < Co<sup>2+</sup> < Cu<sup>2+</sup>. Estes dados corroboram com os resultados obtidos por Patel et al. (2014). Sendo assim, acreditamos que a força da ligação M-O e as diferenças nas temperaturas de redução dos metais de transição podem estar associadas com os resultados catalíticos, no entanto, faz-se necessário uma investigação mais detalhada destes catalisadores.

Outro fator que tornou a catalisador Ca<sub>0,9</sub>Sn<sub>0,9</sub>Cu<sub>0,1</sub>O<sub>3-δ</sub> o mais ativo da série estudada pode estar associado com questões de fisissorção. De acordo com Zhou et al. (2014), ao investigarem, usando a base DFT, o LaCoO<sub>3</sub> dopado com Cu<sup>2+</sup> na oxidação de NO, a dopagem com cobre reduziu a barreira de dessorção de NO<sub>2</sub> e facilitou a oxidação de NO, o que resultou em melhorias no desempenho catalítico.

Uma avaliação da atividade catalítica das perovskitas estudadas na redução de NO com NH<sub>3</sub> foi realizada. Na Figura 4.5 são mostrados os percentuais de conversão de NO à N<sub>2</sub> utilizando NH<sub>3</sub> como agente redutor.

**Figura 4.5:** Conversão catalítica de NO com NH<sub>3</sub> pelas perovskitas mássicas de CaSnO<sub>3</sub> e  $Ca_{0,9}Sn_{0,9}M_{0,1}O_{3-\delta}$  (M = Fe<sup>3+</sup>, Co<sup>2+</sup>, Cu<sup>2+</sup>).



De acordo com os resultados catalíticos para a reação de NO com NH<sub>3</sub>, a conversão em N<sub>2</sub> foi favorecida para o sistema Ca<sub>0,9</sub>Sn<sub>0,9</sub>Cu<sub>0,1</sub>O<sub>3-δ</sub> em temperaturas superiores a 350 °C, atingindo uma conversão máxima de 75 % em 500 °C. Os sistemas Ca<sub>0,9</sub>Sn<sub>0,9</sub>Fe<sub>0,1</sub>O<sub>3-δ</sub> e Ca<sub>0,9</sub>Sn<sub>0,9</sub>Co<sub>0,1</sub>O<sub>3-δ</sub> apresentaram percentuais de conversão superiores ao CaSnO<sub>3</sub> em temperaturas inferiores a 350 °C, no entanto, sofrem desativação com o aumento da temperatura. Acreditamos que o aumento da temperatura reacional esteja favorecendo as reações redox dos metais Fe e Co, sendo que, para isto, elétrons são retirados da rede de modo a promover as

mesmas. Portanto, há uma competição entre os elétrons da rede e, como consequência, uma diminuição na conversão catalítica de NO com NH<sub>3</sub>.

De modo geral, comparando com os dados de conversão de NO com CO e NO com NH3, os catalisadores utilizados apresentaram melhor desempenho para a reação de NO com CO, sendo que  $Ca_{0,9}Sn_{0,9}Cu_{0,1}O_{3-\delta}$  foi o melhor sistema para as duas reações.

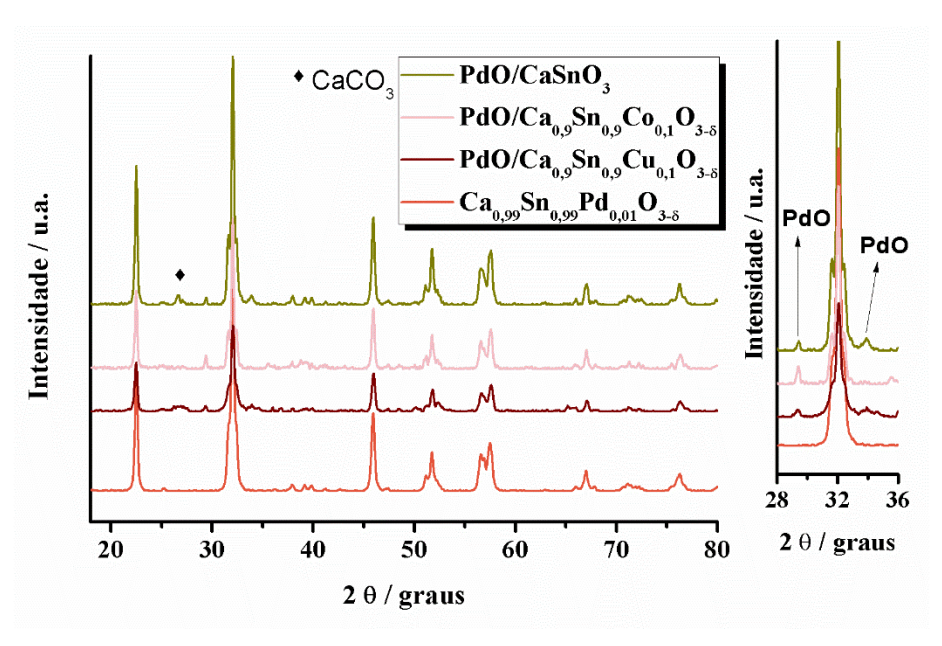
# 4.4.1.1 Perovskitas mássicas dopadas com Pd<sup>2+</sup> ou impregnadas com PdO

### 4.4.1.1.1 <u>Caracterização</u>

Para a incorporação do paládio nas perovskitas, inicialmente optou-se por dois sistemas distintos: dopagem e impregnação. Os sistemas foram codificados como Ca<sub>0,99</sub>Sn<sub>0,99</sub>Pd<sub>0,01</sub>O<sub>3-δ</sub>, para a amostra dopada, e PdO/CaSnO<sub>3</sub>, para a amostra impregnada. Ambos os sistemas continham apenas 1% de Pd.

Na Figura 4.6 são apresentados os difratogramas de raios-X das amostras de  $Ca_{0,99}Sn_{0,99}Pd_{0,01}O_{3-\delta}$ ,  $PdO/CaSnO_3$ ,  $PdO/Ca_{0,9}Sn_{0,9}Co_{0,1}O_{3-\delta}$  e  $PdO/Ca_{0,9}Sn_{0,9}Cu_{0,1}O_{3-\delta}$ .

**Figura 4.6:** Difratogramas de raios-X das amostras de PdO/CaSnO<sub>3</sub>, PdO/Ca<sub>0,9</sub>Sn<sub>0,9</sub>Co<sub>0,1</sub>O<sub>3- $\delta$ </sub> e PdO/Ca<sub>0,9</sub>Sn<sub>0,9</sub>Cu<sub>0,1</sub>O<sub>3- $\delta$ </sub>



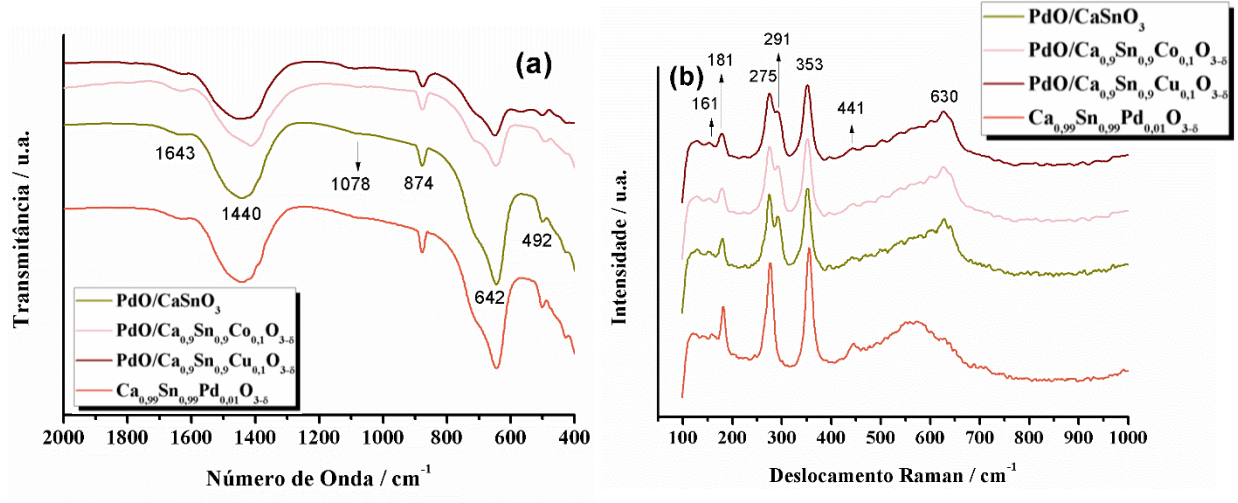
Os espectros mostraram os picos característicos da fase ortorrômbica do CaSnO3. Os sinais em  $2\theta = 29,4^{\circ}$  e  $33,9^{\circ}$  são atribuídos ao PdO, sendo que, este último refere-se ao pico mais intenso (JCPDS 41-1107), confirmando assim a presença do paládio no sistema. Para o Ca $_{0,99}$ Sn $_{0,99}$ Pd $_{0,01}$ O $_{3-\delta}$ , não foram observados picos relativos ao PdO, indicando que este foi incorporado na rede cristalina da perovskita.

Semelhante ao que foi observado neste trabalho, Rodríguez *et al.* (2009) sintetizaram perovskitas de LaFe<sub>0,65</sub>Co<sub>0,35</sub>O<sub>3</sub> e avaliaram a cristalinidade destas perovskitas ao dopar e ao impregná-las com paládio - os autores partiram do Pd(NO<sub>3</sub>)<sub>2</sub> como precursor e a proporção foi de 2% em relação à massa da perovskita. De acordo com os pesquisadores, ao dopar a amostra (LaFe<sub>0,65</sub>Co<sub>0,3</sub>Pd<sub>0,05</sub>O<sub>3</sub>), o difratograma apresentou melhor cristalinidade sem apresentar nenhuma fase secundária, enquanto que ao impregnar (Pd-LaFe<sub>0,65</sub>Co<sub>0,35</sub>O<sub>3</sub>) verificou-se em 2θ ~ 34° a presença da fase tetragonal do PdO.

Tendo em vista que a quantidade do paládio adicionado em relação a massa de perovskita foi de 1%, era esperado que, os picos de difração do Pd fossem menos expressivos, prevalecendo, desta maneira, os picos da perovskita.

Na Figura 4.7 estão dispostos os espectros de infravermelho (a) e Raman (b) das amostras de PdO/CaSnO<sub>3</sub>,  $Ca_{0,99}Sn_{0,99}Pd_{0,01}O_{3-\delta}$ , PdO/Ca<sub>0,9</sub>Sn<sub>0,9</sub>Co<sub>0,1</sub>O<sub>3- $\delta$ </sub> e PdO/Ca<sub>0,9</sub>Sn<sub>0,9</sub>Cu<sub>0,1</sub>O<sub>3- $\delta$ </sub>.

**Figura 4.7:** Espectros de infravermelho (a) e Raman (b) das amostras de  $Ca_{0,99}Sn_{0,99}Pd_{0,01}O_{3-\delta}$ ,  $PdO/CaSnO_3$ ,  $PdO/Ca_{0,9}Sn_{0,9}Co_{0,1}O_{3-\delta}$  e  $PdO/Ca_{0,9}Sn_{0,9}Cu_{0,1}O_{3-\delta}$ .



Os espectros de infravermelho das amostras impregnadas com PdO (Fig. 4.7 a) mostraram bandas características o CaSnO<sub>3</sub> e de carbonatos, conforme descrito anteriormente na Tabela 2.7, não sendo possível a visualização de bandas referentes à vibração de espécies contendo paládio.

De acordo com Kliche (1988) os espectros de IV do PdO devem mostrar duas bandas intensas em 612 e 618 cm<sup>-1</sup>. Desta forma, devido à banda larga e intensa em 642 cm<sup>-1</sup> nos espectros, a visualização pode não ter sido possível devido à sobreposição de bandas.

Nos espectros Raman (Fig. 4.7 b), as bandas localizadas em 161, 181, 275, 353, 441 e 567 cm<sup>-1</sup> referem-se às vibrações do CaSnO<sub>3</sub> e podem ser caracterizadas conforme as descrições na seção 2.4.5. No entanto, as bandas em 291 e 630 cm<sup>-1</sup> nas amostras de PdO/CaSnO<sub>3</sub>, PdO/Ca<sub>0,9</sub>Sn<sub>0,9</sub>Co<sub>0,1</sub>O<sub>3-δ</sub> e PdO/Ca<sub>0,9</sub>Sn<sub>0,9</sub>Cu<sub>0,1</sub>O<sub>3-δ</sub> são atribuídas ao PdO, conforme observado na literatura (BAYLET *et al.*, 2010; ZHAO, ELWOOD e CARPENTER, 2015). Estes resultados corroboram os resultados de difração de raios-X. Novamente, essas bandas não foram observadas na amostra dopada, indicando que o paládio se encontra na rede cristalina da perovskita.

As áreas superficiais para as amostras impregnadas com PdO são apresentadas na Tabela 4.2. Não há variação significativa nas áreas superficiais obtidas, o que está relacionado à pequena quantidade de paládio utilizado.

**Tabela 4.2:** Área superficial específica ( $S_{BET}$ ) das amostras de PdO/Ca $S_{10}$ 0, PdO

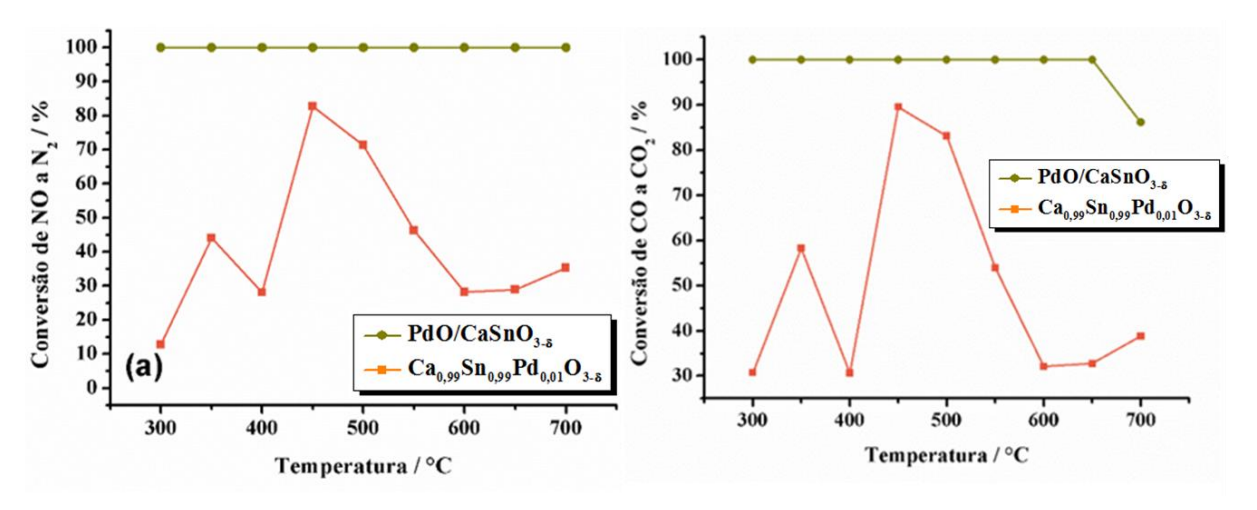
Fórmula	S <sub>BET</sub> (m <sup>2</sup> g <sup>-1</sup> )		
$Ca_{0,99}Sn_{0,99}Pd_{0,01}O_{3-\delta}$	8,9		
PdO/CaSnO₃	10,1		
$PdO/Ca_{0,9}Sn_{0,9}Co_{0,1}O_{3-\delta}$	6,9		
PdO/Ca <sub>0,9</sub> Sn <sub>0,9</sub> Cu <sub>0,1</sub> O <sub>3-δ</sub>	7,8		

Fonte: Própria

# 4.4.1.1.2 Redução de NO com CO e NH₃

Na Figura 4.8 são mostrados os percentuais de conversão de NO e CO pelas perovskitas de CaSnO<sub>3</sub> dopada com Pd<sup>2+</sup> e impregnada com PdO. De acordo com os gráficos, o sistema dopado com Pd<sup>2+</sup> (Ca<sub>0,99</sub>Sn<sub>0,99</sub>Pd<sub>0,01</sub>O<sub>3-δ</sub>) apresentou percentuais de conversão máximos de NO e CO de 83% e 91%, respectivamente, na temperatura de 450°C. No entanto, acima desta temperatura o catalisador tende a desativar. Além disso, as curvas mostraram uma não linearidade, com decaimento entre 350-400°C e entre 450-600°C. Por sua vez, o sistema impregnado com paládio (PdO/CaSnO<sub>3</sub>) mostrou uma eficiência máxima (100%) em todas as temperaturas estudadas.

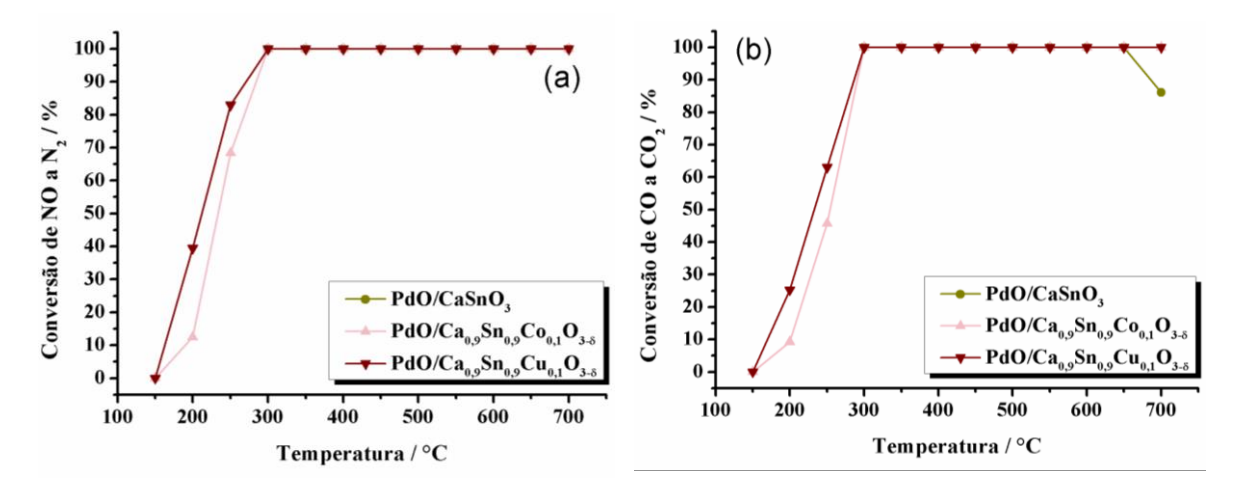
**Figura 4.8:** Conversão catalítica de NO à  $N_2$  (a) e CO à  $CO_2$  (b) pelo  $Ca_{0,99}Sn_{0,99}Pd_{0,01}O_{3-\delta}$  e  $PdO/CaSnO_3$ .



Rodriguez *et al.* (2009) estudaram os sistemas LaFe<sub>0,65</sub>Co<sub>0,3</sub>Pd<sub>0,05</sub>O<sub>3</sub> (dopado) e Pd-LaFe<sub>0,65</sub>Co<sub>0,35</sub>O<sub>3</sub> (impregnado) com paládio na SCR de NO com propeno na faixa de temperatura entre 200-300°C. Os autores observaram que, operando na presença de 1% de O<sub>2</sub>, na faixa de temperatura de 200-250°C, o sistema Pd-LaFe<sub>0,65</sub>Co<sub>0,35</sub>O<sub>3</sub> apresentou eficiência superior ao LaFe<sub>0,65</sub>Co<sub>0,3</sub>Pd<sub>0,05</sub>O<sub>3</sub>. Além disso, verificaram que os dois sistemas sofriam desativação acima de 250°C, sendo a desativação mais expressiva para o sistema dopado.

Diante destas observações, optou-se por investigar apenas os sistemas impregnados com PdO. Na Figura 4.9 são mostrados os percentuais de conversão de NO e CO pelas perovksitas de PdO/CaSnO<sub>3</sub>, PdO/Ca<sub>0,9</sub>Sn<sub>0,9</sub>Cu<sub>0,1</sub>O<sub>3-δ</sub>.

**Figura 4.9:** Conversão catalítica de NO à  $N_2$  (a) e CO à  $CO_2$  (b) pelo PdO/CaSnO<sub>3</sub>, PdO/Ca<sub>0,9</sub>Sn<sub>0,9</sub>Co<sub>0,1</sub>O<sub>3- $\delta$ </sub> e Pd/Ca<sub>0,9</sub>Sn<sub>0,9</sub>Cu<sub>0,1</sub>O<sub>3- $\delta$ </sub>.



Os resultados mostraram que a impregnação de 1% em massa do paládio nas perovkitas promoveu a conversão total de NO e CO em N<sub>2</sub> e CO<sub>2</sub>, para todos os catalisadores estudados em toda a faixa de temperatura investigada (300 - 700°C). Avaliando os percentuais de conversão catalítica em temperaturas inferiores a 300°C, os resultados mostraram que a conversão de NO e CO iniciou-se em temperatura superior a 150°C, sendo que, dos dois catalisadores estudados, entre 150°C – 300°C, as conversões de NO e CO foram mais eficientes com a amostra PdO/Ca<sub>0,9</sub>Sn<sub>0,9</sub>Cu<sub>0,1</sub>O<sub>3-δ</sub>.

Estes dados indicam que os referidos catalisadores poderão ser utilizados em sistemas que operam desde 300 até 700°C, sem sofrer perda na eficiência catalítica durante o processo.

Embora os difratogramas de raios-X (Fig. 4.6) e os espectros Raman (Fig. 4.7) das amostras impregnadas com paládio tenham apresentado a fase PdO, a literatura mostra que a adsorção de NO sobre este óxido disperso na perovskita pode levar a redução do Pd<sup>2+</sup> a Pd<sup>+</sup> e/ou Pd<sup>0</sup>, e como consequência o favorecimento da reação de decomposição de NO. Este fenômeno tem sido observado em alguns

trabalhos da literatura (OKUMURA *et al.*, 2000; VIJAYANAND *et al*, 2003; KANTCHEVA e CAYIRTEPE, 2006).

Okumura et al. (2000), avaliaram a mudança estrutural do PdO depositado sobre a zeólita ZSM-5 devido à adsorção de óxido nítrico. Os pesquisadores verificaram que a adsorção de NO sobre o PdO, disperso na zeólita, promoveu mudança na valência do paládio. Tal modificação favoreceu significativamente os resultados catalíticos.

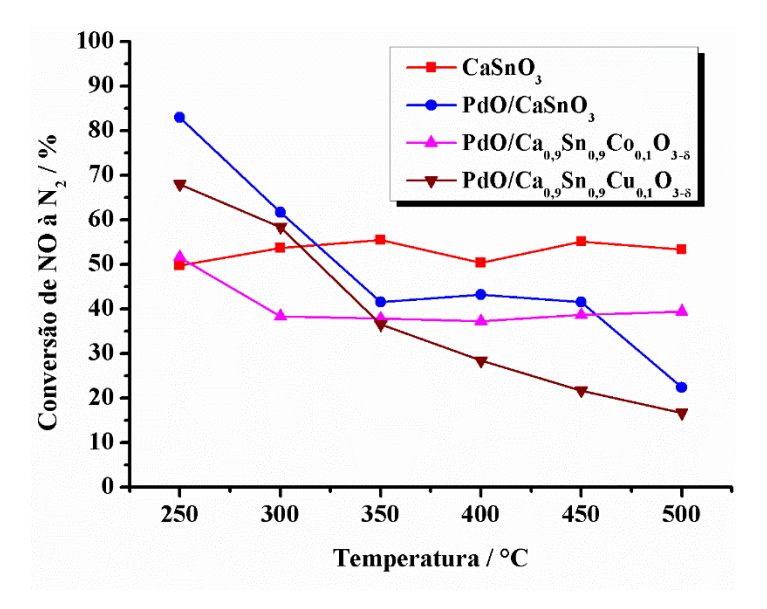
Kantcheva e Cayirtepe (2006) estudaram a formação de complexos de NO<sub>x</sub> adsorvidos sobre zircônia tungstada impregnada com paládio (Pd/WO<sub>3</sub>–ZrO<sub>2</sub>). Eles observaram, avaliando os espectros de infravermelho do NO, que na temperatura ambiente ocorreu a adsorção de Pd<sup>2+</sup>–NO. Entretanto, aumentando a temperatura para 350 °C, os sinais associados a estas vibrações desapareceram, ficando expressivos os modos vibracionais referentes ao Pd<sup>+</sup>–NO. Este último apresentou elevada estabilidade térmica e, segundo os autores, foi o responsável pela oxidação de NO.

Utilizando o mesmo material (Pd/WO<sub>3</sub>–ZrO<sub>2</sub>), Vijayanand *et al.* (2003) reportaram que em temperatura ambiente, o Pd<sup>2+</sup> é reduzido em atmosfera de CO e adsorção pode ocorrer pelas espécies Pd<sup>+</sup>–CO e/ ou Pd<sup>0</sup>–CO.

Partindo destes resultados, acreditamos que, no presente trabalho, a impregnação do PdO sobre a perovskita apresentou maior eficiência catalítica, na conversão de NO com CO, devido à distribuição deste metal sobre a superfície do material, o que permite um maior acesso das espécies gasosas ao paládio, uma vez que, na amostra dopada, o metal paládio encontra-se no interior da estrutura. Além disso, a adsorção de NO e/ou CO sobre o Pd<sup>2+</sup>, disperso sobre a perovskita, possivelmente favoreceu a redução do Pd<sup>2+</sup> beneficiando a conversão catalítica.

Uma avaliação dos catalisadores impregnados com PdO foi realizada para a conversão de NO com NH<sub>3</sub>. Os percentuais de conversão estão dispostos na Figura 4.10.

**Figura 4.10:** Conversão catalítica de NO com NH<sub>3</sub> pelas perovskitas CaSnO<sub>3</sub>, PdO/CaSnO<sub>3</sub>, PdO/Ca<sub>0,9</sub>Sn<sub>0,9</sub>Co<sub>0,1</sub>O<sub>3- $\delta$ </sub> e PdO/Ca<sub>0,9</sub>Sn<sub>0,9</sub>Cu<sub>0,1</sub>O<sub>3- $\delta$ </sub>.



De acordo com o gráfico, as amostras PdO/CaSnO<sub>3</sub> e PdO/Ca<sub>0,9</sub>Sn<sub>0,9</sub>Cu<sub>0,1</sub>O<sub>3-δ</sub> apresentaram percentuais de conversão superiores ao CaSnO<sub>3</sub> entre 250-300°C, no entanto, em temperaturas superiores a 300°C, a impregnação desfavoreceu todos os catalisadores impregnados.

A literatura tem reportado que a oxidação catalítica de NH<sub>3</sub> pode promover a formação de NO, N<sub>2</sub>O e N<sub>2</sub> (PIGNET e SCHMIDIT, 1975; LIN *et al.*, 2004; LIPPTIS, GLUHOI e NIEUWENHUYS, 2008), conforme as Equações 4.7 – 4.9.

Pignet e Schmidt (1975) estudaram a cinética de oxidação do NH<sub>3</sub> sobre os catalisadores Pt<sup>0</sup>, Rh<sup>0</sup> e Pd<sup>0</sup>, em função da temperatura. Os autores reportaram que a reação entre NH<sub>3</sub> e O<sub>2</sub> promove a formação de NO em temperaturas superiores a 400 °C. Além disso, eles verificaram que entre 400 °C e 700 °C, a oxidação do NH<sub>3</sub> sobre Pd<sup>0</sup> apresentou um crescimento linear na taxa de formação de NO, e que, mesmo variando o percentual de NH<sub>3</sub> (10 % – 50 %), em excesso de O<sub>2</sub>, a taxa de formação de NO apresentou o mesmo perfil. Resultados semelhantes foram obtidos

por Schäffer *et al.* (2013) ao estudarem a oxidação de NH<sub>3</sub> sob Pt. Neste trabalho, os autores mostraram que entre 200 °C – 800°C a taxa molar de formação de NO foi superior à de N<sub>2</sub> e N<sub>2</sub>O, indicando, portanto, uma elevada seletividade para NO.

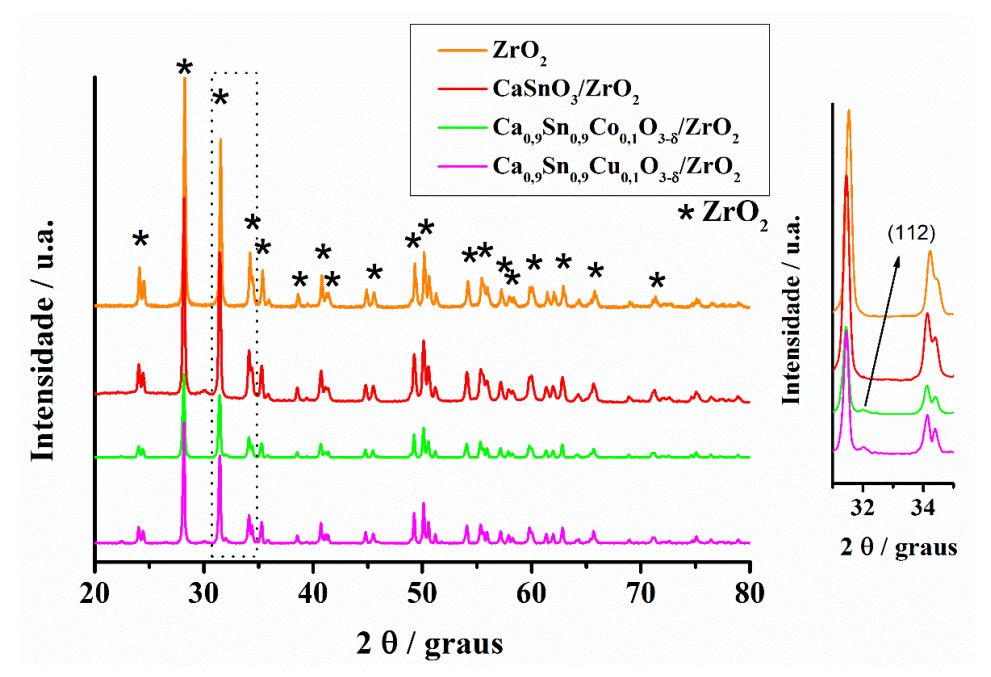
Baseado nestes resultados, os dados da Fig. 4.10 indicam que, em temperaturas superiores a 300 °C, a oxidação de NH<sub>3</sub> a NO está sendo favorecida pelo Pd presente nas amostras impregnadas. Sendo assim, o que está ocorrendo é uma competição entre as reações de *SCR* do NO e oxidação de NH<sub>3</sub>. Isto explica a diminuição nos percentuais de conversão de NO em N<sub>2</sub>. Esta observação pode ser melhor evidenciada comparando os percentuais de conversão de NO em N<sub>2</sub> pelos catalisadores Ca<sub>0,9</sub>Sn<sub>0,9</sub>Cu<sub>0,1</sub>O<sub>3-δ</sub> e PdO/Ca<sub>0,9</sub>Sn<sub>0,9</sub>Cu<sub>0,1</sub>O<sub>3-δ</sub> (Fig. 4.5 e 4.10). Os dados mostraram que o catalisador que não foi impregnado com PdO apresentou elevados percentuais de conversão à medida que a temperatura aumentou (T > 300 °C), por sua vez, um comportamento contrário é observado para a amostra impregnada.

# 4.4.2 Perovskitas suportadas em ZrO<sub>2</sub>

### 4.4.2.1 Caracterização

A Figura 4.11 mostra os difratogramas de raios-X das amostras de ZrO<sub>2</sub>, Ca<sub>0,9</sub>Sn<sub>0,9</sub>CoO<sub>3-δ</sub>/ZrO<sub>2</sub> e do Ca<sub>0,9</sub>Sn<sub>0,9</sub>CuO<sub>3-δ</sub>/ZrO<sub>2</sub> calcinadas a 800 °C/ 4 h. Os picos de difração na amostra de ZrO<sub>2</sub> foram indexados segundo a ficha cristalográfica JCPDS n° 37-1484.

**Figura 4.11:** Difratogramas de raios-X do  $ZrO_2$ ,  $CaSnO_3$  e  $Ca_{0,9}Sn_{0,9}M_{0,1}O_3$  (M =  $Co^{2+}$ ,  $Cu^{2+}$ ) suportados em  $ZrO_2$ . Em destaque, é apresentado o pico principal da perovskita.

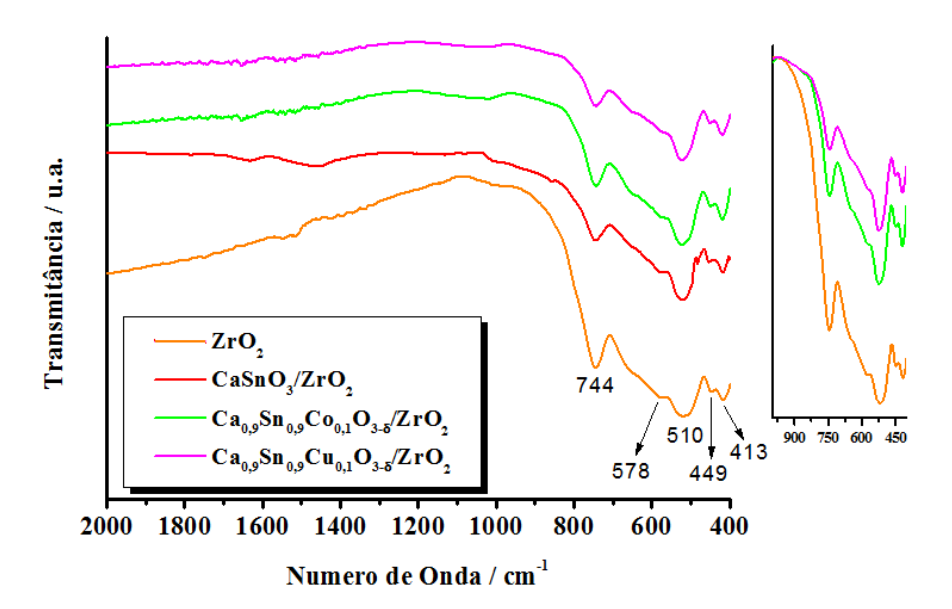


De acordo com os difratogramas mostrados na Figura 4.11, verificou-se que os picos da fase monoclínica do  $ZrO_2$  prevaleceram nas amostras de  $CaSnO_3/ZrO_2$ ,  $Ca_{0,9}Sn_{0,9}Co_{0,1}O_{3-\delta}/ZrO_2$  e  $Ca_{0,9}Sn_{0,9}Cu_{0,1}O_{3-\delta}/ZrO_2$ . O pico em  $2\theta = 32^{\circ}$  (*inset*) corresponde ao plano (112) referente ao pico de maior intensidade do  $CaSnO_3$  ortorrômbico.

Na Figura 4.12 são mostrados os espectros de infravermelho do ZrO<sub>2</sub> e das amostras suportadas em ZrO<sub>2</sub>, calcinadas a 800 °C/ 4 h.

As vibrações na região do infravermelho, associadas aos estiramentos para o ZrO<sub>2</sub>, foram identificadas em 410 cm<sup>-1</sup> e 445 cm<sup>-1</sup> (dubletos), 500 cm<sup>-1</sup>, 572 cm<sup>-1</sup>, 740 cm<sup>-1</sup>, 1104 cm<sup>-1</sup> e 1187 cm<sup>-1</sup> (POWERS e GRAY, 1972). Particularmente, as bandas na região de 500 cm<sup>-1</sup> e 740 cm<sup>-1</sup> estão associadas com o estiramento assimétrico Zr-O e as ligações Zr-O<sub>2</sub>-Zr, respectivamente (SAHU e RAO, 2000).

**Figura 4.12:** Espectros de infravermelho das amostras do ZrO<sub>2</sub> e do CaSnO<sub>3</sub> dopado com Co<sup>2+</sup> e Cu<sup>2+</sup> suportados em ZrO<sub>2</sub>.



O espectro de ZrO<sub>2</sub> apresentou 5 bandas relacionadas com as vibrações características deste óxido. Estas foram localizadas em 413 cm<sup>-1</sup>, 449 cm<sup>-1</sup>, 510 cm<sup>-1</sup> (relacionada com estiramento assimétrico Zr-O), 578 cm<sup>-1</sup>, 744 cm<sup>-1</sup> (relacionado com a ligação Zr-O<sub>2</sub>-Zr).

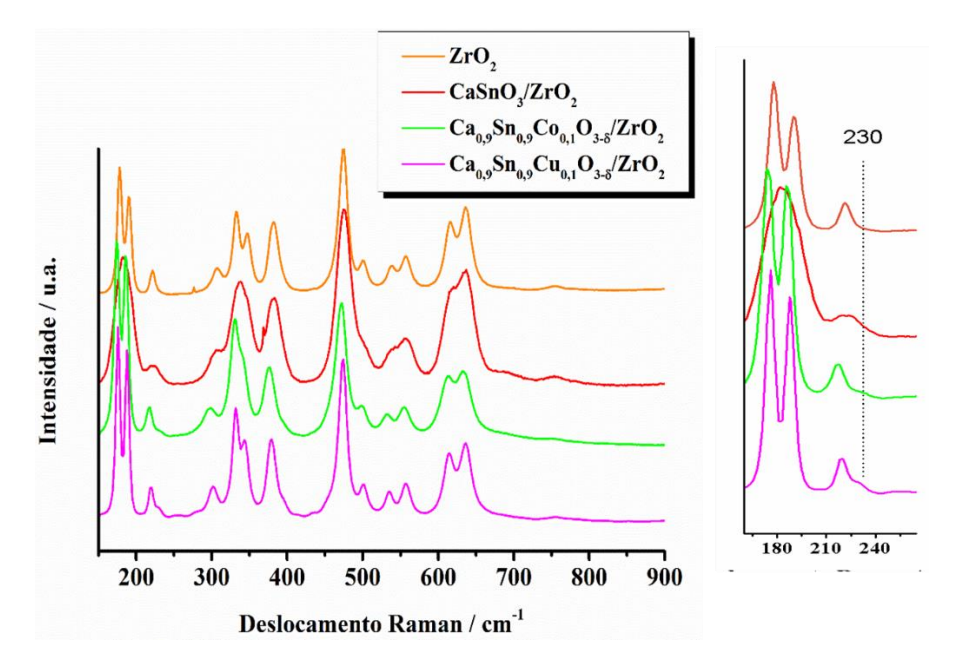
Em todos os espectros, as vibrações da zircônia foram bastante visíveis, e devido à sobreposição e ao alargamento das bandas na região entre 400-900 cm<sup>-1</sup>, os modos referentes ao CaSnO<sub>3</sub> não foram visualizados. No entanto, uma redução significativa na intensidade das bandas das amostras de CaSnO<sub>3</sub>/ZrO<sub>2</sub>, CaO<sub>,9</sub>Sn<sub>0,9</sub>CoO<sub>3-δ</sub>/ZrO<sub>2</sub> e Ca<sub>0,9</sub>Sn<sub>0,9</sub>CuO<sub>3-δ</sub>/ZrO<sub>2</sub>, na região mencionada, foi observada (*insert* na Figura 4.12). Este comportamento ocorre devido a uma parte da radiação incidida na amostra ter sido absorvida pelas perovskitas.

Na Figura 4.13 estão dispostos os espectros Raman das amostras de ZrO<sub>2</sub> e das perovskitas depositadas em ZrO<sub>2</sub> calcinadas a 800 °C/ 4 h.

Para a amostra de ZrO<sub>2</sub>, 14 bandas no espectro foram identificadas com seus respectivos modos vibracionais na região de 105 cm<sup>-1</sup> (A<sub>g</sub>), 178 cm<sup>-1</sup> (A<sub>g</sub>), 191 cm<sup>-1</sup> (A<sub>g</sub>), 222 cm<sup>-1</sup> (B<sub>g</sub>), 307 cm<sup>-1</sup> (A<sub>g</sub>), 334 cm<sup>-1</sup> (B<sub>g</sub>), 348 cm<sup>-1</sup> (Ag), 383 cm<sup>-1</sup> (B<sub>g</sub>), 475 cm<sup>-1</sup> (A<sub>g</sub>), 501 cm<sup>-1</sup> (B<sub>g</sub>), 537 cm<sup>-1</sup> (B<sub>g</sub>), 557 cm<sup>-1</sup> (A<sub>g</sub>), 617 cm<sup>-1</sup> (B<sub>g</sub>) e 637 cm<sup>-1</sup> (B<sub>g</sub>). Estes valores condizem com os reportados por Siu *et al.* (1999) confirmados por

Anastassakis e Asher (1974). Uma banda de baixa intensidade em 757 cm<sup>-1</sup> foi observada, mas de acordo com a literatura citada, nenhum modo foi atribuído.

**Figura 4.13:** Espectros de Raman do ZrO<sub>2</sub>, CaSnO<sub>3</sub> e do CaSnO<sub>3</sub> dopado com Co e Cu suportados em ZrO<sub>2</sub>.



Mediante a visualização dos espectros Raman das perovskitas de CaSnO<sub>3</sub>/ZrO<sub>2</sub>, Ca<sub>0,9</sub>Sn<sub>0,9</sub>Co<sub>0,1</sub>O<sub>3-δ</sub>/ZrO<sub>2</sub> e Ca<sub>0,9</sub>Sn<sub>0,9</sub>Cu<sub>0,1</sub>O<sub>3-δ</sub>/ZrO<sub>2</sub> foi possível identificar que os modos referente ao suporte foram mais expressivos, no entanto, um pequeno ombro foi observado em 230 cm<sup>-1</sup>. Este está associado com os modos vibracionais referentes ao CaSnO<sub>3</sub> (deslocados), o que confirma a deposição.

A Tabela 4.3 apresenta os valores da área superficial específica para as amostras depositadas em ZrO<sub>2</sub>. Os resultados indicaram que não houve variações significativas.

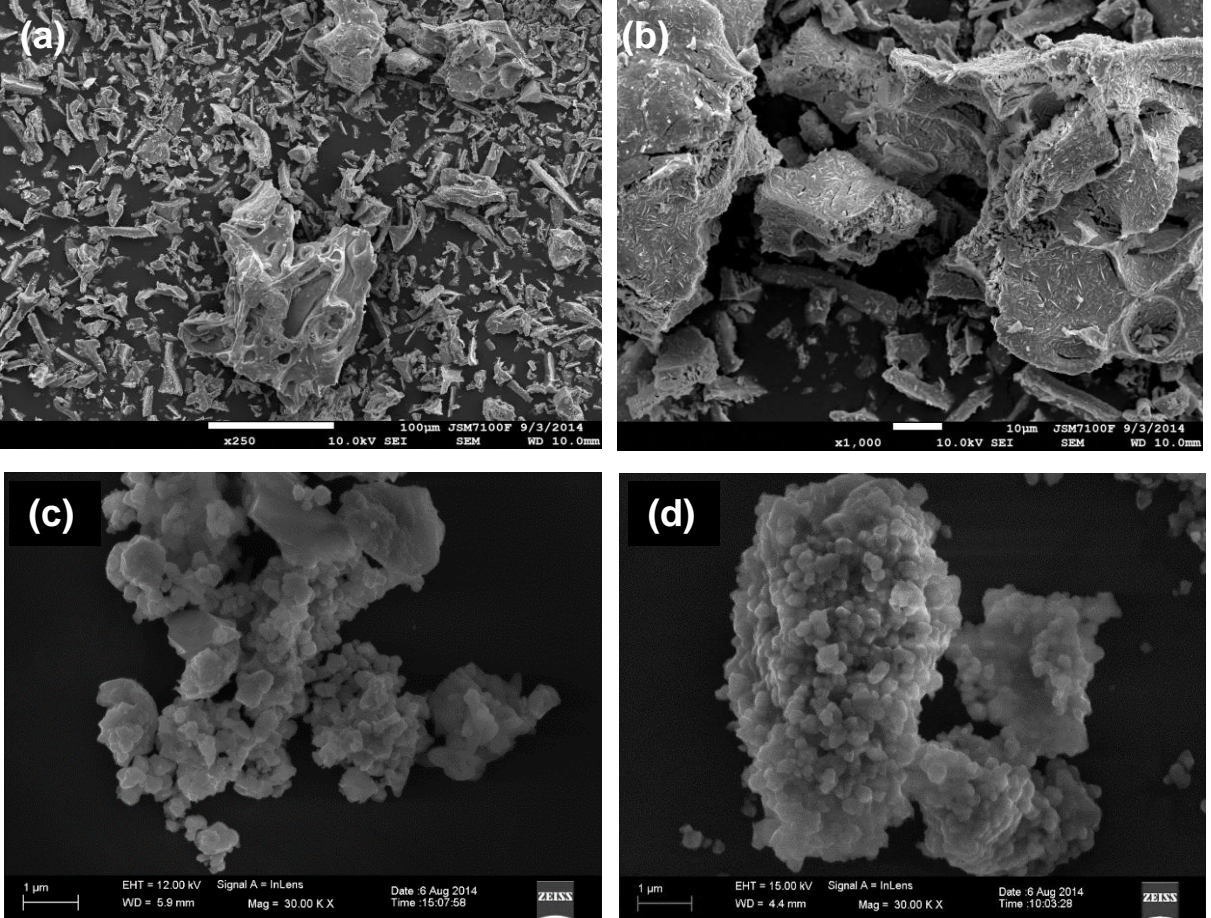
**Tabela 4.3:** Área superficial específica (S<sub>BET</sub>) das amostras de ZrO<sub>2</sub>, Ca<sub>0,9</sub>Sn<sub>0,9</sub>Co<sub>0,1</sub>O<sub>3- $\delta$ </sub>/ZrO<sub>2</sub> e Ca<sub>0,9</sub>Sn<sub>0,9</sub>Cu<sub>0,1</sub>O<sub>3- $\delta$ </sub>/ZrO<sub>2</sub>.

Fórmula	S <sub>BET</sub> (m <sup>2</sup> g <sup>-1</sup> )		
ZrO <sub>2</sub>	3,9		
CaSnO <sub>3</sub> /ZrO <sub>2</sub>	3,7		
$Ca_{0,9}Sn_{0,9}Co_{0,1}O_{3-\delta}\ /ZrO_{2}$	3,8		
Ca <sub>0,9</sub> Sn <sub>0,9</sub> Cu <sub>0,1</sub> O <sub>3-δ</sub> /ZrO <sub>2</sub>	3,5		

Fonte: Própria

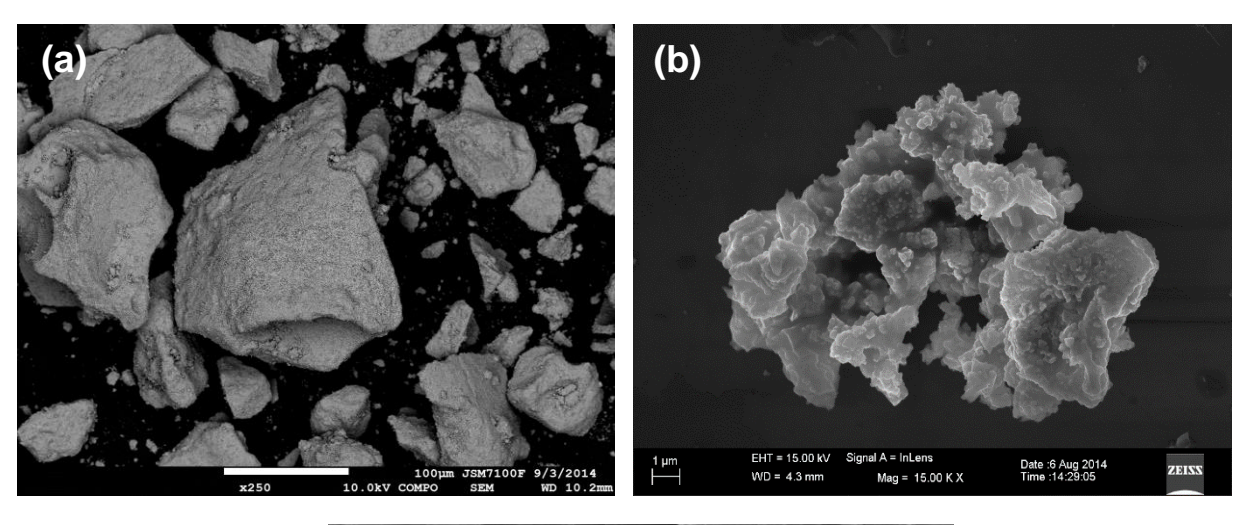
As Figuras 4.14 e 4.15 apresentam as imagens de MEV-EC para as amostras de CaSnO<sub>3</sub> e Ca<sub>0,9</sub>Sn<sub>0,9</sub>Cu<sub>0,1</sub>O<sub>3-δ</sub> depositadas em ZrO<sub>2</sub>, respectivamente. O objetivo primordial destas micrografias reside na observação da morfologia dos sistemas assim como da dispersão dos catalisadores sobre o suporte.

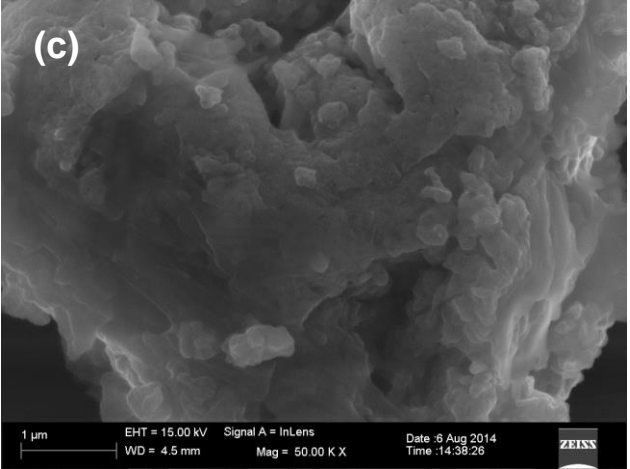
Figura 4.14: Micrografias de MEV-EC da amostra de CaSnO₃ com diferentes ampliações



As micrografias de MEV-EC do CaSnO<sub>3</sub> mostraram que as amostras apresentam uma tendência ao estado de agregação das partículas, que leva a formação de estruturas de aglomerados, com morfologia irregular. Observou-se que as amostras são constituídas de aglomerados menores adsorvidos em aglomerados maiores.

**Figura 4.15:** Micrografias de MEV-EC da amostra de Ca<sub>0,9</sub>Sn<sub>0,9</sub>Cu<sub>0,1</sub>O<sub>3-δ</sub> depositadas em ZrO<sub>2</sub> com diferentes ampliações

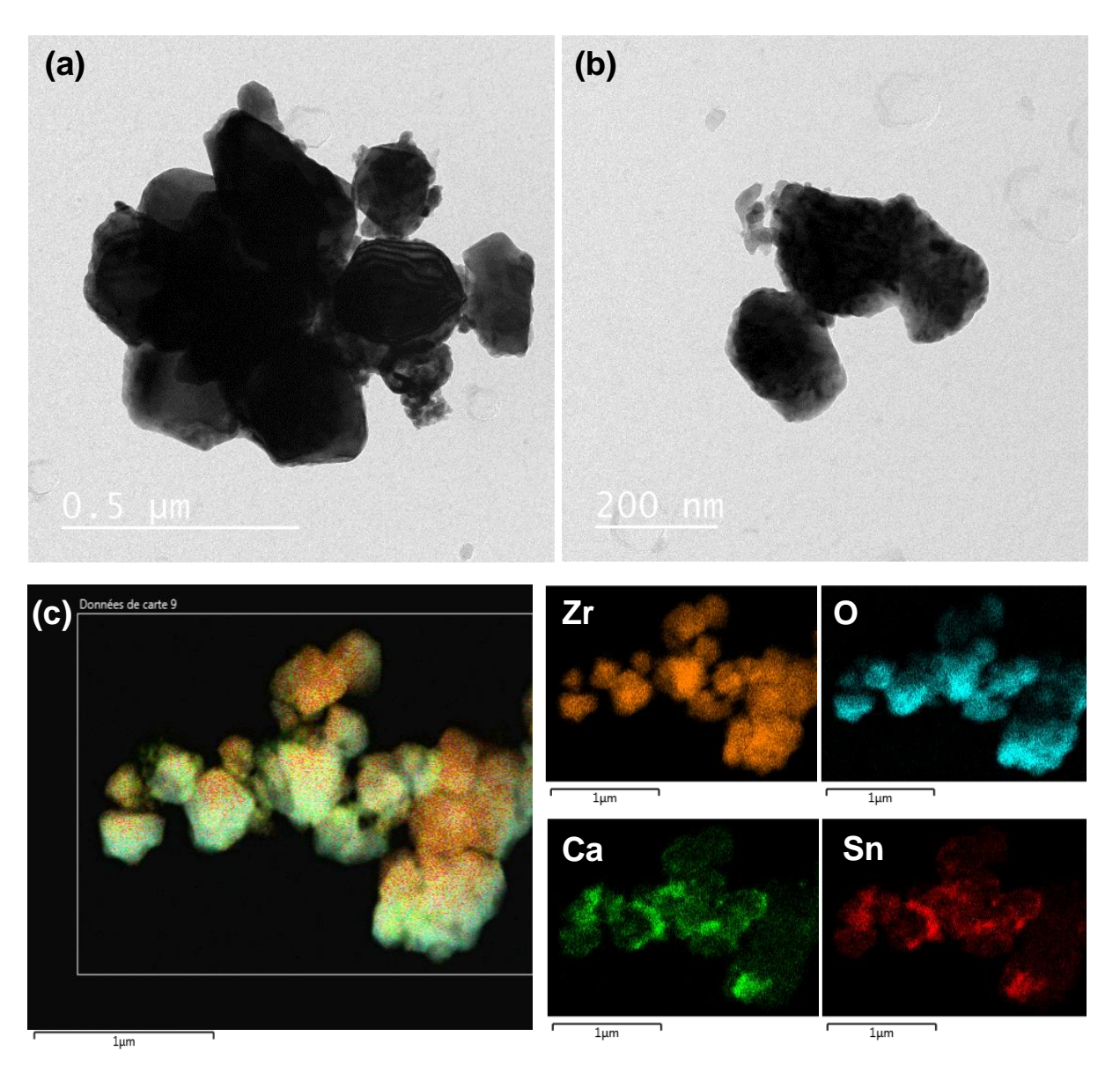




Nas amostras de Ca<sub>0,9</sub>Sn<sub>0,9</sub>Cu<sub>0,1</sub>O<sub>3-δ</sub> depositadas em ZrO<sub>2</sub> verificou-se uma dispersão uniforme da fase ativa sobre o suporte, sendo que em algumas regiões ocorreu aglomeração de partículas. Apesar disso, a maior amplificação destas áreas não confirmou a presença de duas fases.

Desta forma, foi realizada uma avaliação por microscopia eletrônica de transmissão (MET) com mapeamento por espectroscopia de energia dispersiva (EDS) de modo a confirmar a deposição da fase ativa sobre o suporte. As micrografias de MET e mapeamento por EDS da amostra de CaSnO<sub>3</sub> depositada em ZrO<sub>2</sub> são mostradas na Figura 4.16.

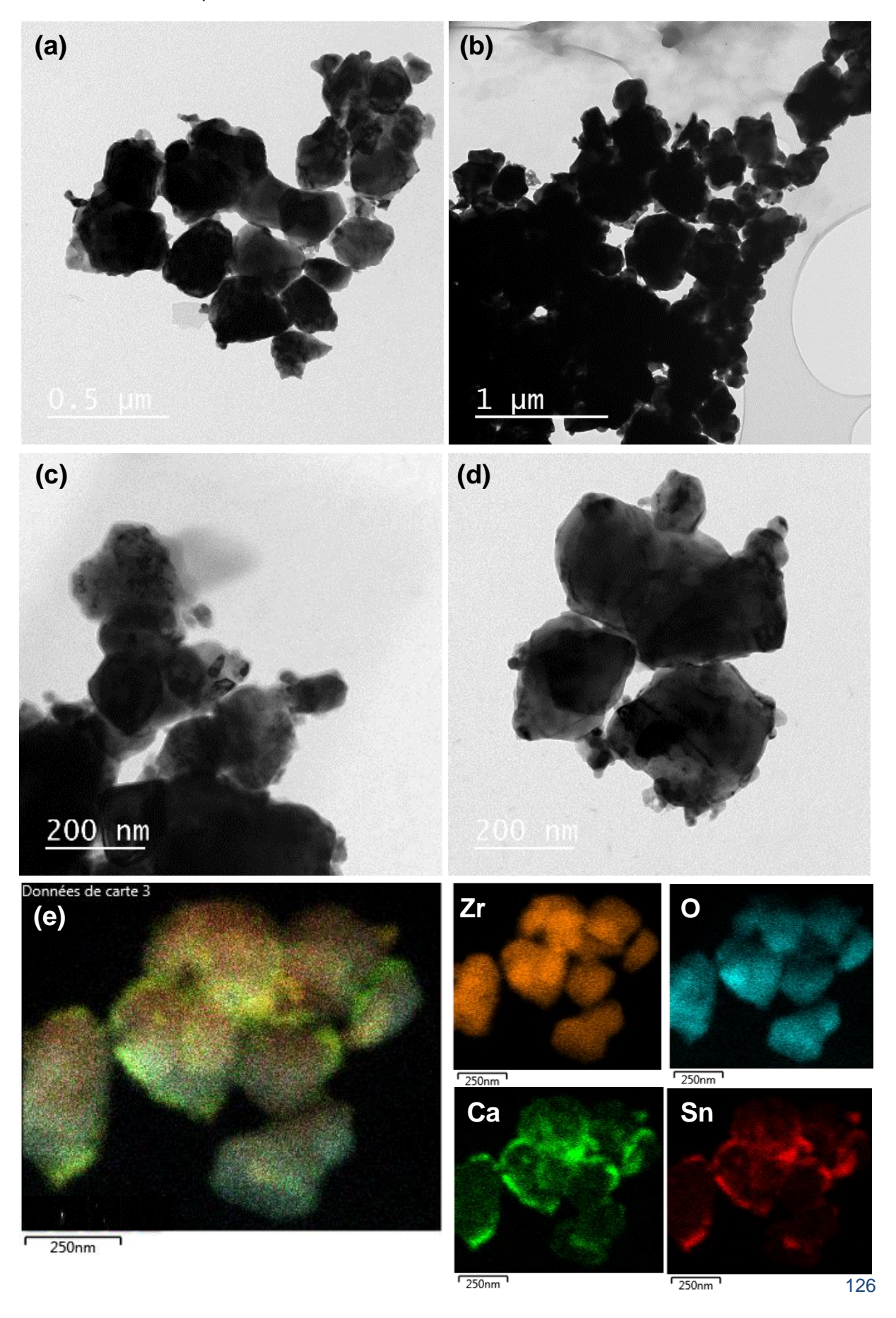
Figura 4.16: (a), (b) Micrografias de MET e (c) mapeamento por EDS da amostra de CaSnO<sub>3</sub>/ZrO<sub>2</sub>



As imagens de MET mostradas em (a) e (b) da Figura 4.16 confirmam a presença de duas fases, sendo possível perceber que a fase mais clara se concentra por toda a amostra principalmente entre as partículas mais escuras. Baseado no mapeamento por EDS mostrado na imagem (c), nota-se que a fase ativa (CaSnO<sub>3</sub>) de fato recobre toda a amostra, com uma maior concentração sendo verificada entre as partículas, sugerindo assim a formação de um sistema core @Shell.

O mesmo comportamento foi observado na a amostra de  $Ca_{0,9}Sn_{0,9}Cu_{0,1}O_{3-\delta}$  depositadas em  $ZrO_2$  (Figura 4.17).

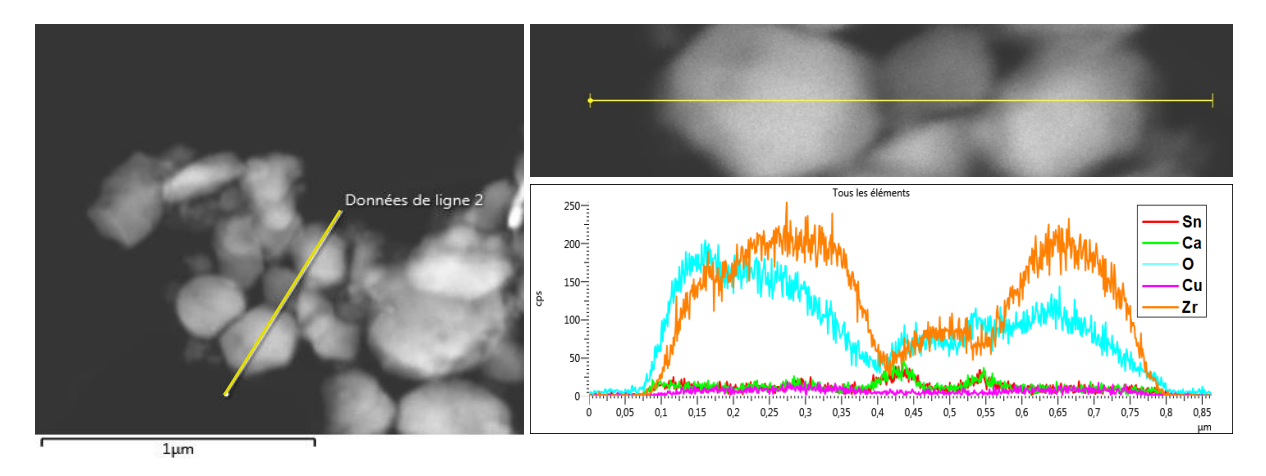
**Figura 4.17:** (a), (b), (c), (d) Micrografias de MET e (e) mapeamento por EDS da amostra de  $Ca_{0,9}Sn_{0,9}Cu_{0,1}O_{3-\delta}$  depositada em  $ZrO_2$ 



Comparando as morfologias do CaSnO<sub>3</sub> e os sistemas *Core* @shell pode ser proposto que o processo de deposição levou à formação de partículas nanométricas sobre o suporte, provavelmente devido a um processo de nucleação heterogênea.

Na Figura 4.18 é mostrada a frequência dos sinais dos elementos Zr, O, Ca, Sn e Cu na região demarcada pela linha amarela para a amostra de Ca<sub>0,9</sub>Sn<sub>0,9</sub>Cu<sub>0,1</sub>O<sub>3-δ</sub> depositadas em ZrO<sub>2</sub>. Esta avaliação confirma que uma maior intensidade de Ca e Sn e Cu encontra-se em toda a superfície, no entanto, a maior frequência dos sinais está ente as partículas de ZrO<sub>2</sub>.

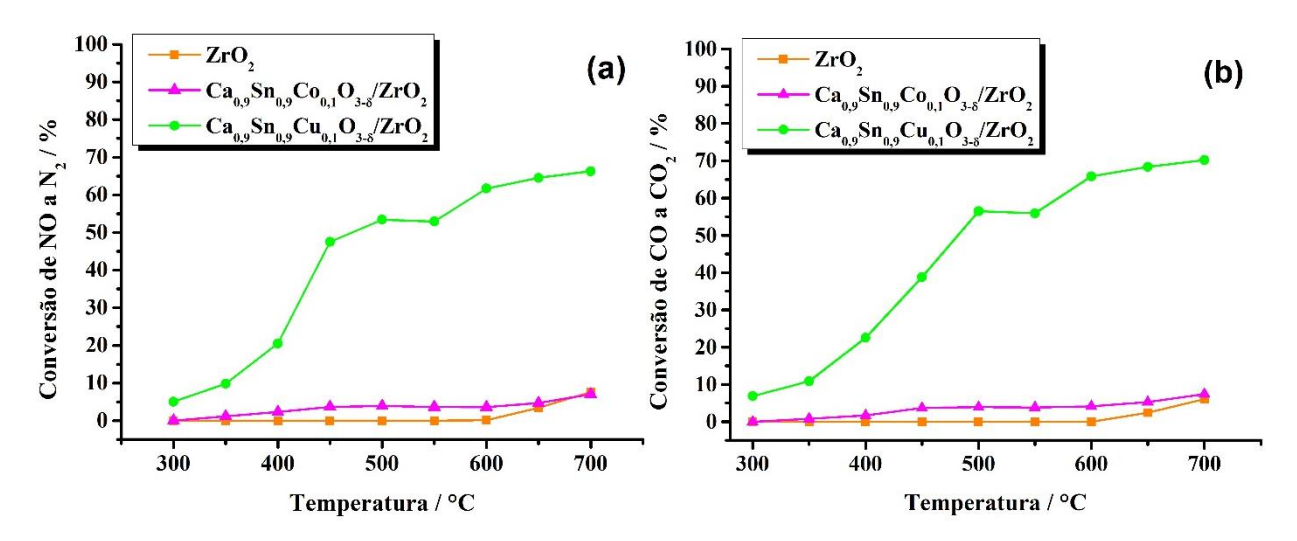
**Figura 4.18:** Mapeamento por EDS da amostra de Ca₀,9Sn₀,9Cu₀,1O₃-₅ depositada em ZrO₂, avaliação da região demarcada pela linha amarela



### 4.4.2.2 Redução de NO com CO e NH3

Os resultados dos percentuais de conversão de NO e CO pelo suporte  $ZrO_2$  e pelas perovskitas de  $Ca_{0,9}Sn_{0,9}Co_{0,1}O_{3-\delta}$  e  $Ca_{0,9}Sn_{0,9}Cu_{0,1}O_{3-\delta}$  depositadas em  $ZrO_2$  são apresentados na Figura 4.19.

**Figura 4.19:** Conversão catalítica de (a) NO à  $N_2$  e (b) CO à  $CO_2$  pelo  $ZrO_2$ ,  $Ca_{0,9}Sn_{0,9}Co_{0,1}O_{3-\delta}/ZrO_2$  e  $Ca_{0,9}Sn_{0,9}Cu_{0,1}O_{3-\delta}/ZrO_2$ .



De acordo com os resultados mostrados nas Figuras 4.4 e 4.19, o sistema Ca<sub>0,9</sub>Sn<sub>0,9</sub>Co<sub>0,1</sub>O<sub>3-δ</sub>/ZrO<sub>2</sub> não apresentou conversões catalíticas satisfatórias, mantendo praticamente o mesmo perfil do suporte (ZrO<sub>2</sub>). Fato que pode ser associado com a formação de aglomerados de fase ativa sobre a superfície do suporte. Por outro lado, o sistema Ca<sub>0,9</sub>Sn<sub>0,9</sub>Cu<sub>0,1</sub>O<sub>3-δ</sub>/ZrO<sub>2</sub> mostrou um perfil quase que linear atingindo 70% de conversão (na temperatura de 700°C) tanto para NO quanto para o CO.

Na Tabela 4.4 são mostrados os valores da taxa molar ( $T_M$ ) de conversão de NO em função da massa de fase ativa para as amostras  $Ca_{0,9}Sn_{0,9}Cu_{0,1}O_{3-\delta}$  e  $Ca_{0,9}Sn_{0,9}Cu_{0,1}O_{3-\delta}/ZrO_2$ , na temperatura de 700 °C.

**Tabela 4.4:** Taxa molar de conversão de NO em  $N_2$  por grama de fase ativa, para a reação de NO com CO, para as amostras de  $Ca_{0,9}Sn_{0,9}Cu_{0,1}O_{3-\delta}$  e  $Ca_{0,9}Sn_{0,9}Cu_{0,1}O_{3-\delta}/ZrO_2$ , na temperatura de 700 °C.

Catalisador	m (g)	c (%)	T <sub>M</sub> (mol g <sup>-1</sup> min <sup>-1</sup> )
Ca <sub>0,9</sub> Sn <sub>0,9</sub> Cu <sub>0,1</sub> O <sub>3-δ</sub>	0,10	100	56
$Ca_{0,9}Sn_{0,9}Cu_{0,1}O_{3-\delta}/ZrO_{2}$	0,01	70	390

m: massa de fase ativa; c= conversão de NO em N2

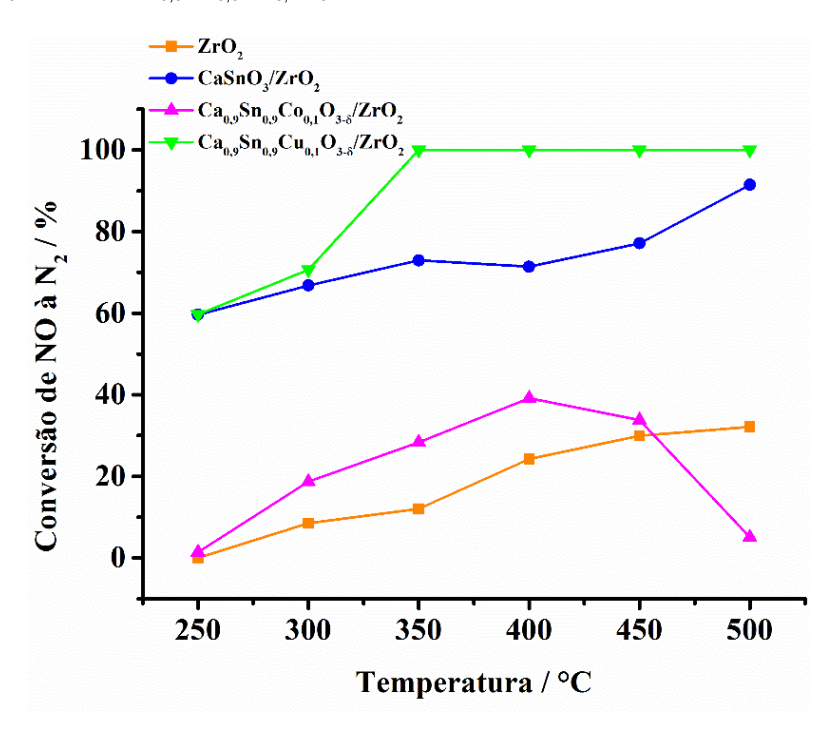
Fonte: Própria.

De acordo com os valores apresentados na Tabela 4.4 verificou-se que o catalisador Ca<sub>0,9</sub>Sn<sub>0,9</sub>Cu<sub>0,1</sub>O<sub>3-δ</sub> apresentou conversão total de NO em N<sub>2</sub>, enquanto que o Ca<sub>0,9</sub>Sn<sub>0,9</sub>Cu<sub>0,1</sub>O<sub>3-δ</sub>/ZrO<sub>2</sub> converteu 70% do gás NO. Entretanto, a massa de

fase ativa utilizada neste último corresponde a apenas 10% da massa total do catalisador. Desta forma, ao avaliar a taxa molar de conversão de NO, têm-se que o valor de T<sub>M</sub> para o sistema Ca<sub>0,9</sub>Sn<sub>0,9</sub>Cu<sub>0,1</sub>O<sub>3-δ</sub>/ZrO<sub>2</sub> foi 7 vezes maior que o Ca<sub>0,9</sub>Sn<sub>0,9</sub>Cu<sub>0,1</sub>O<sub>3-δ</sub> mássico.

Semelhante ao realizado com as perovskitas mássicas, os catalisadores Ca<sub>0,9</sub>Sn<sub>0,9</sub>Co<sub>0,1</sub>O<sub>3-5</sub>/ZrO<sub>2</sub> e Ca<sub>0,9</sub>Sn<sub>0,9</sub>Cu<sub>0,1</sub>O<sub>3-5</sub>/ZrO<sub>2</sub> foram avaliados na redução de NO com NH<sub>3</sub>. A Figura 4.20 mostra os resultados da conversão de NO à N<sub>2</sub>.

**Figura 4.20:** Conversão catalítica de NO com NH $_3$  pelas perovskitas CaSnO $_3$ /ZrO $_2$  e Ca $_{0,9}$ Sn $_{0,9}$ Cu $_{0,1}$ O $_3$ - $_5$ /ZrO $_2$  e Ca $_{0,9}$ Sn $_{0,9}$ Cu $_{0,1}$ O $_3$ - $_5$ /ZrO $_2$ 



Em comparação com os resultados apresentados na Fig. 4.5, os dados da Fig. 4.20 mostraram que o suporte (ZrO<sub>2</sub>) apresentou um pequeno percentual de conversão, atingindo pouco mais que 32% na temperatura de 500°C. Ao depositar a perovskita não dopada no suporte (CaSnO<sub>3</sub>/ZrO<sub>2</sub>) verificou-se um aumento significativo na conversão de NO em N<sub>2</sub>, alcançando percentual máximo de 92% na temperatura de 500°C. Proporcionalmente, nesta temperatura, a deposição de 10% em massa de fase ativa (CaSnO<sub>3</sub>) no ZrO<sub>2</sub> aumentou em 60% o percentual de conversão catalítica.

A amostra Ca<sub>0,9</sub>Sn<sub>0,9</sub>Co<sub>0,1</sub>O<sub>3-δ</sub>/ZrO<sub>2</sub> apresentou percentuais de conversão ligeiramente superiores ao suporte na faixa de temperatura entre 250-400°C, atingindo percentual máximo de 40% em 400°C, sendo que acima desta temperatura o catalisador sofre desativação. Um comportamento semelhante foi observado para este catalisador mássico. Esta observação foi discutida na seção 4.4.1.

Por sua vez, o sistema Ca<sub>0,9</sub>Sn<sub>0,9</sub>Cu<sub>0,1</sub>O<sub>3-δ</sub>/ZrO<sub>2</sub> mostrou um percentual de conversão considerável, apresentando 100% de conversão em temperaturas superiores a 350 °C. Ao comparar os valores da taxa molar de conversão de NO (T<sub>M</sub>) (Tab. 4.5) das amostras de Ca<sub>0,9</sub>Sn<sub>0,9</sub>Cu<sub>0,1</sub>O<sub>3-δ</sub> (mássica) e Ca<sub>0,9</sub>Sn<sub>0,9</sub>Cu<sub>0,1</sub>O<sub>3-δ</sub>/ZrO<sub>2</sub> (10% de fase ativa), tem-se que a deposição da perovskita dopada com Cu<sup>2+</sup> sob ZrO<sub>2</sub> apresentou T<sub>M</sub> 16 vezes maior que a T<sub>M</sub> da amostra Ca<sub>0,9</sub>Sn<sub>0,9</sub>Cu<sub>0,1</sub>O<sub>3-δ</sub> não suportada.

**Tabela 4.5:** Taxa molar de conversão de NO em  $N_2$  por grama de fase ativa, para a reação de NO com NH<sub>3</sub>, para as amostras de  $Ca_{0,9}Sn_{0,9}Cu_{0,1}O_{3-\delta}$  e  $Ca_{0,9}Sn_{0,9}Cu_{0,1}O_{3-\delta}/ZrO_2$ , na temperatura de 350 °C.

Catalisador	m (g)	c (%)	T <sub>M</sub> (mol g <sup>-1</sup> min <sup>-1</sup> )
$Ca_{0,9}Sn_{0,9}Cu_{0,1}O_{3-\delta}$	0,10	61	0,051
$Ca_{0,9}Sn_{0,9}Cu_{0,1}O_{3-\delta}/ZrO_{2}$	0,01	100	0,828

m: massa de fase ativa; c= conversão de NO em N2

Fonte: Própria.

Comparando estes resultados com os percentuais de conversão de NO à N<sub>2</sub> na redução com CO entre 350-500°C (Fig. 4.19), o sistema de Ca<sub>0,9</sub>Sn<sub>0,9</sub>Cu<sub>0,1</sub>O<sub>3-5</sub>/ZrO<sub>2</sub> apresentou uma maior eficiência na redução de NO com NH<sub>3</sub>.

### 4.5 CONCLUSÃO

Os resultados de conversão catalítica de NO em N<sub>2</sub> e CO em CO<sub>2</sub> pela perovskita de CaSnO<sub>3</sub> mostraram que o material apresentou conversão máxima de 18% para os dois gases na temperatura de 700 °C. No entanto, ao dopar o CaSnO<sub>3</sub> com os metais de transição Fe<sup>3+</sup>, Co<sup>2+</sup> ou Cu<sup>2+</sup>, a reação catalítica foi favorecida atingindo 100% de conversão em temperaturas superiores a 500 °C para os sistemas Ca<sub>0,9</sub>Sn<sub>0,9</sub>Co<sub>0,1</sub>O<sub>3-δ</sub> e Ca<sub>0,9</sub>Sn<sub>0,9</sub>Cu<sub>0,1</sub>O<sub>3-δ</sub>.

Estes resultados indicam que a dopagem da perovskita com os metais de transição proporcionou a formação de defeitos e/ou de vacâncias de oxigênio, o que resultou em melhor desempenho na conversão catalítica. Além disso, a coexistência de diferentes estados de oxidação dos metais de transição também colaborou no transporte de elétrons na rede, o que favoreceu a reação.

Na conversão de NO com NH<sub>3</sub>, o CaSnO<sub>3</sub> apresentou a conversão máxima de 55% em 350 °C. No entanto, ao dopar com Fe<sup>3+</sup> e Co<sup>2+</sup>, o catalisador sofreu desativação em todas as temperaturas estudadas. Por outro lado, o material dopado com Cu<sup>2+</sup> (Ca<sub>0,9</sub>Sn<sub>0,9</sub>Cu<sub>0,1</sub>O<sub>3-δ</sub>) apresentou crescimento linear e superior ao CaSnO<sub>3</sub> em todas as temperaturas, atingindo 81% de conversão em 500 °C.

A impregnação de PdO nas amostras CaSnO<sub>3</sub>, Ca<sub>0,9</sub>Sn<sub>0,9</sub>Co<sub>0,1</sub>O<sub>3-δ</sub> e Ca<sub>0,9</sub>Sn<sub>0,9</sub>Cu<sub>0,1</sub>O<sub>3-δ</sub> favoreceu o processo de conversão atingindo 100% de conversão de NO com CO em todas as temperaturas estudadas. No entanto, para a reação de NO com NH<sub>3</sub>, a impregnação desfavoreceu o processo, devido à formação de NO, proveniente da oxidação do NH<sub>3</sub> pelo paládio.

Nas amostras depositadas em ZrO<sub>2</sub>, os resultados de MEV-EC e MET confirmaram a presença das fases da perovskita e do suporte. O mapeamento por EDS mostrou que a fase ativa (perovskita) recobriu a superfície do suporte (ZrO<sub>2</sub>), no entanto, uma maior concentração foi verificada entre as partículas, sugerindo a formação de um sistema core @shell.

Ao avaliar a atividade catalítica do suporte utilizado, verificou-se que a ZrO<sub>2</sub> não mostrou percentuais de conversão para a reação de NO com CO. Entre as perovskitas depositadas em ZrO<sub>2</sub>, a amostra dopada com Cu<sup>2+</sup> (Ca<sub>0,9</sub>Sn<sub>0,9</sub>Cu<sub>0,1</sub>O<sub>3-5</sub>/ZrO<sub>2</sub>) apresentou os melhores percentuais de conversão de NO e CO, atingindo 70% de conversão à N<sub>2</sub> em 700°C. A taxa molar relativa (T<sub>M</sub>) de conversão mostrou que a deposição promoveu uma melhoria na atividade catalítica de 7 vezes mais que o material não suportado.

Além disso, a deposição das perovskitas em ZrO<sub>2</sub> favoreceu ainda mais a reação de NO com NH<sub>3</sub>, chegando a 100% de conversão para a amostra de Ca<sub>0,9</sub>Sn<sub>0,9</sub>Cu<sub>0,1</sub>O<sub>3-δ</sub>/ZrO<sub>2</sub>. Os dados mostraram que a deposição favoreceu a T<sub>M</sub> da amostra, apresentado valor 16 vezes superior ao Ca<sub>0,9</sub>Sn<sub>0,9</sub>Cu<sub>0,1</sub>O<sub>3-δ</sub> não suportado em ZrO<sub>2</sub>.

# CAPITULO 5

Considerações Finais

# 5. CONSIDERAÇÕES FINAIS

No presente trabalho, estanato de cálcio (CaSnO<sub>3</sub>) foi sintetizado pelo método *Pechini*-modificado. Também foi realizada a dopagem desta perovskita com os metais de transição Fe<sup>3+</sup>, Co<sup>2+</sup> e Cu<sup>2+</sup> de modo a avaliar a influência destes dopantes na ordem-desordem do material e explorar as propriedades fotocatalíticas (na degradação do azo corante RNL) e catalíticas (na *SCR* de NO com CO e NO com NH<sub>3</sub>) destes materiais. Além disso, no que concerne as propriedades catalíticas, investigou-se a influência da dopagem e impregnação destas perovskitas com o paládio e a deposição sobre o suporte ZrO<sub>2</sub>.

No que se refere à metodologia de síntese, os resultados mostraram que a modificação realizada no método *Pecnini* favoreceu a obtenção do CaSnO<sub>3</sub> com elevada ordem a curto e longo alcance, além de promover uma redução significativa no tempo de síntese. Além disso, as caracterizações (DRX, IV, UV-Vis e Raman) mostraram que a introdução dos dopantes (Fe<sup>3+</sup>, Co<sup>2+</sup> e Cu<sup>2+</sup>) na rede cristalina do CaSnO<sub>3</sub> promoveu pequenas modificações na estrutura perovskita, tais como quebra de simetria e desordem a curto alcance. Estas modificações favoreceram significativamente as propriedades fotocatalíticas e catalíticas do CaSnO<sub>3</sub>.

Em relação às propriedades fotocatalíticas na degradação do azo corante RNL, bons resultados foram obtidos para o material Ca<sub>0,9</sub>Sn<sub>0,9</sub>Cu<sub>0,1</sub>O<sub>3-δ</sub>, o qual apresentou 76 % de descoloração em pH 3. Este resultado corresponde a um aumento de 50 % em relação ao CaSnO<sub>3</sub> não dopado.

Quanto à conversão catalítica de NO, duas reações distintas foram investigadas, a redução de NO com CO e NO com NH<sub>3</sub>. Em ambas as reações verificou-se que as perovskitas dopadas com Co<sup>2+</sup> e Cu<sup>2+</sup> apresentaram excelentes resultados, quando avaliadas na forma mássica, no entanto, quando depositadas em ZrO<sub>2</sub>, os melhores percentuais foram obtidos para a amostra Ca<sub>0,9</sub>Sn<sub>0,9</sub>Cu<sub>0,1</sub>O<sub>3-δ</sub>. Os resultados de conversão de NO com CO mostraram que Ca<sub>0,9</sub>Sn<sub>0,9</sub>Cu<sub>0,1</sub>O<sub>3-δ</sub>/ZrO<sub>2</sub> promoveu uma eficiência catalítica 7 vezes maior que a perovskita mássica Ca<sub>0,9</sub>Sn<sub>0,9</sub>Cu<sub>0,1</sub>O<sub>3-δ</sub>. Enquanto que, para a reação de redução de NO com NH<sub>3</sub>, o aumento foi de 16 vezes.

Ao impregnar as amostras Ca<sub>0,9</sub>Sn<sub>0,9</sub>Co<sub>0,1</sub>O<sub>3-δ</sub> e Ca<sub>0,9</sub>Sn<sub>0,9</sub>Cu<sub>0,1</sub>O<sub>3-δ</sub> com PdO os resultados catalíticos mostraram que para a reação de NO com CO a impregnação promoveu 100% de conversão, enquanto que, para a reação de NO com NH<sub>3</sub>, a impregnação desfavoreceu o processo, devido à formação de NO, proveniente da oxidação do NH<sub>3</sub> pelo paládio.

Baseado nestes resultados, foi possível verificar que a influência do Cu<sup>2+</sup> na rede do CaSnO<sub>3</sub> foi fundamental para melhorias nas propriedades fotocatalíticas e catalíticas das reações estudadas neste trabalho.

Diversas questões surgiram e permanecem em aberto com o presente trabalho e merecem ser investigadas posteriormente para um melhor entendimento sobre o CaSnO<sub>3</sub> dopado com metais de transição e/ou depositados sobre suportes catalíticos, das quais sugerimos:

- Avaliação da mudança da valência dos dopantes em função do pH da solução na síntese das perovskitas dopadas;
- Avaliação por XPS das amostras dopadas de modo a identificar a coexistência dos íons dos metais de transição com diferentes números de oxidação;
- Avaliação fotocatalítica utilizando outros azo-corantes;
- Avaliação fotocatalítica utilizando radiação solar;
- Avaliação catalítica dos sistemas suportados em ZrO<sub>2</sub> e impregnados com PdO;
- Avaliação catalítica de NO com CO e NH<sub>3</sub> com os interferentes, tais como:
   H<sub>2</sub>O, SO<sub>2</sub> e O<sub>2</sub>;
- Caracterização dos materiais pós-testes catalíticos;
- Estudo cinético e determinação dos mecanismos de reação.

# REFERÊNCIAS

AHMED, J. et al. Synthesis of MSnO<sub>3</sub> (M = Ba, Sr) nanoparticles by reverse micelle method and particle size distribution analysis by whole powder pattern modeling. **Materials Research Bulletin**, v. 47, p. 2282-2287, 2012.

AKPAN, U. G.; HAMEED, B. H. Parameters affecting the photocatalytic degradation of dyes using TiO₂-based photocatalysts: A review, *Journal of Hazardous Materials*, v.170, p. 520-529, 2009.

ALVARENGA, J. M. et al. Partition study of textile dye Remazol Yellow Gold RNL in aqueous two-phase systems. *Fluid Phase Equilibria*, v. 391, p. 1-8, 2015.

ALVES, M. C. F. et al. Influence of the precursor salts in the synthesis of CaSnO<sub>3</sub> by the polymeric precursor method. *Journal of Thermal Analysis and Calorimetry*, V. 87, n. 3, p. 763–766, 2007.

ALVES, M. C. F. et al.Influence of the modifier on the short and long range disorder of stannate perovskites. *Journal of Alloys and Compounds*, v. 476, p. 507–512, 2009.

ANASTASSAKIST, E. P. B.; ASHER, I. M. Lattice dynamics and light scattering in hafnia and zirconia. *Journal of Physics and Chemistry of Solids*, v. 36, p. 667-676, 1974.

ANDOULSI, R.; HORCHANI-NAIFER, K.; FÉRID, M. Preparation of lanthanum ferrite powder at low temperature. *Cerâmica*, v. 58, p. 126-130, 2012.

ARMOR, J. N. Catalytic solutions to reduce pollutants. *Catalysis Today*, v. 38, p. 163-167, 1997.

ASAD, S. et al. Decolorization of textile dyes by newly isolated halophilic and halotolerant bacteria. *Bioresources Technology*, v. 98, p. 2082-2088, 2007.

AKSEL, S.; EDER, D. Catalytic effect of metal oxides on the oxidation resistance in carbon nanotube-inorganic hybrids. **Journal of Materials Chemistry**, v. 20, p. 9149–9154, 2010.

ATKINS, P. W. et al. Inorganic Chemistry. 5 ed, New York: W. H. Freeman and Company, 2010.

AZAD, A.; HON, N. C. Characterization of BaSnO<sub>3</sub>-based ceramics: Part 1. Synthesis, processing and microstructural development. *Journal of Alloys and Compounds*, v. 270, p. 95-106, 1998.

AZAD, A. et al. Microstructural evolution in MSnO3 ceramics derived via self-heat-sustained (SHS) reaction technique. **Ceramic International,** v. 26, n. 7, p. 685-692, 2000.

BAYLET, A. et al. In situ Raman and in situ XRD analysis of PdO reduction and Pd $^{\circ}$  oxidation supported on  $\gamma$ -Al $_2$ O $_3$  catalyst under different atmospheres. *Physical Chemistry Chemical Physics*, v. 13, p. 4607-4613, 2011.

BELLIDO, J.D.A.; ASSAF, E. M. Reduction of NO by CO on Cu/ZrO<sub>2</sub>/Al<sub>2</sub>O<sub>3</sub> catalysts: Characterization and catalytic activities. *Fuel*, v. 88, p. 1673-1679, 2009.

BELL, J.; PLUMB, J. J.; BUCKLEY, C. A.; STUCKEY, D. C. Treatment and Decolorization of Dyes in an Anaerobic Baffled Reactor. *Journal of Environmental Engineering,* v. 126, n. 11, p. 1026-1032, 2000.

BELTRAN, J. J. et al. Crystallographic and magnetic properties of Fe-doped SnO<sub>2</sub> nanopowders obtained by a sol–gel method. *Journal of Materials Science*, v. 45, n. 18, p. 5002-5011, 2010.

BERGAMASCHI, V. S. Preparação e caracterização de Catalisadores de metais de transição Suportados em zircônia. Uso na reforma a Vapor do etanol para obtenção de hidrogênio. 2005, 169 p. Tese (Doutorado) – Instituto de Pesquisas Energéticas e Nucleares, Universidade de São Paulo, São Paulo, 2005.

BLASSE, G. Luminescence Materials. Berlin: Springer-Verlag, 1994.

BOHNEMANN, J. et al. High-efficient microwave synthesis and characterization of SrSnO<sub>3</sub>. *Chemical Engineering Journal*, v. 155, p. 905-, 2009.

BRUNAUER, S.; EMMETT, P. H.; TELLER, E. Adsorption of Gases in Multimolecular Layers. *Journal of the American Chemical Society,* v. 60, n. 2, p. 309-319, 1938.

BROWN, W. A.; KING, D. A. NO chemisorption and reactions on metal surfaces: A new perspective. *The Journal of Physical Chemistry B*, v. 104, n. 12, p. 2578-2595, 2000.

BUMAJDAD, A.; EASTOE, J.; MATHEW, A. Cerium oxide nanoparticles prepared in self-assembled systems. *Advances in Colloid and Interface Science*, v. 147, p. 56–66, 2009.

BUSCA, G. et al. Chemical and mechanistic aspects of the selective catalytic reduction of NOx by ammonia over oxide catalysts: A review. *Applied Catalysis B: Environmental*, v. 18, p. 1-36, 1998.

CAI, H. et al. Enhanced synthesis of Sn nanowires with aid of Se atom via physical vapor transport. *Journal of Crystal Growth*, v. 420, p. 42–46, 2015.

CASTANHO, M.; MALPASS, R. P.; MOTHEO, A. J. Avaliação dos tratamentos eletroquímico e fotoeletroquímico na degradação de corantes têxteis. *Química Nova*, v. 29, n. 5, p. 983-989, 2006.

CASTILLO, S.; PINEDA, M. M.; GÓMEZ, R. Reduction of NO by CO ander oxidizing conditions over Pt and Rh supported on Al<sub>2</sub>O<sub>3</sub>-ZrO<sub>2</sub> binary oxides. *Catalysis Communications*, v. 2, n. 10, p. 295 - 300, 2001.

CHAO, L. et al. Preparation and characterization of SrSnO₃ nanorods. *Journal of Physics and Chemistry of Solids*, v. 72, n. 7, p. 869-874, 2011.

CHERRAD, D. et al. Ultra soft pseudo potential investigation of fundamental physical properties of CaXO<sub>3</sub> (X=Sn and Hf) distorted perovskites: A reference study to the perfect perovskites. **Physica B: Condensed Matter,** v. 429, p. 95–105, 2013.

CHEN, X. Y. et al. Novel porous CaSnO<sub>3</sub>:Eu<sup>3+</sup> and Ca<sub>2</sub>SnO<sub>4</sub>:Eu<sup>3+</sup> phosphors by co-precipitation synthesis and postannealing approach: A general route to alkaline-earth stannates. *Journal of Alloys and Compounds*, v. 497, p. 354-359, 2010.

CHENG, H, LU, Z. Synthesis and gas-sensing properties of CaSnO<sub>3</sub> microcubes. **Solid State Sciences**, v. 10, n. 8, p. 1042-1048, 2008.

CHO, S. G.; JOHNSON, P. F.; CONDRATE SR, R. A. Thermal decomposition of (Sr, Ti) organic precursors during the Pechini process. *Journal of Materials Science*, v. 25, n. 11, p. 4738 - 4744, 1990.

CHUAH, G. K. An investigation into the preparation of high surface area zirconia. *Catalysis Today,* v. 49, n. 1, p. 131-139, 1999.

CHUN, C.; DUNN, B. Preparation of High-T<sub>c</sub> Superconducting Oxides by the Amorphous Citrate Process. *Journal of the American Ceramic Society*, v. 70, n. 12, p. 375-377, 1987.

CIMINO, S. et al. Methane Combustion and CO Oxidation on Zirconia-Supported La, Mn Oxides and LaMnO<sub>3</sub> Perovskite. *Journal of catalysis*, v. 205, p. 309-317, 2002.

CIOLA, R. Fundamentos da catálise. São Paulo: Ed. Moderna, EDUSP, 1981

CLAUSEN, L.; FABRICIUS, I. BET Measurements: Outgassing of Minerals. *Journal of Colloid and Interface Science*, v. 227, n. 1, p. 7-15, 2000.

CÓNSUL, J. M. D. et al. Decomposição catalítica de óxidos de nitrogênio. *Química Nova*, v. 27, n. 3, p. 432-440, 2004.

DAI, H. et al. The relationship of structural defect–redox property–catalytic performance of perovskites and their related compounds for CO and NOx removal. *Catalysis Today*, v. 90, n. 3-4, p. 231–244, 2004.

DAVIS, E. A.; MOTT, N. F. Conduction in non-crystalline systems V. Conductivity, optical absorption and photoconductivity in amorphous semiconductors. *Philosophical Magazine*, v. 22, n. 179, p. 903-909, 1970.

DENG, X.; TUYSUZ, H. Cobalt-Oxide-Based Materials as Water Oxidation Catalyst: Recent Progress and Challenges. *ACS Catalysis*, v. 4, p. 3701-3714, 2014.

DIGNE, M. et al. Use of DFT to achieve a rational understanding of acid–basic properties of  $\gamma$  -alumina surfaces. **Journal of Catalysis**, v. 226, p. 54–68, 2004

DURAND, B; LOISELEUR, H. Crystal data for a new variety of the double oxide MnSnO<sub>3</sub>. **Journal of Applied Crystallography**, v. 11, p. 156-157, 1978.

ENG, H. W. et. al. Investigations of the electronic structure of d<sup>0</sup> transition metal oxides belonging to the perovskite family. *Journal of Solid State Chemistry*, v. 175, p. 94–109, 2003.

FANG, T.; TSAY, J. Effect of pH on the chemistry of the Barium citrate gel and its thermal decomposition behavior. *Journal of the American Ceramic Society,* v. 84, n. 11, p. 2475 - 2478, 2001.

FELTZ, A. Perovskite forming ceramics of the system Sr<sub>x</sub>La<sub>1-x</sub> Ti<sub>IVx+y</sub>Co<sub>IIy</sub>Co<sub>III1-x-2y</sub>O<sub>3</sub> for NTC thermistor applications. *Journal of the European Ceramic Society*, v. 20, n. 14-15, p. 2367–2376, 2000.

FIGUEIREDO, J. L.; RIBEIRO, F. R. *Catálise Heterogênea.* 2 ed, Lisboa: Fundação Calouste Gulbenkian, 2007.

FOX, M. A.; DULAY, M. T. Heterogeneous Photocatalysis. *Chemical Reviews*, n. 93, p. 341-357, 1993.

FU, X.Y. et al. Structure and photoluminescence of ASnO<sub>3</sub> (A=Ca, Sr and Ba):Eu nanocrystalline **Spectroscopy and Spectral Analysis,** v. 27, p. 1894-1897, 2007.

FUJISHIMA, A.; HONDA, K. Electrochemical Photolysis of water at a semiconductor eletrode. *Nature,* v. 238, p. 37-38, 1972.

GAO, F. et al. Infrared-Active Phonons of Perovskite HoMn<sub>1-x</sub>Co<sub>x</sub>O<sub>3</sub> (x = 0-0.8). *leee Transactions On Magnetics*, v. 41, n. 10, p. 2763-2765, 2005.

GAO, F. et al. The influence of microwave plasma pretreated CuO/TiO<sub>2</sub> catalysts in NO + CO reaction. *Catalysis Today*, v. 175, p. 34-39, 2011.

GHAFFARI, M. et al. Synthesis and visible light photocatalytic properties of  $SrTi_{(1-x)}Fe_xO_{(3-\delta)}$  powder for indoor decontamination. *Powder Technology*, v. 225, p. 221–226, 2012.

GHORESISHIAN, S. M. et al. Decolorization and mineralization of an azo reactive dye using loaded nano-photocatalysts on spacer fabric: Kinetic study and operational factors. *Journal of the Taiwan Institute of Chemical Engineers*, v. 45, n. 5, p. 2436-2446, 2014.

GLAZE, W. H.; KANG, J. W.; CHAPIN, D. H. The chemistry of water treatment process involving ozone, hydrogen peroxide and ultraviolet radiation. *Ozone Science e Engineering*, v. 9, p. 335, 1987.

GLAZER, A. M. Structure and disorder in single-crystal lead zirconate, PbZrO<sub>3</sub>. *Acta Crystallographica: B,* v. 49, p. 846-852, 1993.

GOMEZ-GARCIA, M. A.; PITCHON, V.; KIENNEMANN, A. Pollution by nitrogen oxides: an approach to  $NO_x$  abatement by using sorbing catalytic materials. *Environment International*, v. 31, p. 445-467. 2005.

GÓRA-MAREK, K. et al. IR studies of Fe modified ZSM-5 zeolites of diverse mesopore topologies in the terms of their catalytic performance in NH<sub>3</sub>-SCR and NH<sub>3</sub>-SCO processes. *Applied Catalysis B: Environmental*, v. 179, p. 589-598, 2015.

GORDO, V. O. et al. Visible to infrared low temperature luminescence of Er<sup>3+</sup>, Nd<sup>3+</sup> and Sm<sup>3+</sup> in CaSnO<sub>3</sub> phosphors. *Applied Radiation and Isotopes*, v. 99, p. 69-76, 2015.

GOTO, K.; NAKACHI, Y.; UEDA, K. Photoluminescence properties of Pr doped and Tb-Mg codoped CaSnO<sub>3</sub> with perovskite structure. *Thin Solid Films*, v. 516, p. 5885-5889, 2008.

GOTTLIED, A. et al. The toxicity of reactive azo dyes after hydrolysis and descolourisation. *Journal of Biotechonology*, v. 101, p. 49-56, 2003.

GRABOWSKA, E. Selected perovskite oxides: Characterization, preparation and photocatalytic properties—A review. *Applied Catalysis B: Environmental*, v. 186, p. 97–126, 2016.

GRADON, B.; LASEK, J. Investigations of the reduction of NO to  $N_2$  by reaction with Fe. *Full*, v. 8, n. 11, p. 3505-3509, 2010

GREEN, M. A. et al. Structure of the n = 2 and  $n = \infty$  member of the Ruddlesden-Popper series,  $Sr_{n+1}Sn_nO_{3n+1}$ . *International Journal of Inorganic Materials*, v. 2, p. 35–41, 2000.

GUO, H.; QIAO, Y. Preparation, structural and photoluminescent properties of CeO2:Eu3+ films derived by Pechini sol–gel process. *Applied Surface Science*, v. 254, p. 1961-1965, 2008.

HAILE, S. M.; STANEFF, G.; RYU, K. H. Non-stoichiometry, grain boundary transport and chemical stability of proton conducting perovskites. *Journal of Materials Science*, v. 6, p. 1149–1160, 2001.

HELFFRICH, G. R.; WOOD, B. The Earth's mantle. *Nature*, v. 412, p. 501-507, 2001.

HODJATI, S. et al. Absorption/desorption of NOx process on perovskites: performances to remove NOx from a lean exhaust gas. *Applied Catalysis B: Environmental*, v. 26, n. 1, p. 5–16, 2000.

HOFFMANN, M. R. et al. Environmental applications of semiconductor photocatalysis. *Chemical Reviews*, v. 95, p. 69-96, 1995.

HOLMES, F. R. The performance of a reactor using photocatalysis to degrade a mixture of organic contaminants in aqueous solution. Thesis (Master of Engineering), University of Florida, EUA. 2003

HOWARD, C. J.; STOKES, H. T. Octahedral tilting in cation-ordered perovskites - a group-theoretical analysis. *Acta Crystallographica B*, v. 60, p. 674-684, 2004.

HONÓRIO, L. M. C. K<sub>4</sub>Nb<sub>6</sub>O<sub>17</sub> e derivados: Síntese, caracterização e aplicação na fotodescoloração do corante remazol amarelo ouro. 2014, 113 p. Dissertação (Mestrado em Química) - Departamento de Química, Universidade Federal da Paraíba, João Pessoa, 2014.

HUAN, Y. et al. Grain size effect on piezoelectric and ferroelectric properties of BaTiO<sub>3</sub> ceramics. **Journal of the European Ceramic Society**, v. 34, n. 5, p. 1445–1448, 2014.

HUANG, Y.; SACHTLER, W. M. H. The effect of catalyst pore structure on liquid phase catalysis: Hydrogenation of stearonitrile over ruthenium supported on mesoporous sulfated zirconia. *Applied Catalysis A: General*, v. 163, n. 1–2, p. 245-254, 1997.

IBHADON, A. O.; FITZPATRICK, P. Heterogeneous Photocatalysis: Recent Advances and Applications. *Catalysts*, v. 3, n. 1, p. 189-218, 2013.

IDAKIEV, V. et al. Gold catalysts supported on mesoporous zirconia for low-temperature water–gas shift reaction. *Applied Catalysis B: Environmental*, v. 63, n. 3-4, p. 178–186, 2006.

IRFAN, M. F.; GOO, J. H. e KIM, S. D. Co<sub>3</sub>O<sub>4</sub> based catalysts for NO oxidation and NOx reduction in fast SCR process. *Applied Catalysis B: Environmental*, v. 78, n. 3-4, p. 267–274, 2008.

ISLAM, M. A; RONDINELLI, J. M. e SPANIER, J. E. Normal mode determination of perovskite crystal structures with octahedral rotations: theory and applications. *Journal of physics.* **Condensed matter: an Institute of Physics journal**, v. 25, n. 17, p. 175902, 2013.

IWAKUNI, H. et al. Direct decomposition of NO into N<sub>2</sub> and O<sub>2</sub> on BaMnO<sub>3</sub>-based perovskite oxides. *Applied Catalysis B: Environmental*, v. 74, n. 3–4, p. 299-306, 2007.

JANA, P. et al. Cobalt based catalysts prepared by Pechini method for CO<sub>2</sub>-free hydrogen production by methane decomposition. *International Journal of Hydrogen energy*, v. 35, p. 10285-10294, 2010.

JENSEN, H. et al. XPS and FTIR investigation of the surface properties of different prepared titania nano-powders. *Applied Surface Science*, v. 246, n. 1–3, p. 239-249, 2005.

JIA, A. et al. Synthesis and effect of calcination temperature on the physiscal-chemical properties and photocatalytic activities of Ni, La co-doped SrTiO<sub>3</sub>. *Journal of Hazardous Materials*, v. 179, p. 223, 2010a.

JIA, A. et al. Synthesis and characterization of highly-active nickel and lanthanum co-doped SrTiO<sub>3</sub>. **Solid State Sciences**, v. 12, n. 7, p. 1140–1145, 2010b.

JOHNSSON, M.; LEMMENS, P.; Perovskites and thin films – crystallography and chemistry. *Journal of Physics: Condensed Matter*, v. 20, p. 264001, 2008.

JUÁREZ, R. L.; GONZÁLEZ, F. e CASTREJÓN, M. E. V. Lead-Free Ferroelectric Ceramics with Perovskite Structure. Ferroelectrics – Material Aspects. Croatia: InTech, 2011. p. 305–330.

JUNPLOY, P.; THONGTEM, S.; THONGTEM, T. Photoabsorption and photocatalysis of SrSnO<sub>3</sub> produced by a cyclic microwave radiation. **Superlattices and Microstructures**, v. 57, p. 1-10, 2013.

KAKIHANA, M.; YOSHIMURA, M. Synthesis and Characteristic of Complex Multicomponent Oxides Prepared by Polimer Complex Method. *Bulletin of The Chemical Society of Japan,* v. 72, n. 7, p. 1427-1443, 1999.

KARABULUT, Y. et al. Synthesis and Luminescence Properties of Trivalent Rare-Earth Element Doped Calcium Stannate Phosphors. *Spectroscopy Letters*, v. 47, p. 630-641, 2014.

KARLSSON, M. et al. Short-range structure of proton-conducting perovskite BalnxZr<sub>1-x</sub>O<sub>3-x/2</sub> (x=0-0.75). *Chemistry of Materials*, v. 20, n. 10, p. 3480-3486, 2008.

KAN, D. S. et al. Blue-light emission at room temperature from Ar<sup>+</sup> -irradiated SrTiO<sub>3</sub>. *Nature Materials*, v. 4, p. 816-819, 2005.

KANTCHEVA, M.; CAYIERTEPE, I. Routes of formation and composition of NOx complexes adsorbed on palladium-promoted tungstated zirconia. *Journal of Molecular Catalysis A: Chemical*, v. 247, p. 88–98, 2006.

KATIO, S. et al. Crystal structure and property of perovskite-type oxides containing ion vacancy. *Catalysis Surveys from Asia*, v. 8, p. 27–34, 2004.

KATO, H. et al. Synthesis of highly active rhodium-doped SrTiO<sub>3</sub> powders in Z-scheme systems for visible-light-driven photocatalytic overall water splitting. *Journal of Materials Chemistry A*, v. 1, p. 12327-12333, 2013

- KIJLSTRA, W. S. et al. Mechanism of the Selective Catalytic Reduction of NO with NH<sub>3</sub> over MnO<sub>x</sub>/Al<sub>2</sub>O<sub>3</sub>. *Journal of Catalysis*, v. 171, p. 219-230, 1997.
- KIM, H. S. et al. Effect of particle shape on the electrochemical properties of CaSnO<sub>3</sub> as an anode material for lithium-ion batteries. *Journal of Applied Electrochemistry*, v. 44, n. 7, p. 789-796, 2014.
- KLICHE, G. Lattice vibrations of the cooperites PdO and PtS. **Zeitschrift für Naturforschung,** v. 44, p. 169-172, 1989.
- KOCAKUSAKOGLU, A. et al. Photocatalytic activity of reticulated ZnO porous ceramics in degradation of azo dye molecules. *Journal of the European Ceramic Society*, v. 35, p. 2845–2853, 2015.
- KONSOLAKIS, M. et al. Novel doubly-promoted catalysts for the lean NOx reduction by H<sub>2</sub> + CO: Pd(K)/Al<sub>2</sub>O<sub>3</sub>–(TiO<sub>2</sub>). *Applied Catalysis B: Environmental*, v. 68, n. 1–2, p. 59-67, 2006.
- KONSTANTINOU, I. K.; ALBANIS, T. A. TiO<sub>2</sub>-assisted photocatalytic degradation of azo dyes in aqueous solution: kinetic and mechanistic investigations A review. **Applied Catalysis B: Environmental.** v. 49, p. 1-14, 2004.
- KORHONEN, S. T. et al. Isobutane dehydrogenation on zirconia-, alumina-, and zirconia/alumina-supported chromia catalysts. *Applied Catalysis A: General*, v. 333, n. 1, p. 30-41, 2007.
- KOTAN, Z. et al. Solid state synthesis, characterization and optical properties of Tb doped SrSnO<sub>3</sub> phosphor. *Journal of Alloys and Compounds*, v. 581, p. 101–108, 2013.
- KUNZ, A. et al. Novas Tendências no Tratamento de Efluentes Têxteis. *Química Nova,* v. 25, n. 1, p. 78–82, 2002.
- LAST, J. T. Infrared-Absorption Studies on Barium Titanate and Related Materials. *Physical Review*, v. 105, n. 6, p. 1740–1750, 1957.
- LEE, C. W. et al. Simple synthesis and characterization of SrSnO<sub>3</sub> nanoparticles with enhanced photocatalytic activity. *International Journal of Hydrogen Energy,* v. 37, n. 14, p. 10557-10563, 2012.
- LENDZION-BIELUN, Z.; BETTAHAR, M. M.; MONTEVERDI, S. Fe-promoted CuO/CeO<sub>2</sub> catalyst: Structural characterization and CO oxidation activity. *Catalysis Communications*, v. 11, n. 14, p. 1137-1142, 2010.
- LEONTIOU, A. A.; LADAVOS, A. K.; POMONIS, P. J. Catalytic NO reduction with CO on  $La_{1-x}Sr_x(Fe3+/Fe4+)O_{3\pm\delta}$  perovskite-type mixed oxides ( $x=0.00,\ 0.15,\ 0.30,\ 0.40,\ 0.60,\ 0.70,\ 0.80,\ and\ 0.90$ ). *Applied Catalysis A: General*, v. 241, p. 133–141, 2003.
- LI, X. Z. et al. Photocatalytic activity of WOx-TiO2 under visible light irradiation. *Journal of Photochemistry and Photobiology A: Chemistry*, v. 141, n. 2-3, p. 209-217, 2001.
- LI, X. Z. et al. Photocatalytic activity of WO<sub>x</sub>-TiO<sub>2</sub> under visible light irradiation. *Journal of Photochemistry and Photobiology A*, v. 141, p. 209-217, 2001.
- LI, J. et al. Experimental and modeling analysis of no reduction by co for a FCC regeneration process. *Chemical Engineering Journal*, v. 184, p. 168–175, 2012a.
- LI, Z. et al. Performance of K and Ni substituted  $La_{1-x}K_xCo_{1-y}Ni_yO_{3-x}$  perovskite catalysts used for soot combustion , NOx storage and simultaneous NOx-soot removal. *Fuel*, v. 93, p. 606–610, 2012b.
- LI, J. et al. NO reduction by CO over a Fe-based catalyst in FCC regenerator conditions. *Chemical Enginnering Journal*, v. 255, p. 126-133, 2014
- LI, X. et al. La<sub>1-x</sub>Ce<sub>x</sub>MnO<sub>3</sub>/attapulgite nanocomposites as catalysts for NO reduction with NH<sub>3</sub> at low temperature. *Particuology*, v. 26, p. 66–72, 2016.

- LIMA, K. C. et al. High specific surface area LaFeCo perovskites—Synthesis by nanocasting and catalytic behavior in the reduction of NO with CO. *Applied Catalysis B: Environmental*, v. 90, n. 3-4, p. 441-450, 2009
- LIN, S.D. et al. Ammonia oxidation over Au/MO<sub>x</sub>/γ-Al<sub>2</sub>O<sub>3</sub>—activity, selectivity and FTIR measurements. *Catalysis Today*, v. 90, p. 3-14, 2004.
- LIPPITS, L. J.; GLUHOI, A. C.; NIEUWENHUYS, B. E. A comparative study of the selective oxidation of NH $_3$  to N $_2$  over gold, silver and copper catalysts and the effect of addition of Li $_2$ O and CeO $_x$ . *Catalysis Today*, v. 137, p. 446-452, 2008.
- LIQIANG, J. et al. Photoluminescence and photocatalytic activity of Ce doped TiO<sub>2</sub> nanoparticles and their Photocatalytic Activity. *Acta Chimica Sinica*, v. 61, n. 8, p. 1241-1245, 2003.
- LIQIANG, J. et al. Review of photoluminescence performance of nano-sized semiconductor materials and its relationships with photocatalytic activity. **Solar Energy Materials & Solar Cells**, v. 90 p. 1773–1787, 2006.
- LIU, Z.; LIU, Y. Synthesis and luminescent properties of a new green afterglow phosphor CaSnO<sub>3</sub>:Tb. *Materials Chemistry and Physics*, v. 93, n. 1, p. 129-132, 2005.
- LIU, Z. C.; et al. Synthesis of a new SnO<sub>2</sub>/mesoporous silica composite with room-temperature photoluminescence. *Microporous and Mesoporous Materials*. v. 89, p. 270-275, 2006.
- LIU, X. et al. A novel contractive effect of KTaO<sub>3</sub> nanocrystals via La<sup>3+</sup> doping and an enhanced photocatalytic performance. *Journal of Alloys and Compounds*, v. 622, p. 894–901, 2015.
- LLUSAR, M. et al. Colour analysis of cobalt-based blue pigments. *Journal of the European Ceramic Society,* v. 21, p.1121-1130, 2001.
- LOKEN, A. Thermodynamics and transport of defects in Sc-doped CaSnO<sub>3</sub> and CaZrO<sub>3</sub>. 2011, 118 p. Dissertação (Mestrado) Department of Chemistry, Universit of Oslo, Noruega, 2011.
- LONG, R. Q.; YANG, R. T. Selective Catalytic Reduction of NO with Ammonia over Fe<sup>3+</sup>-Exchanged Mordenite (Fe–MOR): Catalytic Performance, Characterization, and Mechanistic Study. *Journal of Catalysis*, v. 207, n. 2, p. 274-285, 2002.
- LONGO, V. M. et al. Sctructural conditions that leads to photoluminescence emission in SrTiO<sub>3</sub>: An experimental and theoretical approach. *Journal of Applied Physics*, v. 104, p. 023511, 2008.
- LONGO, V. L. et al. First principles calculations on the origin of violet-blue and green light photoluminescence emission in SrZrO<sub>3</sub> and SrTiO<sub>3</sub> perovskites. *Theoretical Chemistry Accounts*, v. 124, n. 5, p. 385-394, 2009.
- LU, Z. et al. Preparation and luminescence properties of Eu<sup>3+</sup>-doped MSnO<sub>3</sub> (M = Ca, Sr and Ba) perovskite materials. *Journal of Alloys and Compounds*, v. 387, p. L1-L4, 2005.
- LUCENA, P. R. et al. Fotoluminescência em materiais com desordem estrutural. *Cerâmica*, v. 50, p. 138-144, 2004.
- LUCENA, G. L. et al. New methodology for a faster synthesis of SrSnO<sub>3</sub> by the modified Pechini method. *Ceramica*, v. 59, p. 249-253, 2013a.
- LUCENA, G. L. et al. Catalisadores a base de SrSnO<sub>3</sub>:Fe depositados sobre suportes catalíticos para redução de NO por CO. In.: *17° Congresso Brasileiro de Catálise e VII Congresso de Cátálise do Mercosul*. Gramado, RS, set. 2013b.
- LUFASO, M. W. Perovskite synthesis and analysis using. The Ohio State University [S.I.]. 2002.

LV, Y. et al. nvestigation of surface synergetic oxygen vacancy in CuO–CoO binary metal oxides supported on  $\gamma$ -Al<sub>2</sub>O<sub>3</sub> for NO removal by CO. *Journal of Colloid and Interface Science*, v. 390, p. 158-169, 2013.

MACHALA, L.; ZBORIL, R.; GEDANKEN, A. Amorphous Iron(III) Oxides - A Review. *The Journal of Physical Chemistry B*, v. 111, p. 4003-4018, 2007.

MAHMOOD, T.et al. Comparison of Different Methods for the Point of Zero Charge Determination of NiO. *Industrial & Engineering Chemistry Research*, v. 50, n. 17, p. 10017-10023, 2011.

MARTINS, T. S.; HEWER, T. L. R.; FREIRE, R. Cério: Propriedades catalíticas, aplicações e tecnologias ambientais. *Química Nova*, v. 30, n. 8, p. 2001-2006, 2007.

MAUL, J. et al. Influence of the synthesis media in the properties of CuO obtained by microwave-assisted hydrothermal method. *Journal of Thermal Analysis and Calorimetry*, v. 106, p. 519-523, 2011.

MAUL, J. et al. In silico infrared and Raman spectroscopy under pressure: The case of CaSnO3 perovskite. *J. Chem. Phys.* v. 142, p. 014505, 2015.

MAUL, J. et al. Thermal properties of the orthorhombic CaSnO<sub>3</sub> perovskite under pressure from ab initio quasi-harmonic calculations. *Theoretical Chemistry Accounts*, v. 135, p. 36, 2016.

MERRITT, E. Luminescence. *Physical Review*, v. 5, n. 4, p. 319-334, 1915.

McMILLAN, P.; ROSS, N. The raman spectra of several orthorrombic calcium oxide peroskites. *Physics and Chemistry of Materials,* v. 16, p. 21-28, 1988.

MITCHELL R.H. Perovskites - modern and ancient. Canada: Kromar Printing Ltd. Winnipeg; 2002.

MISHRA, M.; CHUN, D.  $\alpha$ -Fe<sub>2</sub>O<sub>3</sub> as a photocatalytic material: A review. **Applied Catalysis A: General**, v. 498, v. 126-141, 2015.

MISRA, S. et al. Electrical conductivity and oxygen sensing behavior of SrSn<sub>1-x</sub>Fe<sub>x</sub>O<sub>3</sub>-delta (x=0-0.2). *Journal of Alloys and Compounds.* v. 506, n. 1, p. 285-292, 2010.

MITAL, G. S.; MANOJ, T. A review of TiO<sub>2</sub> nanoparticles. Chinese Science Bulletin. v. 56, n. 16, p. 1639-1657, 2011.

MODESHIA, D. R.; WALTON, R. I. Solvothermal synthesis of perovskites and pyrochlores: crystallisation of functional oxides under mild conditions. *Chemical Society Reviews*, v. 39, p. 4303–4325, 2010.

MORADI, R.; KHOSRAVIAN, F.; RAHMANZADEH, M. Effect of Partial Substitution of Ni by Cu in LaNiO<sub>3</sub> Perovskite Catalyst for Dry Methane Reforming. *Chinese Journal of Catalysis*, v. 33, n. 5, p. 797-801, 2012.

MOREIRA, E. et al. Structural, optoelectronic, infrared and Raman spectra of orthorhombic SrSnO<sub>3</sub> from DFT calculations. *Journal of Solid State Chemistry*, v. 184, p. 921–928, 2011.

MORI, M.; WANG, Z.; Itoh, T. A-Site and B-Site Non-stoichiometry and Sintering Characteristics of (Sr<sub>1-x</sub>La<sub>x</sub>)(1-y)Ti<sub>1-z</sub>O<sub>3</sub> Perovskites. *Journal of fuel cell science and technology*, v. 8, n. 5, p. 1014-1017, 2011.

MOSQUERA, A. et al. Synthesis of SnO<sub>2</sub> by chemical routes and its use in varistors production. *Journal of the European Ceramic Society*, v. 27, n. 13-15, p. 3893-3896, 2007.

MOUYANE, M. et al. Original electrochemical mechanisms of CaSnO₃ and CaSnSiO₅ as anode materials for Li-ion batteries. *Journal of Solid State Chemistry*, v. 184, n. 11, p. 2877–2886, 2011.

MOUNTSTEVENS, E. H.; ATTFIELD, J. P., REDFERN, S. A. T. Cation-size control of structural phase transitions in tin perovskitas. *Journal of Physics: Condensed Matter.* v. 15, p. 8315–8326, 2003.

MOSHTAGHI, S; ZINATLOO-AJABSHIR, S.; SALAVATI-NIASARI, M. Nanocrystalline barium stannate: facile morphology-controlled preparation, characterization and investigation of optical and photocatalytic properties. *Journal of Materials Science: Materials in Electronics*, v. 27, p. 834-842, 2016.

MURUGANANDHAM, M.; SWAMINATHAN, M. Photocatalytic decolourisation and degradation of Reactive Orange 4 by TiO<sub>2</sub>-UV process. *Dyes and Pigments.* v. 68, p. 133–142, 2006.

MUÑOZ, Y. H. O.; PONCE, M.; PAEZ, J. E. R. Comparative study of two wet chemical methods of BaSnO<sub>3</sub> synthesis: Mechanism of formation of mixed oxide. *Power Tecnology,* v. 279, p. 86-95, 2015.

NAKAMOTO, K. *Infrared and Raman Spectra of Inorganic and Coordination Compounds*. New York: John Wiley & Sons, 1996.

NAKAMURA, T. et al. Synthesis of Pr³+ doped or Tb³+–Mg codoped CaSnO₃ perovskite phosphor by the polymerized complex method. *Journal of Sol-Gel Science and Technology*, v. 61, p. 362-366, 2012.

NASCIMENTO, M. R. **Síntese e Caracterização Catalítica do Sistema Sr**<sub>1-x</sub>**Ni**<sub>x</sub>**SnO**<sub>3</sub>. 2007, 178 p. Tese (Doutorado em Química) - Departamento de Química, Universidade Federal da Paraíba, João Pessoa, 2007.

NASCIMENTO, M. R. et al. Influência da adição de níquel na síntese do SrSnO<sub>3</sub>. *Ceramica*, v. 54, n. 329, p. 120 - 128, 2008.

NASCIMENTO, J. C. Conversão do metano via oxicloração em reator de leito fixo utilizando catalisador do tipo CuCl2/SiO<sub>2</sub>. 2010, 88 p. Dissertação (Mestrado).- Departamento de Engenharia Química, Universidade Federal do Rio Grande do Norte, Natal, 2010.

NEAGU, D. et al. In situ growth of nanoparticles through control of non-stoichiometry. *Nature Chemistry*, v. 5, n. 11, p. 916–23, 2013.

NISHIO, J. et al. Photocatalytic decolorization of azo-dye with zinc oxide powder in an external UV light irradiation slurry photoreactor. *Journal of Hazardous Materials*, v. 138, p. 106–115, 2006.

OKAMOTO, Y. et al. Physicochemical Characterization of Fe/ZrO<sub>2</sub> Catalysts for NO-CO. *Journal of Catalysis*, v. 192, p. 412-422, 2000.

OKUMURA, K. et al. X-ray Absorption Fine Structure Study of the Formation of the Highly Dispersed PdO over ZSM-5 and the Structural Change of Pd Induced by Adsorption of NO. *Journal of Physical Chemistry B*, v. 104, p. 1050-1057, 2000.

OLIVEIRA, A. L. M. et al. Effect of the composition on the thermal behaviour of the SrSn<sub>1-x</sub>Ti<sub>x</sub>O<sub>3</sub> precursor prepared by the polymeric precursor method. *Journal of Thermal Analysis and Calorimetry*, v. 114, p. 565-572, 2013.

OLIVEIRA, A. L. M. **Síntese e caracterização de pós e filmes finos de SrSn**<sub>1-x</sub>**Ti**<sub>x</sub>**O**<sub>3</sub>. 2013. 182 p. Tese (Doutorado em Química) - Departamento de Química, Universidade Federal da Paraíba, João Pessoa, 2013.

OLIVEIRA, L. H. et al. Investigation of structural and optical properties of CaTiO<sub>3</sub> powders doped with Mg<sup>2+</sup> and Eu<sup>3+</sup> ions. *Journal of Alloys and Compounds*, v. 647, p. 265-275, 2015

ORERA, V. M. et al. Vibrational spectroscopy of CaZrO<sub>3</sub> single crystals. **Journal of Physics: Condensed Matter,** v. 10, p. 7501–7510, 1998.

ORHAN, E. et al. Combined experimental and theoretical study to understand the photoluminescence of Sr<sub>1-x</sub>TiO<sub>3-x</sub>. *Journal of Physical Chemistry B*, v. 108, p. 9221- 9227, 2004.

OUNI, S. et al. Structural and electrical properties of the sol–gel prepared Sr<sub>1-x</sub>Er<sub>x</sub>SnO<sub>3-δ</sub> compounds. *Journal of Solid State Chemistry*, v. 192, p. 132–138, 2012.

PANG, X. L. et al. Bright white upconversion luminescence from  $Er^{3+}-Tm^{3+}-Yb^{3+}$  doped CaSnO<sub>3</sub> powders. *Optical Materials,* v. 34, p. 234-238, 2011.

PARRAVANO, G. Ferroelectric Transitions and Heterogenous Catalysis. *The Journal of Chemical Physics*, v. 20, n. 2, p. 342-343, 1952.

\_\_\_\_\_. Catalytic Activity of Lanthanum and Strontium Manganite. *Journal of the American Chemical Society*, v. 75, n. 6, p. 1497-1498, 1953.

PARVULESCU, V.; GRANGE, P.; DELMON, B. Catalytic removal of NO RID A-9117-2011. *Catalysis Today*, v. 46, n. 4, p. 233–316, 1998.

PATEL, D. K. et al. Structural, luminescence and EPR studies on SrSnO<sub>3</sub> nanorods doped with europium ions. *Dalton Transactions*, v. 41, p. 12023-12030, 2012.

PATEL, A. et al. Selective catalytic reduction of NO with CO using different metal-oxides incorporated in MCM-41. **Chemical Engineering Journal**, v. 225, p. 437-444, 2014.

PAUL, K. T.; HULL, T. R.; LEBEK, K.; STEC, A. A. Fire smoke toxicity: The effect of nitrogen oxides. *Fire Safety Journal*. v. 43, p. 243-251, 2008.

PECHINI, M. P. Method of preparing lead and alkaline: earth titanetes and niobates and coating method using the same to from a capacitor. *U. S. Pat., n. 3.330.697,* 1967.

PEÑA, M. A.; FIERRO, J. L. Chemical structures and performance of perovskite oxides. *Chemical reviews*, v. 101, n. 7, p. 1981–2017, 2001.

PETER, S. D. et al. NO reduction by CO over aluminate-supported perovskites. *Catalysis Letters*, v. 70, p. 27–33, 2000.

PIGNET, T.; SCHMIDT, L. D. Kinetics of NH<sub>3</sub> Oxidation on Pt, Rh, and Pd. *Journal of Catalysis*, v. 40, p. 212-225, 1975.

POWERS, D. A.; GRAY, H. B. Characterization of the Thermal Dehydration of Zirconium Oxide Halide Octahydrates. *Inorganic Chemistry*, v. 12, n. 11, p. 2721-2726, 1972.

PRATHIBA, G. et al. Structural, magnetic and semiconducting proprieties of Fe doped SrSnO<sub>3</sub>. **Solid State Communications.** v. 150, p. 1436-38, 2010.

PUNZI, M. et al. Degradation of a textile azo dye using biological treatment followed by photo-Fenton oxidation: Evaluation of toxicity and microbial community structure. *Chemical Enginnering Journal*, v. 270, p. 290-299, 2015.

QAMAR, M.; SAQUIB, M.; MUNEER, M. Photocatalytic degradation of two selected dye derivatives, chromotrope 2B and amido black 10B, in aqueous suspensions of titanium dioxide. Dyes and Pigments, v. 65, p. 1-9, 2005.

QI, G.; YANG, R. T. Low-temperature selective catalytic reduction of NO with NH<sub>3</sub> over iron and manganese oxides supported on titania. *Applied Catalysis B: Environmental*, v. 44, n. 3, p. 217-225, 2003.

RAJYASREE, CH., RAO, D. K. Spectroscopic investigations on alkali earth bismuth borate glasses doped with CuO. *Journal of Non-Crystalline Solids*, v. 357, p. 836–841, 2011.

REDDY, C. V. et al. Synthesis and optical properties of Co<sup>2+</sup> and Ni<sup>2+</sup> ions doped β-BaB<sub>2</sub>O<sub>4</sub> nanopowders. *Journal of Luminescence*, v. 132, p. 2325–2329, 2012.

REGALBUTO, J. R.; ROBLES, J. *The engineering of Pt/Carbon Catalyst Preparation*. University of Illinois, Chicago, 2004.

RIBEIRO, D. M. *SrSnO<sub>3</sub>:Cu obtido pelo método dos precursores poliméricos, para a redução catalítica de NO com CO.* 2011, 114 p. Tese (Doutorado em Química) - Departamento de Química, Universidade Federal da Paraíba, João Pessoa, 2011.

RODRÍGUEZ, G. C. M. et al. Pd-Integrated Perovskite as Effective Catalyst for Selective Catalytic Reduction of NOx by Propene. *Topics in Catalysis*, v. 52, p. 1723-1727, 2009.

ROYER et al. Oxygen storage capacity of La1-xA'BO3 perovskites (with A' = Sr, Ce; B = Co, Mn) — relation with catalytic activity in the CH4 oxidation. *Applied Catalysis B: Environmental*, v. 58, n. 3-4, p. 273-288, 2005.

ROY, S.; HEGDE, M. S.; MADRAS, G. Catalysis for NOx abatement. *Applied Energy*, v. 86, n. 11, p. 2283-2297, 2009.

ROYER, S.; DUPREZ, D. Catalytic oxidation of carbon monoxide over transition metal oxides. *ChemCatChem,* v. 3, n. 1, p. 24-65, 2011.

SALES, H. B. et al. Sr<sub>1-x</sub>Ba<sub>x</sub>SnO<sub>3</sub> system applied in the photocatalytic discoloration of an azo-dye. **Solid State Sciences,** v. 28, p. 67–73, 2014.

SALES, H. B. Sr<sub>1-x</sub>Ba<sub>x</sub>SnO<sub>3</sub> avaliação fotocatalítica de pós e filmes finos obtidos por PLD. 2014, 129 p. Tese (Doutorado em Química) – Departamento de Química, Universidade Federal da Paraíba, João Pessoa, 2014.

SANGEETHA, P.; SASIREKHA, V.; RAMAKRISHNAN, V. Micro-Raman investigation of tin dioxide nanostructured material based on annealing effect. *Journal of Raman Spectroscopy*, v. 42, n. 8, p. 1434-1639, 2011.

SANIGER, J. M. Al-0 infrared vibrational frequencies of y-alumina. *Materials Letters*, v. 22, p. 109-113, 1995

SAHU, H. R.; RAO, G. R. Characterization of combustion synthesized zirconia powder by UV-vis, IR and other techniques. *Bulletin of Material Science.* v. 23, n. 5, p. 349-354, 2000. SANTOS, P. K. et al. Descoloração e degradação do azo corante vermelho GRLX-220 por ozonização. *Química Nova*, v. 34, n. 8, p. 1315-1322, 2011.

SCHÄFFER, J. et al. Highly selective ammonia oxidation to nitric oxide over supported Pt nanoparticles. *Journal of Catalysis*, v. 301, p. 210-213, 2013.

SCHOTT, F.J.P. et al. Reduction of NOx by H<sub>2</sub> on Pt/WO<sub>3</sub>/ZrO<sub>2</sub> catalysts in oxygen-rich exhaust. *Applied Catalysis B: Environmental*, v. 87, n. 1-2, p. 18–29, 2009.

SHARMA, N. et al. Sol-gel derived nano-crystalline CaSnO<sub>3</sub> as high capacity anode material for Li-ion batteries. *Electrochemistry Communications*, v. 4, p. 947-942, 2002.

SHARMA, S. et al. Studies on Degradation of Reactive Red 135 Dye in Wastewater using Ozone. *Procedia Engineering*, v. 51, p. 451-455, 2013.

SHEN, B. et al. A comparative study of Mn/CeO<sub>2</sub>, Mn/ZrO<sub>2</sub> and Mn/Ce-ZrO<sub>2</sub> for low temperature selective catalytic reduction of NO with NH<sub>3</sub> in the presence of SO<sub>2</sub> and H<sub>2</sub>O. **Journal of Environmental Sciences**, v. 25, n. 4, p. 791-800, 2013.

SHI, H. et al. 2-Propanol photodegradation over nitrogen-doped NaNbO3 powders under visible-light irradiation. *Journal of Physics and Chemistry of Solids*, v. 70 p. 931–935, 2009.

- SHI, J.; GUO, L. ABO<sub>3</sub> -based photocatalysts for water splitting. *Progress in Natural Science: Materials International*, v. 22, n. 6, p. 592-615, 2012.
- SHU, Y. et al. Mechanism of the Selective Catalytic Reduction of NOx with NH<sub>3</sub> over W-Doped Fe/TiO<sub>2</sub> Catalyst. *Chemical Research in Chinese Universities*, v. 30, n. 6, p. 1005-1010, 2014.
- SIERRA-PEREIRA, C. A. Catalisadores de CuO, Fe<sub>2</sub>O<sub>3</sub> ou Co<sub>3</sub>O<sub>4</sub> suportados em TiO<sub>2</sub>, CeO<sub>2</sub> ou ZrO<sub>2</sub> Preparação via sol-gel *in situ* ou impregnação e avaliação na redução de NO com CO. 2012, 165 p. Tese (Doutorado) Departamento de Engenharia Química, Universidade Federal de São Carlos, São Carlos, 2012.
- SINGH, M. K. et al. J. New phase transitions in ceramic SrSnO<sub>3</sub>: Raman scattering analysis and differential thermal analysis. *Journal of Physics: Condensed Matter*, v. 20, n. 5, p. 055210, 2008.
- SINGH, M. K. et al. New cryogenic phase transitions in SrSnO<sub>3</sub>. *Journal of Physics Matter,* v. 22, p. 095901, 2010.
- SINGH, K. ARORA. S. Removal of Synthetic Textile Dyes From Wastewaters: A Critical Review on Present Treatment Technologies. *Critical Reviews in Environmental Science and Technology*, v. 41, n. 9, p. 807, 2011.
- SMITH, J. M. C.; NESS, H. C. V.; ABBOTT, M. M. *Introdução à Termodinâmica da Engenharia Química*. 7 ed. Rio de Janeiro: LTC, 2007.
- SONG, S. et al. Photocatalytic degradacion of C.I. Direct Red 23 in aqueous solutions under UV irradiation using SrTiO<sub>3</sub>/CeO<sub>2</sub> composite as the catalyst. *Journal of Hazardous Materials*, v. 152, p. 1301-1308, 2008.
- SOUZA, B. M. Avaliação de processos oxidativos avançados acoplados com carvão ativado granulado com biofilme para reuso de efluentes de refinaria de petróleo. 2010, 160 p. Dissertação (Mestrado em Engenharia Química) COPPE, Universidade Federal do Rio de Janeiro, 2010.
- SRINIVASULU, K. et al. Use of Fe<sup>3+</sup> ion probe to study the structural coordination in sodium–lead borophosphate glasses by utilizing electron paramagnetic resonance and optical spectroscopy. *Journal of Alloys and Compounds*, v. 546, p. 208-215, 2013.
- STANULIS, A. et al. Sol–gel (combustion) synthesis and characterization of different alkaline earth metal (Ca, Sr, Ba) stannates. *Journal of Sol-Gel Science and Technology,* v. 64, p. 643–652, 2012. STANULIS, A. et al. Photoluminescence of Pr³+-doped calcium and strontium stannates. *Journal of Luminescence*, v. 172, p. 323-330, 2016.
- STYLIDI, M.; KONDARIDES, D. I.; VERYKIOS, X. E. Visible light-induced photocatalytic degradation of Acid Orange 7 in aqueous TiO<sub>2</sub> suspensions. *Applied Catalysis B: Environmental*, v. 47, n. 3, p. 189–201, 2004.
- SUDHA, M. et al. Microbial degradation of azo dyes: a review. *International Journal of Current Microbiology and Applied Sciences*, v.3, n. 2, p. 670-690, 2014.
- SUN, C. et al. Dispersion, reduction and catalytic performance of CuO supported on ZrO2-doped TiO2 for NO removal by CO. *Applied Catalysis B: Environmental*, v. 103, n. 1-2, p. 206–220, 2011.
- TACHIBANA, M.; KOLODIAZHNYI, T.; TAKAYAMA-MUROMACHI, E. Thermal conductivity of perovskite ferroelectrics. *Applied Physics letters*, v. 93, p. 092902, 2008.
- TARRIDA, M.; LARGUEM, H.; MADON, M. Structural investigations of (Ca,Sr)ZrO<sub>3</sub> and Ca(Sn,Zr)O<sub>3</sub> perovskite compounds. *Physics and Chemistry of Minerals*. v. 36, p. 403-413, 2009.
- TANABE, K.; YAMAGUCHI, T. Acid-base bifunctional catalysis by ZrO2 and its mixed oxides. Catalysis Today, v. 20, n. 2, p.185-197, 1994

- TANABE, E. Y. Óxidos do tipo perovskitas para reações de decomposição direta de NO e redução de NO com CO. 2006, 137 p. Dissertação (Mestrado) Instituto de Química de São Carlos, Universidade de São Paulo, São Carlos, 2006.
- TANABE, E. Y.; ASSAF, E. E. Óxidos do tipo perovskita para reação de redução de NO com CO. *Química. Nova*, v. 32, n. 5, p. 1129-1133, 2009.
- TANG, W. Z.; HUANG, C. P. Photocatalyzed oxidation pathways of 2,4-dichlorophenol by CdS in basic and acidic aqueous solutions, *Water Research*, v. 29, p. 745–756, 1995.
- TAO, S. et al. Ethanol-sensing characteristics of barium stannate prepared by chemical precipitation. **Sensors and Actuators B,** v. 71, p. 223-227, 2000.
- TAUC, J. Optical Properties of Solids. Amsterdam: North-Holland, 1972.
- TEIXEIRA, T. P. F. Avaliação da eficiência do uso de hidrotalcitas calcinadas na remoção de azo corantes aniônicos presentes em efluentes de indústria têxtil. 2011, 111 p. Dissertação (Mestrado em Engenharia Ambiental) Programa de pós-graduação em engenharia ambiental, Universidade Federal de Ouro Preto, Ouro Preto, 2011.
- TEIXEIRA, T. P. F.; PEREIRA, S. I.; AQUINO, S. F.; DIAS, A. Calcined layered double hydroxides for decolorization of azo dye solutions: equilibrium, kinetics, and recycling studies. *Environmental Engineering Science*, v. 29, n. 7, p. 685 692, 2012.
- TEJUCA, L. G.; FIERRO, J. L. G.; TASCÓN, J. M. D. Structure and reactivity of Perovskite-Type Oxides. *Advanced in Catalysis*, v. 26, p. 237 328, 1989.
- THANGADURAI, V. et al. W. Mixed oxide ion and electronic conductivity in perovskite-type SrSnO3 by Fe substitution. *Materials Science and Engineering: B.* v. 100, p. 18-22, 2003.
- THIRUMALAIRAJAN, S. et al. Shape evolution of perovskite LaFeO₃ nanostructures: a systematic investigation of growth mechanism, properties and morphology dependent photocatalytic activities. *RSC Advances*, v. 3, p. 7549–7561, 2013.
- TRIPATHI, S. et al. Ferromagnetic CaRuO<sub>3</sub>. Scientific reports, v. 4, p. 3877, 2014.
- TÜTÜNCÜ, H. M. e SRIVASTAVA, G. P. Phonons and superconductivity in the cubic perovskite Cr₃RhN. *Journal of Applied Physics*, v. 112, n. 9, p. 093914, 2012.
- TYAGI, B. et al. Synthesis os nanocrystalline zirconia using sol-gel and precipitation techniques. *Industrial & Engineering Chemistry Research*, v. 45, n. 25, p. 8643-8650, 2006.
- UMADEVI, M.; CHRISTY, A. J. Synthesis, characterization and photocatalytic activity of CuO nanoflowers, *Spectrochimica Acta Part A: Molecular and Biomolecular Spectroscopy,* v. 109, p. 133-137, 2013.
- VIEIRA, F, T. G. et al. Crystallization study of SrSnO<sub>3</sub>:Fe. *Journal of Thermal Analysis and Calorimetry*, v. 106, p. 507-512, 2011.
- VIEIRA, F. T. G. *Perovskitas a base de SrSnO<sub>3</sub>:Fe aplicadas à redução de NO<sub>x</sub>.* 2011, 118 p. Tese (Doutorado em Química) Departamento de Química, Universidade Federal da Paraíba, João Pessoa, 2011.
- VIEIRA, F. T. G. et al. Photoluminescence in SrSnO<sub>3</sub>:Fe<sup>3+</sup> Perovskite. *Current Physical Chemistry*, v. 4, n. 1, p. 21-29, 2014.
- VIJAYANAND, P. et al. On the nature of Pd<sup>n+</sup> surface carbonyl and nitrosyl complexes formed on Pd-promoted tungstated zirconia catalyst. *Physical Chemistry Chemical Physics*, v. 5, p. 4040-4044, 2003.

- YAMADA, Y.; KANEMITSU, Y. Photoluminescence spectra of perovskite oxide semiconductors. *Journal of Luminescence*, v. 133, p. 30-34, 2013.
- YANG, S. et al. Low temperature selective catalytic reduction of NO with NH₃ over Mn–Fe spinel: Performance, mechanism and kinetic study. *Applied Catalysis B: Environmental*, v. 110, p. 71-80, 2011.
- YANG, W. et al. Activity of perovskite-type mixed oxides for the low-temperature CO oxidation: Evidence of oxygen species participation from the solid. *Journal of Catalysis*, v. 295, p. 45-48, 2012.
- YU, J. G. et al. The effect of calcination temperature on the surface microstructure and photocatalytic activity of TiO<sub>2</sub> thin films prepared by liquid phase deposition. *The Journal of Physical Chemstry: B*, v. 107, n. 50, p. 13871-13879, 2003.
- YUE, X. et al. A situ hydrothermal synthesis of SrTiO<sub>3</sub>/TiO<sub>2</sub> heterostructure nanosheets with exposed (0 0 1) facets for enhancing photocatalytic degradation activity. *Applied Surface Science*, v. 319, p. 68-74, 2014.
- XIAOYUAN, J. et al. Effect of CuO/TiO<sub>2</sub> and CuO-ZrO<sub>2</sub>/TiO<sub>2</sub> in NO + CO reaction. **Journal of Molecular Catalysis A: Chemical,** v. 218, n. 2, p. 187-195, 2004.
- XIE, J. et al. CaSnO<sub>3</sub>:Tb<sup>3+</sup>, Eu<sup>3+</sup>: a distorted-perovskite structure phosphor with tunable photoluminescence properties. *Journal of Materials Science*, v. 51, p. 7471-7479, 2016.
- XIN, B. F. et al. Preparation, characterizations and photocatalytic activity of Cu-doped TiO 2 nanoparticles. *Chem J Chin Univ*, v. 25, n. 6, p. 1076-1080, 2004.
- XU, W. et al. Selective catalytic reduction of NO by NH<sub>3</sub> over a CeO<sub>2</sub>/TiO<sub>2</sub> catalyst. *Catalysis Communications*, v. 9, n. 6, p. 1453-1457, 2008.
- XU, J. et al. Erbium and nitrogen co-doped SrTiO3 with highly visible light photocatalytic activity and stability by solvothermal synthesis. *Material Research Bulletin*, v. 70, p. 114-121, 2015.
- WACHS, I. E.; ROBERTS, C. A. Monitoring surface metal oxide catalytic active sites with Raman spectroscopy. *Chemical Society Reciews*, v. 39, p. 5002-5017, 2010.
- WAGNER, C. D. et al. NIST Standard Reference Database 20, v. 3.5, In: National Institute of Standards and Technology, 2007.
- WANG, W. et al. Hydrothermal synthesis and catalytic performances of a new photocatalyst CaSnO<sub>3</sub> with microcube morphology. *Scripta Materialia*, v. 60, n. 3, p. 186–189, 2009
- WANG, H. et al. Decolorization of  $CaSnO_3$  particles for methyl Orange. *New Chemical Materials*, v. 41, n. 8, p. 183-184, 2013.
- WANG, W. et al. Microwave hydrothermal synthesis of MSnO<sub>3</sub> ( $M^{2+}$  =  $Ca^{2+}$ ,  $Sr^{2+}$ ,  $Ba^{2+}$ ): effect of  $M^{2+}$  on crystal structure and photocatalytic properties. *Journal of Materials Science*, v. 49, p. 1893-1902, 2014.
- WATERHOUSE, G. I. N.; BOWMAKER, G. A.; METSON, J. B. The thermal decomposition of silver (I, III) oxide: a combined XRD, FT-IR and Raman spectroscopic study. **Physical Chemistry Chemical Physics**, v. 3, p. 3838–3845, 2001.
- WOODWARD, P. M. Octaedral tilting in perovskites. I. Geometrical considerations. *Acta Crystallographica Section B*. v. 53, p. 32-43, 1997
- ZANETTI, S. M. et al. Preparation of ferroelectric bi-layered thin films using the modified polymeric precursor method. *Materials Research.* v. 4, n. 3, 157-162, 2001.

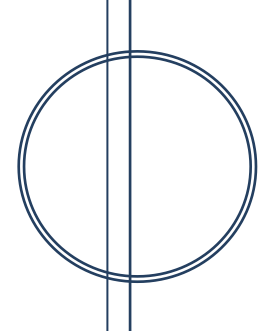
- ZHAO, Z., YANG, X., WU, Y. Comparative study of Nickel-based perovskite-like mixed oxide catalysts for direct decomposition of NO. *Applied Catalysis B: Environmental*. v. 8, p. 281-297, 1996.
- ZHAO J, ROSS, N. L.; ANGEL, R. J. Tilting and distortion of CaSnO₃ perovskite to 7 GPa determined from single-crystal X-ray diffraction. *Physics and Chemistry of Minerals*, v. 31, n. 5, p. 299-305, 2004.
- ZHAO, S.; BAI, Y.; ZHANG, W. F. Electrochemical performance of flowerlike CaSnO<sub>3</sub> as high capacity anode material for lithium-ion batteries. *Electrochimica Acta*, v. 55, n. 12, p. 3891-3896, 2010.
- ZHAO, Z.; ELWOOD, J.; CARPENTER, M. A. Phonon Anharmonicity of PdO Studied by Raman Spectrometry. *The Journal of Physical Chemistry C*, 2015. DOI: 10.1021/acs.jpcc.5b07652
- ZHAN, H. et al. Photoluminescence activity of BaTiO<sub>3</sub> nanocrystals dependence on the structural evolution. *Journal of Crystal Growth*, v. 433, p. 80-85, 2016.
- ZHANG, R.; LEE, J. Y.; LIU, Z. L. Pechini process-derived tin oxide and tin oxide–graphite composites for lithium-ion batteries. *Journal of Power Sources*, v. 112, n. 2, p. 596 605, 2002.
- ZHANG, R. et al. Reduction of NO by CO over nanoscale LaCo<sub>1-x</sub>Cu<sub>x</sub>O<sub>3</sub> and LaMn<sub>1-x</sub>Cu<sub>x</sub>O<sub>3</sub> perovskites. *Journal of Molecular Catalysis A: Chemical*, v. 258, p. 22–34, 2006a.
- ZHANG, R. et al. Cu- and Pd-substituted nanoscale Fe-based perovskites for selective catalytic reduction of NO by propene. *Journal of Catalysis*, v. 237, n. 2, p. 368–380, 2006b.
- ZHANG, R. ALAMDARI, H. KALIAGUINE, S. Fe-based perovskites substituted by copper and palladium for NO + CO reaction. *Journal of Catalysis*, v. 242, p. 241–253, 2006.
- ZHANG, W. F.; TANG, J.; YE, J. Photoluminescence and photocatalytic proprieties of SrSnO<sub>3</sub> perovskite. *Chemical Physics Letters*, v. 418, p. 174-178, 2006.
- ZHANG, Y. et al. BiMnO<sub>3</sub> Perovskite Catalyst for Selective Catalytic Reduction of NO with NH<sub>3</sub> at Low Temperature. *Chinese Journal Of Catalysis*, v. 33, n. 9, p. 1448-1454, 2012.
- ZHANG, R. et al. Low-temperature selective catalytic reduction of NO with NH<sub>3</sub> using perovskite-type oxides as the novel catalysts. *Journal of Molecular Catalysis A: Chemical*, v. 371, p. 86–93, 2013.
- ZHANG, R. et al. Low-temperature NH<sub>3</sub>-SCR of NO by lanthanum manganite perovskites: Effect of A /B-site substitution and TiO<sub>2</sub>/CeO<sub>2</sub> support. *Applied Catalysis B: Environmental*, v. 146, p. 94–104, 2014.
- ZHENG, H. et al. Raman spectroscopy of CaTiO<sub>3</sub>-based perovskite solid solutions. *Journal of Materials Research*, v. 19, n. 2, p. 488–495, 2004.
- ZHENG, H. L. et al. Vibrational spectra of CaGa<sub>2</sub>O<sub>4</sub>, Ca<sub>2</sub>GeO<sub>4</sub>, Caln<sub>2</sub>O<sub>4</sub> and CaSnO<sub>3</sub> prepared by electrospinning. *Applied Physics A*, v. 108, p. 465-473, 2012.
- ZHONG, F. et al. Structural evolution of alkaline earth metal stannates MSnO<sub>3</sub> (M = Ca, Sr, and Ba) photocatalysts for hydrogen production. *RCS Advances*, v. 6, p. 42474-42481, 2016.
- ZHOU, C. et al. NO oxidation catalysis on copper doped hexagonal phase LaCoO3: a combined experimental and theoretical study. *Physical Chemistry Chemical Physics*, v. 16, p. 5106-5112, 2014
- ZHU, J. et al. Active site structure of NO decomposition on perovskite (-like) oxides: An investigation from experimental and density functional theory. *The of physical chemistry C*, v. 111, n. 3, p. 1487-1490, 2007.
- ZHU, J.; THOMAS, A. Perovskite-type mixed oxides as catalytic material for NO removal. *Applied Catalysis B*, v. 92, p. 225-233, 2009.

ZHU, H. et al. Effective photocatalytic decolorization of methyl orange utilizing TiO<sub>2</sub>/ZnO/chitosan nanocomposite films under simulated solar irradiation. *Desalination*, v. 286, p. 41–48, 2012.

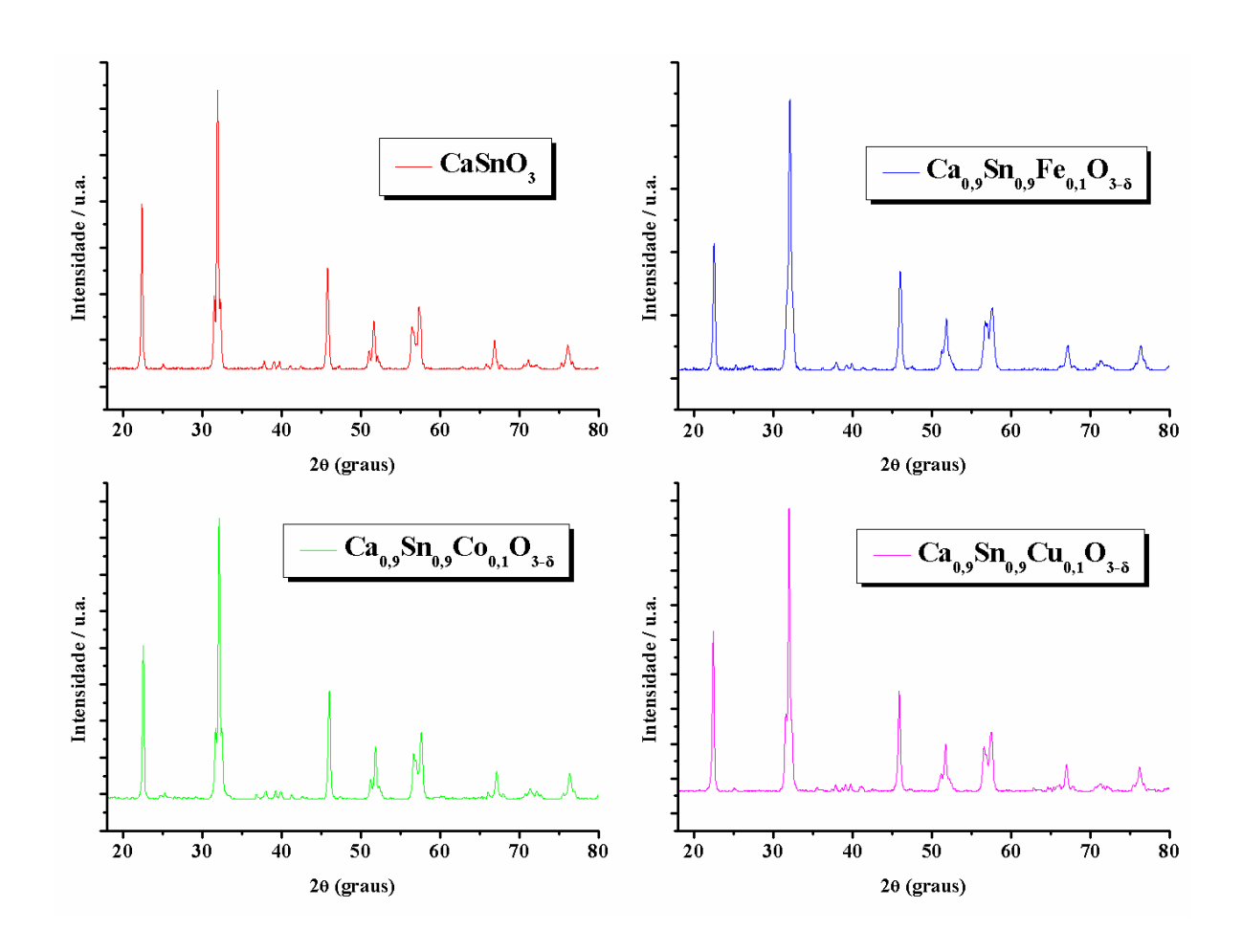
ZHU, J. et al. Perovskite Oxides: Preparation, Characterizations, and Applications in Heterogeneous Catalysis. *ACS Catalysis*, v. 4, p. 2917–2940, 2014.

ZIOLLI, R. L.; JARDIM, W. F. Mecanismo de Fotodegradação de Compostos Orgânicos Catalisada por TiO<sub>2</sub>. *Química Nova,* v. 21, n. 3, p. 319-325, 1998.

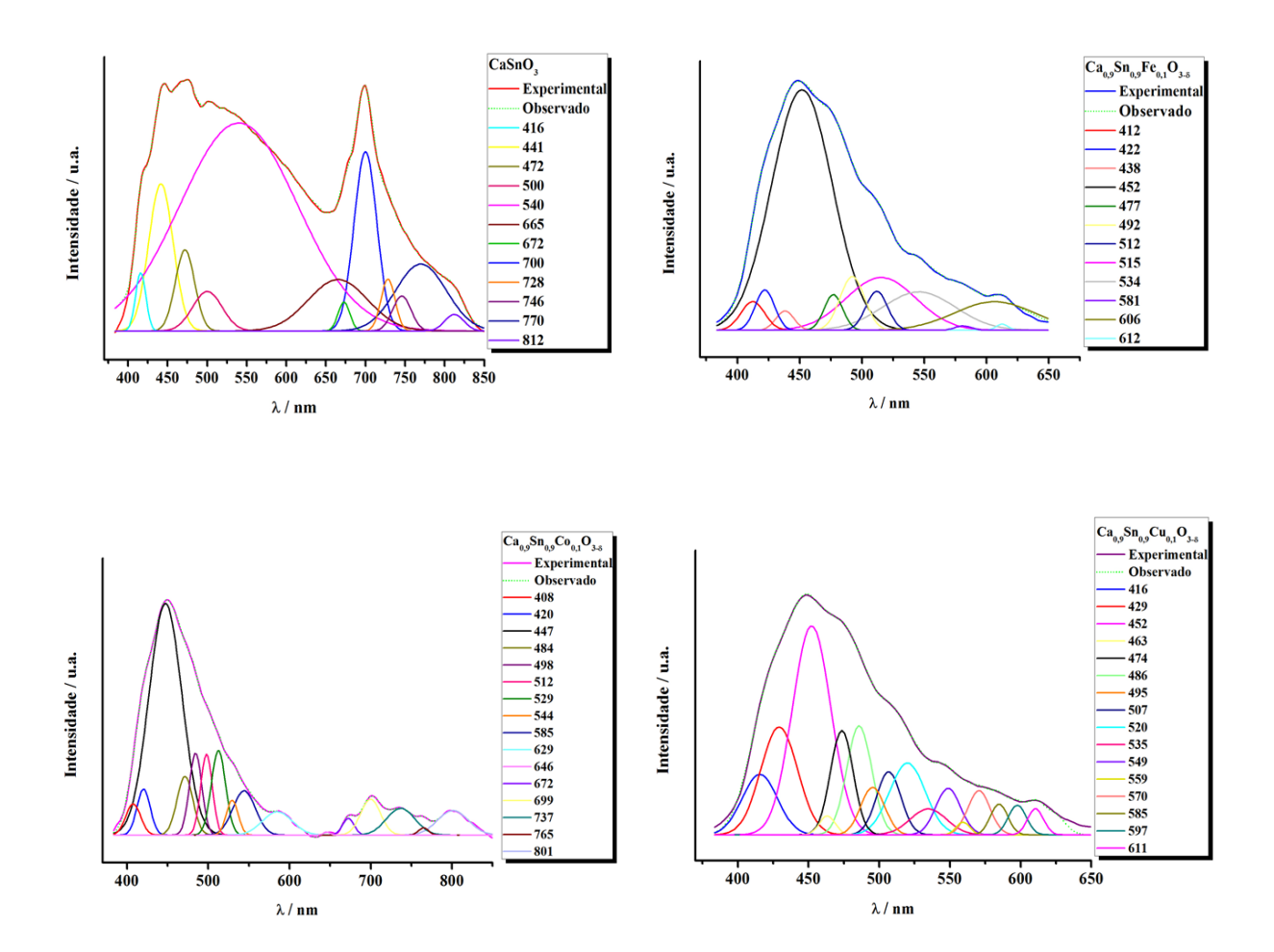
## ANEXOS



**Anexo 1:** Difratogramas de raios-X das amostras de CaSnO<sub>3</sub> e Ca<sub>0.9</sub>Sn<sub>0.9</sub>M<sub>0.1</sub>O<sub>3- $\delta$ </sub> (M = Fe<sup>3+</sup>, Co<sup>2+</sup> e Cu<sup>2+</sup>) calcinadas em 800 °C/ 4 h.



**Anexo 2:** Deconvolução dos espectros de fotoluminescência (FL) das amostras de (a) CaSnO<sub>3</sub> e (b) Ca<sub>0.9</sub>Sn<sub>0.9</sub>M<sub>0.1</sub>O<sub>3- $\delta$ </sub> (M = Fe<sup>3+</sup>, Co<sup>2+</sup> e Cu<sup>2+</sup>) calcinadas em 800 °C/ 4 h.



Anexo 3: Produção científica no período de 2013 - 2017.

## Artigos completos publicados em periódicos

- **LUCENA, G. L.**; LIMA, L. C.; HONÓRIO, L. M. C.; OLIVEIRA, A. L. M.; MAUL, J.; TRANQUILIM, R. L.; LONGO, E.; SOUZA, A. G.; MAIA, A. S.; SANTOS, I. M. G. CaSnO<sub>3</sub> obtained by the modified Pechini method applied in the photocatalytic degradation of an azo dye. *Cerâmica*, 2017 (Artigo aceito).
- **LUCENA, G. L.**; MAIA, A. S.; LONGO, E.; SOUZA, A. G.; SANTOS, I. M. G. A Facile Synthesis Method to Obtain  $SrSnO_3@AO_2$  (A = Ti or Zr) Core Shell Systems. *Current Physical Chemistry*, v.5, n. 3, p. 214 222, 2016.
- **LUCENA, G. L.;** SILVA, A. G.; HONÓRIO, L. M. C.; SANTOS, V. D. Evaluation of the Adsorption Capacity of Chitosan Quaternized in the Removal of Cu and Cr Ions. *Revista Virtual de Química*, v. 7, p. 2166 2179, 2015.
- **LUCENA, G. L.**; MAIA, A. S.; Souza, A. G.; SANTOS, I. M. G. Structural changes in Fedoped SrSnO<sub>3</sub> perovskites during thermal analysis. *Journal of Thermal Analysis and Calorimetry*, v. 115, p. 137-144, 2014.
- **LUCENA, G. L.**; SOUZA, J. J. N.; MAIA, A. S.; SOLEDADE, L. E. B.; LONGO, E.; SOUZA, A. G.; SANTOS, I. M. G. New methodology for a faster synthesis of SrSnO<sub>3</sub> by the modified Pechini method. *Cerâmica*, v. 59, p. 249-253, 2013.
- **LUCENA, G. L.;** SILVA, A. G.; HONÓRIO, L. M. C.; SANTOS, V. D. Remoção de corantes têxteis a partir de soluções aquosas por quitosana modificada com tioacetamida. *Revista Ambiente & Água*, v. 8, p. 144 154, 2013.

## Artigos completos de colaboração publicados em periódicos

- QUIRINO, M. R.; OLIVEIRA, M. J. C.; **LUCENA, G. L.**; OLIVEIRA, J. B. L.; GAMA, L. Synthesis of zinc oxide by microwave hydrothermal method for application to transesterification of soybean oil (biodiesel). *Materials Chemistry and Physics,* v. 185, p. 24 30, 2017.
- QUIRINO, M. R.; OLIVEIRA, M. J. C.; KEYSON, D.; **LUCENA, G. L.**; OLIVEIRA, J. B. L.; GAMA, L. Synthesis of zinc aluminate with high surface area by microwave hydrothermal method applied in the transesterification of soybean oil (biodiesel). *Materials Research Bulletin.* v. 74, p. 124 128, 2016.

## Anexo 4: Direito autoral pessoal e institucional

As figuras originais ilustradas neste trabalho, exceto as modificadas e adaptadas, são de autoria própria de **Guilherme Leocárdio Lucena dos Santos**. Elas podem ser utilizadas apenas com a correta citação, sendo proibida, no entanto, a publicação das mesmas em periódicos e afins sem expressa autorização do autor.

- © 2017 Santos, GLL
- © PPGQ/ DQ/ CCEN/ UFPB